

TUGAS AKHIR

MODIFIKASI PERENCANAAN GEDUNG KAMPUS STIKOM SURABAYA DENGAN DAKTILITAS PENUH



Oleh :

HERY ENDARTO BUDI S.

NRP : 3196109231

RSS
69073
Her
m-1
2600

JURUSAN TEKNIK SIPIL
FAKULTAS TEKNIK SIPIL DAN PERENCANAAN
INSTITUT TEKNOLOGI SEPULUH NOPEMBER
SURABAYA
2000

BU 35 000

PUSLAKAAN	ITS
LIBRARY	W / 11 / 2000
LIBRARY	H

MODIFIKASI PERENCANAAN GEDUNG KAMPUS STIKOM SURABAYA DENGAN DAKTILITAS PENUH

TUGAS AKHIR

Diajukan guna memenuhi sebagian persyaratan
untuk memperoleh gelar
Sarjana Teknik Sipil
pada
Jurusang Teknik Sipil
Fakultas Teknik Sipil dan Perencanaan
Institut Teknologi Sepuluh Nopember
Surabaya



Surabaya
Februari, 2000

PERSEMBAHAN

PERSEMBAHAN

Kupersembahkan laporan tugas akhir ini pada :

Ibunda-ku yang telah pergi menghadap Allah SWT,
semoga kesalahan ananda pada Ibunda dapat dimaafkan oleh Allah SWT,
dan hanya doa ananda yang bisa mengiringi kepergian Ibunda
"Allaahhummaqfir lahaa warhamhaa wa 'aafihaa wa 'fu 'anhaa
wa akrim nuzulahaawawassi' madkhalaahaa wa taqabbal
hassanaatihaa wa kaffir sayi aatihaa
birahmatika ya 'arhammarraahimien"

Ayahanda yang telah banyak membantu baik spiritual maupun materi,
sehingga ananda dapat menyelesaikan tugas akhir ini untuk dapat
meraih gelar "Sarjana Teknik" dengan lancar.

Adik-adikku (Udik dan Triana), baik langsung maupun tidak langsung telah
memberikan semangat terselesainya laporan tugas akhir ini.

Yang terakhir, kupersembahkan pada Dyah Umi Setiowati-ku yang telah banyak
membantu dengan doa-doa dan tenaganya sehingga dapat
terselesainya laporan tugas akhir ini.

ABSTRAK

MODIFIKASI PERENCANAAN GEDUNG KAMPUS STIKOM SURABAYA DENGAN DAKTILITAS PENUH

Hery Endarto Budi S.

3196.109.231

ABSTRAK

Gedung Kampus STIKOM merupakan sebuah gedung pendidikan yang terletak di jalan Wonorejo Rungkut Surabaya. Gedung ini terdiri dari 9 lantai kuliah ditambah lantai Auditorium dengan mamakai atap baja.

Di dalam tugas akhir ini akan direncanakan ulang dan dimodifikasi struktur gedung kampus STIKOM dengan judul tugas akhir "Modifikasi Perencanaan Gedung Kampus STIKOM Surabaya dengan Daktilitas Penuh".

Tugas Akhir ini dibatasi pada perencanaan struktur saja. Perencanaan meliputi perencanaan struktur utama yang terdiri dari : perencanaan balok induk, perencanaan kolom, perencanaan shearwall, dan perencanaan pondasi. Selain itu juga direncanakan unsur-unsur sekunder yaitu perencanaan pelat, perencanaan tangga, perencanaan balok anak dan perencanaan atap baja. Sedangkan untuk perencanaan terhadap gempa, struktur ini menggunakan konsep perencanaan dengan metode disain kapasitas (daktilitas tiga/penuh). Adapun pengertian dari tingkat daktilitas tiga (daktilitas penuh) adalah struktur beton diproporsikan sedemikian rupa sehingga penyelesaian detail khusus akan memungkinkan suatu struktur memberikan respon inelastis terhadap beban siklis yang bekerja dan mampu menjamin pengembangan mekanisme sendi plastis dengan kapasitas disipasi energi yang diperlukan tanpa mengalami keruntuhan. Beban rancang lateral dasar yang ditetapkan dalam PPTGIUG '83 harus diperhitungkan dengan faktor $K = 1$. Metode perencanaannya disebut Perencanaan Disain Kapasitas (capacity design) dengan prinsip strong column - weak beam. Untuk memperoleh gaya-gaya dalam pada struktur ini digunakan bantuan program SAP90 untuk analisa struktur utama.

Sebagai akhir penulisan ini, semua hasil perhitungan dan perencanaan kemudian dituangkan dalam bentuk gambar.

KATA PENGANTAR

KATA PENGANTAR

Syukur Alhamdulillah penulis panjatkan kehadiran Alloh SWT, karena berkat rahmat dan hidayah-Nya penulis dapat menyelesaikan Laporan Tugas Akhir dengan judul "Modifikasi Perencanaan Gedung Kampus STIKOM Surabaya dengan Daktilitas Penuh" yang disusun untuk memenuhi persyaratan memperoleh gelar sarjana.

Tujuan dari penulisan dan penyusunan naskah Tugas Akhir ini ialah untuk mencoba menerapkan sebagian ilmu yang telah dipelajari di bangku kuliah ke dalam suatu perencanaan Gedung Tinggi, agar mahasiswa nantinya dapat mengetahui korelasi antara teori dan praktik yang ada di dunia kerja atau di lapangan. Berangkat dari pemahaman di atas, maka dapatlah penulisan tugas akhir ini menjadi bekal untuk terjun di dunia kerja setelah lulus nantinya.

Kami sepenuhnya menyadari bahwa dalam penyelesaian Tugas Akhir ini tidak lepas dari bantuan dari berbagai pihak, sehingga pada kesempatan kali ini penulis ingin mengucapkan banyak terima kasih kepada :

1. Ir. Kurdian Suprapto, MS, selaku dosen pembimbing dalam penulisan dan penyusunan Tugas Akhir.
2. Ir. Heppy Kristijanto, MS, selaku dosen wali
3. Ir. Indrasurya B. Mochtar, MSc, PhD, selaku Ketua Jurusan Teknik Sipil, FTSP - Institut Teknologi Sepuluh Nopember Surabaya.
4. Kedua Orang Tuaku yang senantiasa memberikan bantuan dan dorongan dalam menyelesaikan kuliah ini, baik secara moril maupun materiil.
5. Segenap dosen - dosen dan staf pengajar di lingkungan Jurusan Teknik Sipil FTSP - ITS, yang telah memberikan bantuan berupa ilmu yang diberikan baik secara langsung atau tidak langsung.
6. Seluruh teman - teman angkatan ke-3 Teknik Sipil Extension Lintas Jalur yang telah bersama dalam suka dan duka selama masa kuliah
7. Serta semua pihak yang telah membantu terwujudnya penyusunan naskah Tugas Akhir ini yang belum sempat tertulis semuanya di atas.

Kami menyadari bahwa Tugas Akhir ini masih belum sempurna secara keseluruhan, sehingga kami memberi tempat bagi segala kritik dan saran yang membangun dan bersifat menyempurnakan. Dan akhirnya kami berharap semoga Tugas Akhir ini dapat bermanfaat bagi penyusun dan pembaca pada umumnya.

Surabaya , Januari 2000

Penyusun

DAFTAR ISI

DAFTAR ISI

ABSTRAK	i
KATA PENGANTAR	iii
DAFTAR ISI	viii
DAFTAR GAMBAR	viii
BAB I PENDAHULUAN	I-1
1.1. Latar belakang	I-1
1.2. Permasalahan	I-2
1.3. Maksud dan tujuan	I-3
1.4. Ruang lingkup	I-3
1.4.1. Modelisasi struktur	I-4
1.4.2. Data bangunan modifikasi	I-4
1.4.3. Mutu bahan yang dipakai	I-5
1.4.4. Perhitungan struktur	I-5
1.5. Konsep disain	I-6
1.5.1. Aspek teknis	I-6
1.5.2. Aspek ekonomis	I-6
1.6. Sistematika penulisan	I-6
BAB II DASAR PERENCANAAN	II-1
2.1. Data-data perencanaan	II-1
2.1.1. Data umum bangunan	II-1
2.1.2. Data tanah	II-1
2.2. Pembebaan	II-1
2.3. Peraturan-peraturan yang dipakai	II-3
2.4. Perencanaan tahan gempa	II-4
2.4.1. Daktilitas sebagai kriteria perancangan struktur tahan gempa	II-4
2.4.1.1. Umum	II-4
2.4.1.2. Pengertian daktilitas	II-5
2.4.1.3. Prinsip pemancaran energi	II-7
2.4.2. Dasar pemilihan tingkat daktilitas penuh	II-10
2.4.3. Langkah perencanaan dengan daktilitas penuh	II-10
2.4.3.1. Perencanaan balok portal terhadap beban lentur	II-10
2.4.3.2. Perencanaan balok portal terhadap beban geser	II-11
2.4.3.3. Perencanaan kolom portal	II-12
2.4.3.4. Perencanaan kolom portal terhadap beban geser	II-14

2.4.3.5. Perencanaan panel pertemuan balok kolom	II-15
2.4.4. Persyaratan perencanaan seismik untuk komponen struktur dengan daktilitas penuh	II-18
2.4.4.1. Komponen struktur rangka yang menahan beban lentur (balok)	II-18
2.4.4.2. Komponen struktur rangka yang menahan lentur dan aksial (kolom)	II-20
2.4.5. Diagram alir langkah-langkah perencanaan struktur rangka dengan daktilitas penuh	II-22
BAB III METODOLOGI	III-1
3.1. Bagan alir perencanaan struktur	III-1
3.2. Metode analisa dan perhitungan	III-3
BAB IV PERENCANAAN STRUKTUR SEKUNDER	IV-1
4.1. Preliminary disain	IV-1
4.1.1. Dimensi balok	IV-1
4.1.2. Dimensi kolom	IV-1
4.1.3. Dimensi pelat	IV-2
4.1.3.1. Dasar perhitungan dimensi pelat	IV-2
4.1.3.2. Perhitungan tebal pelat lantai	IV-4
4.2. Perencanaan struktur sekunder pelat lantai	IV-9
4.2.1. Pelat dua arah (<i>two way slab</i>)	IV-9
4.2.1.1. Pemodelan dan analisa momen pelat	IV-9
4.2.1.2. Perencanaan penulangan pelat	IV-9
4.2.2. Pelat satu arah (<i>one way slab</i>)	IV-11
4.2.2.1. Distribusi gaya-gaya dalam pelat satu arah	IV-11
4.2.2.2. Perencanaan penulangan pelat	IV-11
4.2.3. Perhitungan penulangan pelat	IV-13
4.2.3.1. Data pembebanan	IV-13
4.2.3.2. Perhitungan penulangan pelat	IV-14
4.3. Perencanaan struktur sekunder tangga	IV-19
4.3.1. Modelisasi tangga	IV-19
4.3.2. Perhitungan tangga	IV-20
4.4. Perencanaan balok anak	IV-29
4.4.1. Analisa gaya-gaya dalam balok anak	IV-29
4.4.2. Tipe-tipe pembebanan pada balok	IV-32
4.4.3. Perhitungan penulangan balok anak	IV-36
4.4.3.1. Penulangan lentur balok anak	IV-36
4.4.3.2. Disain penulangan geser dan torsi	IV-48
4.4.3.3. Panjang penyaluran balok anak	IV-52
4.4.3.4. Kontrol lendutan dan retak balok anak	IV-54
4.4.3.5. Contoh perhitungan	IV-55

4.5.	Perencanaan struktur atap	IV-73
4.5.1.	Komponen struktur yang menerima lentur	IV-73
4.5.2.	Komponen struktur yang menerima aksial	IV-77
4.5.2.1.	Batang tarik	IV-78
4.5.2.2.	Batang tekan	IV-78
4.5.3.	Komponen struktur yang menerima kombinasi (lentur dan aksial)	IV-79
4.5.4.	Sambungan	IV-81
4.5.4.1.	Sambungan geser (<i>shear connection</i>)	IV-81
4.5.4.2.	Sambungan momen tipe pelat ujung (<i>end plate connection</i>)	IV-83
4.5.4.3.	Sambungan pelat dasar kolom (menahan beban aksial)	IV-85
4.5.5.	Perhitungan	IV-88
4.5.5.1.	Data-data perencanaan	IV-88
4.5.5.2.	Perencanaan gording	IV-88
4.5.5.3.	Perencanaan penggantung gording	IV-94
4.5.5.4.	Kontrol profil 1/2 kuda-kuda atap jurai	IV-95
4.5.5.5.	Perencanaan sambungan atap baja	IV-98
4.6.	Balok pendukung lift	IV-107
4.6.1.	Pemodelan struktur	IV-107
4.6.2.	Pembebanan	IV-107
4.6.3.	Gaya dalam	IV-108
4.7.	Perhitungan konsol untuk perletakan tangga	IV-110
BAB V	ANALISA STRUKTUR UTAMA	V-1
5.1.	Kriteria disain	V-1
5.2.	Analisa struktur utama	V-2
5.3.	Metoda analisa	V-2
5.4.	Data satuan dan data material	V-3
5.5.	Pembebanan struktur utama	V-3
5.5.1.	Beban mati	V-3
5.5.2.	Beban hidup	V-3
5.5.3.	Beban gempa	V-3
5.5.4.	Kombinasi pembebanan	V-4
5.6.	Analisa gempa dinamis	V-5
5.7.	Input data SAP 90	V-5
5.8.	Permodelan pembebanan balok induk	V-10
5.9.	Simpangan antar tingkat	V-11
5.10.	Kontrol gaya gempa dasar analisa statik (Vs) dengan analisa dinamis (Vd)	V-12

BAB VI	PERHITUNGAN STRUKTUR UTAMA	VI-1
6.1.	Umum	VI-1
6.2.	Perhitungan penulangan balok induk	VI-2
6.2.1.	Perhitungan lentur balok induk	VI-2
6.2.2.	Perhitungan momen kapasitas	VI-9
6.2.3.	Perhitungan penulangan geser balok	VI-16
6.2.4.	Perhitungan panjang penyaluran balok	VI-22
6.3.	Komponen struktur kolom	VI-24
6.3.1.	Perencanaan kolom terhadap beban lentur dan gaya aksial	VI-24
6.3.2.	Contoh perhitungan kolom	VI-32
6.4.	Perencanaan pertemuan balok dan kolom	VI-41
6.5.	Perencanaan dinding geser	VI-44
6.5.1.	Umum	VI-44
6.5.2.	Kuat beban aksial rancang	VI-45
6.5.3.	Perencanaan kekuatan lentur shearwall tinggi	VI-45
6.5.4.	Perencanaan kuat geser	VI-46
6.5.5.	Contoh perhitungan penulangan dinding geser	VI-48
BAB VII	PERENCANAAN PONDASI	VII-1
7.1.	Metode analisa	VII-1
7.2.	Data tanah	VII-1
7.3.	Perencanaan jumlah tiang pancang	VII-1
7.3.1.	Daya dukung tiang	VII-2
7.3.2.	Daya dukung tiang pancang yang berdiri sendiri	VII-2
7.3.3.	Daya dukung tiang dalam kelompok	VII-4
7.3.4.	Beban maksimal pada tiang akibat momen dan aksial	VII-4
7.3.5.	Contoh perhitungan daya dukung tiang pancang	VII-5
7.4.	Kontrol tiang terhadap gaya lateral (horisontal)	VII-7
7.5.	Perencanaan poer (<i>pile cap</i>)	VII-10
7.5.1.	Kontrol geser pons pada poer	VII-11
7.5.2.	Contoh perhitungan geser pons pada poer	VII-12
7.5.3.	Penulangan lentur	VII-13
7.5.4.	Perhitungan geser pada penampang kritis	VII-15
7.6.	Perencanaan sloof (<i>Tie Beam</i>)	VII-16
7.6.1.	Dimensi sloof	VII-16
7.6.2.	Contoh perhitungan untuk sloof	VII-16
7.6.3.	Penulangan geser sloof	VII-18
7.6.4.	Penulangan pada sloof yang mengalami gaya tarik dan momen	VII-19

7.7. Cek tiang pancang terhadap pengaruh pengangkutan dan pengangkatan	VII-21
BAB VIII KESIMPULAN DAN SARAN	VIII-1
5.1. Kesimpulan	VIII-1
5.2. Saran	VIII-1
DAFTAR PUSTAKA	
LAMPIRAN	

DAFTAR GAMBAR

DAFTAR GAMBAR

Gambar 2-1.	Kurva perilaku beban <i>defleksi</i> untuk balok lentur	II-4
Gambar 2-2.	Respon struktur yang berperilaku elastis dan <i>elastoplastis</i> saat terjadi gempa besar	II-6
Gambar 2-3.	Mekanisme yang sering terjadi pada portal terbuka	II-8
Gambar 2-4.	Mekanisme gaya geser di kolom saat terjadi sendi plastis di balok	II-14
Gambar 2-5.	Panel pertemuan balok kolom portal dalam kondisi terjadinya sendi-sendi plastis pada kedua ujung balok	II-17
Gambar 4-1.	Penampang balok T (interior dan eksterior) dalam perencanaan pelat	IV-4
Gambar 4-2.	Rencana tebal pelat dan tinggi injakan tangga	IV-20
Gambar 4-3.	Rencana beban tangga dan perletakan tangga	IV-22
Gambar 4-4.	Permodelan struktur rangka sistem grid	IV-30
Gambar 4-5.	Rencana permodelan pertemuan struktur balok dengan <i>shearwall</i>	IV-32
Gambar 4-6.	Distribusi beban pada balok akibat beban pelat	IV-33
Gambar 4-7.	Tegangan penampang balok persegi tulangan tunggal	IV-39
Gambar 4-8.	Tegangan penampang balok persegi tulangan ganda	IV-41
Gambar 4-9.	Tegangan penampang balok T palsu	IV-44
Gambar 4-10.	Tegangan penampang balok T asli	IV-44
Gambar 4-11.	Tipe sambungan momen dengan pelat ujung	IV-84
Gambar 4-12.	Permodelan struktur gording	IV-88
Gambar 4-13.	Model posisi penggantung gording	IV-94
Gambar 4-14.	Model struktur atap jurai	IV-95
Gambar 4-15.	Model sambungan kuda-kuda dengan kolom	IV-99
Gambar 4-16.	Model sambungan 1/2 kuda-kuda dengan pengaku	IV-102
Gambar 4-17.	Model pertemuan 1/2 kuda-kuda pada atap jurai	IV-104
Gambar 4-18.	Model balok pada lift	IV-107
Gambar 4-19.	Konsol perletakan tangga	IV-110
Gambar 6-1.	Distribusi momen balok dari As ke ujung balok	VI-4
Gambar 6-2.	Geser balok	VI-17
Gambar 6-3.	Rencana penulangan lentur shearwall	VI-45
Gambar 6-4.	Sket rencana penulangan dinding geser	VI-50
Gambar 7-1.	Rencana jumlah tiang pancang	VII-6
Gambar 7-2.	Rencana penulangan sambungan tiang pancang dengan poer	VII-10
Gambar 7-3.	Penampang kritis poer	VII-11
Gambar 7-4.	Asumsi perencanaan poer	VII-13
Gambar 7-5.	Pembebatan pada sloof	VII-17
Gambar 7-6.	Penampang tulangan sloof	VII-19
Gambar 7-7.	Rencana pengangkatan tiang pancang	VII-21

BAB I
PENDAHULUAN

BAB I

PENDAHULUAN

1.1. Latar belakang

Struktur gedung semakin tinggi maka diperlukan analisa perhitungan struktur yang semakin kompleks. Sistem mekanis dan transportasi vertikal, akan mengakibatkan luas lantai akan menjadi berkurang. Dalam perencanaan struktur gedung tinggi maka perlu ditentukan unsur-unsur dasar bangunan sebagai pendukung beban yang sesuai dengan fungsi dari bangunan tersebut.

Gedung Kampus STIKOM Surabaya adalah proyek gedung yang berfungsi sebagai sarana pendidikan. Dengan modifikasi struktur gedung STIKOM yang diharapkan dapat membandingkan struktur gedung yang sudah ada tanpa mengindahkan fungsi utama gedung, dimana gedung tersebut sudah direncanakan sebelumnya. Dari bangunan yang sudah direncanakan sebelumnya tampak gedung tersebut sedikit kurang simetris dan tidak adanya dinding geser untuk menahan gaya lateral dinamik gempa, sehingga kurang memenuhi persyaratan dari gedung tahan gempa.

Sebagai bangunan pendidikan Gedung Kampus STIKOM Surabaya memerlukan ruangan belajar, ruang dosen, *auditorium*, ruang karyawan/staf, laboratorium dan gudang untuk memenuhi fungsi gedung tersebut. Suatu pemecahan yang lazim digunakan adalah dengan menempatkan sistem transportasi dan distribusi energi (lift dan tangga) sehingga membentuk beberapa inti, tergantung pada ukuran dan fungsi bangunan. Inti-inti ini untuk selanjutnya digunakan sebagai sistem dinding geser untuk memenuhi kekakuan lateral yang diperlukan bangunan.

Sesuai dengan fungsinya maka sistem struktur yang dipilih di sini adalah menggunakan konsep *building frame system* di mana gaya gravitasi ditahan oleh balok dan kolom. Sedangkan gaya lateral (gaya gempa dan angin) ditahan oleh dinding geser rangka (*frame core*) yaitu dengan penempatan dinding geser

(shearwall) terletak di tengah dari gedung utama dan kolom-kolom yang direncanakan terletak di tepi, melingkari gedung utama.

Kriteria perencanaan struktur gedung tahan gempa yang *daktail* dengan faktor jenis struktur K yang minimum ($K=1$) atau daktilitas penuh yang merupakan suatu perencanaan yang cukup realistik dan ekonomis dengan konsekuensi pendetailan tulangan yang khusus dan perencanaan gaya-gaya dalam dengan *Konsep Disain Kapasitas*.

1.2. Permasalahan

Di dalam modifikasi perencanaan gedung STIKOM, ada beberapa permasalahan yang perlu diperhatikan adalah sebagai berikut :

- a. Perencanaan struktur dengan tingkat daktilitas penuh akan membawa konsekuensi pendetailan yang khusus dan perencanaan gaya-gaya dengan konsep desain kapasitas yang lebih teliti daripada dengan konsep kekuatan batas. Dengan konsep desain kapasitas ini, struktur diharapkan dapat memberikan respon inelastis terhadap beban siklis yang bekerja dan mampu menjamin pengembangan mekanisme sendi plastis pada elemen-elemen yang ditentukan dengan kapasitas disipasi energi yang merata tanpa kerusakan struktur. Dengan demikian terjadinya mekanisme sendi plastis harus dikendalikan, dimana sendi plastis tersebut diharapkan terjadi di tempat-tempat yang telah ditentukan, dengan cara meningkatkan kekuatan unsur yang berbatasan. Dalam hal ini sendi-sendi plastis harus terjadi pada balok, sehingga struktur direncanakan dengan prinsip kolom kuat balok lemah (*strong column - weak beam*)
- b. Pada analisa atap baja, bagaimana perilaku baja dapat berperilaku *daktail* seperti yang diharapkan, dengan persyaratan daktilitas penuh
- c. Pada analisa penampang, bagaimana menghitung jumlah tulangan penguat pada beton non-pratekan agar dapat memenuhi syarat-syarat *serviceability* dan nilai K yang telah ditentukan berdasarkan SK SNI-T-15-1991-03

- d. Permasalahan lainnya adalah dalam hal pendetailan khusus untuk komponen-komponen struktur dan join-joinnya (balok-kolom) untuk menjamin agar perilaku struktur memuaskan pada saat terjadi gempa yang kuat sekalipun.

1.3. Maksud dan tujuan

Tujuan perencanaan secara garis besar adalah untuk merancang struktur yang rasional dengan memenuhi syarat-syarat keamanan atas struktur, berdasarkan kekuatan dan *deformasi* yang timbul di dalam struktur akibat pembebanan khusus yang direncanakan boleh bekerja pada struktur.

Dengan modifikasi perencanaan gedung STIKOM dimaksudkan gedung tersebut dapat dibuat simetris agar tidak ada penambahan gaya puntir, dan diharapkan juga gedung STIKOM mampu menahan beban *siklis* gempa (bangunan tahan gempa) disamping beban gravitasi.

Pada perencanaan struktur dengan daktilitas penuh atau daktilitas tingkat tiga ($\mu = 4,0$) harus direncanakan terhadap beban siklis gempa kuat sedemikian rupa dengan pendetailan khusus sehingga mampu menjamin terbentuknya sendi-sendi plastis dengan kapasitas pemencaran energi yang diperlukan. Hal ini beban gempa rencana dapat diperhitungkan dengan menggunakan faktor jenis struktur K minimum sebesar 1,0.

Dengan kata lain perencanaan ini bertujuan khusus untuk menganalisa struktur atas gaya-gaya dalam yang terjadi, sehingga batas keamanan struktur yang ada dapat dikontrol dan dapat dirancang struktur yang aman dan kuat terhadap beban gempa atau beban gravitasi, serta untuk menerapkan ilmu pada perencanaan struktur yang sebenarnya.

1.4. Ruang lingkup

Ruang lingkup tugas akhir ini dibatasi pada perencanaan struktur dari Gedung Kampus STIKOM Surabaya yang telah dimodifikasi, dengan rincian perencanaan sebagai berikut :

1.4.1. Modelisasi struktur

Adapun modelisasi yang penulis ambil di dalam perencanaan ulang dari struktur gedung STIKOM ini adalah :

1. Sistem struktur yang dipakai adalah *system frame core*
2. Perencanaan di sini hanya ditinjau dari segi teknisnya saja, tanpa meninjau segi arsitektur maupun segi ekonomisnya
3. Balok anak hanya bersifat membebani struktur utama yang berupa beban terpusat, tetapi tidak mempengaruhi perilaku struktur
4. Pelat dianggap sebagai diafragma yang kaku untuk mendistribusikan beban lateral kepada kolom portal dan dinding geser (*shearwall*)
5. Untuk merencanakan pondasi tiang pancang, penulis menggunakan tiang pancang yang sudah ada di pasaran.

1.4.2. Data bangunan modifikasi

Modifikasi dari perencanaan ulang ini diharapkan nantinya didapatkan data bangunan sebagai berikut :

- Nama gedung : Gedung Kampus STIKOM Surabaya
- Lokasi : Jl. Wonorejo Rungkut, Surabaya
- Fungsi : Pendidikan
- Jumlah lantai : 9 lantai kuliah + lantai Auditorium
- Tinggi gedung total : 52,3 m
- Tinggi antar lantai : lantai 1 s/d lantai auditorium tingginya 4 m
- Elevasi : lantai 1 → ± 0,00
lantai Auditorium → 36,00
- Jenis atap : atap baja
- Pondasi : tiang pancang
- Struktur bawah : struktur beton
- Struktur atas : struktur beton

-
- Zone gempa : zone gempa 4
 - Jenis tanah : lempung

1.4.3. Mutu bahan yang dipakai

Tulangan yang dipakai direncanakan menggunakan tulangan deform yaitu tulangan yang memiliki bentuk permukaan khusus (bergerigi, berulir, dan lain-lain) yang diharapkan mampu memiliki daya lekat yang baik terhadap beton, adapun mutu bahan yang akan digunakan adalah sebagai berikut :

- Mutu beton
balok, pelat, kolom dan dinding geser, $f_{ck} = 30 \text{ MPa} = 300 \text{ kg/cm}^2$
$$f'_c = \{0,76 + 0,2 \log(f_{ck}/15)\} \times f_{ck}$$
$$= 24,6 \text{ MPa}$$
- Mutu baja (f_y) = $390 \text{ MPa} = 3900 \text{ kg/cm}^2$
- Mutu baja profil struktur atap BJ 37 (f_y) = $240 \text{ MPa} = 2400 \text{ kg/cm}^2$

1.4.4. Perhitungan struktur

Dengan modifikasi struktur gedung STIKOM, perhitungan perencanaan dan pendimensian struktur dibatasi :

1. Perencanaan struktur sekunder yang meliputi pendimensian dan penulangan plat, balok anak, dan tangga
2. Pada struktur atap, perencanaan profil dan detail sambungan
3. Perencanaan struktur utama yang meliputi pendimensian dan penulangan kolom, balok induk dan dinding geser
4. Perencanaan struktur bawah yang meliputi perencanaan pondasi dalam, sloof dan poor.

Hasil perhitungan dituangkan dalam bentuk gambar-gambar struktur berupa rencana detail sambungan atap baja dan penulangan plat, balok anak, tangga, balok induk, kolom, dinding geser dan pondasi yang dibuat dengan memperhatikan pendetailan yang diisyaratkan dalam peraturan.

1.5. Konsep desain

Ada dua aspek yang sangat penting yang menjadi landasan disain yaitu aspek teknis dan aspek ekonomis.

1.5.1. Aspek teknis

Falsafah dasar dalam merencanakan bangunan dengan struktur tahan gempa, adalah :

- a. Bangunan tidak boleh rusak oleh gempa kecil
- b. Akibat gempa sedang, bangunan boleh mengalami kerusakan hanya pada elemen-elemen sekunder
- c. Akibat gempa besar, bangunan boleh rusak asal tidak mengalami keruntuhan mendadak (*brittle*) untuk memenuhi falsafah tersebut, maka suatu struktur harus direncanakan dengan disain tertentu.

Tipe struktur suatu bangunan biasanya selalu dihubungkan dengan tingkat daktilitas struktur. Semakin tinggi tingkat daktilitas, maka akan semakin rendah tipe struktur.

Faktor tipe struktur ini seperti halnya faktor-faktor daktilitas, akan mempengaruhi respon struktur tahan gempa. Faktor tipe struktur gedung yang direncanakan dengan tingkat daktilitas 3 mempunyai nilai faktor $K=1,0$.

1.5.2. Aspek ekonomis

Pada tugas akhir ini, kami selaku penulis tidak membahas mengenai hal-hal yang berkaitan dengan masalah biaya tersebut.

1.6. Sistematika penulisan

Adapun sistematika penulisan Tugas Akhir ini mencakup beberapa masalah dan perhitungan struktur yang disajikan dalam beberapa bab :

- Bab I

Pada bab ini, merupakan bab pertama yang menyajikan pokok bahasan masalah, yaitu mengenai latar belakang penulisan Tugas Akhir, konsep modelisasi

perencanaan, data-data fisik perencanaan, mutu bahan material yang digunakan dan batasan masalah yang akan dibahas.

- Bab II

Pada bab ini, menjelaskan sebagian teori penunjang yang akan digunakan dalam perhitungan perencanaan serta peraturan-peraturan yang akan dipakai sebagai acuan perhitungan struktur, di samping itu juga ada data-data bahan material bangunan dan tipe/macam pembebanan yang digunakan.

- Bab III

Pada bab ini, menyajikan bagan alir dari perencanaan tugas akhir serta metode yang akan dipakai dalam menganalisa perhitungan struktur.

- Bab IV

Pada bab ini, menyajikan perhitungan struktur sekunder yang meliputi : perhitungan tebal pelat, perhitungan perencanaan tulangan pelat, perhitungan perencanaan tangga, perhitungan perencanaan balok anak, dan perhitungan perencanaan atap baja.

- Bab V

Pada bab ini, menganalisa struktur utama melalui program SAP90 yang dimodelkan tiga dimensi serta kontrol analisa dari program tersebut setelah dilakukan running program.

- Bab VI

Pada bab ini, menyajikan perhitungan struktur utama yang meliputi : perhitungan perencanaan balok induk, perhitungan perencanaan kolom, perhitungan perencanaan pertemuan balok-kolom, dan perhitungan perencanaan dinding geser.

- Bab VII

Pada bab ini, membahas perencanaan pondasi yang didasarkan pada hasil uji SPT (*Standard Penetration Test*) kemudian dilakukan perhitungan : daya dukung pondasi, perhitungan jumlah tiang pancang, perhitungan perencanaan poer, perhitungan perencanaan sloof dan perhitungan kontrol terhadap tiang pancang terhadap pengangkutan dan pengangkatan.

Tugas Akhir

- Bab VIII

Pada bab ini, menyajikan kesimpulan dan saran penulisan Tugas Akhir.

- Lampiran

Hal-hal yang mengenai tabel-tabel perhitungan dan lampiran penunjang perencanaan lainnya.

BAB II
DASAR PERENCANAAN

BAB II

DASAR PERENCANAAN

2.1. Data-data perencanaan

2.1.1. Data umum bangunan

Gedung Kampus STIKOM Surabaya adalah gedung 10 lantai yang terdiri dari 9 lantai perkuliahan dan 1 lantai *auditorium*/ruang pertemuan. Bangunan secara umum direncanakan dengan memakai sistem beton bertulang. Beda ketinggian antar lantai 4 m. Lantai paling atas digunakan sebagai ruang *auditorium* dimana ruangan ini tidak boleh ada kolom di tengah sehingga rangka atap yang digunakan adalah dari baja berupa atap jurai.

2.1.2. Data tanah

Dari data tanah yang ada menunjukkan bahwa kondisi tanah di bawah gedung STIKOM adalah tanah lempung, dan berdasarkan data tanah hasil uji *sondir* dan hasil uji SPT (*Standard Penetration Test*) diperoleh bahwa tanah keras terletak cukup dalam, maka dalam perencanaan struktur bawah memakai tiang pancang dari WIKA

2.2. Pembebanan

Jenis-jenis pembebanan yang harus diperhitungkan dalam perencanaan ulang struktur Gedung Kampus STIKOM adalah :

1. Beban mati

Mencakup beban-beban yang disebabkan oleh berat sendiri struktur yang bersifat tetap dan bagian lain yang tak terpisahkan dari gedung, beban mati akan didapatkan setelah perhitungan struktur sekunder dihitung, yaitu perhitungan pelat dan tangga.

b. Lift traksi (dengan penggerak motor)

Pada umumnya gedung-gedung tinggi di Indonesia memiliki lift traksi. Lift traksi dihubungkan dengan kabel-kabel atau kabel lift ke motor atau motor lift.

Pada Tugas Akhir ini dipergunakan lift traksi produksi P.T. Indo Elevator Mfg. (Ltd). Sesuai dengan kapasitas penumpang, kecepatan lift yang diperlukan, jumlah lantai yang dilayani dan jarak yang tempuh maka dipilih lift dengan kode lift $P_{10}-CO_{60}$, dengan spesifikasi sebagai berikut :

- kapasitas penumpang = 10 orang
- beban = 680 kg
- kecepatan (*speed*) = 60 m/menit
- dimensi (ukuran dalam mm)
 - sangkar : (A = 1400, B = 1250, C = 800)
 - ruang luncur : (X = 1850, Y = 1750, P = 1550, OH = 4480)
 - ruang mesin : (F = 2500, G = 3550)
- beban reaksi (kg) = ($R_1 = 4690$, $R_2 = 3270$)
- daya motor = 9 kw

Yang menjadi persoalan dalam perencanaan lift adalah ruang mesin lift, dan ruang luncur paling bawah. Pada ruang luncur paling bawah adalah sloof untuk lift lebih rendah daripada sloof pondasi. Beban lift berupa beban terpusat pada tengah bentang balok.

2.3. Peraturan-peraturan yang dipakai

Di dalam penyusunan Tugas Akhir ini, penulis memakai pedoman dari beberapa peraturan yang ada antara lain :

- Peraturan Beton Indonesia (PBI '71)
- Pedoman Beton 1989 (PB '89)

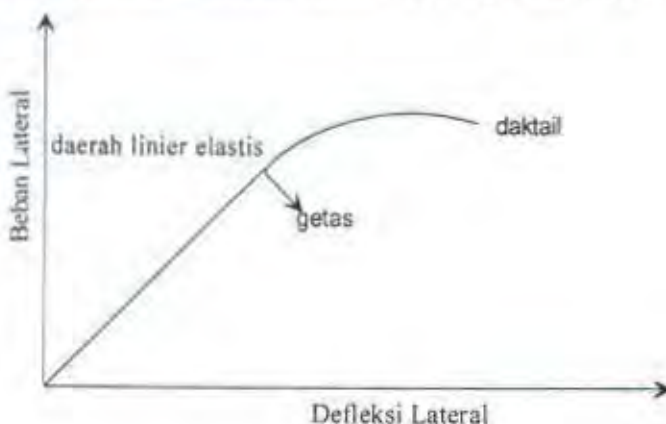
- Tata Cara Perhitungan Struktur Beton Untuk Bangunan Gedung (SK SNI T-15-1991-03)
- Peraturan Pembebanan Indonesia Untuk Gedung 1983 (PPI '83)
- Peraturan Perencanaan Tahan Gempa Indonesia Untuk Gedung 1983
- Peraturan Perencanaan Untuk Struktur Beton Bertulang dan Struktur Tembok Bertulang Untuk Gedung 1983
- Tata Cara Perencanaan Konstruksi Baja Untuk Bangunan Gedung (konsep SNI '97)
- Peraturan Perencanaan Bangunan Baja Indonesia (PPBBI '84)
- Peraturan-peraturan penunjang lainnya.

2.4. Perencanaan tahan gempa

2.4.1. Daktilitas sebagai kriteria perancangan struktur tahan gempa

2.4.1.1. Umum

Dalam menganalisa struktur terhadap beban gempa, tidak terlepas dari sifat-sifat dan kelakuan unsur-unsur strukturnya saat mengalami beban gempa. Untuk menganalisa pengaruh beban gempa diidealisasikan berupa beban bolak-balik. Sifat dan kelakuan unsur struktur tersebut digambarkan dalam bentuk kurva kelakuan beban versus defleksi. Dimana unsur struktur mengalami pembebanan sampai keadaan batas (*ultimate*) yang terlihat pada gambar 2-1.



Gambar 2-1. Kurva perilaku beban *defleksi* untuk balok lentur.

Dari kurva tersebut dapat dilihat adanya perbedaan antara kelakuan getas (*brittle*) dan kelakuan liat (*ductile*). Pemahaman terhadap karakteristik kurva tersebut sangat diperlukan karena alasan-alasan sebagai berikut :

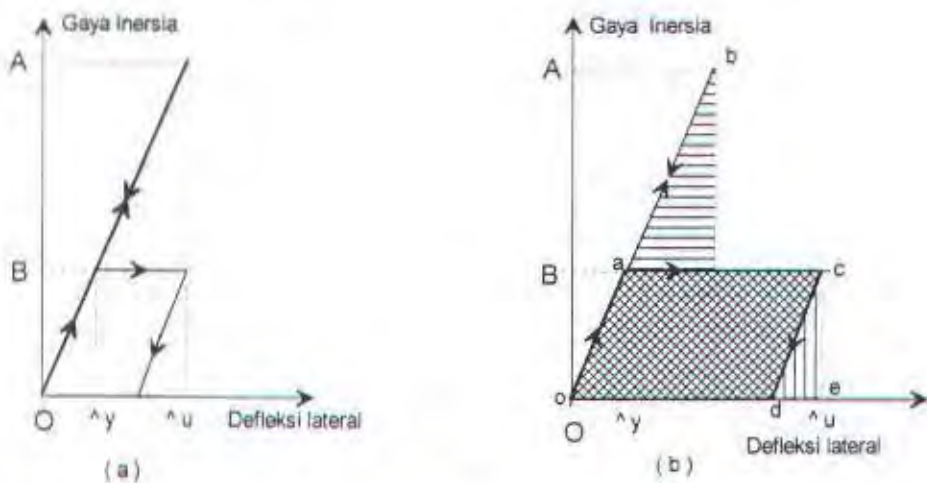
1. Kegagalan getas pada unsur-unsur struktur tidak boleh terjadi. Dalam kondisi dimana struktur dibebani lebih hingga mendekati keruntuhan, maka struktur harus mengalami defleksi yang cukup besar. Sehingga keselamatan jiwa dapat dijamin dengan adanya peringatan deformasi unsur struktur tersebut, disamping juga dapat mencegah keruntuhan total struktur
2. Perencanaan mekanisme runtuh pada struktur dilakukan dengan cara mengatur letak sendi-sendi plastis pada unsur-unsur struktur. Sendi-sendi plastis ini terbentuk atas dasar perilaku daktail struktur. Jadi pada saat beban batas hampir tercapai, beberapa penampang unsur struktur memikul momen tahanan batas yang menyebabkan terjadinya rotasi plastis, dimana pada penampang lain momen tahanan belum mencapai batas maksimumnya. Penambahan beban akan menyebabkan meningkatnya nilai momen tahanan penampang-penampang yang belum mengalami rotasi plastis, sampai dicapai kekuatan batasnya. Sementara pada penampang yang mengalami rotasi plastis, penambahan beban hanya akan menambah perputaran rotasinya
3. Pada daerah dimana perencanaan gempa diperlukan, faktor yang sangat penting dalam disain adalah daktilitas struktur. Karena filosofi disain gempa saat ini didasarkan pada konsep penyerapan dan pemencaran energi melalui kelakuan *deformasi elastoplastis* dalam menahan gempa besar.

2.4.1.2. Pengertian daktilitas

Sesuai dengan filosofi perencanaan bangunan tahan gempa di Indonesia menurut PPTGIUG '83 bahwa perencanaan dari suatu struktur gedung pada daerah gempa haruslah menjamin struktur bangunan tersebut agar tidak rusak/runtuh oleh gempa kecil atau sedang, tetapi oleh gempa yang kuat struktur utama boleh rusak tetapi tidak boleh sampai terjadi suatu keruntuhan gedung. Hal ini dapat dicapai jika struktur gedung tersebut mampu melakukan perubahan bentuk secara daktail,

dengan cara memencarkan energi gempa serta membatasi gaya gempa yang bekerja padanya.

Seperti diilustrasikan pada gambar 2-2 saat terjadi gempa kuat struktur yang direncanakan berperilaku elastis harus dapat memikul beban gempa sebesar OA. Bila struktur ternyata mampu berperilaku daktail dengan membentuk sendi plastis, maka taraf pembebanan gempa cukup ditentukan sebesar OB yang beberapa kali lebih kecil dari OA.



Gambar 2-2. Respon struktur yang berperilaku elastis dan *elastoplastis* saat terjadi gempa besar

$$\mu = \frac{\delta u}{\delta y} \rightarrow R = \frac{OA}{OB} = \mu$$

$$\mu = \frac{\delta u}{\delta y} \rightarrow R = \frac{OA}{OB} = \sqrt{2\mu - 1}$$

- a). Respons dengan defleksi maksimum sama
- b). Respons dengan energi potensial sama

Serangkaian hasil analisa dinamis menunjukkan, bahwa struktur daktail dengan waktu getar alami, T yang relatif panjang cenderung untuk memiliki respon *elastoplastis* dengan *defleksi* maksimum yang sama besar dengan *defleksi* maksimum respon elastisnya. Besarnya faktor pembatasan beban gempa R sama dengan besarnya daktilitas struktur (μ), yang merupakan rasio antara *defleksi* maksimum (δu) dan *defleksi* saat leleh pertama (δy), sedangkan struktur dengan

waktu getar alami, T yang relatif pendek cenderung berperilaku *elastoplastis* dengan energi potensial yang sama besar dengan energi potensial respon elastisnya.

Energi total yang tersimpan pada keadaan deformasi maksimum adalah luas o-a-c-e, tetapi bila struktur dikembalikan pada keadaan tanpa beban, beban geser = 0, maka tidak semua energi dipakai untuk mengembalikan pada kondisi awal, tetapi hanya sebagian energi saja, yaitu luas c-d-e yang kembali menjadi energi kecepatan. Perilaku *elastoplastis* merupakan dasar teknik penyimpanan energi yang dipakai untuk perencanaan struktur daktail.

Umumnya struktur beton bertulang mampu mengalami *defleksi* maksimum (δ_u) sebesar 4 kali defleksi leleh pertama (δ_y) tanpa penurunan kekuatan yang berarti, atau secara umum dinyatakan : $\mu = \frac{\delta_u}{\delta_y} = 4$,

Untuk menciptakan struktur beton bertulang yang mempunyai daktilitas tinggi, yaitu mempunyai $\mu \geq 4$, maka diperlukan teknik penyelesaian detail tulangannya secara khusus.

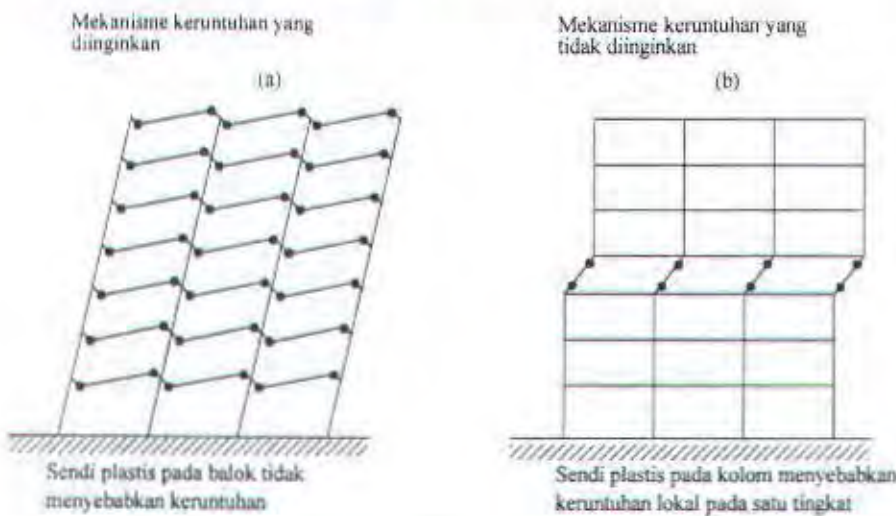
2.4.1.3. Prinsip pemencaran energi

Di dalam buku Pedoman Perencanaan untuk Struktur Beton Bertulang Biasa dan Struktur Tembok Bertulang untuk Gedung 1983, menetapkan suatu taraf beban gempa rencana yang menjamin suatu struktur agar tidak rusak karena gempa-gempa kecil atau sedang, tetapi saat dilanda gempa kuat yang jarang terjadi, struktur tersebut mampu berperilaku daktail dengan memencarkan energi gempa dan sekaligus membatasi beban gempa yang masuk ke dalam struktur. Untuk menghadapi gempa kuat yang mungkin terjadi dalam periode waktu tertentu, misalnya 200 tahun, maka mekanisme keruntuhan suatu portal rangka terbuka beton bertulang dipilih sedemikian rupa, sehingga pemencaran energi gempa terjadi secara memuaskan dan keruntuhan yang bersifat *katastropik* dapat dihindarkan.

Gambar 2-3, memperlihatkan dua mekanisme yang khas dapat terjadi pada portal-portal rangka terbuka. Mekanisme goyang dengan pembentukan sebagian besar sendi plastis pada balok-balok lebih dikehendaki daripada mekanisme dengan

pembentukan sendi plastis yang terpusat hanya pada ujung-ujung kolom suatu lantai (*soft-storey mechanism*), karena beberapa alasan sebagai berikut :

1. Pada mekanisme pertama (Gambar 2-3a) pemencaran energi gempa terjadi di dalam banyak unsur, sedangkan pada mekanisme kedua (Gambar 2-3b) pemencaran energi terpusat pada sejumlah kecil kolom-kolom struktur
2. Pada mekanisme pertama, bahaya ketidakstabilan akibat $P-\Delta P$ jauh lebih kecil dibandingkan dengan yang mungkin terjadi pada mekanisme kedua (*soft-story mechanism*).
3. Daktilitas kurvatur yang dituntut dari balok untuk menghasilkan daktilitas struktur tertentu, misalnya $\mu = 4$, pada umumnya jauh lebih mudah dipenuhi daripada pada kolom yang seringkali tidak memiliki cukup daktilitas akibat besarnya gaya aksial tekan yang bekerja.



Gambar 2-3. Mekanisme yang sering terjadi pada portal terbuka

Guna menjamin terjadinya mekanisme goyang dengan pembentukan sebagian besar sendi plastis pada balok, konsep disain kapasitas diterapkan untuk merencanakan agar kolom-kolom lebih kuat dari balok-balok portal (*strong column - weak beam*). Keruntuhan geser pada balok yang bersifat getas juga diusahakan agar tidak terjadi lebih dahulu dari kegagalan akibat beban lentur pada sendi-sendi plastis balok setelah mengalami rotasi-rotasi yang cukup besar.

Pada prinsipnya, dengan "Konsep Disain Kapasitas" elemen-elemen utama penahan beban gempa dapat dipilih, direncanakan dan didetail sedemikian rupa, sehingga mampu memencarkan energi gempa dengan deformasi inelastis yang cukup besar tanpa runtuh, sedangkan elemen-elemen lainnya diberi kekuatan yang cukup, sehingga mekanisme yang telah dipilih dapat dipertahankan pada saat terjadi gempa kuat.

Mengenai tingkatan daktilitas yang dirancang, SK SNI T '91 pasal 3.14.1 mengklasifikasikan tingkat daktilitas sebagai berikut :

a. Tingkat daktilitas 1

Struktur beton diproporsikan sedemikian rupa sehingga penyelesaian detail pada struktur bangunan sangat sedikit (struktur sepenuhnya elastis). Beban rancang lateral dasar harus dikalikan 4. Karena besarnya beban gempa, maka ukuran penampang menjadi sangat besar, sehingga perencanaan dengan cara ini tidak layak lagi.

b. Tingkat daktilitas 2

Struktur beton diproporsikan sedemikian rupa sehingga penyelesaian detail khusus akan memungkinkan struktur memberikan respon *inelastis* terhadap beban siklis yang bekerja tanpa mengalami keruntuhan getas. Beban rancang lateral harus dikalikan 2.

c. Tingkat daktilitas 3

Struktur beton diproporsikan sedemikian rupa sehingga penyelesaian detail khusus akan memungkinkan suatu struktur memberikan respon *inelastis* terhadap beban siklis yang bekerja dan mampu menjamin pengembangan mekanisme sendi plastis dengan kapasitas disipasi energi yang diperlukan tanpa mengalami keruntuhan. Beban rancang lateral dasar yang ditetapkan dalam PPTGIUG '83 harus diperhitungkan dengan faktor $K = 1$. Metode perencanaannya disebut Perencanaan Disain Kapasitas (*capacity design*) dengan prinsip *strong column - weak beam*.

2.4.2. Dasar pemilihan tingkat daktilitas penuh

Bila suatu gedung direncanakan dengan tingkat daktilitas 1, faktor jenis struktur (K) adalah 4, maka beban gempa yang direncanakan adalah 4 kali beban gempa yang dihitung sesuai dengan analisa respon *spektrum*. Karena besarnya beban gempa tersebut, maka ukuran penampang menjadi sangat besar, sehingga perencanaan bangunan menjadi tidak ekonomis lagi.

Pada struktur dengan daktilitas 2 (daktilitas terbatas), faktor jenis struktur (K) adalah 2, artinya beban gempa hanya dikalikan 2 sehingga tuntutan daktilitas untuk mengatasi gempa-gempa kuat yang melampaui taraf gempa rencana tidak setinggi perencanaan pada struktur dengan daktilitas penuh. Perencanaan dengan daktilitas terbatas masih belum ekonomis karena melihat perkalian gempa adalah 2. Karena melihat tidak ekonomisnya perencanaan di atas, maka dipilih direncanakan dengan daktilitas penuh.

Perencanaan struktur dengan daktilitas 3 (daktilitas penuh), faktor jenis struktur (K) adalah 1, artinya beban gempa hanya dikalikan 1, sehingga dengan demikian struktur lebih ekonomis. Konsekuensi dari perencanaan tersebut memerlukan prosedur disain yang lebih kompleks dan rumit karena harus menghitung kapasitas dari struktur tersebut (metode disain kapasitas). Selain itu untuk mencapai nilai daktilitas yang disyaratkan dibutuhkan pengaturan penulangan yang cukup rumit pada tempat-tempat terjadinya sendi plastis.

2.4.3. Langkah perencanaan dengan daktilitas penuh

Struktur mampu merespon gempa kuat secara inelastis sambil mengembangkan mekanisme sendi pastis di dalam balok-baloknya, dengan kapasitas pemencaran energi yang baik tanpa mengalami keruntuhan.

2.4.3.1. Perencanaan balok portal terhadap beban lentur

Kuat lentur perlu balok portal yang dinyatakan dengan $M_{u,b}$ harus ditentukan berdasarkan kombinasi pembebanan tanpa atau dengan beban gempa, sebagai berikut :

$$\begin{aligned}
 M_{u,b} &= 1,2 M_{D,b} + 1,6 M_{L,b} && \dots \text{SK SNI '91 pasal 3.2.1} \\
 &= 1,05 [M_{D,b} + M_{L,b} + M_{E,b}] && \dots \text{SK SNI '91 pasal 3.2.4a} \\
 &= 0,9 [M_{D,b} + M_{E,b}] && \dots \text{SK SNI '91 pasal 3.2.4b}
 \end{aligned}$$

dimana :

$M_{D,b}$ = Momen lentur balok portal akibat beban mati tak berfaktor

$M_{L,b}$ = Momen lentur balok portal akibat beban hidup tak berfaktor dengan memperhitungkan reduksinya sehubungan dengan peluang terjadinya pada lantai tingkat yang ditinjau, sesuai dengan "Tata cara Pembebanan untuk Rumah dan Gedung 1987, SNI 1727-1989 F"

Dalam metoda disain kapasitas ini perlu dihitung kapasitas lentur sendi plastis balok setelah dilakukan penulangan lenturnya. Guna memperhitungkan adanya kemungkinan peningkatan kuat lentur penampang balok di daerah sendi plastis, SK SNI T-15-1991-03 menetapkan :

$$M_{kap,b} = \phi_o M_{n_{ak,b}}$$

dimana :

$\phi_o = 1,25$ untuk $F_y \leq 400 \text{ Mpa}$

$\phi_o = 1,40$ untuk $F_y \geq 400 \text{ Mpa}$

$M_{n_{ak,b}}$ = Kuat lentur momen nominal aktual balok yang dihitung dari tulangan yang sebenarnya ada pada penampang balok yang ditinjau.

$M_{kap,b}$ = Kapasitas lentur aktual balok pada pusat pertemuan balok kolom dengan memperhitungkan luas tulangan yang sebetulnya terpasang.

ϕ_o = Faktor "*overstrength*" struktur

2.4.3.2. Perencanaan balok portal terhadap beban geser

Sesuai dengan konsep disain kapasitas, kuat geser balok portal yang dibebani oleh beban gravitasi sepanjang bentangnya harus dihitung dalam kondisi

terjadi sendi-sendi plastis pada kedua ujung balok portal tersebut, dengan tanda yang berlawanan (positif dan negatif).

Gaya geser rencana:

$$V_{u,b} = 0,7 \times \frac{M_{kap} + M'_{kap}}{L_n} + 1,05 V_g$$

Tetapi tidak perlu lebih besar dari :

$$V_{u,b} = 1,05 \times [V_{D,b} + V_{L,b} + \frac{4,0}{K} \times V_{E,b}]$$

dimana :

M_{kap} = Momen nominal aktual pada ujung komponen dengan memperhitungkan kombinasi momen positif dan momen negatif.

M'_{kap} = Momen kapasitas balok di sendi plastis pada bidang muka kolom sebelahnya.

L_n = Bentang bersih balok.

V_D = Gaya geser balok akibat beban mati.

V_L = Gaya geser akibat beban hidup.

$V_{E,b}$ = Gaya geser akibat beban gempa

2.4.3.3. Perencanaan kolom portal

Akibat pengaruh beban dinamis ini banyak kemungkinan terjadinya sendi plastis pada ujung-ujung kolom diatas lantai dasar. Untuk mencegah terjadinya sendi plastis ini, SK SNI '91 menentukan penggunaan koefisien pembesar dinamis (ω_d) , sehingga momen rencana balok menjadi :

$$\sum M_{u,k} = 0,70 \times (\omega_d) \times \sum M_{kap,b}$$

atau

$$M_{u,k} = 0,7 \times (\omega_d) \times \alpha_k \times (M_{kap,ki} + M_{kap,ka})$$

Tetapi dalam segala hal tidak boleh lebih besar dari :

$$\sum M_{u,k} = 1,05 \times (M_{D,k} + M_{L,k} + \frac{4,0}{K} + M_{E,k})$$

dimana :

$\Sigma M_{u,k}$ = Jumlah momen rencana kolom pada pusat join. Kuat kolom harus dihitung untuk gaya aksial berfaktor yang konsisten dengan arah dari gaya lateral yang ditinjau

ω_d = Faktor pembesar dinamis, diambil = 1,3

α_k = Faktor distribusi momen kolom portal yang ditinjau sesuai dengan kekakuan relatif kolom atas dan kolom bawah

$M_{kap,kL}$ = Momen kapasitas lentur balok di sebelah kiri bidang muka kolom

$M_{kap,kR}$ = Momen kapasitas lentur balok di sebelah kanan bidang muka kolom

$M_{D,k}$ = Momen pada kolom akibat beban mati

$M_{L,k}$ = Momen pada kolom akibat beban hidup

$M_{E,k}$ = Momen pada kolom akibat beban gempa

K = Faktor jenis struktur ($k \geq 1,0$).

Sedangkan beban aksial rencana, $N_{u,k}$ yang bekerja pada kolom dengan daktilitas penuh dihitung dari :

$$N_{u,k} = \frac{0,7 \times R_n \times \Sigma M_{kap,b}}{L_b} + 1,05 \times N_{g,k}$$

Tetapi dalam segala hal tidak perlu lebih besar dari :

$$N_{u,k} = 1,05 \times \left(N_{g,k} + \frac{4,0}{k} N_{E,k} \right)$$

dimana :

R_n = Faktor reduksi yang ditentukan sebesar

1,0 untuk: $1 < n < 4$

$1,1 - 0,025n$ untuk: $4 < n < 20$

0,6 untuk: $n > 20$

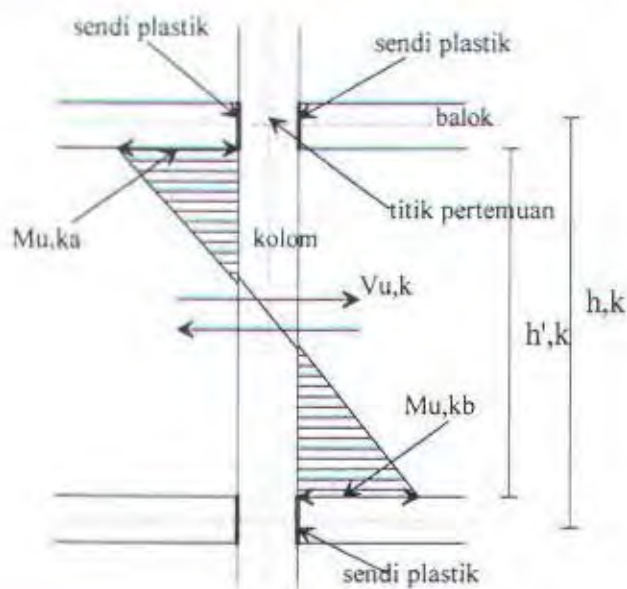
n = Jumlah lantai di atas kolom yang ditinjau

L_b = Bentang balok dari pusat ke pusat kolom

$N_{g,k}$ = Gaya aksial kolom akibat beban gravitasi

$N_{E,k}$ = Gaya aksial kolom akibat beban gempa.

Dalam segala hal, kuat lentur rencana kolom portal berdasarkan tulangan longitudinal yang terpasang harus dapat menampung kombinasi beban berfaktor oleh beban gravitasi dan beban gempa dalam 2 arah yang saling tegak lurus (100% dalam satu arah, 30% dalam arah tegak lurus pada arah tersebut), sesuai dengan "Pedoman Perencanaan Ketahanan Gempa untuk Rumah dan Gedung 1983".



Gambar 2-4. Mekanisme gaya geser di kolom saat terjadi sendi plastis di balok

2.4.3.4. Perencanaan kolom portal terhadap beban geser

Kuat geser perlu bagi kolom portal berdasarkan terjadinya momen kapasitas disendi plastis pada ujung-ujung balok yang bertemu pada kolom itu harus dihitung sebagai berikut :

$$V_{u,k} = \frac{M_{u,k,a} + M_{u,k,b}}{h'_k}$$

tetapi tidak perlu lebih besar dari :

$$V_{u,k} = 1,05 \times (V_{D,k} + V_{L,k} + \frac{4,0}{k} V_{E,k})$$

dimana :

$M_{u,k,a}$ = Momen rencana kolom pada ujung atas kolom pada bidang muka balok

$M_{u,k,b}$ = Momen rencana kolom pada ujung bawah kolom pada bidang muka balok

h'_i = Tinggi bersih kolom rangka yang ditinjau.

2.4.3.5. Perencanaan panel pertemuan balok kolom

Panel pertemuan balok kolom portal harus dipropsorsikan sedemikian rupa sehingga memenuhi persyaratan kuat geser horisontal perlu V_{uh} dan kuat geser vertikal perlu V_{uv} yang berkaitan dengan terjadinya momen kapasitas pada sendi plastis pada kedua ujung balok yang bertemu pada kolom itu. Gaya-gaya yang membentuk keseimbangan pada join rangka adalah seperti yang terlihat pada gambar 2-4, dimana gaya geser horisontal :

$$V_{jh} = C_{ki} + T_{ka} - V_{kol}$$

dimana :

$$C_{ki} = T_{ki} = 0,7 \times \frac{M_{kap,ki}}{Z_{ki}}$$

$$T_{ka} = C_{ka} = 0,7 \times \frac{M_{kap,ka}}{Z_{ka}}$$

$$V_{kol} = \frac{0,7 \times (\frac{L_{ki}}{l_{ki'}} \times M_{kap,ki} + \frac{L_{ka}}{l_{ka'}} \times M_{kap,ka})}{\frac{1}{2} \times (h_{k,a} + h_{k,b})}$$

Tegangan geser horisontal nominal dalam join adalah

$$\nu_{jh} = \frac{V_{jh}}{b_i \times h_e}$$

dimana :

b_i = Lebar efektif join (mm)

h_e = Tinggi total penampang kolom dalam arah geser yang ditinjau (mm)

$$\nu_{jh} \leq 1,5 \times \sqrt{f'c} \dots \text{(MPa)}$$

Sedang, gaya geser horisontal V_{jh} ditahan oleh dua mekanisme kuat geser inti join :

- a. Strat beton diagonal yang melewati daerah-daerah tekan ujung join yang memikul gaya geser V_{ch} .
- b. Mekanisme panel rangka yang terdiri dari sengkang horisontal dan strat beton diagonal daerah tarik join yang memikul gaya geser V_{sh} .

Besarnya V_{ch} harus diambil sama dengan nol kecuali :

- a. Tegangan tekan rata-rata minimal pada penampang bruto kolom beton di atas join termasuk tegangan prategang, apabila ada yang melebihi nilai $0,1 \times f_c$, maka :

$$V_{ch} = \frac{2}{3} \sqrt{\left(\frac{N_{u,k}}{A_g} \right)} - 0,10 \times f_c \times b_j \times h_c$$

- b. Balok diberi gaya prategang yang melewati join, maka :

$$V_{ch} = 0,7 \times P_{cs}$$

dengan P_{cs} adalah gaya permanen dalam baja prategang yang terletak di sepertiga bagian tengah tinggi kolom

- c. Seluruh balok join dirancang sehingga penampang kritis dari sendi plastis terletak pada jarak yang lebih kecil dari tinggi penampang balok diukur dari muka kolom, maka :

$$V_{ch} = 0,5 \times \frac{A'_s}{A_s} \times V_{jh} \times \left(1 + \frac{N_{u,k}}{0,4 \times A_g \times f'_c} \right)$$

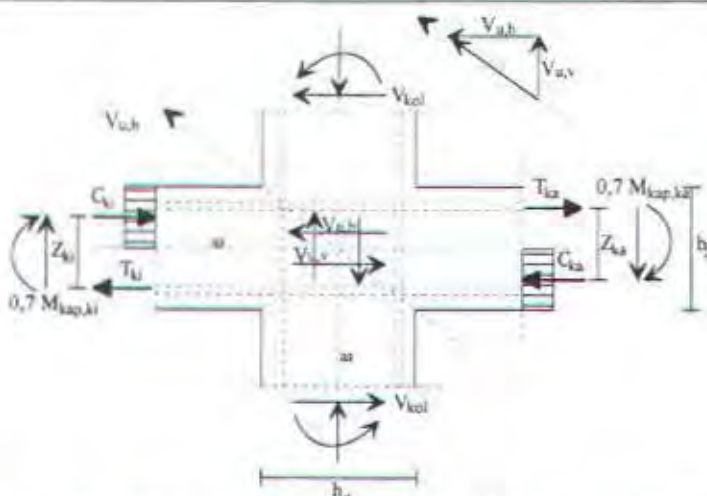
dimana :

$$\frac{A'_s}{A_s} < 1$$

sedangkan :

$$V_{sh} = V_{jh} - V_{ch}, \text{ dan luas tulangan geser horisontal efektif } (A_{jh})$$

$$V_{jh} = \frac{V_{jh}}{f_y}, \text{ yang harus didistribusikan secara merata di antara tulangan balok longitudinal atas dan bawah.}$$



Gambar 2-5. Panel pertemuan balok kolom portal dalam kondisi terjadinya sendi-sendi plastis pada kedua ujung balok.

Geser join vertikal V_{jv} dapat dihitung dari :

$$V_{jv} = V_{jh} \times \frac{h_c}{b_j}$$

Sedangkan tulangan join geser vertikal didapat dari :

$$V_{sv} = V_{jv} - V_{cv}$$

dengan :

$$V_{cv} = \frac{A'_s}{A_{sc}} \times V_{jh} \times \left(0,6 + \frac{N_{uk}}{A_g \times f_c} \right)$$

dimana :

A'_s = Luas tulangan longitudinal tekan

A_{sc} = Luas tulangan longitudinal tarik, dan luas tulangan join vertikal.

sehingga tulangan geser join :

$$A_{jv} = \frac{V_{sv}}{f_y}$$

Tulangan geser join vertikal ini harus terdiri dari tulangan kolom antara yang terletak pada bidang lentur antara ujung tulangan sisi luar, atau terdiri dari sengkang pengikat vertikal atau tulangan vertikal khusus yang diletakkan dalam

kolom dan dijangkarkan secukupnya untuk meneruskan gaya tarik yang disyaratkan ke dalam join.

2.4.4. Persyaratan perencanaan seismik untuk komponen struktur dengan daktilitas penuh

2.4.4.1. Komponen struktur rangka yang menahan beban lentur (balok)

1. Gaya tekan aksial terfaktor yang bekerja pada komponen struktur tersebut tidak melebihi ($A_y f_c/10$)
2. Bentang bersih komponen struktur tidak boleh kurang dari empat kali tinggi efektifnya kecuali untuk balok perangkai dinding geser
3. Rasio lebar terhadap tinggi tidak boleh kurang dari 0,3
4. Lebar tidak boleh (a) kurang dari 250 mm, dan (b) lebih dari lebar komponen penumpu (diukur dari bidang tegak lurus terhadap sumbu longitudinal komponen lentur) ditambah jarak yang tidak melebihi tiga perempat tinggi komponen lentur pada tiap sisi komponen penumpu
5. Eksentrisitas antara titik berat balok dan titik berat kolom tidak melampaui seperempat tinggi komponen lentur pada tiap sisi komponen penumpu
6. Pada sebarang penampang suatu komponen struktur lentur, jumlah tulangan atas maupun bawahnya tidak boleh kurang dari $(1,4 b_w d/f_y)$ dan rasio tulangan tidak boleh melampaui $(7 b_w d/f_y)$. Paling tidak harus disediakan dua batang tulangan menerus pada kedua tulangan atas dan bawah
7. Kuat momen positif pada sisi muka join tidak boleh kurang dari $1/2$ kuat momen negatif yang disediakan pada sisi muka join tersebut. Pada sebarang penampang komponen struktur tersebut, kuat momen positif maupun kuat momen negatifnya tidak boleh kurang dari seperempat kuat momen maksimum yang terdapat pada kedua ujung join
8. Sambungan lewatan tulangan lentur hanya diperbolehkan bila sepanjang daerah sambungan lewatan tadi dipasang tulangan sengkang penutup asal tulangan spiral. Jarak maksimum tulangan transversal yang melilit batang tulangan yang di

sambung lewat tidak boleh melebihi $d/4$ atau 100 mm. Sambungan lewatan tidak boleh digunakan :

- (a) dalam daerah join
- (b) dalam jarak dua kali tinggi komponen struktur muka join
- (c) pada lokasi dimana analisis menunjukkan terjadinya leleh lentur akibat perpindahan lateral *inelastis* rangka.

9. Sambungan las dan sambungan mekanikal yang memenuhi ketentuan SK SNI '91 boleh digunakan untuk penyambungan tulangan, asal pelaksanaan penyambungan pada suatu penampang pada tiap lapis tulangan tidak lebih dari pelaksanaan berselang, dan jarak sumbu dari sambungan batang yang berdekatan tidak kurang dari 600 mm, diukur sepanjang sumbu longitudinal dari komponen struktur rangka.

10. Sengkang tertutup harus di pasang pada daerah berikut dari komponen struktur rangka :

- a) Sepanjang dua kali tinggi komponen struktur diukur dari muka komponen struktur pendukung ke arah tengah bentang, pada kedua ujung komponen struktur lentur
- b) Sepanjang dua kali tinggi komponen struktur pada kedua sisi suatu penampang yang mungkin terjadi leleh lentur sehubungan dengan perpindahan lateral *inelastis* rangka.

11. Sengkang tertutup yang pertama harus di pasang tidak lebih dari 50 mm diukur dari sisi muka suatu komponen struktur pendukung. Spasi maksimum dari sengkang tersebut tidak boleh melebihi :

- a) $d/4$
- b) delapan kali diameter tulangan longitudinal terkecil
- c) 24 kali diameter batang sengkang
- d) 200 mm
- e) $\frac{1600 \times f_y \times A_{s,t}}{(A_{s,a} + A_{s,b}) \times f_y}$

dimana :

A_{sl} = Luas satu kaki dari tulangan transversal (mm^2)

A_{st} = Luas tulangan longitudinal atas (mm^2)

A_{sb} = Luas tulangan longitudinal bawah (mm^2)

f_y = Kuat leleh tulangan longitudinal (MPa).

12. Di daerah yang memerlukan sengkang tertutup, batang tulangan longitudinal pada perimeter harus mempunyai penahan lateral yang memenuhi ketentuan yang berlaku
13. Di daerah yang tidak memerlukan sengkang tertutup, sengkang harus dipasang dengan spasi tidak lebih dari $d/2$ pada seluruh panjang komponen struktur tersebut
14. Sengkang tertutup pada komponen struktur lentur boleh dibentuk dari dua potong tulangan yaitu sebuah sengkang terbuka U yang mempunyai kait 135-derajat dengan perpanjangan sebesar 6 kali diameter (tetapi tidak kurang dari 75 mm) yang dijangkar di dalam inti yang terkekang dan satu kait silang penutup hingga keduanya membentuk satu gabungan sengkang yang tertutup. Kait saling menutup yang berurutan yang mengait pada satu tulangan longitudinal yang sama harus dipasang sedemikian hingga kait 90-derajatnya terpasang berselang pada sisi yang berlawanan dari komponen struktur lentur. Bila batang tulangan longitudinal yang terikat oleh sengkang kait penutup hanya dibatasi oleh pelat pada satu sisi komponen struktur rangka lentur, maka kait 90 derajat kait silang penutup tersebut harus dipasang di sisi itu.

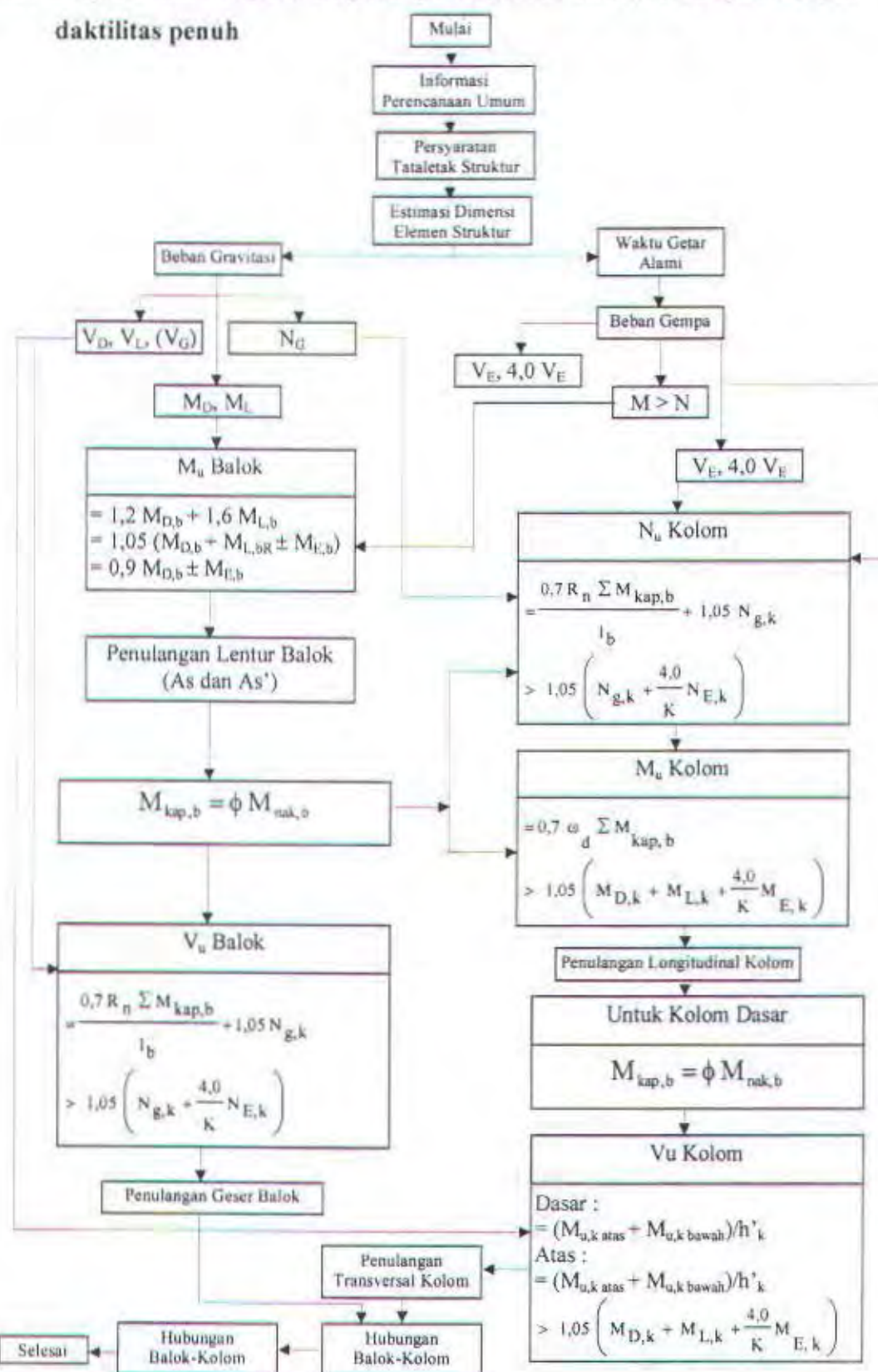
2.4.4.2. Komponen struktur rangka yang menahan lentur dan aksial (kolom)

1. Dimensi penampang terpendek, di ukur pada satu garis lurus yang melalui titik berat penampang, tidak boleh kurang dari 300 mm
2. Rasio dimensi penampang terpendek terhadap dimensi yang tegak lurus padanya tidak boleh kurang dari 0,4
3. Rasio tinggi antar kolom terhadap dimensi penampang kolom yang terpendek tidak boleh lebih besar dari 25. Untuk kolom yang mengalami momen yang

- dapat berbalik tanda, rasionya tidak boleh lebih besar dari 16. Untuk kolom *kantilever* rasionya tidak boleh lebih dari 10
4. Rasio tulangan p , tidak boleh kurang dari 0,01 dan tidak boleh lebih dari 0,06, dan pada daerah sambungan tidak boleh lebih dari 0,08
 5. Sambungan lewatan hanya digunakan di luar daerah sendi plastis potensial dan harus diproporsikan sebagai sambungan tarik. Sambungan las dan sambungan mekanikal yang memenuhi SK SNI '91 boleh digunakan untuk menyambung tulangan pada sembarang tempat, asal pengaturan penyambungan batang tulangan longitudinal pada satu penampang tidak lebih dari pengaturan berselang dan jarak antara sambungan adalah 600 mm
 6. Pada seluruh tinggi kolom harus dipasang tulangan transversal untuk memikul beban geser
 7. Tulangan transversal boleh terdiri dari sengkang tertutup tunggal atau majemuk atau menggunakan kait silang penutup dengan diameter dan spasi yang sama dengan diameter dan spasi yang ditetapkan untuk sengkang tertutup. Setiap ujung kait silang penutup yang berurutan harus diatur sehingga kait ujungnya terpasang berselang sepanjang tulangan longitudinal yang ada
Tulangan transversal harus dipasang dengan spasi tidak melebihi :
 - a) seperempat dimensi komponen struktur yang terkecil,
 - b) lebih kecil atau sama dengan delapan kali diameter tulangan memanjang,
 - c) lebih kecil atau sama dengan 100 mm.
 8. Kait silang atau kaki sengkang tertutup majemuk tidak boleh dipasang dengan spasi lebih dari 350 mm dari pusat ke pusat dalam arah tegak lurus terhadap sumbu longitudinal dari komponen struktur
 9. Pada setiap muka join pada kedua sisi dari setiap penampang yang mungkin mengalami leleh lentur akibat terjadinya perpindahan lateral *inelastis* dari rangka harus dipasang tulangan transversal dengan jumlah seperti yang ditentukan pada butir 6, 7 dan 8, sepanjang Lo dari muka yang ditinjau.
Panjang Lo tadi tidak boleh kurang dari :
 - a) tinggi komponen dimensi struktur, $N_{uk} < 0,30 \times A_g \times f_c$

- b) Satu setengah kali tinggi komponen dimensi struktur untuk $N_{uk} > 0,30 \times A_g \times f_c'$
- c) 1/6 bentang bersih komponen struktur
- d) 450 mm.
10. Bila gaya tekan aksial terfaktor yang berhubungan dengan pengaruh gempa yang bekerja pada komponen struktur nilainya melampaui ($0,10 \times A_g \times f_c'$), maka pada seluruh tinggi kolom yang berada di bawah ketinggian dimana terjadi pengakhiran komponen struktur kaku dan yang memikul reaksi dari komponen struktur kaku yang terputus tadi, misalnya dinding, harus diberi tulangan transversal seperti yang ditentukan dalam butir 6,7 dan 8. Tulangan transversal tersebut harus meneruskan ke dalam komponen struktur yang terputus paling tidak sejauh panjang penyaluran batang tulangan longitudinal yang terbesar di dalam kolom. Bila kolomnya berakhir pada suatu pondasi telapak atau pondasi rakit, maka tulangan transversal yang memenuhi butir 6, 7 dan 8 harus menerus sekurang-kurangnya 300 mm ke dalam pondasi tersebut.

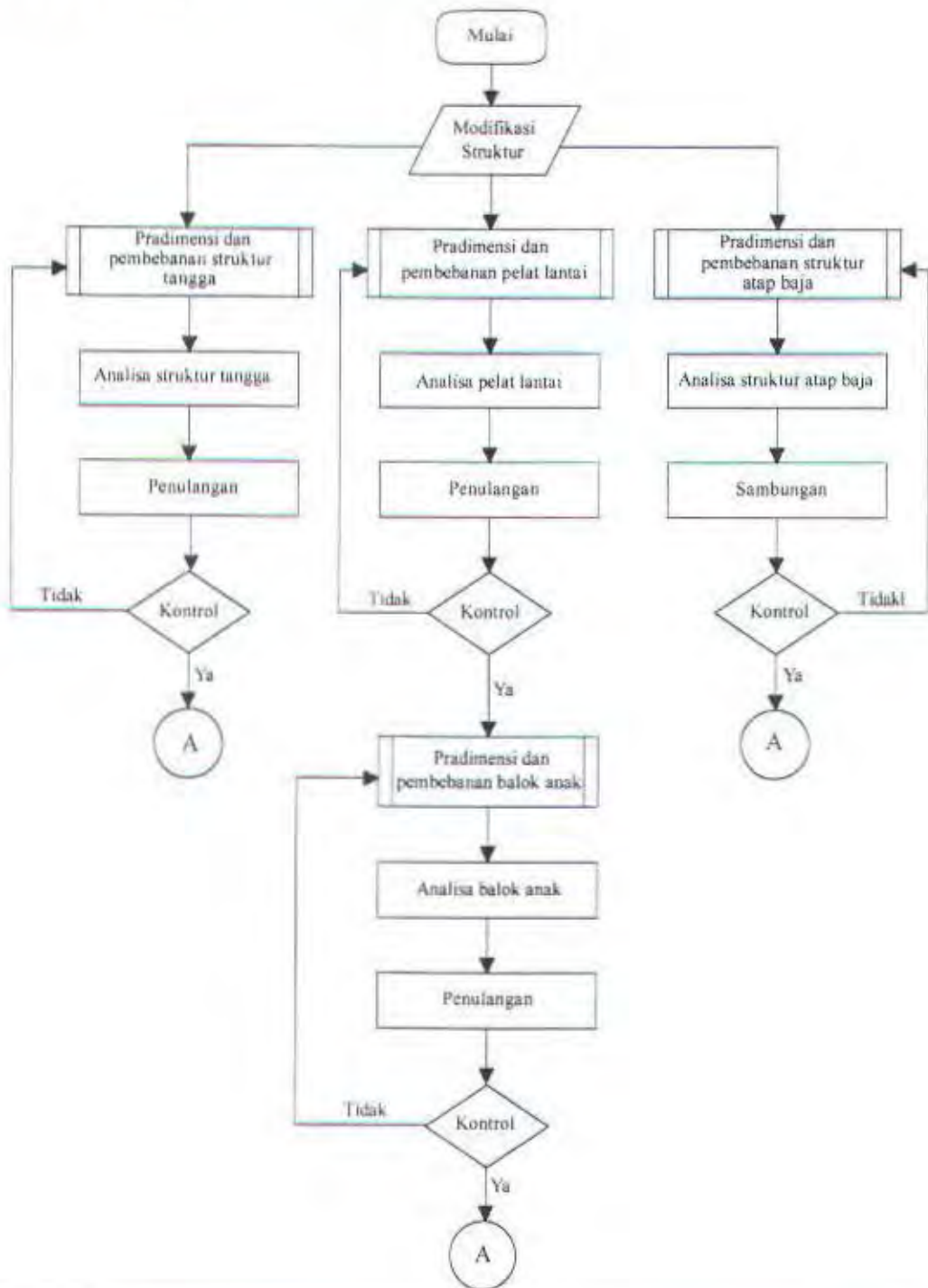
2.4.5. Diagram alir langkah-langkah perencanaan struktur rangka dengan duktilitas penuh



BAB III
METODOLOGI

BAB III METODOLOGI

3.1. Bagan alir perencanaan struktur



3.2. Metode analisa dan perhitungan

Metode-metode yang digunakan dalam analisa struktur Gedung Kampus STIKOM adalah :

1. Pada perhitungan gaya-gaya dalam pelat lantai digunakan koefisien-koefisien momen dari PBI '71 pasal 13.3. dan tabel 13.3.2, sedangkan perhitungan penulangannya berdasarkan SK SNI '91
2. Untuk analisa statis pada beberapa unsur sekunder (balok anak dan tangga) digunakan bantuan program SAP90
3. Pada struktur baja, analisa gaya-gaya dalam digunakan SAP90, sedangkan kontrol profil digunakan metode menurut konsep SNI '97
4. Perhitungan gaya-gaya dalam dari balok induk dan kolom, diperoleh dari analisa statis atau dinamis, struktur utama digunakan analisa tiga dimensi paket program SAP90. Struktur utama akan dimodelkan sebagai *struktur open frame* tiga dimensi (*space frame*)
5. Karena kekakuan dalam arah bidang (*inplane*) dari kebanyakan lantai beton cukup tinggi, maka lantai beton tersebut dapat dimodelkan sebagai "*Rigid Floor Diafragma*"
6. Untuk pemodelan dengan cara ini, maka massa dari tiap-tiap lantai dapat diasumsikan terpusat pada satu nodal atau master joint (*lumped mass parameter*)
7. Pada tahap terakhir dibahas tentang perencanaan pondasi yang meliputi perencanaan penulangan pondasi setempat, dan perencanaan sloof (*tie beam*). Perencanaan pondasi ini dihitung berdasarkan SK SNI '91 dan teori penunjang lainnya.

Hasil perhitungan dituangkan dalam bentuk gambar-gambar struktur berupa gambar rencana atap baja dan penulangan plat, balok, kolom, dinding geser dan pondasi yang dibuat dengan memperhatikan pendetailan yang disyaratkan dalam peraturan.

BAB IV
PERENCANAAN STRUKTUR
SEKUNDER

BAB IV

PERENCANAAN STRUKTUR SEKUNDER

4.1. Preliminary disain

Preliminary disain dimensi balok pengapit pelat, dapat diambil sekitar :

- Tinggi balok (h) = $(1/10 - 1/15) \times Lu$
- Lebar balok (b) = $(0,40 - 0,67) \times h$

4.1.1. Dimensi balok

1. Rencana balok induk bentang 650 cm dengan dimensi :

$$h = 1/12 \times 650 = 54,2 \rightarrow \text{dipakai } 55$$

$$b = 0,55 \times 55 = 30,3 \rightarrow \text{dipakai } 35$$

2. Rencana balok induk bentang 650 cm dengan dimensi :

$$h = 1/15 \times 650 = 43,3 \text{ dipakai } 45$$

$$b = 0,50 \times 45 = 22,5 \text{ dipakai } 25$$

4.1.2. Dimensi kolom

Direncanakan kolom : $b = h$

$$\frac{I_{\text{kolom}}}{L_{\text{kolom}}} \geq \frac{I_{\text{balok}}}{L_{\text{balok}}}$$

$$\frac{\frac{1}{12} \times b \times h^3}{400} \geq \frac{\frac{1}{12} \times 35 \times 55^3}{650}$$

$$b^4 \geq 3583462$$

$$b \geq 44 \text{ cm}$$

jadi untuk dimensi kolom diambil = 60 x 60 cm.

4.1.3. Dimensi pelat

4.1.3.1. Dasar perhitungan dimensi pelat

1. Pelat satu arah (*one way slab*)

Pelat yang membentang dalam satu arah yaitu yang ditumpu sepanjang dua tepi yang sejajar. Bila perbandingan bentang panjang (L_y) dengan bentang pendek (L_x) lebih besar dua ($L_y/L_x > 2$), maka praktis gaya aksi akan dipikul seluruhnya oleh tumpuan bentang pendek. Pemahaman akan pengertian tersebut di atas dapat dijelaskan dengan teori elastisitas *linier* atau dengan mekanika teknik. Pada kasus pelat, reaksi lebih besar dilimpahkan pada arah dimana pada kekakuanya lebih besar yaitu pada arah bentang pendek.

Maka SK SNI '91 mengijinkan jika $L_y/L_x > 2$, pelat dapat direncanakan sebagai pelat satu arah, dengan tulangan utama mengarah pada bentang pendek dan tulangan bagi (susut dan suhu) mengarah pada bentang panjang. Tebal minimum yang ditentukan menurut tabel 3.2.5a SK SNI '91.

2. Pelat dua arah (*two way slab*)

Pelat yang membentang dalam dua arah yaitu merupakan pelat dua arah yang didukung oleh balok pada keempat sisinya. Bila sebuah pelat lantai yang ditumpu pada keempat atau ketiga sisinya dibebani oleh beban merata, maka beban tersebut akan didistribusikan pelat lantai pada tumpuan dengan aksi dua arah. Gaya-gaya aksi yang terdapat pada pelat bujur sangkar tersebut adalah sama besar untuk masing-masing arah. Sedangkan pada pelat empat persegi panjang gaya aksi pada bentang pendek (L_x) adalah lebih besar dari aksi pada arah bentang panjang (L_y). Pelat dengan aksi dua arah $L_y/L_x < 2$.

SK SNI '91 pasal 3.2.5 butir 3 menetapkan bahwa tebal pelat dua arah dengan tumpuan balok pada keempat sisinya tidak boleh kurang dari nilai yang didapat dari :

$$h = \frac{\ln x \left\{ 0,8 + \left(\frac{L_y}{1500} \right) \right\}}{36 + 5\beta \left\{ \alpha_m - 0,12 \left(1 + \frac{1}{\beta} \right) \right\}}$$

tetapi tidak boleh kurang dari :

$$h = \frac{\ln x \left\{ 0,8 + \left(\frac{f_y}{1500} \right) \right\}}{36 + 9\beta}$$

dan tidak perlu lebih dari :

$$h = \frac{\ln x \left\{ 0,8 + \left(\frac{f_y}{1500} \right) \right\}}{36}$$

Batasan di atas dimaksudkan agar kekuatan dan kelayakan struktur pelat terhadap lendutan akibat beban kerja tanpa menimbulkan pengaruh yang merugikan.

Dalam segala hal, tebal pelat tidak boleh kurang dari harga berikut :

- a. untuk $\alpha_m < 2$ 120 mm
- b. untuk $\alpha_m \geq 2$ 90 mm

dimana :

\ln = bentang bersih ke arah memanjang, dari muka ke muka perletakan

α_m = rasio rata-rata dari kekakuan balok terhadap pelat, biasanya ≥ 2
untuk balok-balok yang kaku

β = rasio dari bentang panjang bersih pelat terhadap bentang pendek
bersih pelat atau (f_y/l_x)

Sebelum mendapatkan harga α_m , terlebih dahulu menghitung harga α ,
dimana harga ini didapatkan dari perumusan :

menurut ACI :

$$\alpha_m = \frac{I_{balok}}{I_{slab}}$$

$$I_{balok} = K \times b_w \times \frac{h^3}{12}$$

$$I_{slab} = b_s \times \frac{t^3}{12}$$

$$K = \frac{1 + \left(\frac{be}{bw} - 1 \right) \times \left(\frac{t}{h} \right) \times \left[4 - 6 \times \left(\frac{t}{h} \right) + 4 \times \left(\frac{t}{h} \right)^2 + \left(\frac{be}{bw} - 1 \right) \times \left(\frac{t}{h} \right)^3 \right]}{1 + \left(\frac{be}{bw} - 1 \right) \times \left(\frac{t}{h} \right)}$$

dimana :

h = tinggi total balok

t = tebal total pelat

b_e = lebar efektif flens

b_w = lebar badan balok

Perumusan mencari nilai b_e pada balok T :

a. Balok Tengah

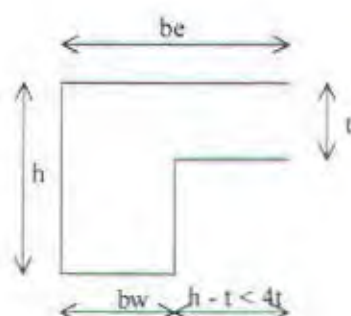
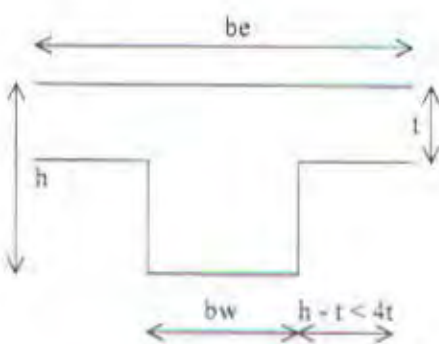
$$b_e = b_w + 2 \times (h - t)$$

$$b_e = b_w + 2 \times (4t)$$

b. Balok Tepi

$$b_e = b_w + (h - t)$$

$$b_e = b_w + (4t)$$

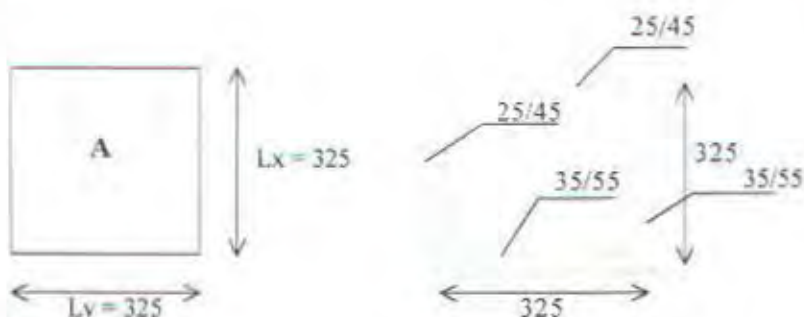


Gambar 4-1, Penampang balok T (interior dan eksterior) dalam perencanaan pelat

4.1.3.2. Perhitungan tebal pelat lantai

Perhitungan pada bagian ini bertujuan untuk mencari ketebalan pelat yang dibutuhkan sesuai dengan kondisi fisik dari pelat tersebut. Dengan data-data perencanaan yang telah dibahas sebelumnya. Asumsi dari tebal pelat yang direncanakan adalah 12 cm.

Pelat dua arah



bentang bersih (Ln) :

$$Lx = 325 - \frac{1}{2}(25 + 35) = 295 \text{ cm}$$

$$Ly = 325 - \frac{1}{2}(25 + 35) = 295 \text{ cm}$$

$$\beta = \frac{295}{295} = 1 < 2 \rightarrow \text{termasuk analisa pelat dua arah}$$

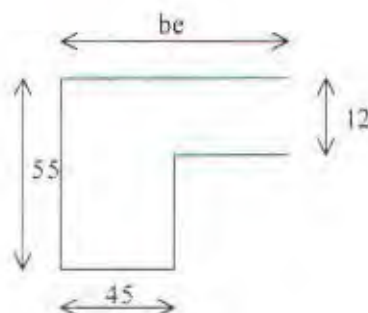
- Balok induk tepi 35/55

Penentuan lebar efektif (b_e) :

$$b_e = b_w + (h - t)$$

$$= 35 + (55 - 12)$$

$$= 78 \text{ cm (menentukan)}$$



$$b_e = b_w + (4t)$$

$$= 35 + (4 \times 12)$$

$$= 83 \text{ cm}$$

$$K = \frac{1 + \left(\frac{78}{35} - 1\right) \times \left(\frac{12}{55}\right) \times \left[4 - 6 \times \left(\frac{12}{55}\right) + 4 \times \left(\frac{12}{55}\right)^2 + \left(\frac{78}{35} - 1\right) \times \left(\frac{12}{55}\right)^3\right]}{1 + \left(\frac{78}{35} - 1\right) \times \left(\frac{12}{55}\right)}$$

$$= 1,4$$

$$I_b = \frac{1}{12} \times K \times b_w \times h^3$$

$$= \frac{1}{12} \times 1,4 \times 35 \times 55^3$$

$$= 679553 \text{ cm}^4$$

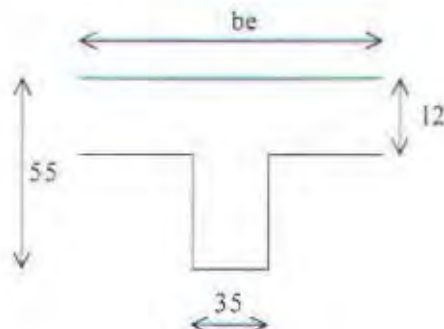
$$\begin{aligned}
 I_s &= 1/12 \times b_t \times t^3 \\
 &= 1/12 \times (325/2) \times 12^3 \\
 &= 46800 \text{ cm}^4
 \end{aligned}$$

$$\alpha_1 = \frac{679553}{46800} = 14,52$$

- Balok induk tengah 35/55

Penentuan lebar efektif (b_e) :

$$\begin{aligned}
 b_e &= b_w + 2 \times (h - t) \\
 &= 35 + 2 \times (55 - 12) \\
 &= 121 \text{ cm (menentukan)}
 \end{aligned}$$



$$\begin{aligned}
 b_e &= b_w + 2 \times (4t) \\
 &= 35 + (8 \times 12) \\
 &= 131 \text{ cm}
 \end{aligned}$$

$$K = \frac{1 + \left(\frac{121}{35} - 1\right) \times \left(\frac{12}{55}\right) \times \left[4 - 6 \times \left(\frac{12}{55}\right) + 4 \times \left(\frac{12}{55}\right)^2 + \left(\frac{121}{35} - 1\right) \times \left(\frac{12}{55}\right)^3\right]}{1 + \left(\frac{121}{35} - 1\right) \times \left(\frac{12}{55}\right)}$$

$$= 1,67$$

$$\begin{aligned}
 I_b &= 1/12 \times K \times b_w \times h^3 \\
 &= 1/12 \times 1,67 \times 35 \times 55^3 \\
 &= 808198 \text{ cm}^4
 \end{aligned}$$

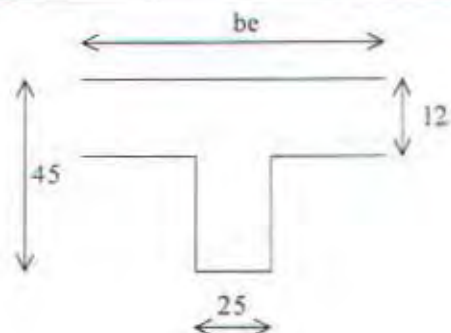
$$\begin{aligned}
 I_s &= 1/12 \times b_s \times t^3 \\
 &= 1/12 \times 325 \times 12^3 \\
 &= 46800 \text{ cm}^4
 \end{aligned}$$

$$\alpha_2 = \frac{808198}{46800} = 17,27$$

- Balok anak tengah 25/45 (memanjang)

Penentuan lebar efektif (b_e) :

$$\begin{aligned} b_e &= b_w + 2 \times (h - t) \\ &= 25 + 2 \times (45 - 12) \\ &= 91 \text{ cm (menentukan)} \end{aligned}$$



$$\begin{aligned} b_e &= b_w + 2 \times (4t) \\ &= 25 + (8 \times 12) \\ &= 121 \text{ cm} \end{aligned}$$

$$K = \frac{1 + \left(\frac{91}{25} - 1\right) \times \left(\frac{12}{45}\right) \times \left[4 - 6 \times \left(\frac{12}{45}\right) + 4 \times \left(\frac{12}{45}\right)^2 + \left(\frac{91}{25} - 1\right) \times \left(\frac{12}{45}\right)^3\right]}{1 + \left(\frac{91}{25} - 1\right) \times \left(\frac{12}{45}\right)}$$

$$= 1,72$$

$$\begin{aligned} I_b &= 1/12 \times K \times b_w \times h^3 \\ &= 1/12 \times 1,72 \times 25 \times 45^3 \\ &= 325886 \text{ cm}^4 \end{aligned}$$

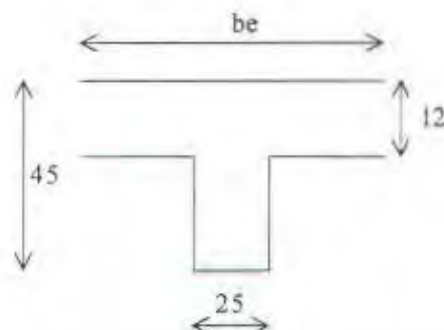
$$\begin{aligned} I_t &= 1/12 \times b_e \times t^3 \\ &= 1/12 \times 325 \times 12^3 \\ &= 46800 \text{ cm}^4 \end{aligned}$$

$$\alpha_3 = \frac{325886}{46800} = 6,96$$

- balok anak tengah 25/45 (melintang)

Penentuan lebar efektif (b_e) :

$$\begin{aligned} b_e &= b_w + 2 \times (h - t) \\ &= 25 + 2 \times (45 - 12) \\ &= 91 \text{ cm (menentukan)} \end{aligned}$$



$$b_e = b_w + 2 \times (4t)$$

$$= 25 + (8 \times 12)$$

$$= 121 \text{ cm}$$

$$K = \frac{1 + \left(\frac{91}{25} - 1\right) \times \left(\frac{12}{45}\right) \times \left[4 - 6 \times \left(\frac{12}{45}\right) + 4 \times \left(\frac{12}{45}\right)^2 + \left(\frac{91}{25} - 1\right) \times \left(\frac{12}{45}\right)^3\right]}{1 + \left(\frac{91}{25} - 1\right) \times \left(\frac{12}{45}\right)}$$

$$= 1,72$$

$$I_b = \frac{1}{12} \times K \times b_w \times h^3$$

$$= \frac{1}{12} \times 1,72 \times 25 \times 45^3$$

$$= 325886 \text{ cm}^4$$

$$I_s = \frac{1}{12} \times b_s \times t^3$$

$$= \frac{1}{12} \times 325 \times 12^3$$

$$= 46800 \text{ cm}^4$$

$$\alpha_4 = \frac{325886}{46800} = 6,96$$

Dari perhitungan di atas, untuk pelat A didapatkan $\alpha_{rata-rata}$ (α_m) :

$$\begin{aligned}\alpha_m &= \frac{1}{4} (\alpha_1 + \alpha_2 + \alpha_3 + \alpha_4) \\ &= \frac{1}{4} (14,52 + 17,27 + 6,96 + 6,96) \\ &= 11,43\end{aligned}$$

dengan demikian dapat diperoleh tebal minimum dari tebal pelat lantai :

$$h_1 = \frac{295 \times \left\{0,8 + \left(\frac{390}{1500}\right)\right\}}{36 + 5 \times 1 \times \left\{11,43 - 0,12 \left(1 + \frac{1}{1}\right)\right\}} = 3,4 \text{ cm}$$

$$h_2 = \frac{295 \times \left\{0,8 + \left(\frac{390}{1500}\right)\right\}}{36 + 9 \times 1} = 6,95 \text{ cm}$$

$$h_3 = \frac{295 \times \left\{ 0,8 + \left(\frac{390}{1500} \right) \right\}}{36} = 8,69 \text{ cm}$$

Syarat : $t \geq h_1$ dan h_2 ; $t \leq h_3$

Adapun agar diperoleh ketebalan yang seragam untuk setiap lantainya, maka pelat lantai seluruh ruangan menggunakan ketebalan pelat sebesar 12 cm. Untuk perhitungan tebal tipe pelat lainnya dapat dilihat dalam tabel.

4.2. Perencanaan struktur sekunder pelat lantai

4.2.1. Pelat dua arah (*two way slab*)

4.2.1.1. Pemodelan dan analisa momen pelat

Pada pemodelan, pelat dianggap terjepit elastis pada keempat sisinya. Hal ini disebabkan pada tepi-tepi pelat (baik yang menerus maupun yang tidak menerus) pasti terjadi perputaran sudut.

Pertimbangan lain pemodelan ini adalah bila pelat dianggap terjepit penuh pada keempat sisinya maka dianggap momen-momen yang terjadi sebagian besar akan diterima oleh tumpuan sehingga nilai momen lapangan akan selalu lebih kecil, padahal keadaan sesungguhnya pelat dapat berputar.

Lain halnya jika pelat dimodelkan terjepit elastis pada keempat sisinya. Pada pemodelan ini besarnya momen lapangan akan mendekati momen tumpuannya (khusus untuk pelat yang ditumpu pada keempat sisinya) sehingga pemodelan struktur lebih aman.

Momen-momen yang terjadi pada pelat dapat dihitung dengan menggunakan tabel 13.3.2. Peraturan Beton Indonesia 1971.

4.2.1.2. Perencanaan penulangan pelat

Langkah-langkah perhitungan penulangan pelat dua arah adalah sebagai berikut :

1. Rencanakan pelat yang meliputi : mutu beton dan baja, tebal pelat dan decking (selimut beton) dan diameter tulangan yang akan dipakai.

2. Hitung momen yang bekerja pada pelat dengan menggunakan Tabel 13.3.1. dan Tabel 13.3.2. Peraturan Beton Indonesia 1971.
3. Hitung rasio tulangan berimbang (ρ_b), rasio tulangan maksimum (ρ_{\max}) dan rasio tulangan minimum (ρ_{\min}).

$$\rho_{\text{balance}} = \frac{0,85 \times f'_c \times \beta}{f_y} \times \frac{600}{600 - f_y}$$

dimana :

untuk $f'_c \leq 30 \text{ MPa} \rightarrow \beta_1 = 0,85 \dots \text{SK SNI '91 pasal 3.3.2 butir 7}$

untuk $f'_c > 30 \text{ MPa} \rightarrow \beta_2 = 0,85 - 0,008 (f'_c - 30)$

$\rho_{\max} = 0,75 \times \rho_{\text{balance}}$ SK SNI '91 pasal 3.3.3 butir 3

$\rho_{\min} = \frac{1,4}{f_y}$ SK SNI '91 pasal 3.3.5 butir 1

4. Hitung tulangan yang diperlukan (A_{perlu}).

Tulangan harus dihitung pada kedua arah (arah x dan arah y)

$$R_n = \frac{M_u}{\phi \times b \times d^2}$$

$$\rho_{\text{perlu}} = \frac{1}{m} \times \left(1 - \sqrt{1 - \frac{2 \times R_n \times m}{f_y}} \right) \rightarrow m = \frac{f_y}{0,85 \times f'_c}$$

$$A_{\text{perlu}} = \rho \times b \times d$$

5. Kontrol spasi maksimum

$$S_{\max} = 2 \times \text{tebal pelat} > S_{\text{lepasang}} \dots \text{SK SNI pasal 3.6.4 butir 2}$$

6. Tulangan susut dan suhu

Tulangan susut dan suhu hanya disediakan untuk pelat-pelat dimana tulangan lenturnya memanjang hanya dalam satu arah saja (pelat satu arah) dan pelat-pelat yang berhubungan langsung dengan sinar matahari (pelat atap).

Tulangan susut dan suhu dipasang tegak lurus dengan arah tulangan memanjang dengan spasi tidak boleh lebih dari lima kali tebal pelat atau 500 mm (SK SNI '91 pasal 3.16.12 butir 2)

Rasio tulangan susut dan suhu harus diambil sebesar 0,002 untuk tulangan deform mutu 300 atau 0,0018 untuk tulangan deform mutu 400.

Tugas Akhir

7. Kontrol retak

Untuk sistem pelat dua arah yang menggunakan tulangan dengan $f_y < 413,7 \text{ MPa}$ kontrol retak tidak perlu diperhitungkan.

8. Kontrol lendutan

Menurut PBI '71 pasal 10.5.2, untuk pelat dengan bentang terpendek kurang dari 4,5 meter, lendutan tidak perlu diperiksa, asalkan tebal pelat lebih besar dari $1/35$ kali panjang bentang terkecil dari pelat tersebut. Untuk pelat-pelat dengan panjang bentang terkecilnya kurang dari 450 cm lendutannya tidak perlu dihitung. Di dalam SK SNI '91 juga menyebutkan bahwa jika tebal pelat minimum yang dihitung dengan ke dua rumus SK SNI '91 pasal 3.2.5 butir 3 persamaan 3.2-12 dan 3.2-13 untuk pelat dua arah, batas lendutan yang diijinkan dapat dilihat pada tabel 3.2.5b SK SNI '91.

4.2.2. Pelat satu arah (*one way slab*)

4.2.2.1. Distribusi gaya-gaya dalam pelat satu arah

Distribusi gaya-gaya dalam pelat satu arah (menahan dalam satu arah), sebenarnya dianggap sebagai gelagar di atas beberapa tumpuan.

Untuk menentukan distribusi gaya dengan menggunakan koefisien momen dengan menggunakan Tabel 4.1. Koefisien momen pada Peraturan Beton Indonesia 1971.

4.2.2.2. Perencanaan penulangan pelat

Langkah-langkah perhitungan penulangan pelat satu arah adalah sebagai berikut :

1. Rencanakan pelat yang meliputi : mutu beton dan baja, tebal pelat dan decking (selimut beton) dan diameter tulangan yang akan dipakai.
2. Hitung momen yang bekerja pada pelat dengan menggunakan Tabel 13.3.1. dan Tabel 13.3.2. Peraturan Beton Indonesia 1971.
3. Hitung rasio tulangan berimbang, rasio tulangan maksimum dan rasio tulangan minimum.

4. Hitung tulangan yang diperlukan ($A_{s_{\text{perlu}}}$).

5. Kontrol spasi maksimum

$$S_{\max} = 2 \times \text{tebal pelat} > S_{\text{repassang}} \quad \dots \dots \dots \text{SK SNI pasal 3.6.4 butir 2}$$

6. Tulangan susut dan suhu

Tulangan susut dan suhu hanya disediakan untuk pelat-pelat dimana tulangan lenturnya memanjang hanya dalam satu arah saja (pelat satu arah) dan pelat-pelat yang berhubungan langsung dengan sinar matahari (pelat atap).

Tulangan susut dan suhu dipasang tegak lurus dengan arah tulangan memanjang dengan spasi tidak boleh lebih dari lima kali tebal pelat atau 500 mm (SK SNI '91 pasal 3.16.12 butir 2)

Rasio tulangan susut dan suhu harus diambil sebesar 0,002 untuk tulangan deform mutu 300 atau 0,0018 untuk tulangan deform mutu 400.

7. Kontrol retak

Untuk sistem pelat dua arah yang menggunakan tulangan dengan $f_y < 413,7$ MPa kontrol retak tidak perlu diperhitungkan.

Bila tegangan leleh rancang f_y tarik melebihi 300 MPa, penampang dengan momen negatif dan momen positif maksimum harus dipropsorsikan sedemikian rupa sehingga nilai yang diberikan sesuai dengan SK SNI '91 pasal 3.3.6 mengenai kontrol retak pada pelat satu arah adalah :

$$Z = f_s^3 \times \sqrt{d_c \times A}$$

dimana :

d_c = jarak pusat tulangan tarik ke tepi luar dari suatu komponen struktur beton

A = luas efektif beton di sekitar tulangan tarik dibagi dengan jumlah tulangan (mm^2) = $\frac{2 \times d_c \times b_w}{n_{\text{tulangan}}}$

f_s = 60 % x f_y

8. Kontrol lendutan

Untuk pelat satu arah lendutan tidak perlu dihitung

4.2.3. Perhitungan penulangan pelat

4.2.3.1. Data pembebanan

Perhitungan pembebanan untuk pelat lantai berdasarkan Peraturan Pembebanan Indonesia untuk gedung 1983

a. Beban-beban pelat lantai 2-8 meliputi :

1. Beban mati (D_L)

$$\begin{aligned}
 & - \text{berat sendiri pelat} & = 0,12 \times 2400 & = 288 \text{ kg/m}^2 \\
 & - \text{plafon dan penggantung} & = 11 + 7 & = 18 \text{ kg/m}^2 \\
 & - \text{spesi} & = 2,5 \times 21 & = 52,5 \text{ kg/m}^2 \\
 & - \text{tegel} & = 2 \times 24 & = 48 \text{ kg/m}^2 \\
 & - \text{ducting AC dan pipa-pipa} & & = 40 \text{ kg/m}^2 \\
 & & & \hline
 & & & 446,5 \text{ kg/m}^2
 \end{aligned}$$

2. Beban hidup (L_L)

$$- \text{lantai ruang kuliah} = 250 \text{ kg/m}^2$$

3. Beban ultimate (Q_U)

$$\begin{aligned}
 Q_U &= 1,2 D_L + 1,6 L_L \\
 &= 1,2 \times 446,5 + 1,6 \times 250 \\
 &= 935,8 \text{ kg/m}^2 = 9358 \text{ N/m}^2
 \end{aligned}$$

b. Beban-beban pelat lantai auditorium meliputi :

1. Beban mati (D_U)

$$\begin{aligned}
 & - \text{berat sendiri pelat} & = 0,12 \times 2400 & = 288 \text{ kg/m}^2 \\
 & - \text{plafon dan penggantung} & = 11 + 7 & = 18 \text{ kg/m}^2 \\
 & - \text{spesi} & = 2,5 \times 21 & = 52,5 \text{ kg/m}^2 \\
 & - \text{tegel} & = 2 \times 24 & = 48 \text{ kg/m}^2 \\
 & - \text{ducting AC dan pipa-pipa} & & = 40 \text{ kg/m}^2 \\
 & & & \hline
 & & & 446,5 \text{ kg/m}^2
 \end{aligned}$$

2. Beban hidup (L_L)

$$\text{- lantai ruang kuliah} = 400 \text{ kg/m}^2$$

3. Beban ultimate (Q_U)

$$\begin{aligned} Q_U &= 1,2 D_L + 1,6 L_L \\ &= 1,2 \times 446,5 + 1,6 \times 400 \\ &= 1175,8 \text{ kg/m}^2 = 11758 \text{ N/m}^2 \end{aligned}$$

4.2.3.2. Perhitungan penulangan pelat

- Perhitungan penulangan pelat dipakai "Metode Kekuatan Batas", sesuai dengan SK SNI '91 pasal 3.3.2. butir 7 adalah $f_c' = 0,85 \times 24,6 = 20,91 \text{ MPa}$
- Diasumsikan bahwa semua perletakan pelat adalah jepit elastis keempat sisinya.
- Tebal rencana pelat = 12 cm
- Selimut beton decking = 20 cm
- Tulangan yang digunakan = D10
- Mutu tulangan baja (f_y) = 390 MPa

Pelat tipe A (lantai 2-8)

$$L_x = 325 - 1/2 (25 + 35) = 295 \text{ cm}$$

$$L_y = 325 - 1/2 (30 + 30) = 295 \text{ cm}$$

$$\frac{L_y}{L_x} = \frac{295}{295} = 1 < 2 \rightarrow \text{Pelat dua arah}$$

Momen pelat diambil dari PBI 1971 tabel 13.3.1 :

I. Momen arah sumbu X

- Momen lapangan maksimum per meter lebar arah sumbu X

$$\begin{aligned} M_{I_x} &= 0,001 \times Q_U \times L_x^2 \times a \\ &= 0,001 \times 9358 \times 2,95^2 \times 36 = 2931,77 \text{ N-m} \end{aligned}$$

- Momen tumpuan maksimum per meter lebar arah sumbu X

$$\begin{aligned} M_{t_x} &= -0,001 \times Q_U \times L_x^2 \times a \\ &= -0,001 \times 9358 \times 2,95^2 \times 36 = -2931,77 \text{ N-m} \end{aligned}$$

2. Momen arah sumbu Y

- Momen lapangan maksimum per meter lebar arah sumbu Y

$$M_{ly} = 0,001 \times Q_u \times L_y^2 \times a \\ = 0,001 \times 9358 \times 2,95^2 \times 36 = 2931,77 \text{ N}\cdot\text{m}$$

- Momen tumpuan maksimum per meter lebar arah sumbu Y

$$M_{ty} = -0,001 \times Q_u \times L_y^2 \times a \\ = -0,001 \times 9358 \times 2,95^2 \times 36 = -2931,77 \text{ N}\cdot\text{m}$$

Rasio penulangan maksimum dan minimum

$$\rho_{min} = \frac{1,4}{f_y} \\ = \frac{1,4}{390} = 0,00359$$

$$\rho_{balance} = \frac{0,85 \times \beta_1 \times f_c'}{390} \times \frac{600}{600 + f_y} \\ = \frac{0,85 \times 24,6 \times 0,85}{390} \times \frac{600}{600 + 390} = 0,0276$$

$$\rho_{max} = 0,75 \times \rho_{balance} \\ = 0,75 \times 0,0276 \\ = 0,0207$$

a. Kebutuhan tulangan lapangan dan tumpuan (arah X)

- Momen lapangan (M_{lx})

$$M_{lx} = 2931,77 \text{ N m}$$

$$d_x = 120 - 20 - 10/2 = 95 \text{ mm}$$

$$R_n = \frac{M_{lx}}{\phi \times b \times d^2} = \frac{2931,77 \times 1000}{0,8 \times 1000 \times 95^2} = 0,406$$

$$m = \frac{f_y}{0,85 \times f_c'} = \frac{390}{0,85 \times 24,6} = 18,65$$

$$\rho_{\text{perlu}} = \frac{1}{m} \times \left(1 - \sqrt{1 - \frac{2 \times m \times R_n}{f_y}} \right)$$

$$\rho_{\text{perlu}} = \frac{1}{18,65} \times \left(1 - \sqrt{1 - \frac{2 \times 18,65 \times 0,406}{390}} \right) \\ = 0,0011$$

karena $\rho_{\text{perlu}} < \rho_{\text{min}}$, maka dipakai $\rho_{\text{min}} = 0,0036$

$$A_s = \rho_{\text{perlu}} \times b \times d \\ = 0,0036 \times 1000 \times 95 \\ = 341,03 \text{ mm}^2$$

dipasang tulangan, D10 - 200 → ($A_{s,\text{ada}} = 393 \text{ mm}^2$)

cek spasi maksimum

$$s < 2t$$

$$200 < 2 \times 120 = 240 \text{ mm} \dots \text{oke!}$$

$$\text{Tulangan susut} = \rho \times 1000 \times 95 \\ = 0,002 \times 1000 \times 95 \\ = 190 \text{ mm}^2$$

dipasang tulangan, D8 - 250 → ($A_{s,\text{ada}} = 201 \text{ mm}^2$)

- Momen tumpuan (M_{t_x})

$$M_{t_x} = -2931,77 \text{ N m}$$

$$d_x = 120 - 20 - 10/2 = 95 \text{ mm}$$

$$R_n = \frac{M_{t_x}}{\phi \times b \times d^2} = \frac{2931,77 \times 1000}{0,8 \times 1000 \times 95^2} = 0,406$$

$$m = \frac{f_y}{0,85 \times f_{c'}} = \frac{390}{0,85 \times 24,6} = 18,65$$

$$\rho_{\text{perlu}} = \frac{1}{18,65} \times 1 - \left(\sqrt{1 - \frac{2 \times 18,65 \times 0,406}{390}} \right) \\ = 0,0011$$

karena $\rho_{\text{perlu}} < \rho_{\text{min}}$, maka dipakai $\rho_{\text{min}} = 0,0036$

$$\begin{aligned} As &= \rho_{\text{perlu}} \times b \times d \\ &= 0,0036 \times 1000 \times 95 \\ &= 341,03 \text{ mm}^2 \end{aligned}$$

dipasang tulangan, D10 - 200 → ($As_{\text{ada}} = 393 \text{ mm}^2$)

cek spasi maksimum

$$s < 2 t$$

$$200 < 2 \times 120 = 240 \text{ mm} \dots \text{oke!}$$

$$\begin{aligned} \text{Tulangan susut} &= \rho \times 1000 \times d \\ &= 0,002 \times 1000 \times 95 \\ &= 190 \text{ mm}^2 \end{aligned}$$

dipasang tulangan, D8 - 250 → ($As_{\text{ada}} = 201 \text{ mm}^2$)

b. Kebutuhan tulangan lapangan dan tumpuan (arah Y)

- Momen lapangan (M_{ly})

$$M_{ly} = 2931,77 \text{ N m}$$

$$d_x = 120 - 20 - 10/2 = 95 \text{ mm}$$

$$R_n = \frac{M_{ly}}{\phi \times b \times d^2} = \frac{2931,77 \times 1000}{0,8 \times 1000 \times 95^2} = 0,406$$

$$m = \frac{f_y}{0,85 \times f_c} = \frac{390}{0,85 \times 24,6} = 18,65$$

$$\begin{aligned} \rho_{\text{perlu}} &= \frac{1}{18,65} \times \left(1 - \sqrt{1 - \frac{2 \times 18,65 \times 0,406}{390}} \right) \\ &= 0,0011 \end{aligned}$$

karena $\rho_{\text{perlu}} < \rho_{\text{min}}$, maka dipakai $\rho_{\text{min}} = 0,0036$

$$\begin{aligned} As &= \rho_{\text{perlu}} \times b \times d \\ &= 0,0036 \times 1000 \times 95 \\ &= 341,03 \text{ mm}^2 \end{aligned}$$

dipasang tulangan, D10 - 200 → ($As_{\text{ada}} = 393 \text{ mm}^2$)

cek spasi maksimum

$$s < 2 t$$

$$200 < 2 \times 120 = 240 \text{ mm} \dots \text{oke!}$$

$$\text{Tulangan susut} = \rho \times 1000 \times d$$

$$= 0,002 \times 1000 \times 95$$

$$= 190 \text{ mm}^2$$

dipasang tulangan, D8 - 250 → ($A_{\text{ada}} = 201 \text{ mm}^2$)

- Momen tumpuan ($M_{t,y}$)

$$M_{t,y} = -2931,77 \text{ N m}$$

$$d_s = 120 - 20 - 10/2 = 95 \text{ mm}$$

$$R_n = \frac{M_{t,y}}{\phi \times b \times d^2} = \frac{2931,77 \times 1000}{0,8 \times 1000 \times 95^2} = 0,406$$

$$m = \frac{f_y}{0,85 \times f_c'} = \frac{390}{0,85 \times 24,6} = 18,65$$

$$\rho_{\text{perlu}} = \frac{1}{18,65} \times \left(1 + \sqrt{1 + \frac{2 \times 18,65 \times 0,406}{390}} \right)$$

$$= 0,0011$$

karena $\rho_{\text{perlu}} < \rho_{\text{min}}$, maka dipakai $\rho_{\text{min}} = 0,0036$

$$A_s = \rho_{\text{perlu}} \times b \times d$$

$$= 0,00359 \times 1000 \times 95$$

$$= 341,03 \text{ mm}^2$$

dipasang tulangan, D10 - 200 → ($A_{\text{ada}} = 393 \text{ mm}^2$)

cek spasi maksimum

$$s < 2 t$$

$$200 < 2 \times 120 = 240 \text{ mm} \dots \text{oke!}$$

$$\begin{aligned}\text{Tulangan susut} &= \rho \times 1000 \times d \\ &= 0,002 \times 1000 \times 95 \\ &= 190 \text{ mm}^2 \\ \text{dipasang tulangan D8 - 250} &\rightarrow (A_{\text{ste}} = 201 \text{ mm}^2)\end{aligned}$$

Perhitungan lainnya dapat dilihat dalam tabel.

4.3. Perencanaan struktur sekunder tangga

4.3.1. Modelisasi tangga.

Perencanaan struktur tangga dapat mengambil beberapa macam alternatif baik struktur maupun perletakannya. Struktur dapat direncanakan sebagai pelat (*shell*) maupun frame balok. Perbedaan asumsi ini akan menentukan besarnya gaya-gaya reaksi yang akan terjadi pada konstruksi tangga tersebut.

Perletakan tangga dapat diasumsikan sebagai sendi-sendi, sendi-jepit, sendi-rol ataupun jepit-jepit. Perbedaan asumsi ini akan menentukan cara penulangan dan konsentrasi penulangan strukturnya serta pengaruhnya terhadap struktur secara keseluruhan.

Dalam perencanaan struktur tangga ini, tangga diasumsikan sebagai frame 2 dimensi dimana kondisi ujung perletakan dianggap sendi, sedangkan pada ujung lain dianggap perletakan rol. Ketentuan perencanaan injakan tangga dan kemiringan tangga yang baik adalah sebagai berikut (menurut Imam Subarkah) :

$$60 \text{ cm} < 2 \times t + i < 62 \text{ cm}$$

dimana :

t : tinggi injakan

i : lebar injakan

Sedangkan kemiringan tangga (α) besarnya tidak melebihi 40° . Dengan mengambil $i = 30 \text{ cm}$, maka :

$$60 \text{ cm} < 2 \times t + 30 < 62 \text{ cm}$$

$$15 \text{ cm} < t < 16 \text{ cm}$$

4.3.2 Perhitungan tangga

a. Data-data perencanaan tangga

- l (panjang tangga) = 300 cm
- p (lebar bordes) = 150 cm
- b (lebar tangga) = 150 cm
- h (tinggi tangga) = 400 cm, dengan tinggi bordes 200 cm

b. Preliminary disain tangga

direncanakan :

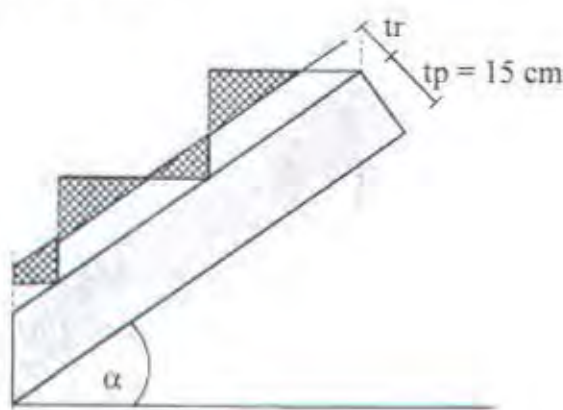
- lebar injakan (i) = 27 cm
- tinggi injakan (t) = 17 cm

persyaratan perencanaan tangga (Konstruksi Bangunan, Imam Subarkah) :

$$60 < 2 \times 17 + 27 < 62$$

$$60 < 61 < 62 \dots\dots \text{oke !}$$

- banyaknya injakan = $200/17 = 12$ injakan
- jumlah injakan dikurangi bordes = $12 - 1 = 11$ injakan
- jarak horisontal, X = $11 \times 27 = 300$ cm
- jarak vertikal, Y = 200 cm



Gambar 4-2. Rencana tebal pelat dan tinggi injakan tangga.

- kemiringan tangga = $a = \arctg(17/27) = 32,2^\circ < 40^\circ$

- tebal rata-rata injakan

dengan mengambil, tp = 15 cm, tr dihitung dengan cara sebagai berikut :

$$\operatorname{arctg} \frac{17}{27} = \arcsin \frac{2 \times tr}{27}$$

$$\frac{27}{2} \times \sin \left(\operatorname{arctg} \frac{17}{27} \right) = tr$$

$$tr = 7,2 \text{ cm}$$

jadi tebal rata-rata dari pelat adalah $= 15 + 7,2 = 22,2 \text{ cm}$

- tebal bordes yang dipakai $= 20 \text{ cm}$

c. Pembebanan

1. Beban pada tangga

Beban mati (D_L)

- berat sendiri pelat	$= 0,222 \times 2400 \times \frac{1}{\cos 32,2}$	$= 629,64 \text{ kg/m}^2$
- spesi dan tegel	$= 2,5 \times 21$	$= 42 \text{ kg/m}^2$
- sandaran		$= 50 \text{ kg/m}^2$
		<hr/>
		$721,64 \text{ kg/m}^2$

Beban hidup (L_L)

- lantai ruang kuliah	$= 300 \text{ kg/m}^2$
-----------------------	------------------------

Beban ultimate (Q_U)

$$\begin{aligned}
 Q_U &= 1,2 D_L + 1,6 L_L \\
 &= 1,2 \times 721,64 + 1,6 \times 300 \\
 &= 1345,97 \text{ kg/m}^2 = 13459,7 \text{ N/m}^2
 \end{aligned}$$

2. Beban pada bordes

Beban mati (D_L)

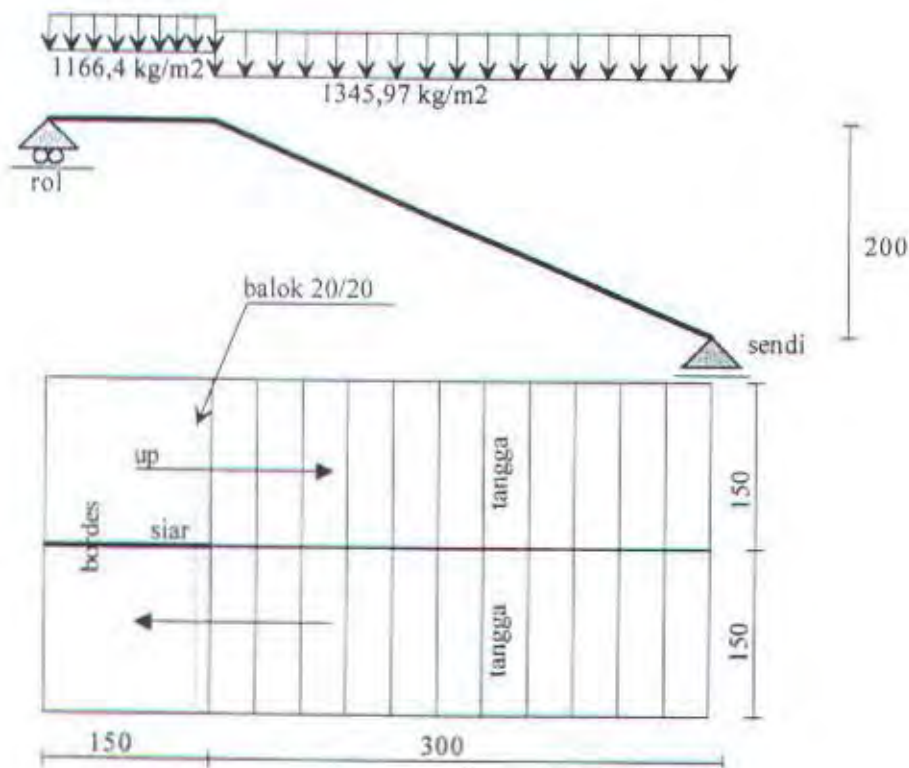
- berat sendiri pelat	$= 0,2 \times 2400$	$= 480 \text{ kg/m}^2$
- tegel dan spesi	$= 2,5 \times 21$	$= 42 \text{ kg/m}^2$
- sandaran		$= 50 \text{ kg/m}^2$
		<hr/>
		572 kg/m^2

Beban hidup (L_u)

$$\begin{array}{l} \text{- lantai ruang kuliah} \\ = 300 \text{ kg/m}^2 \end{array}$$

Beban ultimate (Q_u)

$$\begin{aligned} Q_u &= 1,2 D_L + 1,6 L_u \\ &= 1,2 \times 572 + 1,6 \times 300 \\ &= 1166,4 \text{ kg/m}^2 = 11664 \text{ N/m}^2 \end{aligned}$$



Gambar 4-3. Rencana beban tangga dan perletakan tangga

d. Perhitungan gaya dalam

Reaksi perletakan A dan B :

$$\Sigma M_B = 0$$

$$R_{AV} \times 4,5 - 1345,97 \times 3 \times 3 - 1/2 \times 1166,4 \times 1,5^2 = 0$$

$$R_{AV} = \frac{13425,93}{4,5} = 2983,54 \text{ kg}$$

$$\Sigma M_A = 0$$

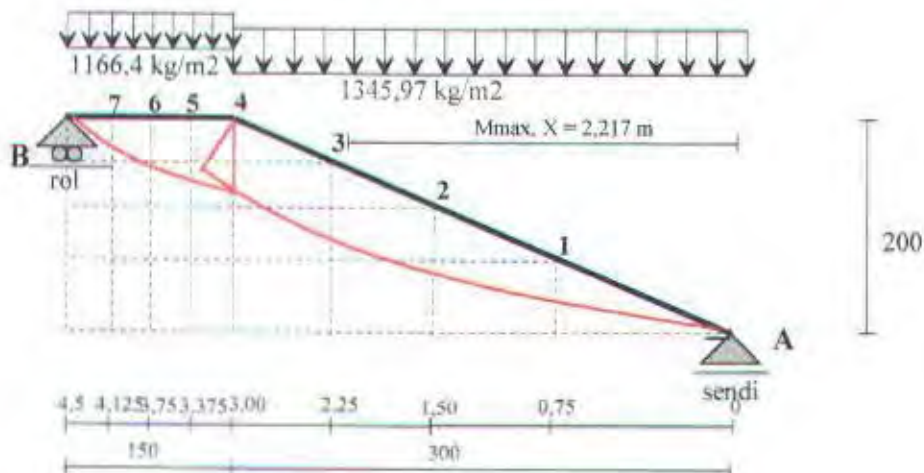
$$R_{BV} \times 4,5 - 1166,4 \times 1,5 \times 3,75 - 1/2 \times 1345,97 \times 3^2 = 0$$

$$R_{BV} = \frac{12617,665}{4,5} = 2803,97 \text{ kg}$$

Kontrol, $\Sigma V = 0$

- besarnya beban = $1345,97 \times 3 + 1166,4 \times 1,5 = 5787,51 \text{ kg}$

- $R_{AV} + R_{BV} = 2983,54 + 2803,97 = 5787,51 \text{ kg}$ oke !



Bidang M

$$M_A = 0$$

$$M_1 = 2983,54 \times 0,75 - 1/2 \times 1345,97 \times 0,75^2 = 1859,10 \text{ kg-m}$$

$$M_2 = 2983,54 \times 1,50 - 1/2 \times 1345,97 \times 1,50^2 = 2961,09 \text{ kg-m}$$

$$M_3 = 2983,54 \times 2,25 - 1/2 \times 1345,97 \times 2,25^2 = 3305,98 \text{ kg-m}$$

$$M_4 = 2983,54 \times 3,00 - 1/2 \times 1345,97 \times 3,00^2 = 2893,76 \text{ kg-m}$$

$$M_5 = 2803,97 \times 1,50 - 1/2 \times 1166,40 \times 1,50^2 = 2893,76 \text{ kg-m}$$

$$M_6 = 2803,97 \times 0,750 - 1/2 \times 1166,40 \times 0,750^2 = 1774,93 \text{ kg-m}$$

$$M_7 = 2803,97 \times 0,375 - 1/2 \times 1166,40 \times 0,375^2 = 969,48 \text{ kg-m}$$

$$M_B = 0$$

Mencari momen maksimum :

$$M_x = 2983,54 \cdot x - 1/2 \cdot (1345,97) \cdot x^2$$

momen akan bernilai maksimum jika, $Dx = 0$

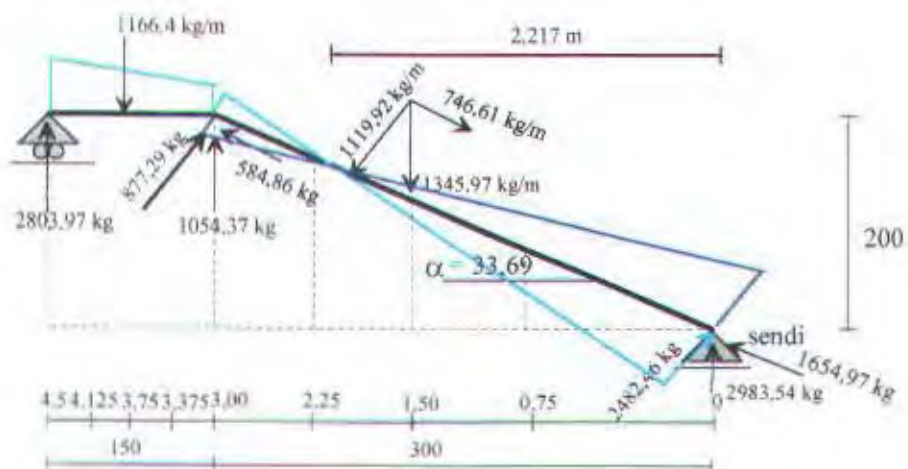
$$D_x = \frac{M_x}{dx} = 2983,54 - 1345,97 \cdot x = 0$$

diperoleh $x = 2,217$ dari titik A

maka,

$$M_{\max} = 2983,54 \times 2,217 - 1/2 \times 1345,97 \times 2,217^2 = 3306,73 \text{ kg-m}$$

bidang D & N



$$D_A = 2482,46 \text{ kg}$$

$$D_1 = 2482,46 - (1119,92 \times 0,75) = 1642,52 \text{ kg}$$

$$D_2 = 2482,46 - (1119,92 \times 1,50) = 802,58 \text{ kg}$$

$$D_3 = 2482,46 - (1119,92 \times 2,25) = -37,36 \text{ kg}$$

$$D_4 = 2482,46 - (1119,92 \times 3,00) = -877,29 \text{ kg}$$

$$D_5 = -2803,97 + (1166,40 \times 1,50) = -1054,37 \text{ kg}$$

$$D_6 = -2803,97 + (1166,40 \times 1,125) = -1491,77 \text{ kg}$$

$$D_7 = -2803,97 + (1166,40 \times 0,750) = -1929,17 \text{ kg}$$

$$D_8 = -2803,97 \text{ kg}$$

Bidang N

$$N_A = -1654,97 \text{ kg}$$

$$N_1 = N_2 = N_3 = N_4 = 584,86 \text{ kg}$$

$$N_5 = N_6 = N_7 = 0 \text{ kg}$$

$$N_B = 0 \text{ kg}$$

e. Perhitungan penulangan pelat tangga.

Dari analisa SAP90 atau perhitungan manual di atas, diperoleh output gaya dalam dengan harga-harga maksimum sebagai berikut :

$$\begin{aligned} M_{\max} &= 3305,98 \text{ kg-m} \\ &= 3,30598 \times 10^7 \text{ N-mm} \end{aligned}$$

Data perencanaan penulangan pelat tangga :

1. tebal pelat tangga = 150 mm
2. selimut beton = 20 mm
3. diameter tulangan utama = D12
4. d = $150 - 20 - 1/2 \times 12 = 124 \text{ mm}$

Metoda perhitungan penulangan pada elemen tangga adalah metoda kekuatan batas. Adapun batasan-batasan yang ditetapkan adalah :

$$\begin{aligned} \rho_{\min} &= \frac{1,4}{f_y} \\ &= \frac{1,4}{390} = 0,00359 \end{aligned}$$

$$\begin{aligned} \rho_b &= \frac{0,85 \times f'_c \times \beta_1}{f_y} \times \left(\frac{600}{600 + f_y} \right) \\ &= \frac{0,85 \times 24,6 \times 0,85}{390} \times \left(\frac{600}{600 + 390} \right) = 0,0276 \end{aligned}$$

$$\begin{aligned} \rho_{\max} &= 0,75 \times \rho_t \\ &= 0,75 \times 0,0276 \\ &= 0,0207 \end{aligned}$$

- Penulangan arah X

$$R_n = \frac{Mu}{\phi \times b \times d}$$

$$= \frac{3,30598 \times 10^7}{0,8 \times 1000 \times 124^2} = 2,68$$

$$\rho_{\text{perlu}} = \frac{0,85 \times f_c'}{f_y} \times \left(1 - \sqrt{1 - \frac{2 \times R_n}{0,85 \times f_c'}} \right)$$

$$= \frac{0,85 \times 24,6}{390} \times \left(1 - \sqrt{1 - \frac{2 \times 2,68}{0,85 \times 24,6}} \right)$$

$$= 0,00641$$

karena $\rho_{\text{perlu}} > \rho_{\text{min}}$, maka dipakai $\rho_{\text{perlu}} = 0,00738$

$$A_s = \rho_{\text{perlu}} \times b \times d$$

$$= 0,00738 \times 1000 \times 124$$

$$= 915,12 \text{ mm}^2$$

dipasang tulangan D12 - 100 → ($A_{s\text{ada}} = 1131 \text{ mm}^2$)

- Penulangan arah Y

Direncanakan sebagai pelat satu arah maka penulangan arah y adalah tulangan pembagi dengan jumlah tulangan :

$$\text{Tulangan pembagi} = 0,002 \times A_{\text{bruto}}$$

$$= 0,002 \times 1000 \times 150$$

$$= 300 \text{ mm}^2$$

dipasang tulangan D10 - 200 mm → ($A_{s\text{ada}} = 393 \text{ mm}^2$)

- Penulangan geser

$$V_u = 2482,46 \text{ kg}$$

Sumbangan kekuatan geser beton menurut SKSNI '91

$$V_c = \frac{1}{6} \times \sqrt{f_c'} \times b_w \times d$$

$$\begin{aligned}\phi V_c &= 0,6 \times \frac{1}{6} \times \sqrt{24,6} \times 1000 \times 124 \\ &= 61501 \text{ N} = 6150 \text{ kg}\end{aligned}$$

$V_u = 2482,46 \text{ kg} < \phi V_c = 6125,4 \text{ kg} \rightarrow$ tidak perlu tulangan geser

Untuk seluruh elemen-elemen pada tangga didapatkan bahwa gaya geser yang terjadi adalah di bawah kekuatan geser beton sehingga tidak diperlukan tulangan geser untuk menambah kekuatan.

f. Penulangan pelat bordes.

Dari analisa SAP90 atau perhitungan manual di atas, diperoleh output gaya dalam dengan harga-harga maksimum sebagai berikut :

$$\begin{aligned}M_{\max} &= 2893,76 \text{ kg-m} \\ &= 2,89376 \times 10^7 \text{ N-mm}\end{aligned}$$

Data perencanaan penulangan pelat tangga :

1. tebal pelat tangga = 150 mm
2. selimut beton = 20 mm
3. diameter tulangan utama = D12
4. $d = 150 - 20 - 1/2 \times 12 = 124 \text{ mm}$

- Penulangan arah X

$$\begin{aligned}R_n &= \frac{Mu}{\phi \times b \times d} \\ &= \frac{2,89376 \times 10^7}{0,8 \times 1000 \times 124^2} = 2,35\end{aligned}$$

$$\begin{aligned}\rho_{\text{perlu}} &= \frac{0,85 \times f'_c}{f_y} \times \left(1 - \sqrt{1 - \frac{2 \times R_n}{0,85 \times f'_c}} \right) \\ &= \frac{0,85 \times 24,6}{390} \times \left(1 - \sqrt{1 - \frac{2 \times 2,35}{0,85 \times 24,6}} \right) = 0,00621\end{aligned}$$

karena $\rho_{\text{perlu}} > \rho_{\min}$, maka dipakai $\rho_{\text{perlu}} = 0,00641$

$$\begin{aligned} As &= \rho_{perlu} \times b \times d \\ &= 0,00641 \times 1000 \times 124 \\ &= 794,84 \text{ mm}^2 \end{aligned}$$

dipasang tulangan D12 - 100 → ($As_{ada} = 1131 \text{ mm}^2$)

- penulangan arah y

Direncanakan sebagai pelat satu arah maka penulangan arah y adalah tulangan pembagi dengan jumlah tulangan :

$$\begin{aligned} \text{Tulangan pembagi} &= 0,002 A_{bruto} \\ &= 0,002 \times 1000 \times 150 \\ &= 300 \text{ mm}^2 \end{aligned}$$

dipasang tulangan D10 - 200 → ($As_{ada} = 393 \text{ mm}^2$)

- penulangan geser

$$Vu = 2803,97 \text{ kg}$$

Sumbangan kekuatan geser beton menurut SKSNI '91 :

$$\begin{aligned} V_c &= \frac{1}{6} \times \sqrt{fc'} \times b_w \times d \\ \phi V_c &= 0,6 \times \frac{1}{6} \times \sqrt{24,6} \times 1000 \times 124 \\ &= 61501 \text{ N} = 6150 \text{ kg} \end{aligned}$$

$$Vu = 2803,97 \text{ kg} < \phi Vc = 6125,4 \text{ kg} \rightarrow \text{tidak perlu tulangan geser}$$

Untuk seluruh elemen-elemen pada tangga didapatkan bahwa gaya geser yang terjadi adalah di bawah kekuatan geser beton sehingga tidak diperlukan tulangan geser untuk menambah kekuatan.

4.4. Perencanaan balok anak

Balok anak merupakan struktur sekunder sehingga bukan merupakan elemen yang menerima gaya lateral tetapi lebih berfungsi sebagai struktur yang mendukung beban gravitasi unsur lain yang berhubungan dengannya, misalnya beban pelat serta menyalurkan beban-beban tersebut pada struktur utama. Selain itu balok anak juga berfungsi sebagai pengaku pelat sehingga benar-benar horisontal dan kaku pada bidangnya. Kegunaan balok anak yang lainnya adalah untuk memperkecil lendutan pada pelat sehingga dapat memperkecil ketebalan pelat. Dengan demikian dalam perencanaannya lebih ekonomis.

Dalam perencanaan balok anak akan dibahas mengenai cara mencari gaya-gaya dalam dari balok anak yang dipakai untuk perencanaan tulangan pada balok anak, baik tulangan lentur, geser dan torsi serta terhadap kontrol lendutan serta retak.

4.4.1. Analisa gaya-gaya dalam balok anak

Untuk mendapatkan gaya-gaya dalam dari balok anak maka sistem lantai yang terdiri dari balok-balok induk dan balok-balok anak yang berhubungan secara rigid pada titik pertemuan antara balok satu dengan yang lainnya dapat dianggap sebagai suatu sistem rangka diafragma kaku untuk mendekati keadaan yang sebenarnya.

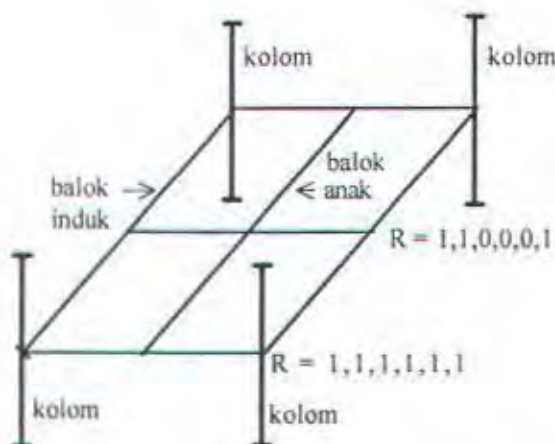
Sistem rangka diafragma kaku merupakan sistem yang mempunyai tiga derajat kebebasan pada setiap pertemuan antar join. Ketiga derajat kebebasan itu adalah sebuah perpindahan arah vertikal dan dua buah rotasi terhadap sumbu tegak lurus pada bidang horisontal. Dalam hal ini balok anak tersebut tidak dimaksudkan untuk menerima gaya lateral yang terjadi, tetapi merupakan elemen yang menerima beban gravitasi berupa berat pelat dan beban-beban gravitasi lain yang bekerja pada elemen tersebut sehingga lantai benar-benar horisontal dan kaku pada bidangnya.

Untuk mendapatkan gaya-gaya dalam dari balok anak diasumsikan menggunakan sistem *grid* 3 dimensi dengan menggunakan bantuan program SAP90. Sistem rangka diafragma kaku lantai dapat dianalisa secara ruang yaitu

dengan memperhitungkan juga kolom-kolom yang terletak di atas dan di bawah lantai tersebut. Ujung-ujung kolom dianggap terjepit sempurna. Hubungan antara join-join balok anak dan balok induk dianggap perletakan *grid* pada kedua arah horizontal, tetapi pergerakan arah vertikal dianggap bebas bergerak. Rotasi pada sumbu vertikal dianggap terjepit, sedangkan rotasi pada kedua arah sumbu horizontal dianggap bebas.

Anggapan demikian dimaksudkan untuk mendekati keadaan yang sebenarnya, dimana balok-balok tersebut dihubungkan dengan pelat lantai dimana kedua pergerakan arah horizontal (sejajar dengan lantai) dapat dianggap kaku. Demikian juga untuk rotasi arah vertikalnya.

Untuk mendapatkan gambaran yang lebih jelas mengenai pemodelan sistem rangka diafragma kaku, berikut ini diberikan sket sebuah rangka diafragma kaku sistem *grid*.



Gambar 4-4. Permodelan struktur rangka sistem grid

Kondisi derajat kebebasan suatu join dalam program SAP90 dinyatakan dalam salah satu data block yang disebut restraint dan secara umum dituliskan sebagai berikut :

$$R = dx, dy, dz, rx, ry, rz$$

dimana : dx = perpindahan dalam arah sumbu x

dy = perpindahan dalam arah sumbu y

dz = perpindahan dalam arah sumbu z

rx = rotasi terhadap sumbu x

ry = rotasi terhadap sumbu y

rz = rotasi terhadap sumbu z

Dikekang atau tidaknya perpindahan dan rotasi dari sumbu suatu joint dinyatakan dengan angka 0 dan 1. Angka 0 berarti bebas dan angka 1 berarti dikekang. Untuk tinjauan struktur secara ruang maka :

Tumpuan jepit dinyatakan sebagai $R = 1,1,1,1,1,1$

Tumpuan grid dinyatakan sebagai $R = 1,1,0,0,0,1$

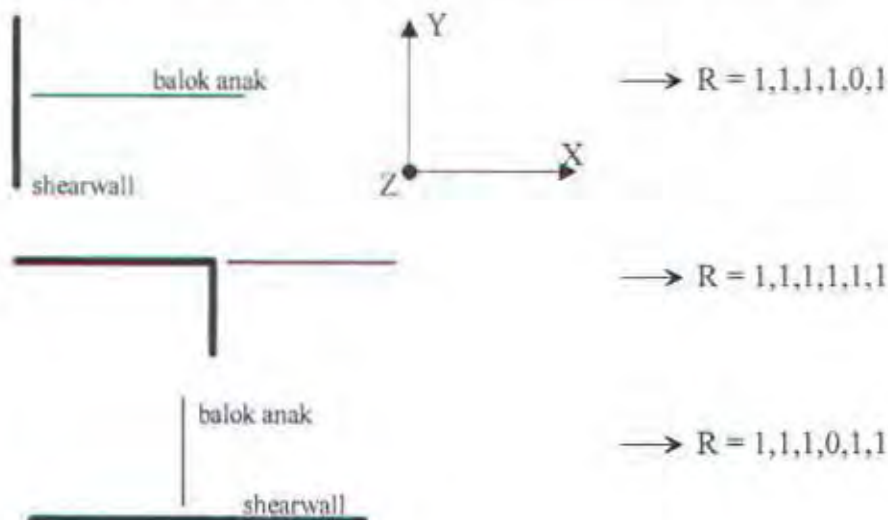
Tumpuan pegas dinyatakan sebagai $R = 0,0,0,0,0,0$

Tumpuan sendi dinyatakan sebagai $R = 1,1,1,0,0,0$

Khusus untuk balok yang berhubungan dengan *shearwall* dilakukan penyederhanaan analisa. Hal ini dilakukan karena mengidealisasikan *shearwall* dengan program ini cukup sulit dan gaya dalam yang dihasilkan oleh analisa struktur balok *grid* ini tidak dapat dipakai untuk mendisain tulangan *shearwall*. Penyederhanaan dilakukan dengan memberikan definisi khusus untuk pertemuan balok dengan *shearwall* sebagai berikut :

- tidak terjadi perpindahan dalam arah vertikal maupun horisontal pada titik pertemuan tersebut
- arah rotasi yang terkekang atau bebas tergantung pada hubungan balok terhadap *shearwall*

Berikut ini diberikan contoh hubungan balok dan *shearwall* beserta data restraintnya :



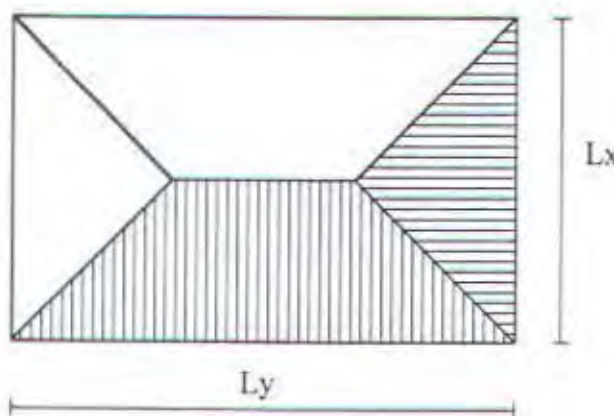
Gambar 4-5. Rencana permodelan pertemuan struktur balok dengan *shearwall*

4.4.2. Tipe-tipe pembebanan pada balok

Beban-beban yang bekerja pada balok anak tersebut adalah berat sendiri balok anak tersebut dan semua beban merata pada pelat (termasuk berat sendiri pelat dan beban hidup merata di atasnya). Distribusi beban pada balok pendukung sedemikian rupa sehingga dapat dianggap sebagai beban segitiga pada lajur yang pendek serta beban trapesium pada lajur yang panjang. Beban-beban berbentuk trapesium maupun segitiga tersebut kemudian dirubah menjadi beban merata ekivalen dengan menyamakan momen maksimumnya.

Beban ekivalen tersebut digunakan sebagai beban merata pada balok anak maupun balok induk untuk perhitungan analisa struktur dengan menggunakan bantuan SAP90. Untuk balok yang menerima beban tembok diperhitungkan sebagai beban terbagi merata yang besarnya ditambahkan pada beban ekivalen tersebut.

Adapun perumusan beban ekivalen dapat diturunkan sebagai berikut :

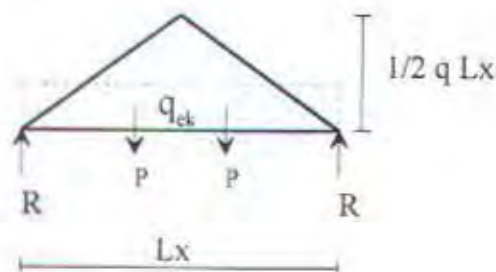


$$\text{Beban pada pelat adalah} = q \text{ kg/m}^2$$

Gambar 4-6. Distribusi beban pada balok akibat beban pelat

Variasi pembebanan dan beban ekivalen yang terjadi pada perhitungan balok anak ini antara lain :

1. Beban ekivalen satu segitiga



$$P = q \times 1/2 \times L_x$$

$$P_1 = P \times 1/2 \times L_x \times 1/2$$

$$= 1/4 \times P \times L_x$$

berdasarkan M_{\max}

$$M'_{\max} = P_1 \times (1/2 \times L_x) - P_1 \times (1/3 \times 1/2 \times L_x)$$

$$= P_1 \times (1/2 \times L_x - 1/6 \times L_x)$$

$$= 1/3 \times (1/4 \times P \times L_x) \times L_x$$

$$M_{\max} = \frac{1}{8} \times q_{ek} \times L_x^2$$

$$M'_{\max} = M_{\max}$$

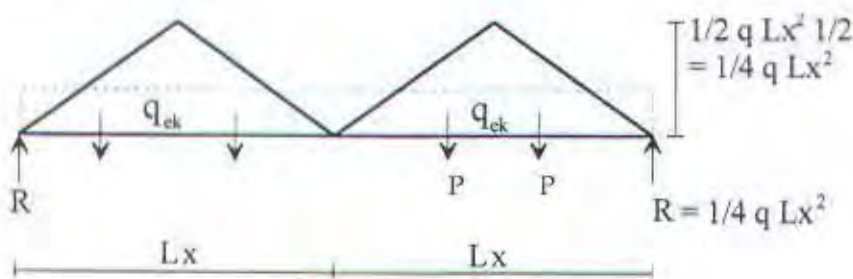
$$\frac{1}{12} \times P \times Lx = \frac{1}{8} \times q_{ek} \times L_x^2$$

$$q_{ek} = \frac{2}{3} \times P$$

$$= \frac{2}{3} \times \frac{1}{2} \times q \times L_x$$

$$= \frac{1}{3} \times q \times L_x$$

2. Beban ekivalen dua segitiga



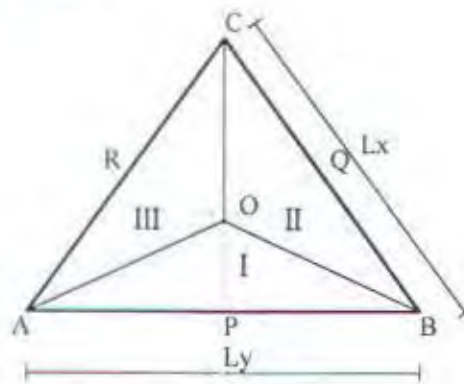
berdasarkan momen maksimum :

$$M'_{ek} = M_{\max}$$

$$\frac{1}{8} \times q_{ek} \times (2 \times L_x^2) = \frac{1}{4} \times q \times L_x^2 \times L_x - \frac{1}{4} \times q \times L_x^2 (L_x/2)$$

$$q_{ek} = \frac{1}{4} \times q \times L_x$$

3. Beban ekivalen pelat segitiga



a. Beban ekivalen satu segitiga

$$I. \quad P = \frac{1}{2} \times q \times Ly \rightarrow q_{ek} = \frac{2}{3} \times \frac{1}{2} \times q \times Ly = \frac{1}{3} \times q \times Ly$$

$$II. \quad Q = \frac{1}{2} \times q \times Lx \rightarrow q_{ek} = \frac{2}{3} \times \frac{1}{2} \times q \times Lx = \frac{1}{3} \times q \times Lx$$

$$III. \quad R = \frac{1}{2} \times q \times Lx \rightarrow q_{ek} = \frac{2}{3} \times \frac{1}{2} \times q \times Lx = \frac{1}{3} \times q \times Lx$$

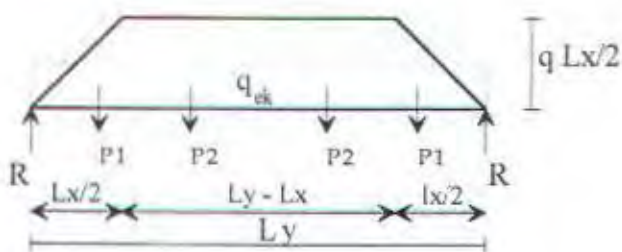
b. Beban ekivalen dua segitiga

$$\text{I. } P = 1/2 \times q \times L_y^2 \rightarrow q_{ek} = 1/4 \times q \times L_y$$

$$\text{II. } Q = 1/2 \times q \times L_x^2 \rightarrow q_{ek} = 1/4 \times q \times L_x$$

$$\text{III. } R = 1/2 \times q \times L_x^2 \rightarrow q_{ek} = 1/4 \times q \times L_x$$

4. Beban ekivalen trapesium



$$P = 1/2 \times L_x \times q$$

$$P_1 = P \times 1/2 \times L_x \times 1/2 = 1/4 \times P \times L_x$$

$$P_2 = P \times 1/2 \times (L_y - L_x)$$

$$R = P_1 + P_2$$

$$= 1/4 \times P \times L_x + 1/2 \times P \times (L_y - L_x)$$

$$= 1/4 \times P \times \{L_x + 2 \times (L_y - L_x)\}$$

berdasarkan M_{max}

$$\begin{aligned} M'_{max} &= R \times 1/2 \times L_y - P_1 \times (1/2 \times L_y - 2/3 \times 1/2 \times L_x) - P_2 \times 1/2 \times 1/2 \times (L_y - L_x) \\ &= 1/8 \times P \times \{L_x + 2 \times (L_y - L_x)\} \times L_y - 1/4 \times P \times L_x \times (1/2 \times L_y - 1/3 \times L_x) - \\ &\quad P \times 1/8 \times (L_y - L_x) \times (L_y - L_x) \\ &= (1/8 \times L_y^2 - 1/24 \times L_x^2) \times P \end{aligned}$$

$$M_{max} = 1/8 \times q_{ek} \times L_x^2$$

$$M'_{ek} = M_{max}$$

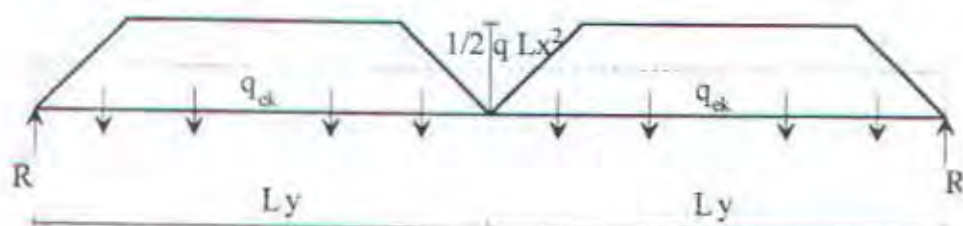
$$(1/8 \times L_y^2 - 1/24 \times L_x^2) \times P = 1/8 \times q_{ek} \times L_y^2$$

$$(3 \times L_y^2 - L_x^2) \times P = 3 \times q_{eq} \times L_y^2$$

$$q_{ek} = \{1 - 1/3 \times (L_x^2/L_y^2)\} \times P$$

$$= 1/2 \times q \times L_x \times \{1 - 1/3 \times (L_x/L_y)^2\}$$

5. Beban ekivalen dua trapesium



berdasarkan momen maksimum :

$$M'_{ek} = M_{max}$$

$$\frac{1}{8} \times q_{ek} \times (2 \times L_y)^2 = \frac{1}{2} \times q \times L_x \times (L_y - L_x/2) \times (L_x/2)$$

$$\frac{1}{2} \times q_{ek} \times L_y^2 = \frac{1}{4} \times q \times L_y \times L_x \times (L_y - L_x/2)$$

$$q_{ek} = \frac{1}{2} \times q \times L_x \times \left(1 - \frac{L_x}{2 \times L_y}\right)$$

4.4.3. Perhitungan penulangan balok anak

Penulangan balok anak meliputi penulangan lentur, penulangan geser dan torsi, kontrol retak dan kontrol lendutan, sedangkan tulangan torsi hanya dipasang minimum karena pada prinsipnya untuk balok anak interior tidak pernah menerima torsi.

4.4.3.1. Penulangan lentur balok anak

a. Dasar-dasar perencanaan

Penulangan lentur untuk momen negatif pada daerah tumpuan dihitung dengan menganggap penampang balok adalah penampang persegi, sedangkan perhitungan lentur pada daerah lapangan, apabila balok dicor monolit dengan pelat adalah memakai prosedur disain kontruksi balok T dengan penentuan lebar flens menurut SK SNI '91 pasal 3.1.10.

Kekuatan nominal dari suatu komponen struktur untuk memikul beban lentur dan aksial didasarkan pada asumsi yang diberikan dalam SK SNI '91 pasal 3.3.2 butir 2 sampai 7 pada yaitu :

- Regangan dalam tulangan dan beton harus diasumsikan berbanding langsung dengan jarak dari sumbu netral, kecuali untuk komponen struktur lentur tinggi

dengan rasio tinggi total terhadap bentang bersih yang lebih besar dari 2/5 untuk bentang menerus dan lebih besar dari 4/5 untuk balok dengan tumpuan sederhana, harus digunakan distribusi regangan non-linier (SK SNI '91 pasal 3.2.2 butir 2)

2. Regangan maksimum yang dapat digunakan pada serat beton tekan terluar harus diasumsikan sama dengan 0,003 (SK SNI '91 pasal 3.3.2 butir 3)
3. Tegangan dalam tulangan di bawah kuat leleh yang ditentukan f_y untuk mutu tulangan yang digunakan harus diambil sebesar E_s dikalikan regangan baja ($f_s = E_s \times \epsilon_s$). Untuk regangan yang lebih besar dari regangan yang memberikan f_y tegangan pada tulangan harus dianggap tidak bergantung pada regangan dan sama dengan f_y (SKSNI-1991 pasal 3.3.2 butir 4).
 - Bila $\epsilon_s \leq \epsilon_y \rightarrow$ maka : $f_s = E_s \times \epsilon_s$
 - Bila $\epsilon_s \geq \epsilon_y \rightarrow$ maka : $f_s = f_y$
4. Dalam perhitungan lentur beton bertulang kuat tarik beton harus diabaikan (SK SNI '91 pasal 3.3.2 butir 5)
5. Hubungan antara distribusi tegangan tekan beton dan regangan beton boleh diasumsikan berbentuk persegi, trapesium, parabola atau bentuk lainnya yang menghasilkan perkiraan kekuatan yang cukup baik bila dibandingkan dengan hasil penyelidikan yang lebih menyeluruh (SK SNI '91 pasal 3.3.2 butir 6)
6. Kekuatan dari poin 5 tersebut di atas boleh dianggap dipenuhi oleh suatu distribusi tegangan beton persegi ekivalen yang didefinisikan sebagai berikut (SK SNI '91 pasal 3.3.2 butir 7) :
 1. Tegangan beton sebesar $0,85 \times f_c'$ harus diasumsikan terdistribusi secara merata pada daerah tekan ekivalen yang dibatasi oleh tepi penampang dan suatu garis lurus yang sejajar dengan sumbu netral sejarak $a = b_1 \times c$ dari serat dengan regangan tekan maksimum
 2. Jarak c dari serat dengan regangan maksimum ke sumbu netral harus diukur dalam arah tegak lurus terhadap sumbu tersebut
 3. Faktor b_1 harus diambil sebesar 0,85 untuk kuat tekan beton f_c' hingga atau sama dengan 30 MPa. Untuk kekuatan di atas 30 MPa, b_1 harus direduksi

secara menerus sebesar 0,008 untuk setiap kelebihan 1 MPa di atas 30 MPa, tetapi b_1 tidak boleh diambil kurang dari 0,65.

Untuk $f'_c \leq 30$ MPa $\rightarrow \beta_1 = 0,85$

Untuk $f'_c > 30$ MPa $\rightarrow \beta_1 = 0,85 - 0,008 \times (f'_c - 30) \geq 0,65$

b. Kondisi regangan berimbang dan batas rasio penulangan.

Definisi regangan berimbang pada suatu penampang adalah suatu kondisi dimana tulangan tarik mencapai tegangan leleh yang disyaratkan (f_y) pada saat yang bersamaan dengan bagian beton yang tertekan mencapai regangan batas sebesar 0,003.

Jika rasio tulangan beton terpasang lebih besar dari keadaan berimbang tersebut di atas maka letak garis netral beton akan turun sehingga regangan beton di daerah tekan akan lebih besar dari regangan batas beton yang disyaratkan ($\epsilon_{cu} = 0,003$) pada tulangan tarik mencapai lelehnya. Jadi beton di daerah tekan akan hancur lebih dahulu sebelum tulangan tarik meleleh. Pola keruntuhan semacam ini sedapat mungkin harus dihindari karena pola keruntuhannya bersifat mendadak.

Sebaliknya diusahakan pola keruntuhan beton harus secara daktail yaitu beton harus menunjukkan deformasi yang cukup besar sebelum tercapainya kekuatan runtuhnya sehingga secara dini akan tampak bahwa komponen struktur tersebut sudah membahayakan.

Berikut ini diberikan harga rasio penulangan pada keadaan berimbang (ρ_b), harga rasio penulangan maksimum (ρ_{max}) dan rasio tulangan minimum (ρ_{min}) dari balok berpenampang persegi dengan tulangan tunggal :

$$\rho_b = \frac{0,85 \times f'_c \times \beta_1}{f_y} \times \frac{600}{600 + f_y}$$

$$\rho_{max} = 0,75 \times \rho_b$$

$$\rho_{min} = \frac{1,4}{f_y}$$

Under reinforced (aman) :- $A_s < A_{s, \text{bal}}$

$$- x < x_{\text{bal}}$$

$$- \varepsilon_s > \varepsilon_y$$

- Rasio tulangan :

Untuk menjamin terjadinya kondisi keruntuhan tarik (SK SNI '91 pasal 3.3.3 butir 3) disyaratkan : $\rho_{\text{max}} = 0,75 \times \rho_{\text{bal}}$.

ρ_{bal} didapat dari penurunan rumus :

$$\frac{X_{\text{bal}}}{d} = \frac{\varepsilon_{cu}}{\varepsilon_{cu} + \varepsilon_s} = \frac{\varepsilon_{cu}}{\varepsilon_{cu} + \frac{f_y}{E_s}} = \frac{0,003}{0,003 + \frac{f_y}{2 \times 10^5}} = \frac{600}{600 + f_y}$$

kesetimbangan gaya

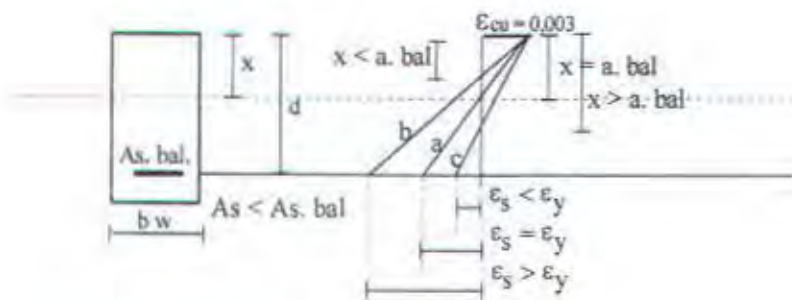
$$T = Cc$$

$$A_s \times f_y = 0,85 \times f'_c \times a_{\text{bal}} \times b_w$$

$$\rho = \frac{A_s}{b \times d}$$

$$\rho_{\text{bal}} = \frac{0,85 \times f'_c \times a_{\text{bal}}}{f_y \times d} = \frac{0,85 \times f'_c \times \beta_1}{f_y} \times \frac{a_{\text{bal}}}{d}$$

$$\rho_{\text{bal}} = \frac{\beta_1 \times 0,85 \times f'_c}{f_y} \times \frac{600}{600 + f_y}$$

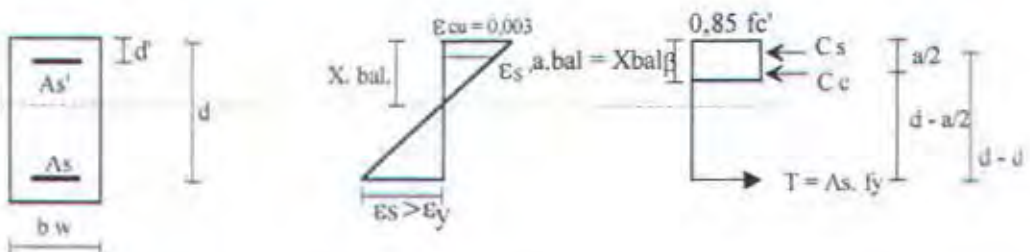


Sehingga dapat disimpulkan :

keruntuhan seimbang sulit dicapai sehingga diusahakan kondisi keruntuhan tarik yang terjadi karena dapat memberikan peringatan berupa lendutan.

$$\rho_{\min} < \rho_{\text{perlu}} < \rho_{\max}$$

b. Balok persegi tulangan ganda



Gambar 4-8. Tegangan penampang balok persegi tulangan ganda

$$\frac{X_{bal}}{d} = \frac{600}{600 + f_y}$$

$$X_{bal} = \frac{600}{600 + f_y} \times d$$

$$X_{max} = 0,75 \times X_{bal} \rightarrow X_{max} = 0,75 \times \frac{600}{600 + f_y} \times d$$

$$a_{max} = \beta_1 \times X_{max}$$

Jika dianggap tulangan tarik saja yang bekerja, dari keadaan kesetimbangan gaya-gaya horisontal didapat :

$$\Sigma H = 0 \rightarrow T_1 = A_{s1} \times f_y$$

$$A_{s1} = \frac{C_{cmax}}{f_y}$$

Momen maksimum yang dapat dipikul tulangan tarik saja :

$$\begin{aligned} M_{n1} &= T_1 \times \left(d - \frac{a_{max}}{2} \right) \\ &= C_{cmax} \times \left(d - \frac{a_{max}}{2} \right) \end{aligned}$$

Momen sisa :

$$M_{n2} = M_n - M_{n1}$$

Gaya yang harus ditahan tulangan tekan :

$$C_{cperlu} = \frac{M_{n2}}{d - d^*}$$

Dalam hal ini, keadaan tulangan tekan harus diperiksa apakah dalam keadaan leleh atau belum leleh :

- Tulangan tekan leleh

Tulangan tekan dapat dikatakan leleh jika :

regangan yang terjadi melebihi atau sama dengan regangan dalam keadaan leleh.

$$\varepsilon_s = \frac{X_{\max} - d'}{X_{\max}} \times 0,003 \geq \varepsilon_y$$

dimana : $\varepsilon_y = \frac{f_y}{E_s}$

dalam keadaan ini luas tulangan tekan adalah

$$A_s' = \frac{C_c \text{perlu}}{f_y - 0,85 \times f_c'}$$

Luas tulangan tarik :

$$A_s = A_{s1} + A_s'$$

- Tulangan tekan belum leleh

jika. $\varepsilon_s' < \varepsilon_y$

Luas tulangan yang dibutuhkan dimana tegangan dalam tulangan dalam keadaan belum leleh tersebut harus diambil sebesar E_s dikalikan regangan yang terjadi.

$$\varepsilon_s' = \frac{X_{\max} - d'}{X_{\max}} \times 0,003 < \varepsilon_y$$

Jadi : $f_s' = \varepsilon_s' \times E_s$

dalam keadaan ini luas tulangan tekan yang dibutuhkan :

$$A_s' = \frac{C_c \text{perlu}}{f_s' - 0,85 \times f_c'}$$

Luas tulangan tarik

$$A_s = A_{s1} + \frac{A_s' \times f_s'}{f_y}$$

c. Konstruksi balok T

Bentuk balok T diperoleh dari pengecoran monolit antara balok dan pelat pada sisi atasnya sehingga pada daerah momen positif balok luas penampang pelat akan menambah luas daerah tekan pada balok sedangkan pada daerah momen negatif balok tetap dianggap sebagai penampang persegi.

Perencanaan untuk balok T adalah seperti perencanaan balok berpenampang persegi dengan tulangan tunggal. Hal ini mengingat bahwa luas daerah tekan beton pada balok T mendapat tambahan dari pelat di atasnya sehingga pemakaian tulangan tekan dapat diabaikan.

Lebar efektif b_e untuk perhitungan kekuatan ini didasarkan pada SK SNI '91 pasal 3.1.10 butir 2 dan 3 yaitu :

1. Lebar pelat yang secara efektif bekerja sebagai suatu flens dari balok T tidak boleh melebihi seperempat bentang dari balok dan lebar efektif dari flens yang membentang dari tiap sisi badan balok tidak boleh melebihi :
 - a. Delapan kali tebal pelat.
 - b. Setengah jarak bersih dari badan balok yang bersebelahan.
2. Untuk balok yang mempunyai pelat hanya pada satu sisi, lebar efektif flens yang membentang tidak boleh lebih dari :
 - a. $1/12$ dari bentang balok.
 - b. Enam kali tebal pelat.
 - c. Setengah jarak bersih dari badan balok yang bersebelahan.

Lebar efektif untuk 2 type balok yaitu balok T dan balok L (interior dan exterior), yaitu :

Balok Interior (pelat pada kedua belah sisi), dipilih nilai yang terkecil dari :

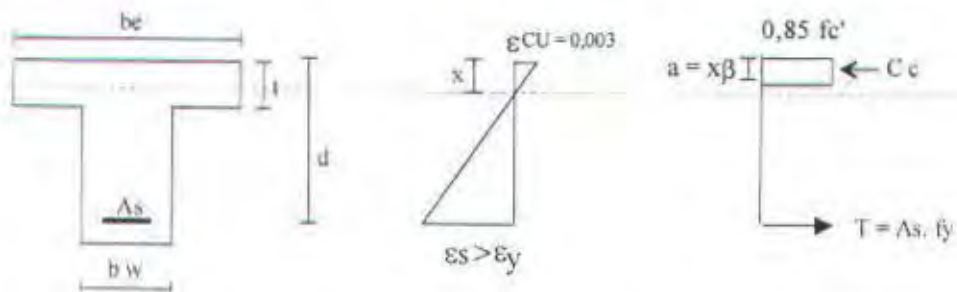
- $b_e \leq 1/4 L$
- $b_e \leq b_w + 16 t$
- $b_e \leq Ln$

Balok Exterior (pelat hanya pada satu sisi), dipilih nilai yang terkecil dari :

- $b_e \leq b_w + 1/12 L$
- $b_e \leq b_w + 6 t$
- $b_e \leq b_w + 1/2 Ln$

Untuk perhitungan kekuatan momen nominal M_n dari balok T maka harus diperiksa dahulu apakah balok T tersebut asli atau palsu. Prosedurnya adalah sebagai berikut :

1. Bila tinggi a dari blok tegangan persegi adalah sama atau lebih kecil dari t , maka balok T dihitung sama dengan balok empat persegi panjang (balok T palsu) dengan lebar b_e



Gambar 4-9. Tegangan penampang balok T palsu

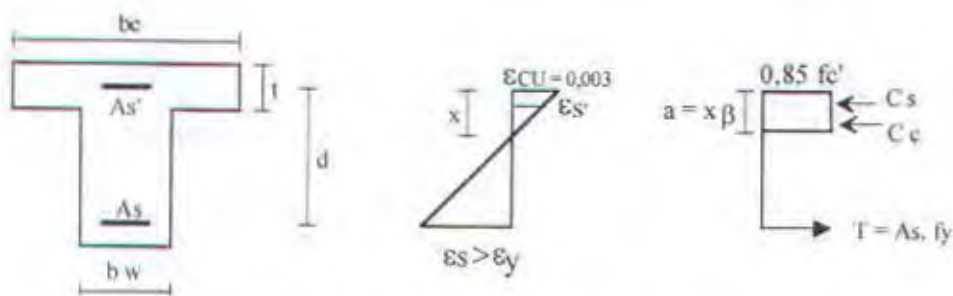
$$C_c = T$$

$$0,85 \times f_{c'} \times b_e \times a = A_s \times f_y$$

$$M_n = C_c \times (d - \frac{a}{2})$$

$$\rho = 0,85 \times \frac{f_{c'}}{f_y} \times \frac{b_e}{b_w} \times \frac{a}{d}$$

2. Bila tinggi a lebih besar dari t , maka dihitung secara balok T murni dengan



Gambar 4-10. Tegangan penampang balok T asli

$$M_n = C_c \times \left(d - \frac{a}{2} \right) + C_s \times \left(d - \frac{t}{2} \right)$$

dimana : $T = Cs + Cc$

$$C_c = 0,85 \times f'_c \times b_w \times a$$

$$C_s = 0,85 \times f'_c \times (b_e - b_w) \times t$$

$$a = \frac{T - C_s}{0,85 \times f'_c \times b_w}$$

$$\rho_{\text{perlu}} = 0,85 \times \frac{f'_c}{f_y} \times \frac{h_e}{d} \times \frac{(b_e \times b_w)}{d} + 0,85 \times \frac{f'_c}{f_y} \times \frac{a}{d}$$

d. Langkah-langkah perencanaan lentur balok anak :

1. Tentukan dimensi balok meliputi :

- Lebar balok (b).
- Tinggi balok (h).
- Penutup beton (dc).

2. Hitung momen yang terjadi pada balok (dari hasil analisa SAP 90).

3. Hitung R_n dengan rumus :

$$R_n = \frac{Mu}{\phi \times b \times d^2}$$

4. Hitung ρ_{perlu} yang dibutuhkan dengan rumus :

$$\rho_{\text{perlu}} = \frac{0,85 \times f'_c}{f_y} \left[1 - \sqrt{1 - \frac{2 \times R_n}{0,85 \times f'_c}} \right]$$

atau dengan cara lain :

$$m = \frac{f_y}{0,85 \times f'_c}$$

$$\rho_{\text{perlu}} = \frac{1}{m} \times \left[1 - \sqrt{1 - \frac{2 \times m \times R_n}{f_y}} \right]$$

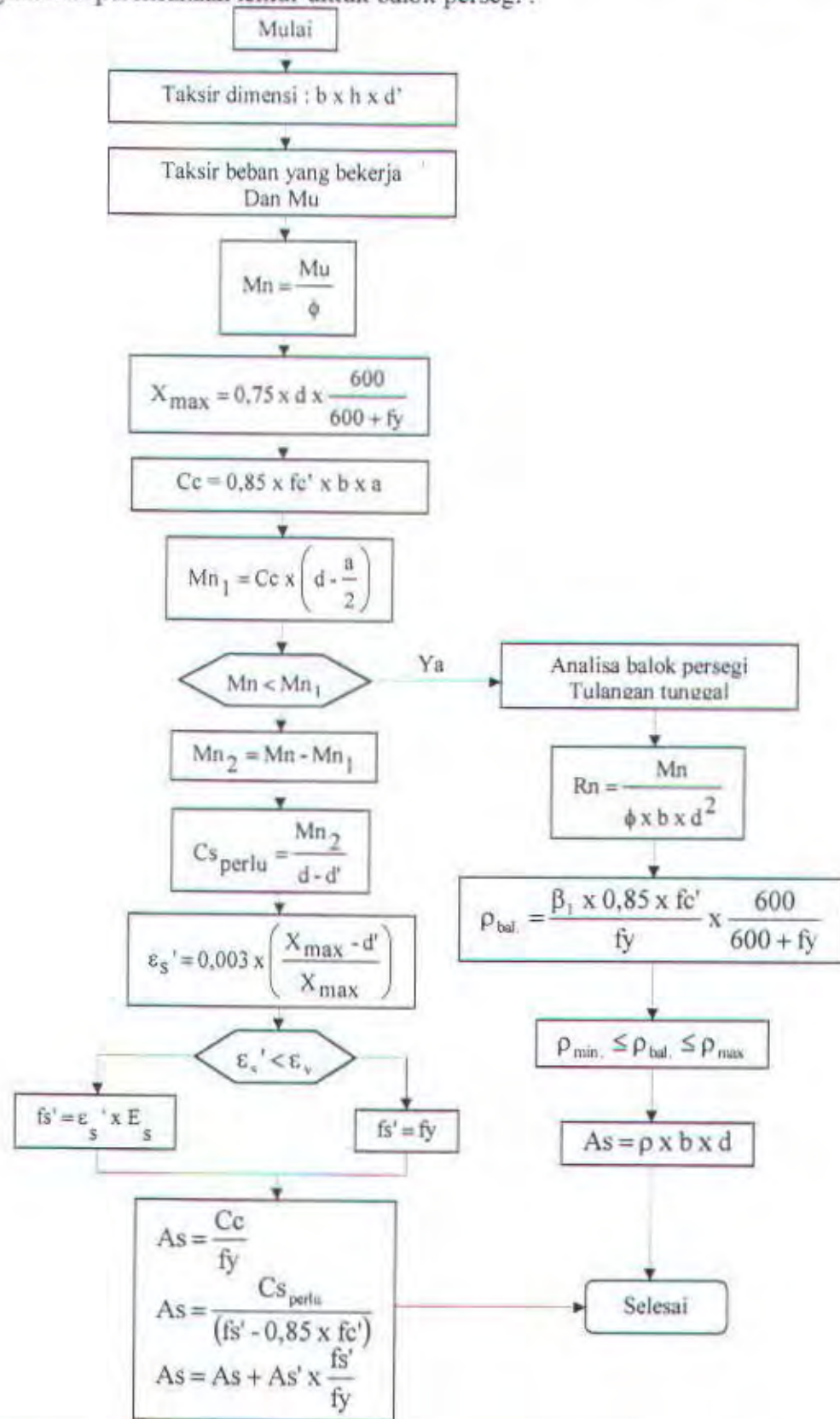
5. Cek ρ_{perlu} yang diperoleh terhadap ρ_{max} dan ρ_{min} :

- Apabila $\rho_{\text{perlu}} > \rho_{\text{max}}$, maka diperlukan tulangan tekan.
- Apabila $\rho_{\text{perlu}} < \rho_{\text{min}}$, maka tulangan tekan tidak diperlukan.
(sehingga tulangan dihitung berdasarkan tulangan tunggal).

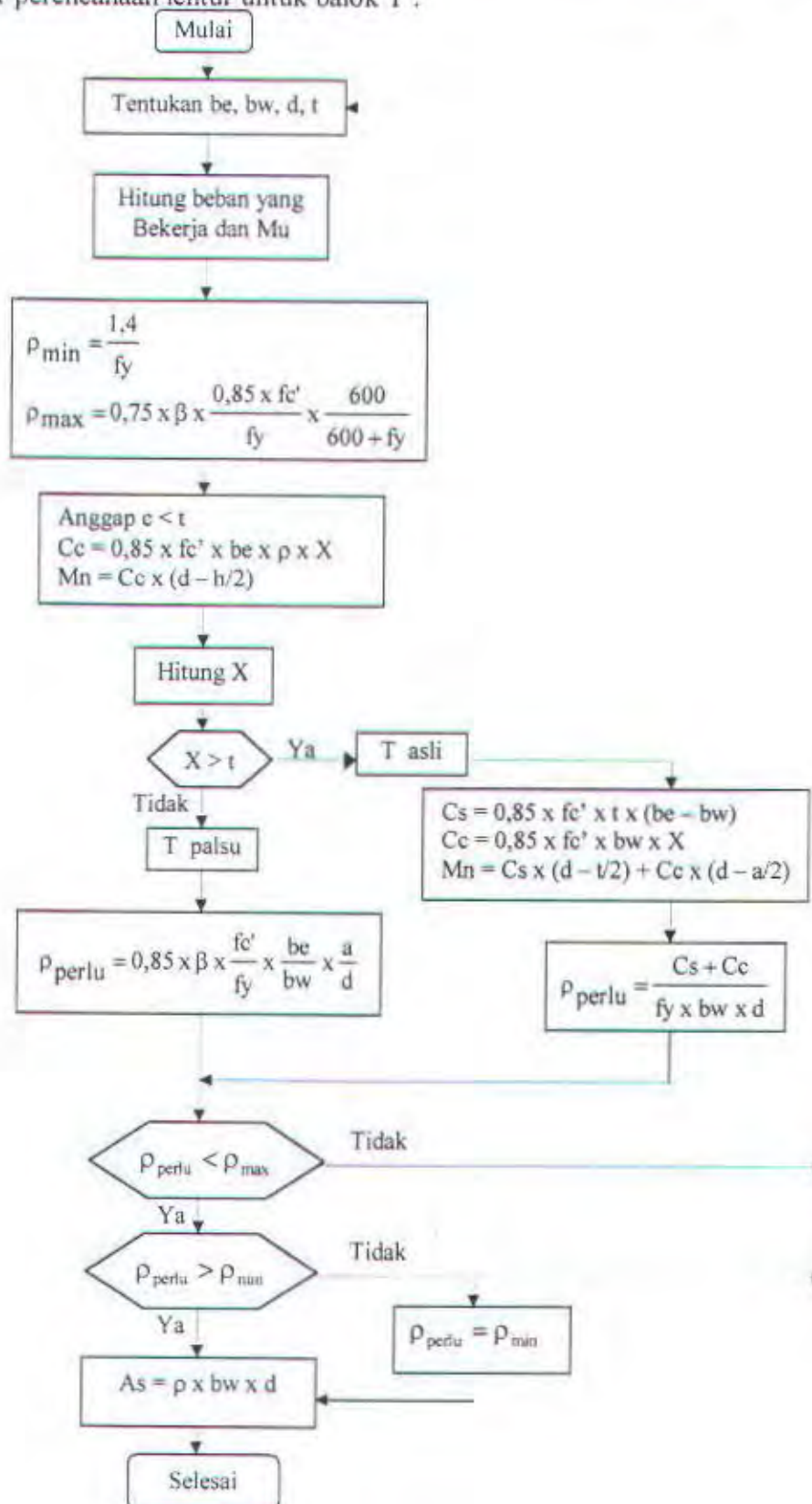
6. Cek nilai a terhadap tebal pelat (t) pada daerah lapangan.

- Apabila nilai $a < t$, maka prosedur perhitungan di atas sudah benar yaitu sebagai balok T palsu (balok berpenampang persegi).
- Apabila nilai $a > t$, maka harus dilakukan prosedur perhitungan balok T murni seperti yang telah diuraikan sebelumnya.

e. Diagram alir perencanaan lentur untuk balok persegi :



f. Diagram alir perencanaan lentur untuk balok T :



4.4.3.2. Disain penulangan geser dan torsi

a. Penulangan Geser

Perencanaan penampang akibat geser harus didasarkan pada perumusan sebagai berikut:

$$V_u \leq \phi V_n$$

dimana :

V_u = merupakan gaya geser berfaktor akibat beban luar pada penampang yang ditinjau.

V_n = merupakan kuat geser nominal suatu komponen struktur yang didapat dari sumbangan kekuatan beton (V_c) dan kekuatan tulangan geser (V_s), yang dihitung dari :

$$V_n = V_c + V_s,$$

dimana :

- V_c adalah kuat geser beton.

- V_s adalah kuat geser nominal tulangan geser.

Besarnya V_c bervariasi tergantung dari dimensi balok dan mutu beton yang digunakan. Sedangkan besarnya V_s tergantung dari diameter tulangan geser, mutu baja dan jarak pemasangannya.

Sumbangan kekuatan geser beton (V_c) :

- Untuk struktur yang hanya dibebani oleh geser dan lentur saja, berlaku rumus :

$$V_c = \frac{1}{6} \times \sqrt{f'_c} \times b_w \times d \quad \dots \dots \quad \text{SK SNI '91 pasal 3.4.3 butir 1.1}$$

- Untuk komponen struktur yang dibebani tekan aksial :

$$V_c = \left(1 + \frac{N_u}{14 A_g} \right) \times \frac{1}{6} \times \sqrt{f'_c} \times b_w \times d \quad \dots \dots \quad \text{SK SNI '91 pasal 3.4.3 butir 1.2}$$

- Untuk komponen struktur yang dibebani gaya tarik aksial yang cukup besar, tulangan geser harus direncanakan untuk memikul geser total yang terjadi.
- Sedang untuk penampang dimana komponen torsi berfaktor T_u melebihi persamaan berikut ini :

$$Tu = \phi \times \left(\frac{\sqrt{fc'}}{20} \right) \times \sum x^2 \cdot y$$

maka :

$$Vc = \frac{\left(\frac{\sqrt{fc'}}{6} \right) \times b_w \times d}{\sqrt{1 + (2,5) \times C_t \times \frac{Tu}{Vu}}} \quad \dots \dots \text{SK SNI '91 pasal 3.4.3 butir 1.5}$$

- Besarnya Vs bila digunakan tulangan geser yang tegak lurus terhadap sumbu aksial komponen struktur adalah :

$$Vs = \frac{Av \times fy \times d}{s} \quad \dots \dots \text{SK SNI '91 pasal 3.4.5 butir 6.2}$$

dimana :

Av = luas tulangan geser dalam jarak s .

Perencanaan untuk geser dapat dibagi dalam 5 kategori sebagai berikut :

1. Kondisi dimana $Vu < 1/2 \times \phi Vc$ maka tulangan geser tidak diperlukan dan hanya dipasang praktis (PBI '89 pasal 11.5.5.1).
2. Kondisi dimana $1/2 \phi Vu < Vu < \phi Vc$ maka hanya dipasang tulangan geser minimum saja kecuali untuk unsur-unsur lentur tipis menyerupai slab. Tulangan minimum yang diberikan adalah : $\phi Vs = \phi 1/3$ dimana $1/3$ MPa merupakan nilai minimum Vs. Jadi Av dan jarak maksimum sengkang (PB'89 pasal 11.5.5.3)
3. Kondisi dimana $\phi Vc < Vu < \phi(Vc + Vs)$. Untuk semua unsur lentur termasuk semua yang dikecualikan di dalam kategori 2 harus diberikan penguatan geser yang memenuhi persamaan seperti kategori 2.
4. Kondisi dimana untuk kategori ini persyaratan penulangan yang dihitung akan melebihi ϕVs minimum yang disyaratkan dan penguatan harus memenuhi rumus berikut : $\phi Vs = Vu - \phi Vc$ untuk $a = 900$ dipasang tulangan dimana jarak sengkang maksimum adalah s maksimum = 600 mm.
5. Kondisi dimana perbedaan antara kategori 4 dan 5 adalah bahwa untuk semua bentang dari balok dengan tegangan nominal Vs yang harus dipikul oleh penguatan geser berada di antara Vc dan Vu . Jadi gaya geser perlu adalah sebesar : $\phi Vs = Vu - \phi Vc$. Untuk penulangan sengkang dipakai jarak s maksimum sebesar 300 mm

Pada lokasi yang berpotensi sendi plastis, spasi maksimum tulangan geser tidak boleh melebihi nilai di bawah ini (SK SNI 1991 pasal 3.14.3 butir 3.2) :

- $d / 4$
- $8 \times d$ (delapan kali diameter tulangan longitudinal terkecil)
- $24 \times$ diameter sengkang
- $\frac{1600 \times f_y \times A_s}{(A_s + A_s) \times f_y}$

dimana :

A_s = luas satu kaki dari tulangan transversal (mm^2)

A_s = luas tulangan longitudinal atas (mm^2)

A_s = luas tulangan longitudinal bawah (mm^2)

f_y = kuat leleh tulangan longitudinal (MPa)

b. Penulangan Torsi

Untuk menjamin bahwa penampang sanggup menerima beban torsi (T_u) maka kuat nominal penampang harus lebih besar dari torsi yang ada. Perencanaan penampang harus didasarkan pada :

$$T_u \leq \phi T_n \quad , \quad \dots \dots \dots \text{SK SNI '91 pasal 3.4.6 butir 5}$$

dimana :

$$T_n = T_c + T_s \quad \dots \dots \dots \text{SK SNI '91 pasal 3.4.6 butir 5}$$

ϕ = faktor reduksi kekuatan = 0,6

Untuk tulangan Torsi :

diabaikan, jika $T_u < T_{u_{\min}}$

dimana besarnya, $T_{u_{\min}} = \phi \times \frac{1}{20} \times \sqrt{f_c} \times \sum x^2 \cdot y$

Untuk penampang yang memikul gaya geser dan torsi, maka kuat momen torsi yang mampu dipikul beton adalah sebesar :

$$T_c = \frac{\frac{1}{15} \times \sqrt{f_c} \times \sum x^2 \cdot y}{\sqrt{1 + (0,4 \times V_u / (C_t \times T_u))^2}} \quad \dots \dots \text{SK SNI '91 pasal 3.4.6 butir 6}$$

Tulangan transversal minimum yang disyaratkan untuk kekuatan :

$$\frac{b_w}{3 \times f_y} \leq \frac{Av}{s} + 2 \times \frac{At}{s} \quad \dots \dots \text{SK SNI '91 pasal 3.4.5 butir 5}$$

Untuk tulangan torsi memanjang dipilih yang terbesar antara :

$$A_1 = \frac{2 \times At}{s} \times (x_i + y_i) \quad \dots \dots \text{SK SNI '91 pasal 3.4.6 butir 9.3}$$

$$A_2 = \left[\frac{2,8 \times s}{f_y} \times \left(\frac{T_u}{T_u + (V_u/3 \times C_t)} \right) - 2 \times At \right] \times \frac{x_i + y_i}{s}$$

$$\text{dimana : } C_t = \frac{b_w \times d}{\sum x^2 \cdot y}$$

x_i = jarak pusat terpendek dari sengkang terpendek

y_i = jarak pusat ke pusat terpanjang dari sengkang tertutup

Sesuai dengan SK SNI '91 pasal 3.14.3 butir 3 dan SK SNI '91 pasal 3.14.3 butir 4 menyebutkan :

Sambungan lewatan dari tulangan lentur hanya diperbolehkan bila sepanjang daerah sambungan lewatan tadi dipasang tulangan sengkang penutup atau tulangan spiral. Jarak maksimum tulangan tranversal yang melilit batang tulangan yang disambung tidak boleh melebihi $d/4$ atau 100 mm.

Sambungan lewatan tidak boleh digunakan :

1. dalam daerah join
 2. dalam jarak dua kali tinggi komponen struktur dari muka join
 3. pada lokasi dimana analisa menunjukkan terjadinya leleh lentur akibat dari perpindahan lateral inelastis dari rangka.
- c. Susunan penulangan dengan aturan sebagai berikut :
- jarak spasi sengkang, $S \leq \frac{x_i + y_i}{4}$ atau 300 mm
 - tulangan memanjang disebar merata dengan jarak maksimum 300 mm dan paling tidak satu tulangan di pojok



- diameter > D12, $f_y \leq 400$ MPa
- tulangan torsi harus disediakan paling tidak $(b + d)$ dari titik teoritis yang diperlukan

4.4.3.3. Panjang penyaluran balok anak

Penulangan memanjang dan penulangan geser sepanjang balok tidak akan berfungsi jika tidak terjadi kerjasama antara baja tulangan dan beton. Tulangan dapat dianggap berperan dalam suatu struktur beton bertulang jika terjadi aksi lekatian antara baja tulangan dan beton sekelilingnya.

Lekatan antara baja tulangan dan beton ini harus cukup untuk mengembangkan kapasitas tarik atau kapasitas tekan dari baja tulangan hingga mencapai tegangan lelehnya tanpa terjadinya slip. Apabila terjadi slip di bawah beban kerja maka keruntuhan struktur dapat terjadi.

Untuk menjamin bahwa tidak akan terjadi slip antara beton dan baja tulangan maka dibutuhkan suatu panjang penanaman tertentu yang dikenal dengan nama panjang penyaluran.

Syarat-syarat tentang panjang penyaluran dan penyambungan tulangan diatur dalam SK SNI '91 pasal 3.5 :

a. Panjang penyaluran tulangan tarik

Panjang penyaluran dasar tulangan tarik untuk baja tulangan ulir D36 dan yang lebih kecil adalah sebagai berikut :

$$L_{db} = 0,02 \times A_b \dots \dots \dots \text{SK SNI '91 pasal 3.5.2 butir 2}$$

dan tidak boleh kurang dari :

$$L_{db} = 0,06 \times d_b \times f_y$$

Faktor-faktor yang mengubah panjang penyaluran dari tulangan tarik adalah tulangan atas. Tulangan horizontal dengan beton yang dicor di bawahnya apabila lebih dari 30 cm maka panjang penyaluran menjadi :

Akibat *top bar effect* (tulangan atas) :

$$L_{db} = 1,4 \times L_{db}$$

b. Panjang penyaluran tulangan tekan

Panjang penyaluran dasar untuk semua ukuran tulangan harus diambil sebagai berikut :

$$L_{db} = \frac{d_b \times f_y}{4 \times \sqrt{f_{c'}}} \quad \dots \dots \dots \text{SK SNI '91 pasal 3.5.3 butir 2}$$

tetapi tidak boleh kurang dari :

$$L_{db} = 0,04 \times d_b \times f_y$$

Faktor modifikasi yang mengubah panjang penyaluran tulangan tekan adalah kelebihan tulangan dari analisa panjang penyaluran tulangan tekan dikalikan dengan faktor $\frac{A_s \text{perlu}}{A_s \text{tersedia}}$

c. Panjang penyaluran kait standar dalam tarik

Panjang penyaluran dasar kait standar (hook) dari tulangan D36 dan yang lebih kecil adalah sebagai berikut :

$$L_{hb} = 100 \times \frac{d_b}{\sqrt{f_{c'}}} \quad \dots \dots \dots \text{SK SNI '91 pasal 3.5.5 butir 2}$$

Panjang penyaluran hook :

$$L_{sh} = L_{hb} \times \left(\frac{f_y}{400} \right) \times (0,7)$$

Tetapi tidak boleh kurang dari :

$$L_{sh} = 8 \times d_b$$

d. Panjang penyaluran dari tulangan momen positif

Tulangan momen positif pada komponen struktur yang tertumpu pada dua tumpuan dan seperempat dari tulangan momen positif pada komponen struktur yang menerus harus diterima ke dalam tumpuan paling sedikit sepanjang (menurut SK SNI '91) :

- 150 mm
- sejarak d
- $12 \times d_b$

- e. Panjang penyaluran dari tulangan momen negatif

Sepertiga dari tulangan tarik pada momen negatif diteruskan pada jarak terbesar antara (SK SNI '91 pasal 3.5.12) :

- sejarak d
- $12 \times d_b$
- $\frac{L_n}{16}$

4.4.3.4. Kontrol lendutan dan retak balok anak

- a. kontrol lendutan balok anak

SK SNI '91 tabel 3.2.5(a) menyajikan batasan-batasan tebal minimum dengan berbagai kondisi perletakan dimana apabila tebal balok lebih besar daripada tebal minimum seperti yang disyaratkan tersebut maka lendutan tidak perlu dihitung.

Syarat tebal minimum untuk balok atau pelat satu arah menurut SK SNI '91 tabel 3.2.5(a) adalah sebagai berikut :

- Balok di atas dua tumpuan :

$$h_{min} = \frac{Lu}{16} \times \left(0,4 + \frac{f_y}{700}\right), \text{ dimana : } f_y \text{ dalam MPa}$$

- Balok dengan satu ujung menerus :

$$h_{min} = \frac{Lu}{18,5} \times \left(0,4 + \frac{f_y}{700}\right), \text{ dimana : } f_y \text{ dalam MPa}$$

- Balok dengan ujung menerus di kedua tepinya :

$$h_{min} = \frac{Lu}{21} \times \left(0,4 + \frac{f_y}{700}\right), \text{ dimana : } f_y \text{ dalam MPa}$$

Dari disain awal untuk balok anak, tinggi balok (h) diambil sekitar 1/16 Lu sehingga praktis lendutan tidak perlu dihitung karena tinggi balok yang ada lebih besar dari tinggi minimum balok sebagai syarat kontrol lendutan.

b. Kontrol terhadap retak

Bila tegangan leleh rancang f_y untuk tulangan tarik melebihi 300 MPa, penampang dengan momen negatif dan positif maksimum harus dipropsorsikan sedemikian sehingga nilai z yang diberikan oleh :

$$Z = f_s \times \sqrt{d_c \times A} \quad \dots \dots \dots \text{SK SNI '91 pasal 3.3 butir 4}$$

Dan tidak melebihi 30 MN/m untuk penampang di dalam ruangan dan 25 MN/m untuk penampang yang dipengaruhi cuaca luar, dimana nilai f_s tidak boleh diambil sebesar 60 % dari kekuatan leleh yang disyaratkan ($f_s = 0,6 \times f_y$).

4.4.3.5. Contoh perhitungan

Sebagai contoh perhitungan tulangan balok anak melintang diambil balok anak pada lantai dengan elemen pada SAP90 nomor 61 - 62 (as h,3-5) dengan bentang 6,5 m.

Besarnya gaya-gaya dalam pada balok anak dari SAP90 sebagai berikut :

$$M_{u_{\text{tumpuan kiri}}} = 4788,49 \text{ kg-m} = 4655,83 \times 10^4 \text{ N-mm}$$

$$M_{u_{\text{tampang}}} = -4532,73 \text{ kg-m} = -4505,34 \times 10^4 \text{ N-mm}$$

$$M_{u_{\text{tumpuan kanan}}} = 8024,67 \text{ kg-m} = 8055,76 \times 10^4 \text{ N-mm}$$

$$V_{u_{\text{tumpuan kiri}}} = -5812,14 \text{ kg} = -5812,14 \times 10 \text{ N}$$

$$V_{u_{\text{tampang}}} = 845,42 \text{ kg} = 845,42 \times 10 \text{ N}$$

$$V_{u_{\text{tumpuan kanan}}} = 6884,49 \text{ kg} = 6884,49 \times 10 \text{ N}$$

$$T_u = 32,12 \text{ kg-m} = -321200 \text{ N-mm}$$

Data-data umum penulangan balok anak :

$$\text{- tinggi balok (h)} = 450 \text{ mm}$$

$$\text{- lebar balok (b)} = 250 \text{ mm}$$

$$\text{- decking} = 40 \text{ mm}$$

$$\text{- bentang} = 6500 \text{ mm}$$

$$\text{- tulangan sengkang} = D10 \text{ mm}$$

$$\text{- tulangan utama} = D16 \text{ mm}$$

- mutu beton (f_c') = 24,6 MPa
- mutu baja (f_y) = 390 MPa

a. Perhitungan penulangan pada tumpuan pada sebelah kiri ($M_{u_{tumpuan\ kiri}}$)

$$M_{u_{tumpuan\ kiri}} = 4788,49 \text{ kg m} = 4788,49 \times 10^4 \text{ N-mm}$$

$$d = 450 - 40 - 10 - 16/2 = 392 \text{ mm}$$

- Perhitungan penulangan lentur

$$M_n = \frac{4788,49 \times 10^4}{0,8} = 59856125 \text{ N-mm}$$

$$X_{\max} = 0,75 \times 392 \times \frac{600}{600 + 390} = 178,18 \text{ mm}$$

$$a_{\max} = 0,85 \times 178,2 = 151,45 \text{ mm}$$

$$C_c = 0,85 \times 24,6 \times 151,45 \times 250 = 791728,64 \text{ N}$$

$$M_{n_{\max}} = 791728,64 \times (392 - 0,5 \times 151,45) = 250402175,1 \text{ N-mm}$$

$M_{n_{\max}} > M_n \rightarrow$ (analisa tulangan tunggal)

$$R_n = \frac{59856125}{250 \times 392^2} = 1,56$$

$$\rho_{\text{perlu}} = \frac{1}{18,65} \times \left(1 - \sqrt{1 - \frac{2 \times 18,65 \times 1,56}{390}} \right) = 0,0042$$

kontrol terhadap ρ_{\max} dan ρ_{\min}

$$\rho_{\min} = \frac{1,4}{390} = 0,00359$$

$$\rho_b = \frac{0,85 \times 0,85 \times 24,6}{390} \times \frac{600}{600 + 390} = 0,0276$$

$$\rho_{\max} = 0,75 \times 0,0276 = 0,0207$$

syarat : $\rho_{\min} < \rho_{\text{perlu}} < \rho_{\max}$

$$0,00359 < 0,0042 < 0,0207$$

penulangan tarik

$$\begin{aligned} As &= \rho_{\text{perlu}} \times b \times d \\ &= 0,0042 \times 250 \times 392 \\ &= 407,3 \text{ mm}^2 \end{aligned}$$

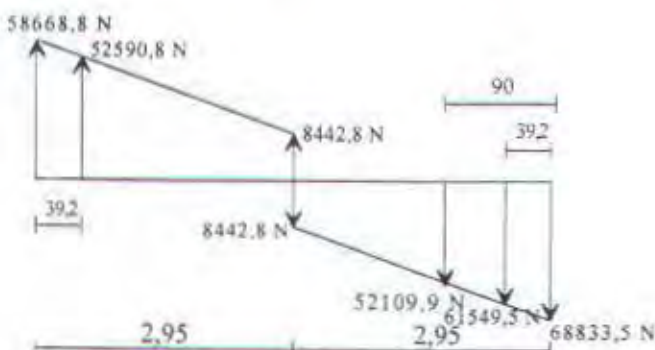
penulangan tekan diambil praktis atau $1/2$ luas tulangan tarik :

$$\begin{aligned} As' &= 1/2 \times As \\ &= 1/2 \times 407,3 \\ &= 203,7 \text{ mm}^2 \end{aligned}$$

dipasang tulangan ulir, atas (tarik) : 3-D16 $\rightarrow (As_{\text{ada}} = 596 \text{ mm}^2)$
bawah (tekan) : 2-D16 $\rightarrow (As_{\text{ada}} = 397 \text{ mm}^2)$

- Penulangan geser sebelah kiri

$$V_u_{\text{tumpuan kiri}} = -5866,88 \text{ kg} = -5866,88 \times 10 \text{ N}$$



tulangan geser = D10 mm

$$\begin{aligned} Av_{\text{ada}} &= 2 \times \frac{\pi}{4} \times 10^2 \\ &= 157 \text{ mm}^2 \end{aligned}$$

sumbangannya kekuatan geser beton :

$$\begin{aligned} \phi Vc &= \phi \times \frac{1}{6} \times \sqrt{fc'} \times b_w \times c \\ &= 0,6 \times \frac{1}{6} \times \sqrt{24,6} \times 250 \times 392 \\ &= 48606,42 \text{ N} \end{aligned}$$

$V_u > \phi Vc \rightarrow$ butuh tulangan geser

gaya geser yang harus diterima oleh tulangan geser ($V_{u_{terpakai}} = 61549,45 \text{ N}$)

$$\begin{aligned}\phi V_s &= V_u - \phi V_c \\ &= 61549,45 - 48606,42 \\ &= 12943,03 \text{ N}\end{aligned}$$

jarak tulangan geser yang dibutuhkan :

$$\begin{aligned}S &= \frac{\phi \times A_v \times f_y \times d}{\phi V_s} \\ &= \frac{0,6 \times 157 \times 390 \times 392}{12943,03} \\ &= 1112,67 \text{ mm} > d/4 (98 \text{ mm})\end{aligned}$$

dipasang tulangan geser, D10-95 mm

gaya geser yang harus diterima oleh tulangan geser terpasang :

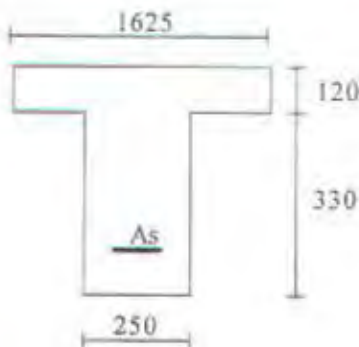
$$\begin{aligned}\phi V_{s_{terpasang}} &= \frac{\phi \times A_v \times f_y \times d}{S_{terpasang}} \\ &= \frac{0,6 \times 157 \times 390 \times 392}{95} \\ &= 151592,59 \text{ N}\end{aligned}$$

Kontrol : $V_{u,b} < \phi V_c + \phi V_s$, terpasang

$$61549,45 \text{ N} < 48606,42 + 151592,59 = 200199,01 \text{ N} \quad \dots \dots \text{ oke !}$$

- Penulangan torsi

$$Tu = 321,2 \text{ Nm}$$



$$\begin{aligned}\Sigma x^2.y &= 25^2 \times 45 + 2 \times (68,75^2 \times 12) \\ &= 141562,5 \text{ cm}^2 = 14156250 \text{ mm}^2\end{aligned}$$

$$\begin{aligned}Tu_{min} &= \phi \times \frac{1}{20} \times \sqrt{fc'} \times \Sigma x^2.y \\ &= 0,6 \times \frac{1}{20} \times \sqrt{24,6} \times 14156250 \\ &= 2106,38 \text{ Nm} > 321,2 \text{ Nm} (Tu_{ada}) \rightarrow \text{Torsi diabaikan}\end{aligned}$$

Torsi relatif kecil sehingga tulangan torsi hanya dipasang minimum dengan :

Tulangan melintang.

$$\begin{aligned}Av_{min} &= \frac{b_w \times s}{3 \times f_y} \\ &= \frac{250 \times 150}{3 \times 390} = 32,05 \text{ mm}^2\end{aligned}$$

$$Av_{ada} = 157,08 \text{ mm}^2 > Av_{min} = 32,05 \text{ mm}^2$$

jadi tulangan torsi diabaikan

Tulangan memanjang

$$x_1 = 250 - 2 \times 40 - 10 = 160 \text{ mm}$$

$$y_2 = 450 - 2 \times 40 - 10 = 360 \text{ mm}$$

$$A_1 = \frac{b_w}{3 \times f_y} \times (x_1 + x_2)$$

$$= \frac{250}{3 \times 390} \times (160 + 360) = 111,11 \text{ mm}^2$$

Tulangan memanjang ini disebarkan pada bagian penampang balok yaitu pada tulangan atas, tulangan tengah, tulangan bawah dan ditambahkan pada tulangan akibat lentur.

tulangan atas dan bawah, $1/4 \times A_1 = 1/4 \times 111,11 = 27,77 \text{ mm}^2$

tulangan tengah, $1/2 \times A_1 = 1/4 \times 111,11 = 55,55 \text{ mm}^2$

- Disain akhir penulangan

$$A_s = 407,3 + 27,77 = 435,07 \text{ mm}^2$$

$$A'_s = 203,7 + 27,77 = 231,47 \text{ mm}^2$$

dipasang tulangan ulir : atas (tarik) : 3-D16 $\rightarrow (A_{s,ad} = 596 \text{ mm}^2)$

bawah (tekan) : 2-D13 $\rightarrow (A_{s,ad} = 397 \text{ mm}^2)$

dipasang tulangan ulir : tengah ($55,55 \text{ mm}^2$) : 2-D13 $\rightarrow (A_{s,ad} = 253 \text{ mm}^2)$

- Panjang penyaluran balok anak

panjang penyaluran untuk tulangan tarik D16 mm :

$$L_{db} = 0,02 \times 198,6 \times \frac{390}{\sqrt{24,6}}$$

$$= 312,3 \text{ mm}$$

dan tidak boleh kurang dari :

$$L_{db} = 0,06 \times 16 \times 390$$

$$= 374,4 \text{ mm}$$

maka dipakai, $L_{db} = 400 \text{ mm}$

akibat adanya tulangan atas maka L_{db} dikalikan faktor 1,4

$$L_{db} = 1,4 \times 400$$

$$= 560 \text{ mm}$$

Panjang penyaluran untuk tulangan tekan D16 mm :

$$L_{db} = \frac{16 \times 390}{4 \times \sqrt{24,6}}$$
$$= 314,53 \text{ mm} \approx 325 \text{ mm}$$

dan tidak boleh kurang dari :

$$L_{db} = 0,04 \times 16 \times 390$$
$$= 249,6 \text{ mm}$$

maka dipakai $L_{db} = 400 \text{ mm}$

Panjang penyaluran kait standar dalam tarik

Panjang penyaluran dasar kait standar (*hook*) dari tulangan D16 mm adalah sebagai berikut :

$$L_{dh} = 100 \times \frac{16}{\sqrt{24,6}}$$
$$= 322,59 \text{ mm} \approx 325 \text{ mm}$$

panjang penyaluran *hook* :

$$L_{dh} = 325 \times \left(\frac{390}{400} \right) \times 0,7$$
$$= 221,81 \text{ mm} \approx 225 \text{ mm}$$

dan tidak boleh kurang dari :

$$L_{cb} = 8 \times 16$$
$$= 128 \text{ mm}$$

maka dipakai $L_{db} = 225 \text{ mm}$

Panjang penyaluran dari tulangan momen positif

- 150 mm
- $d = 392 \text{ mm}$ menentukan !
- $12 \times 16 = 192 \text{ mm}$

Panjang penyaluran dari tulangan momen negatif

- $d = 392 \text{ mm}$
- $12 \times 16 = 192 \text{ mm}$
- $\frac{6500}{16} = 406 \text{ mm} \dots\dots\dots \text{menentukan !}$

- Kontrol terhadap lendutan balok anak

$$h_{\min} = \frac{6500}{21} \times \left(0,4 + \frac{390}{700} \right)$$

$$= 296 \text{ mm} < h (450 \text{ mm}) \dots\dots\dots \text{oke !}$$

- Kontrol terhadap retak balok anak

$$Z = 23,4 \times \sqrt{58 \times 9666,67}$$

$$= 17521,37 \text{ N/mm} = 17,52 \text{ MN/m} < 30 \text{ MN/m} \dots\dots\dots \text{oke !}$$

dimana :

$$fs = 0,06 \times 390 = 23,4 \text{ MPa}$$

$$dc = 40 + 10 + 1/2 \times 16 = 58 \text{ mm}$$

$$A = \frac{2 \times 58 \times 250}{3} = 9666,67 \text{ mm}^2$$

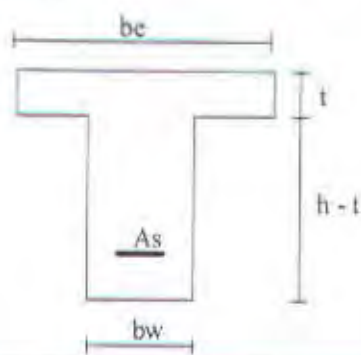
m = jumlah tulangan tarik di atas = 3 batang

b. Perhitungan penulangan pada lapangan ($M_{u_{\text{lapangan}}}$)

$$Mu_{\text{lapangan}} = -4532,73 \text{ kg m} = -4532,73 \times 10^4 \text{ N-mm}$$

$$d = 450 - 40 - 10 - 16/2 = 392 \text{ mm}$$

cek kondisi penampang



$$- b_e \leq \frac{1}{4} \times 650 = 162,5 \text{ cm} \quad \dots \dots \dots \text{menentukan !}$$

$$- b_e \leq 25 + 16 \times 12 = 217 \text{ cm}$$

$$- b_e \leq 25 + 650 = 675 \text{ cm}$$

$$M_n = \frac{4532,73 \times 10^4}{0,8} = 56659125 \text{ N-mm}$$

Periksa apakah tinggi a lebih besar dari tebal pelat dengan anggapan :

di coba, $a = t$

$$Cc = 0,85 \times f'_c \times b_e \times X$$

$$Cc = 0,85 \times 24,6 \times 1625 \times 120 = 4077450 \text{ N}$$

cek, M_n

$$M_n = Cc \times \left(d - \frac{a}{2}\right)$$

$$= 4077450 \times \left(392 - \frac{120}{2}\right)$$

$$= 1353713400 \text{ N mm} > 56316750 \text{ N mm} \quad \dots \dots \dots \text{oke}$$

jelas di sini a harus lebih kecil dari t , analisa T palsu

$a < t \rightarrow T$ palsu, diperoleh :

$$Cc = 0,85 \times f'_c \times b_e \times X$$

$$Cc = 0,85 \times 24,6 \times 1625 \times X = 33978,75X \text{ N}$$

kontrol nilai (a)

$$M_{n_{\max}} = Cc \times \left(d - \frac{t}{2}\right)$$

$$56316750 = 33978,75 X \times \left(392 - \frac{X}{2}\right)$$

$$= 14440,97 X^2 - 13319670 X + 56659125$$

dengan rumus ABC didapat :

$$X = 4,277 \text{ mm}$$

$$X_{\max} = 0,75 \times 4,277 = 3,21 \text{ mm}$$

rasio tulangan yang dibutuhkan :

$$a_{\max} = 0,85 \times 3,21 = 2,73 \text{ mm} < t = 120 \text{ mm} \rightarrow \text{berarti anggapan benar (Tpalsu)}$$

$$\begin{aligned}\rho_{\text{perlu}} &= 0,85 \times \frac{f'_c}{f_y} \times \frac{b_e}{b_w} \times \frac{a_{\max}}{d} \\ &= 0,85 \times \frac{24,6}{390} \times \frac{1625}{250} \times \frac{2,73}{392} = 0,0024 < \rho_{\min}\end{aligned}$$

dipakai, $\rho_{\min} = 0,0036$

penulangan tarik

$$\begin{aligned}A_s &= \rho_{\text{perlu}} \times b \times d \\ &= 0,0036 \times 250 \times 392 \\ &= 351,8 \text{ mm}^2\end{aligned}$$

penulangan tekan diambil praktis atau $1/2$ luas tulangan tarik :

$$\begin{aligned}A_s' &= 1/2 \times A_s \\ &= 1/2 \times 351,8 \\ &= 175,9 \text{ mm}^2\end{aligned}$$

dipasang tulangan ulir : atas (tekan) : 2-D16 $\rightarrow (A_{s,\text{ada}} = 397 \text{ mm}^2)$
bawah (tarik) : 3-D16 $\rightarrow (A_{s,\text{ada}} = 596 \text{ mm}^2)$

kontrol momen nominal dengan tulangan terpasang dianggap yang bekerja tulangan tarik saja :

$$Cc = T$$

$$\begin{aligned}T &= A_s \times f_y \\ &= 596 \times 390 = 232440 \text{ N}\end{aligned}$$

$$X = \frac{232440}{33978,75} = 6,84 \text{ mm}$$

$$X_{\max} = 0,75 \times 6,84 = 5,13 \text{ mm}$$

$$a_{\max} = 0,85 \times 5,1 = 4,36 \text{ mm}$$

$$\begin{aligned}
 M_{n_{\max}} &= T \times (d - \frac{a}{2}) \\
 &= 596 \times 390 \times (392 \times \frac{4,36}{2}) \\
 &= 90609647,41 \text{ N-mm} > M_n = 56316750 \text{ N mm} \dots \dots \dots \text{ oke!}
 \end{aligned}$$

- Penulangan geser sebelah kanan

$$V_{u_{\text{tulangan geser}}} = -6883,35 \text{ kg} = -6883,35 \times 10 \text{ N}$$

sumbangan kekuatan geser beton :

$$\begin{aligned}
 \phi V_c &= \phi \times \frac{1}{6} \times \sqrt{24,6} \times 250 \times 392 \\
 &= 48606,42 \text{ N}
 \end{aligned}$$

$V_u > \phi V_c$ butuh tulangan geser

gaya geser yang harus diterima oleh tulangan geser ($V_{u_{\text{terpakai}}} = 52109,92 \text{ N}$)

$$\begin{aligned}
 \phi V_s &= V_{u_{\text{terpakai}}} - \phi V_c \\
 &= 52109,92 - 48606,42 \\
 &= 3503,5 \text{ N}
 \end{aligned}$$

jarak tulangan geser yang dibutuhkan :

$$\begin{aligned}
 S &= \frac{0,6 \times 157,8 \times 390 \times 392}{3503,5} \\
 &= 4110,54 \text{ mm} > d/2 (196 \text{ mm})
 \end{aligned}$$

dipasang tulangan geser D10-195 mm

gaya geser yang harus diterima oleh tulangan geser terpasang :

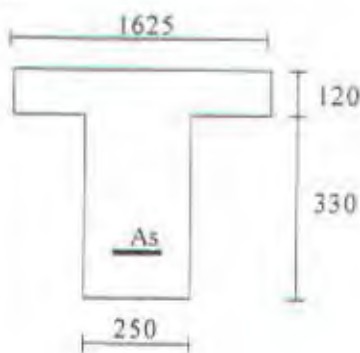
$$\begin{aligned}
 \phi V_{s_{\text{terpasang}}} &= \frac{\phi \times A_v \times f_y \times d}{S_{\text{terpasang}}} \\
 &= \frac{0,6 \times 157 \times 390 \times 392}{195} \\
 &= 75796,29 \text{ N}
 \end{aligned}$$

Kontrol : $V_{u,b} < \phi V_c + \phi V_s$, terpasang

$$52109,92 \text{ N} < 48606,42 + 75796,29 = 124402,71 \text{ N} \quad \dots\dots \text{oke !}$$

- Penulangan torsi

$$T_u = 321,2 \text{ Nm}$$



$$\begin{aligned} T_{u_{min}} &= \phi \times \frac{1}{20} \times \sqrt{f_{c'} I_x} \times \sum x^2 \\ &= 0,6 \times \frac{1}{20} \times \sqrt{24,6} \times 14156250 \\ &= 2106,38 \text{ Nm} > 321,2 \text{ Nm} (T_{u_{ada}}) \rightarrow \text{Torsi diabaikan} \end{aligned}$$

Torsi relatif kecil sehingga tulangan torsi hanya dipasang minimum dengan :

Tulangan melintang :

$$\begin{aligned} A_v &= \frac{250 \times 150}{3 \times 390} \\ &= 32,05 \text{ mm}^2 \end{aligned}$$

$$A_{v_{ada}} = 157,08 \text{ mm}^2 > A_{v_{min}} = 32,05 \text{ mm}^2$$

jadi tulangan torsi diabaikan

Tulangan memanjang :

$$x_1 = 250 - 2 \times 40 - 10 = 160 \text{ mm}$$

$$y_2 = 450 - 2 \times 40 - 10 = 360 \text{ mm}$$

$$A_1 = \frac{250}{3 \times 390} \times (160 + 360) \\ = 111,11 \text{ mm}^2$$

Tulangan memanjang ini disebarluaskan pada bagian penampang balok yaitu pada tulangan atas, tulangan tengah, tulangan bawah dan ditambahkan pada tulangan akibat lentur.

tulangan atas dan bawah : $1/4 \times A_1 = 1/4 \times 111,11 = 27,77 \text{ mm}^2$

tulangan tengah : $1/2 \times A_1 = 1/4 \times 111,11 = 55,55 \text{ mm}^2$

- Disain akhir penulangan :

$$A_s = 351,8 + 27,77 = 379,57 \text{ mm}^2$$

$$A'_s = 175,9 + 27,77 = 203,67 \text{ mm}^2$$

dipakai tulangan ulir : atas (tarik) : 2-D16 ($A_{s_{\text{ada}}} = 397 \text{ mm}^2$)

bawah (tekan) : 3-D16 ($A_{s_{\text{ada}}} = 596 \text{ mm}^2$)

di pasang tulang ulir : tengah ($55,55 \text{ mm}^2$) : 2-D13 ($A_{s_{\text{ada}}} = 253 \text{ mm}^2$)

c. Perhitungan penulangan pada tumpuan sebelah kanan ($M_{u_{\text{tumpuan kanan}}}$)

$$M_{u_{\text{tumpuan kanan}}} = 8024,67 \text{ kg m} = 8024,67 \times 10^4 \text{ N-mm}$$

$$d = 450 - 40 - 10 - 16/2 = 392 \text{ mm}$$

- Perhitungan penulangan lentur :

$$M_n = \frac{8024,67 \times 10^4}{0,8} = 100308375 \text{ N-mm}$$

$$X_{\max} = 0,75 \times 392 \times \frac{600}{600 + 390} = 178,18 \text{ mm}$$

$$a_{\max} = 0,85 \times 178,2 = 151,45 \text{ mm}$$

$$C_c = 0,85 \times 24,6 \times 151,45 \times 250 = 791728,64 \text{ N}$$

$$M_{n_{\max}} = 791809,43 \times (392 - 0,5 \times 151,45) = 250402175,1 \text{ N-mm}$$

$M_{n_{\max}} > M_n \rightarrow$ (analisa tulangan tunggal)

$$R_n = \frac{100308375}{250 \times 392^2} = 2,61$$

$$\rho_{\text{perlu}} = \frac{1}{18,65} \times \left(1 - \sqrt{1 - \frac{2 \times 18,65 \times 2,61}{390}} \right) = 0,0072$$

kontrol terhadap ρ_{\min} dan ρ_{\max}

$$0,00359 < 0,0072 < 0,0207$$

penulangan tarik :

$$\begin{aligned} A_s &= \rho_{\text{perlu}} \times b \times d \\ &= 0,0072 \times 250 \times 392 \\ &= 703,2 \text{ mm}^2 \end{aligned}$$

penulangan tekan diambil praktis atau $1/2$ luas tulangan tarik :

$$\begin{aligned} A_s' &= 1/2 \times A_s \\ &= 1/2 \times 703,2 \\ &= 351,6 \text{ mm}^2 \end{aligned}$$

dipasang tulangan : atas (tarik) : 4-D16 \rightarrow ($A_{s_{\text{ada}}} = 794 \text{ mm}^2$)
bawah (tekan) : 2-D16 \rightarrow ($A_{s_{\text{ada}}} = 397 \text{ mm}^2$)

- Penulangan geser sebelah kanan :

$$V_{u_{\text{tumpuan kanan}}} = 6884,49 \text{ kg} = 6884,49 \times 10 \text{ N}$$

sumbangan kekuatan geser beton :

$$\begin{aligned} \phi V_c &= \phi \times \frac{1}{6} \times \sqrt{24,6} \times 250 \times 392 \\ &= 48606,42 \text{ N} \end{aligned}$$

$V_u > \phi V_c$ butuh tulangan geser

gaya geser yang harus diterima oleh tulangan geser ($V_{u_{terpakai}} = 61549,45 \text{ N}$)

$$\phi V_s = V_{u_{terpakai}} - \phi V_c$$

$$= 61549,45 - 48606,42$$

$$= 12943,03 \text{ N}$$

jarak tulangan geser yang dibutuhkan :

$$S = \frac{0,6 \times 157 \times 390 \times 392}{12943,03}$$

$$= 1112,67 \text{ mm} > d/4 (98 \text{ mm})$$

di pasang tulangan geser D10-95 mm

gaya geser yang harus diterima oleh tulangan geser terpasang :

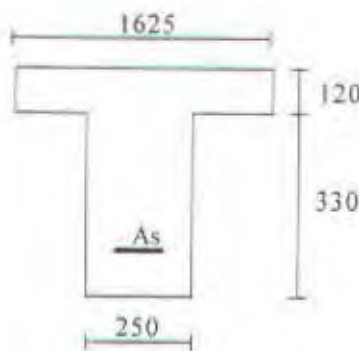
$$\begin{aligned}\phi V_{s_{terpasang}} &= \frac{\phi \times A_v \times f_y \times d}{S_{terpasang}} \\ &= \frac{0,6 \times 157 \times 390 \times 392}{95} \\ &= 151592,59 \text{ N}\end{aligned}$$

Kontrol : $V_{u,b} < \phi V_c + \phi V_s$, terpasang

$$61549,45 \text{ N} < 48606,42 + 151592,59 = 200199,01 \text{ N} \quad \dots \dots \text{ oke !}$$

- Penulangan torsi :

$$T_u = 321,2 \text{ N-m}$$



$$\begin{aligned}Tu_{\min} &= \phi \times \frac{1}{20} \times \sqrt{fc'} \times \sum x^2 \cdot y \\&= 0,6 \times \frac{1}{20} \times \sqrt{24,6} \times 14156250 \\&= 2106,38 \text{ N-m} > 321,2 \text{ N-m} (Tu_{\text{ada}}) \rightarrow \text{Torsi diabaikan}\end{aligned}$$

Torsi relatif kecil sehingga tulangan torsi hanya dipasang minimum dengan :

Tulangan melintang :

$$\begin{aligned}Av_{\min} &= \frac{250 \times 150}{3 \times 390} \\&= 32,05 \text{ mm}^2\end{aligned}$$

$$Av_{\text{ada}} = 157,08 \text{ mm}^2 > Av_{\min} = 32,05 \text{ mm}^2$$

jadi tulangan torsi diabaikan

Tulangan memanjang :

$$x_1 = 250 - 2 \times 40 - 10 = 160 \text{ mm}$$

$$y_2 = 450 - 2 \times 40 - 10 = 360 \text{ mm}$$

$$\begin{aligned}A_1 &= \frac{250}{3 \times 390} \times (160 + 360) \\&= 111,11 \text{ mm}^2\end{aligned}$$

Tulangan memanjang ini disebarluaskan pada bagian penampang balok yaitu pada tulangan atas, tulangan tengah, tulangan bawah dan ditambahkan pada tulangan akibat lentur.

tulangan atas dan bawah : $1/4 \times A_1 = 1/4 \times 111,11 = 27,77 \text{ mm}^2$

tulangan tengah : $1/2 \times A_1 = 1/4 \times 111,11 = 55,55 \text{ mm}^2$

- Disain akhir penulangan

$$As = 703,2 + 27,77 = 730,97 \text{ mm}^2$$

$$As' = 351,8 + 27,77 = 379,57 \text{ mm}^2$$

dipasang tulangan ulir : atas (tarik) : 4-D16 ($A_{s_{\text{ada}}} = 794 \text{ mm}^2$)

bawah (tekan) : 2-D16 ($A_{s_{\text{ada}}} = 397 \text{ mm}^2$)

dipasang tulang ulir : tengah ($55,55 \text{ mm}^2$) : 2-D13 ($A_{s_{\text{ada}}} = 253 \text{ mm}^2$)

- Panjang penyaluran balok anak

panjang penyaluran untuk tulangan tarik D16 mm :

$$L_{\text{db}} = 0,02 \times 198,6 \times \frac{390}{\sqrt{24,6}}$$

$$= 312,3 \text{ mm}$$

dan tidak boleh kurang dari :

$$L_{\text{db}} = 0,06 \times 16 \times 390$$

$$= 374,4 \text{ mm}$$

maka di pakai $L_{\text{db}} = 400 \text{ mm}$

akibat adanya tulangan atas maka L_{db} dikalikan faktor 1,4

$$L_{\text{db}} = 1,4 \times 400$$

$$= 560 \text{ mm}$$

Panjang penyaluran untuk tulangan tekan D16 mm :

$$L_{\text{db}} = \frac{16 \times 390}{4 \times \sqrt{24,6}}$$

$$= 314,53 \text{ mm } 325 \text{ mm}$$

dan tidak boleh kurang dari

$$L_{\text{db}} = 0,04 \times 16 \times 390$$

$$= 249,6 \text{ mm}$$

maka di pakai $L_{\text{db}} = 400 \text{ mm}$

Panjang penyaluran kait standar dalam tarik

Panjang penyaluran dasar kait standar (*hook*) dari tulangan D16 mm adalah sebagai berikut :

$$L_{bd} = 100 \times \frac{16}{\sqrt{24,6}} \\ = 322,59 \text{ mm} \approx 325 \text{ mm}$$

panjang penyaluran *hook* :

$$L_{dh} = 325 \times \left(\frac{390}{400} \right) \times 0,7 \\ = 221,81 \text{ mm} \approx 225 \text{ mm}$$

dan tidak boleh kurang dari :

$$L_{db} = 8 \times 16 \\ = 128 \text{ mm}$$

maka dipakai, $L_{dh} = 225 \text{ mm}$

Panjang penyaluran dari tulangan momen positif

- 150 mm
- $d = 392 \text{ mm}$ menentukan !
- $12 \times 16 = 192 \text{ mm}$

Panjang penyaluran dari tulangan momen negatif

- $d = 392 \text{ mm}$
- $12 \times 16 = 192 \text{ mm}$
- $\frac{6500}{16} = 406 \text{ mm}$ menentukan !

- Kontrol terhadap lendutan balok anak

$$h_{min} = \frac{6500}{21} \times \left(0,4 + \frac{390}{700} \right) \\ = 296 \text{ mm} < h (450 \text{ mm}) \text{oke !}$$

- Kontrol terhadap retak balok anak

$$Z = 234 \times \sqrt{58 \times 9666,67}$$

$$= 19295,27 \text{ N/mm} = 19,295 \text{ MN/m} < 30 \text{ MN/m} \quad \dots \dots \dots \text{ oke !}$$

dimana :

$$f_s = 0,06 \times 390 = 234 \text{ MPa}$$

$$d_c = 40 + 10 + 1/2 \times 16 = 58 \text{ mm}$$

$$A = \frac{2 \times 58 \times 250}{3} = 9666,67 \text{ mm}^2$$

m = jumlah tulangan tarik di atas = 3 batang.

4.5. Perencanaan struktur atap

Struktur atap gedung STIKOM Surabaya ini dimodifikasi menggunakan material baja dan memakai tipe atap jurai.

4.5.1. Komponen struktur yang menerima lentur

Persyaratan kuat momen nominal pada disain faktor beban dan resistansi yang dianalisa secara elastis menurut Konsep SNI 1997 pasal 5.1 secara umum dapat dinyatakan dengan :

$$Mu \leq \phi Mn$$

dimana :

Mu = momen lentur berfaktor komponen struktur pada sumbu tertentu

ϕ = faktor resistansi untuk lentur = 0,9

Mn = kekuatan momen nominal komponen struktur pada sumbu tertentu

Disain kuat momen nominal dengan memperhatikan pengaruh tekuk lokal dan lateral didasarkan pada tipe penampang :

1. kompak jika $\lambda \leq \lambda_p$
2. tidak kompak jika $\lambda_p < \lambda \leq \lambda_r$
3. langsing jika $\lambda > \lambda_r$

dan pada batasan panjang bentang antara dua titik yang ditahan terhadap bahaya tekuk lateral (L_b) :

1. bentang pendek jika $L_b \leq L_p$
2. bentang menengah jika $L_p < L_b \leq L_r$
3. bentang panjang jika $L_b > L_r$

dimana :

$$\lambda = b/f/2tf \text{ -- untuk lentur pelat sayap profil I}$$

$$\lambda = b/f/tf \text{ -- untuk lentur pelat sayap profil C, dan}$$

$$\lambda = h_c/t_w \text{ -- untuk lentur pelat badan}$$

serta batasan nilai λ_p dan λ_r ditentukan sesuai tabel 4.5.2 Konsep SNI 1997 dan nilai L_p , dan L_r ditentukan sesuai tabel 5.3.2 Konsep SNI 1997.

Kuat momen nominal yang melentur pada sumbu kuat atau sumbu lemah dapat diperiksa sebagai berikut :

a. Penampang kompak ($C_b = 1,0$)

$$1. L_b < L_p$$

$$\phi M_n = \phi M_p = \phi \times Z \times f_y$$

$$2. L_p < L_b < L_r$$

$$\phi M_n = C_b \times \left[\phi M_p - \phi \times (M_p - M_r) \times \left(\frac{L_b - L_p}{L_r - L_p} \right) \right] < \phi M_p$$

$$3. L_b > L_r$$

$$\phi M_n = \phi M_{cr} < \phi M_p$$

b. Penampang tidak kompak ($C_b = 1,0$)

$$1. L_b < L'^p$$

$$\phi M'_n = C_b \times \left[\phi M_p - \phi \times (M_p - M_r) \times \left(\frac{\lambda - \lambda_p}{\lambda_r - \lambda_p} \right) \right] < \phi M_p$$

$$L'^p = L_p + (L_r - L_p) \times \left(\frac{M_p - M'_n}{M_p - M_r} \right)$$

$$2. L'^p < L_b < L_r (C_b = 1,0)$$

$$\phi M_n = C_b \times \left[\phi M_p - \phi \times (M_p - M_r) \times \left(\frac{L_b - L_p}{L_r - L_p} \right) \right] < \phi M'_n$$

$$3. L_b > L_r (\text{analog persamaan 5.1.4})$$

c. Penampang kompak ($C_b > 1,0$)

1. $L_b < L_m$ (analog persamaan 5.1.2)
2. $L_b > L_m$ (analog persamaan 5.1.3)

$$\phi M_n = C_b \times [\phi M_p - \phi \times (M_p - M_r) \times \left(\frac{L_b - L_p}{L_r - L_m} \right)] < \phi M_p$$

untuk $L_m < L_r$

$$L_m = L_p + [(C_b M_p - M_p) \times (L_r - L_p) / C_b (M_p - M_r)]$$

untuk $L_m > L_r$

$$L_m = \frac{C_b \times \pi}{M_p} \times \sqrt{\frac{E \times I_y \times G \times J}{2}} \times \sqrt{1 + \sqrt{1 + \frac{4 \times I_w \times M_p^2}{I_y \times C_b^2 \times G^2 \times J^2}}}$$

d. Penampang tidak kompak ($C_b > 1,0$)

1. $L_b < L'm$

$$\phi M_n = \phi M'n < \phi M_p$$

2. $L_b > L'm$ (analog persamaan 5.1.3)

$$\phi M_n = C_b \times [\phi M_p - \phi \times (M_p - M_r) \times \left(\frac{L_b - L'm}{L_r - L'm} \right)] < \phi M'n$$

untuk $L'm < L_r$

$$L'm = L'p + [(C_b \times M'n - M'n) \times (L_r - L_p) / C_b \times (M_p - M_r)]$$

untuk $L'm > L_r$

$$L_m = \frac{C_b \times \pi}{M_p} \times \sqrt{\frac{E \times I_y \times G \times J}{2}} \times \sqrt{1 + \sqrt{1 + \frac{4 \times I_w \times M_p^2}{I_y \times C_b^2 \times G^2 \times J^2}}}$$

nilai C_b untuk L_m atau $L'm = L_r$:

$$C_b = f_y \times Z / (f_y - f_r) \times S$$

e. Penampang langsing

$$\phi M_n = \phi M_y \cdot \left(\frac{\lambda_r}{\lambda} \right)^2 \rightarrow \text{untuk momen terhadap sumbu lemah}$$

$$\phi M_n = \phi M_x \cdot \left(\frac{\lambda_r}{\lambda} \right)^2 \rightarrow \text{untuk momen terhadap sumbu kuat}$$

dimana :

M_p = momen lentur plastis

Z = modulus plastis profil pada tiap-tiap sumbu

f_y = tegangan leleh material

$$C_b = 1,75 + 1,05 \times (M_1/M_2) + 0,3 \times (M_1/M_2)^2 < 2,3$$

M₁ adalah momen ujung yang lebih kecil dan M₂ adalah yang lebih besar pada suatu segmen tak berpenopang. Rasio M₁/M₂ bernilai negatif jika menyebabkan kurvatur tunggal dan positif jika kurvatur berbeda/berkebalikan.

M_r = (f_y - f_r) × S, dimana f_r = tegangan sisa diambil 70 MPa untuk *hot rolled profil* dan 115 MPa untuk *welded profil*.

M_{cr} = momen kritis yang telah ditentukan pada tabel 5.3.5. Konsep SNI 1997

I_y = momen inersia sumbu y - y

I_w = konstanta puntir lengkung

J = konstanta puntir torsi

E = modulus elastisitas ($2,1 \times 10^5$ MPa)

G = modulus geser ($0,81 \times 10^5$ MPa)

Persyaratan kuat nominal geser berdasarkan Konsep SNI 1997 pasal 5.8. secara umum dinyatakan sebagai :

$$V_u < \phi V_n$$

1. jika $h/t_w < 1,10 \times \sqrt{knE/f_y}$

$$\phi V_n = \phi \times (0,60 \times f_y \times A_w)$$

2. jika $1,10 \times \sqrt{knE/f_y} < h/t_w < 1,37 \times \sqrt{knE/f_y}$

$$\phi V_n = \phi (0,60 \times f_y \times A_w) \times [(1,10 \times \sqrt{knE/f_y})/(h/t_w)]$$

3. jika $h/t_w > 1,37 \times \sqrt{knE/f_y}$

$$\phi V_n = \phi (0,90 \times A_w \times kn \times E) / (h/t_w)^2$$

dimana :

ϕ = faktor resistensi = 0,90

V_u = geser beban layanan terfaktor

V_n = kuat nominal geser pelat badan yang didasarkan pada :

$$kn = 5 + 5 / (a/h)^2$$

Dalam hal menerima lentur sebuah komponen struktur perlu diperiksa batas lendutan dimana merupakan salah satu persyaratan daya layanan terhadap beban kerja. Lendutan yang terjadi tidak boleh melebihi lendutan ijin yang berdasarkan PPBBI 1984 adalah sebagai berikut:

- a. gording, $\Delta_{ijin} = L/180$
- b. kuda-kuda (balok pendukung atap), $\Delta_{ijin} = L/360$
- c. balok pendukung lantai bangunan, $\Delta_{ijin} = L/360$
- d. balok pendukung tembok pasangan batu, $\Delta_{ijin} = L/600$

Jika terjadi lentur biaksial maka kontrol kehandalan dapat dilakukan dengan menggunakan pendekatan tegangan kombinasi (persamaan 7.11.3 pada *Salmon - Johnson*)

$$f_n = \frac{M_{ux}}{\phi S_x} + \frac{M_{uy}}{\phi S_y} < f_y$$

atau dengan menggunakan persamaan pada Konsep SNI 1997 pasal 4.4.2.4 (b) untuk $N_u = 0$, maka :

$$\frac{M_{ux}}{\phi S_x} + \frac{M_{uy}}{\phi S_y} < 1,00$$

dimana :

ϕ = faktor resistensi = 0,9

f_n = tegangan nominal (yang terjadi)

S_x, S_y = nilai modulus elastis penampang

4.5.2. Komponen struktur yang menerima aksial

Gaya aksial yang dibebankan pada komponen struktur dapat berupa aksial tarik (gaya tarik) dan aksial tekan (gaya tekan). Secara umum komponen struktur yang menerima aksial kuat nominalnya menurut Konsep SNI 1997 pasal 7.1, harus memenuhi :

$$N_u < \phi N_n$$

4.5.2.1. Batang tarik

Kontrol kekuatan pada batang tarik dilakukan dengan :

1. Kontrol kekuatan nominal dengan menggunakan persamaan :

- pada peleahan penampang bruto : $\phi N_n = \phi f_y \times A_g$
- pada retak penampang bersih : $\phi N_n = \phi f_u \times A_e$

Khusus untuk jangkar tarik (*sag rod* atau *track stang*) kuat tarik nominal didasarkan pada tabel J3.2. LRFD :

$$\phi N_n = \phi A_g \times (0,75 \times f_u)$$

dimana :

$$\phi = 0,90$$

A_g = luas penampang kotor

A_e = luas efektif penampang (menurut Konsep SNI 1997 pasal 7.2)

Kontrol kekakuan terhadap gaya tarik ditinjau pada masalah rasio kerampingan:

- $L_k/r < 300$ pada batang-batang sekunder
- $L_k/r < 240$ pada batang-batang primer

dimana batasan tersebut di atas tidak berlaku untuk batang bulat menurut LRFD B7.

4.5.2.2. Batang tekan

Kontrol kekuatan pada batang tekan dilakukan :

dengan $N_u < \phi N_n$, maka untuk penampang kompak dan tidak kompak ($\lambda_s < \lambda_p$ atau $\lambda_p < \lambda_s < \lambda_r$) daya dukung nominal tekan dihitung sebagai berikut :

$$\phi N_n = 0,85 \times A_g \times f_{ct} = 0,85 \times A_g \times f_y / \omega$$

dimana :

$$\lambda_s < 0,183 \quad \text{maka } \omega = 1$$

$$0,183 < \lambda_s < 1 \quad \text{maka } \omega = 1,5/(1,6 - 0,75 \times \lambda_s)$$

$$\lambda_s > 1 \quad \text{maka } \omega = 1,76 \times \lambda_s^2$$

$$\text{dengan : } \lambda_s = \sqrt{0,7 \times \lambda_i}, \text{ dan harga : } \lambda_i = \frac{L_k}{\pi} \times r \times \sqrt{\frac{f_y}{E}}$$

4.5.2.1. Batang tarik

Kontrol kekuatan pada batang tarik dilakukan dengan :

1. Kontrol kekuatan nominal dengan menggunakan persamaan :

a. pada peleahan penampang bruto : $\phi N_n = \phi f_y \times A_g$

b. pada retak penampang bersih : $\phi N_n = \phi f_u \times A_e$

Khusus untuk jangkar tarik (*sag rod* atau *track stang*) kuat tarik nominal didasarkan pada tabel J3.2. LRFD :

$$\phi N_n = \phi A_g \times (0,75 \times f_u)$$

dimana :

$$\phi = 0,90$$

A_g = luas penampang kotor

A_e = luas efektif penampang (menurut Konsep SNI 1997 pasal 7.2)

Kontrol kekakuan terhadap gaya tarik ditinjau pada masalah rasio kerampingan:

a. $L_k/r < 300$ pada batang-batang sekunder

b. $L_k/r < 240$ pada batang-batang primer

dimana batasan tersebut di atas tidak berlaku untuk batang bulat menurut LRFD

B7.

4.5.2.2. Batang tekan

Kontrol kekuatan pada batang tekan dilakukan :

dengan $N_u < \phi N_n$, maka untuk penampang kompak dan tidak kompak ($\lambda < \lambda_p$ atau $\lambda_p < \lambda < \lambda_r$) daya dukung nominal tekan dihitung sebagai berikut :

$$\phi N_n = 0,85 \times A_g \times f_{ct} = 0,85 \times A_g \times f_y / \omega$$

dimana :

$$\lambda_s < 0,183 \quad \text{maka } \omega = 1$$

$$0,183 < \lambda_s < 1 \quad \text{maka } \omega = 1,5/(1,6 - 0,75 \times \lambda_s)$$

$$\lambda_s > 1 \quad \text{maka } \omega = 1,76 \times \lambda_s^2$$

$$\text{dengan : } \lambda_s = \sqrt{0,7} \times \lambda_s \text{, dan harga : } \lambda_s = \frac{L_k}{\pi} \times \sqrt{\frac{f_y}{E}}$$

sedangkan $L_k = k_c \times l$, dimana besarnya harga k_c dapat ditentukan berdasarkan gambar 4.6.4.2 atau gambar 4.6.4.3 pada konsep SNI 1997.

Jika persyaratan λ_c terlampaui maka harga tegangan kritis, f_{cr} , menurut LRFD Apendediks B ditentukan berdasarkan sebagai berikut:

- untuk, $\lambda_c \times \sqrt{Q} < 1,5$, maka $f_{cr} = 6,895 \times (0,658^{\frac{2}{\lambda_c^2}}) \times Q \times f_y$
- untuk, $\lambda_c \times \sqrt{Q} > 1,5$, maka $f_{cr} = 6,895 \times \left(\frac{0,877}{\lambda_c^2} \right) \times c \times f_y$

di mana harga Q ditentukan sebagai berikut :

- pada elemen tanpa pengaku (Q_s)

$$Q = Q_s = 2,626 \times (1,34 - 0,00437 \times \left(\frac{bf}{tf} \right) \times \sqrt{f_y}) \text{ atau}$$

$$Q_s = 3,519 - 0,0117 \times \left(\frac{bf}{tf} \right) \times \sqrt{f_y}$$

- pada elemen dengan pengaku (Q_a)

$$Q_a = A_{eff}/A_{bruto}$$

dengan $A_{eff} = A_{bruto} - \Sigma(b - b_E) \times t$; atau dapat dituliskan menjadi :

$$A_{eff} = A_{bruto} - \Sigma \left(\frac{b}{t} - \frac{b_E}{t} \right) \times t^2$$

dan harga : $\frac{b_E}{t} = \frac{856}{\sqrt{f_y}} \times \left(1 - \frac{170}{(b/t) \times \sqrt{f_y}} \right)$

Kontrol batas-batas kelangsungan batang terhadap gaya tekan, $\lambda = Lk/r < 200$

4.5.3. Komponen struktur yang menerima kombinasi (lentur dan aksial)

Komponen struktur yang mengalami momen lentur dan gaya aksial harus direncanakan memenuhi ketentuan sebagai berikut :

- Untuk $\frac{Nu}{\phi Nn} > 0,2$

$$\frac{Nu}{\phi Nu} + \frac{8}{9} \times \left(\frac{Mux}{\phi Mnx} + \frac{Muy}{\phi Mny} \right) < 1,0$$

- Untuk $\frac{Nu}{\phi Nn} < 0,2$

$$\frac{Nu}{2 \times \phi Nn} + \left(\frac{Mux}{\phi Mn_x} + \frac{Muy}{\phi Mn_y} \right) < 1,0$$

dimana :

- Nu = gaya aksial berfaktor (tekan atau tarik)
- Nn = kekuatan nominal aksial penampang (lihat 5.1.2.1. dan 5.1.2.2.)
- ϕ = faktor resistansi (sesuai perlakuan yang dialami batang tersebut)
- Mn = momen nominal penampang (lihat sub bab 5.1.1)
- Mu = momen lentur terfaktor dimana sudah termasuk pengaruh orde kedua sebagai berikut :

$$Mu = \delta_b Mntu + \delta_s Mltu$$

dimana :

- Mnt = momen terfaktor orde pertama yang diakibatkan oleh beban-beban yang tidak menimbulkan goyangan
- Mlt = momen terfaktor orde pertama yang diakibatkan oleh beban-beban yang dapat menimbulkan goyangan
- δ_b = amplifikasi faktor $= cm/(1 - Nu/Ncr) > 1$

untuk elemen tak bergoyang tanpa beban transversal :

$$cm = 0,6 + 0,4(M_1/M_2)$$

untuk elemen tak bergoyang dengan beban transversal :

- $cm = 1$ untuk elemen dengan ujung-ujung sederhana
- $cm = 0,85$ untuk elemen dengan ujung-ujung kaku
- $Ncr = (Ag \times fy)/\lambda_e^2$ (Konsep SNI 1997 pasal 4.6.2.)
- δ_s = amplifikasi faktor $= 1/[1 - \Sigma Nu(\Delta_{oh}/\Sigma HL)]$
- ΣNu = jumlah gaya aksial tekan terfaktor untuk seluruh kolom pada satu tingkat yang ditinjau
- ΣH = jumlah gaya horizontal yang mengakibatkan Δ_{oh}
- L = panjang elemen
- Δ_{oh} = jarak/panjang perpindahan yang terjadi

4.5.4. Sambungan

Penghubung antar komponen struktur baja dapat berupa las, baut, maupun pen yang dilapisi oleh pelat pengisi, pelat pendukung, pelat penyambung, dan pelat buhul (*gusset plate*).

4.5.4.1. Sambungan geser (*shear connection*)

Sambungan geser pada tugas akhir ini menggunakan baut mutu tinggi (sesuai dengan standar persyaratan/spesifikasi AISC-LRFD A.3.3) ASTM A325 tipe tumpu (*bearing type*) dan angkur ASTM A307. Pada sambungan baut mutu tinggi tidak dilakukan kontrol slip, karena baut ini diperlakukan dengan pengencangan tangan (*snug tight condition*)

1. Kuat geser nominal baut

$$\phi R_{nv} = \phi 0,50 \times f_u \times A_g \quad (\text{baut tanpa ulir pada bidang geser})$$

$$\phi R_{nv} = \phi 0,40 \times f_u \times A_g \quad (\text{baut ulir pada bidang geser})$$

2. Kuat tarik nominal baut

$$\phi R_{nt} = \phi 0,75 \times f_u \times A_g$$

3. Kombinasi geser dan tarik baut

$$\left(\frac{R_{ut}}{\phi R_{nt}} \right)^2 + \left(\frac{R_{uv}}{\phi R_{nv}} \right)^2 \leq 1,0$$

dimana secara umum :

ϕ = 0,80 (sesuai tabel 3.5.2.1 SNI 1997)

f_u = tegangan putus baut

A_b = luas bruto penampang baut pada daerah tak berulir

R_{nv} = kuat geser nominal baut

R_{nt} = kuat tarik nominal baut

R_{uv}, R_{ut} = beban berfaktor

4. Kuat tumpu nominal pelat lapis

Kuat tumpu nominal pelat lapis ditentukan oleh nilai terkecil dari persamaan berikut :

$$\phi R_{n1} = \phi 2 \times d \times t_p \times f_u$$

$$\phi R_{n2} = \phi \times a_e \times t_p \times f_u$$

dengan ketentuan : $\phi R_{n\min} > R_u$

dimana :

ϕ = 0,80 (sesuai tabel 3.5.2.1 SNI 1997)

d = diameter baut nominal pada daerah tak berulir

t_p = tebal pelat lapis

f_u = tegangan putus pelat lapis

a_e = jarak minimum tepi lubang ke tepi pelat lapis tambah $\frac{1}{2}$ diameter

5. Kuat geser pelat badan :

Menurut *Commentary LRFD-J4*, kuat geser nominal pelat badan diambil nilai terbesar dari persamaan berikut :

a. peleahan geser- retakan tarik :

$$\phi R_n = \phi [0,60 \times f_y \times Avg + f_u \times Ant]$$

b. retakan geser - peleahan tarik :

$$\phi R_n = \phi [0,60 \times f_u \times Ans + f_y \times Agt]$$

dimana :

ϕ = 0,75

Avg = luas peleahan geser

Ant = luas retakan tarik

Ans = luas retakan geser

Agt = luas peleahan tarik

6. Sambungan las

Perencanaan sambungan las pada tugas akhir ini memakai las tipe *fillet* dengan SMAW (*Shielded Arc Metal Welding*). Dimana kekuatan disain per satuan panjang las *fillet* didasarkan atas resistansi geser melalui leher las menurut LRFD-J2.1(*Salmon-Johnson persamaan 5.14.6*) sebagai berikut :

$$\phi R_{nw} = 0,75 \times t_e (0,60 \times F_{exx})$$

namun tidak boleh melebihi dari kekuatan patahan (*rupture*) geser dari logam dasar di dekatnya menurut LRFD-J4 (*Salmon-Johnson persamaan 5.14.7*) :

$$\phi R_{nw} = 0,75 \times t \times (0,60 \times f_u)$$

dimana :

t_e = dimensi leher efektif dengan ketentuan $t_e = 0,707 a$ (kaki las)

F_{exx} = kekuatan tarik material elektroda

t = tebal material dasar di sepanjang las

f_u = kekuatan tarik logam dasar

Sedangkan dalam perhitungan momen inersia polar, eksentrissitas, dan panjang las didasarkan pada metode (vektor) elastik.

4.5.4.2. Sambungan momen tipe pelat ujung (*end plate connection*)

Perencanaan sambungan momen tipe pelat ujung sebagai berikut :

1. Gaya tarik dan geser akibat beban berfaktor :

$$F_{fu} = [M_u / (d - tf)]$$

$$R_{ut} = F_{fu} / 4 < \phi R_{ut}$$

$$R_{uv} = R_u / n < \phi R_{nv}$$

2. Kontrol kombinasi geser dan tarik (persamaan 5.1.40)

3. Kontrol sambungan las (persamaan 5.1.45 dan 5.1.46)

4. Kontrol pelat ujung dilakukan dengan metode berdasarkan LRFD (dari *Manual of Steel Construction, Volume II Connection*) sebagai berikut:

Jarak baut efektif :

$$P_e = P_f - (db/4) - 0,707 a$$

dimana :

$P_f = db + 12,7 \text{ mm} + a$, dengan db = diameter nominal baut, dan a = kaki las.

Momen penahan :

$$M_{eu} = \frac{1}{4} \times \alpha_m \times F_{fu} \times P_e$$

dimana :

$$\alpha_m = C_a \times C_b \times (A_f / A_w)^{1/3} \times (P_e / d_b)^{1/4}$$

C_a = konstanta yang tergantung pada tegangan leleh balok:

$$f_y = 36 \text{ ksi (setara } f_y = 240 \text{ Mpa)} ; C_a = 1,13 \times 1,2 = 1,36$$

$$C_b = (b_f / b_p)^{1/2}$$

b_f = lebar flens tarik balok

b_p = lebar pelat ujung

A_f = luas flens tarik balok

A_w = luas badan tidak termasuk flens, (d - 2 t_f) x t_w

Tebal minimum pelat ujung :

$$t_p = \sqrt{\frac{4 \times M_{eu}}{0,90 \times f_y \times b_p}}$$

Gambar 4-11. Tipe sambungan momen dengan pelat ujung

4.5.4.3. Sambungan pelat dasar kolom (menahan beban aksial) pada beton

a. Menahan beban aksial

Kuat tumpu disain $\phi c P_p$ sesuai LRFD-J9 (*Salmon-Johnson persamaan 13.9.1, 13.9.2, dan 13.9.2*) harus sekurang-kurangnya sama dengan beban kolom berfaktor P_u :

$$\phi c P_p < P_u$$

besarnya $\phi c P_p$:

$$\phi c P_p = \phi c \times 0,85 \times f'_c \times A_1$$

jika seluruh luas tumpu beton = luas pelat dasar

$$\phi c P_p = \phi c \times 0,85 f'_c \times A_1 \times \sqrt{A_2/A_1} < \phi c \times 0,85 f'_c \times (2A_1)$$

dimana :

$$\phi c = 0,60$$

A_1 = luas ($B \times N$) pelat baja

A_2 = luas maksimum permukaan beton penumpu

f'_c = kuat tekan beton 28 hari

jika seluruh luas tumpu beton > luas pelat dasar

Sedangkan tebal minimum pelat dasar dengan metode kantilever :

$$t_p = \sqrt{\frac{2 \times P_u \times n^2}{B \times N \times 0,9 \times f_y}} \text{ atau } \sqrt{\frac{2 \times P_u \times m^2}{B \times N \times 0,9 \times f_y}}$$

dimana : $n = 0,5 \times (B - 0,80 \text{ bf})$ dan $m = 0,5(N - 0,95 d)$

b. Menahan aksial dan momen

Dalam hal menahan momen terdapat dua kategori (*J.C.Smith*) :

1. Kasus I : jika $(e = M_u/N_u) < H/8$ (semua rumus diasumsikan untuk $A_1 = A_2$)

Kasus ini berarti pelat dalam keadaan tekan (tidak ada tarik).

$$a = H - 2e$$

$$\phi P_p = [(\phi \times 0,85 \times f'_c \times B_m) \times (H - 2e)] > N_u$$

Kontrol kuat tarik baut angkur :

$$\phi R_n > (2T_u + C_v \times H_u)/n$$

dimana :

$$\phi = 0,60$$

$$\phi = 0,80 \text{ (untuk perencanaan baut angkur)}$$

N_u = gaya aksial ultimate kolom

M_u = momen ultimate dasar kolom

H_u = gaya horizontal ultimate dasar kolom

B = lebar pelat dasar

B_m = lebar pelat dasar minimum untuk menahan tumpu

H = panjang pelat dasar

d = tinggi profil kolom

b_f = lebar sayap profil kolom

a_e = jarak tepi minimum dari pusat pengencang ke tepi pelat atau pelat sayap profil (lihat tabel 10.5.2 Konsep SNI 1997)

f_y = tegangan leleh pelat dasar

f'_c = kuat tekan karakteristik beton

R_n = kuat nominal tarik satu baut/angkur

n = jumlah baut yang menerima tarik

C_v = koefisien geser :

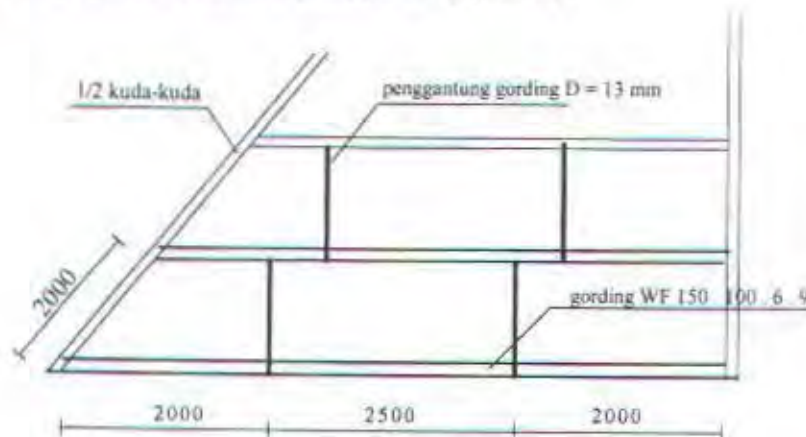
a. $C_v = 1.10$ jika pelat dasar yang ditanam pada pedestal (beton penyangga) dan permukaan atas pelat rata dengan beton

b. $C_v = 1.25$ jika pelat dasar ditopang oleh *grouting*

c. $C_v = 1.85$ jika pelat dasar hanya ditopang/disangga tanpa *grouting*.

4.5.5.3. Perencanaan penggantung gording (sag rod)

Pada setiap gording diberi 2 penggantung gording



Gambar 4-13. Model posisi penggantung gording

$$\alpha = \text{arc tg } 2000/2000 = 45^\circ$$

$$QD_x = qD_x \times L = 110,47 \times 1/2 \times (2 + 2,5) = 248,6 \text{ kg}$$

$$QR_x = qR_x \times L = 9,76 \times 1/2 (2 + 2,5) = 21,6 \text{ kg}$$

$$QW_x = qW_x \times L = 16,4 \times 1/2 (2 + 2,5) = 36,9 \text{ kg}$$

$$PL_{ex} = 74,54 \text{ kg}$$

$$au_1 = (1,2 \times 248,6) + (1,6 \times 21,6) + (0,8 \times 36,9) = 362,4 \text{ kg}$$

$$au_2 = (1,2 \times 248,6) + (1,6 \times 1/2 \times 74,54) = 357,952 \text{ kg}$$

$$\text{pakai, } au = 362,4 \text{ kg}$$

$$Nu = 4 \times au = 4 \times 362,4 = 1449,6 \text{ kg} = 14496 \text{ N}$$

$$Nu / \sin \alpha = 14496 / \sin 41,81^\circ = 21744,13 \text{ N}$$

Material *sag rod* dipakai BJ 37 dengan $f_u = 370 \text{ MPa}$

Maka luas minimum yang dibutuhkan (dipakai asumsi $\phi N_n = Nu$):

$Nu = 0,75 \times Ag \times (0,75 \times f_u)$, sehingga :

$$Ab = Nu / (0,75 \times 0,75 \times f_u) = 21744,13 / (0,75 \times 0,75 \times 370) = 104,48 \text{ mm}^2$$

Jadi :

$$D = \sqrt{\frac{4 \times Ag}{\pi}} = \sqrt{\frac{4 \times 104,48}{\pi}} = 11,53 \text{ mm} \approx 13 \text{ mm}$$

Maka penggantung gording menggunakan D13 mm

$$Avg = 120,6 \times 6 = 723,6 \text{ mm}^2$$

$$Ant = (30 - 12,7/2) \times 6 = 141,9 \text{ mm}^2$$

$$Ans = [120,6 - (2 \times 12,7)] \times 6 = 571,2 \text{ mm}^2$$

$$Atg = 30 \times 6 = 180 \text{ mm}^2$$

$$\phi R_n = \phi [0,6 \times f_y \times Avg + f_u \times Ant]$$

$$= 0,75 \times [(0,6 \times 240 \times 723,6) + (370 \times 141,9)]$$

$$= 117526,1 \text{ N} \text{ (pakai)} > R_u = 116122,5 \quad \dots \dots \dots \text{ oke !}$$

$$\phi R_n = \phi [0,6 \times f_u \times Ans + f_y \times Atg]$$

$$= 0,75 \times [(0,6 \times 370 \times 571,2) + (240 \times 180)] = 127504,8 \text{ N}$$

- Sambungan las pengaku

$$F_{EE} E70 xx = 70 \text{ ksi} = 482,65 \text{ MPa}$$

$$\text{Pelat lapis, } t = 10 \text{ mm, } f_u = 370 \text{ MPa}$$

$$\text{Panjang las, } L_w = (2 \times 100) + 100 = 300 \text{ mm}$$

$$\text{Titik pusat : } x = 100^2 / (2 \times 100 + 100) = 33,33 \text{ mm}$$

$$y = 100/2 = 75 \text{ mm}$$

$$\text{Eksentrisitas : } e = 75 \text{ mm}$$

Inersia polar :

$$I_p = \frac{(8 \times 100^3) + (6 \times 100 \times 100^2) + (8 \times 100^3)}{6} - \frac{100^4}{(2 \times 100) + 100}$$
$$= 1500000 \text{ mm}^4$$

Gaya geser :

$$R_{uv} = R_u / L_w = 11045,14 / 300 = 36,82 \text{ N/mm}$$

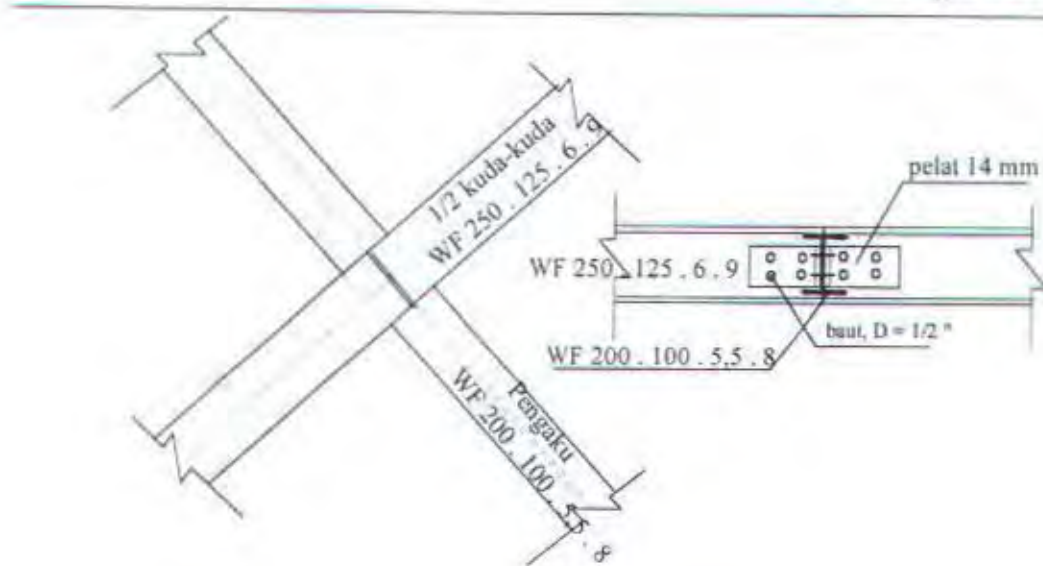
Gaya tarik :

$$R_{ut-x} = (V_u \cdot e \cdot y) / I_p$$

$$= [(10940 \times 75 \times 100) / 1500000] = 54,7 \text{ N/mm}$$

$$R_{ut-y} = [V_u \cdot e \cdot x] / I_p$$

$$= [(10940 \times 100 \times (100-33,33)) / 1500000] = 36,47 \text{ N/mm}$$



Gambar 4-16. Model sambungan 1/2 kuda-kuda dengan pengaku

- Sambungan baut badan

$$I_{\text{pelat penyambung}} \geq I_{\text{badan}}$$

$$2 \times \frac{1}{12} \times t \times 150^3 \geq \frac{1}{12} \times 6 \times (250 - 2 \times 9)^3$$

$$t \geq 11,1 \text{ mm}$$

dicoba pakai pelat badan, $t = 14 \text{ mm}$

Coba pakai baut A325 tipe tumpu :

$$d = 1/2'' = 12,7 \text{ mm}, Ag = 126,7 \text{ mm}^2, f_u = 827,4 \text{ MPa}$$

Kuat geser nominal baut :

$$\phi R_{nv} = \phi \times 0,40 \times f_u \times Ag$$

$$= 0,80 \times 0,40 \times 824,7 \times 126,7 = 33456 \text{ N}$$

$$R_{uv} = R_u / n = 116122,5 / 8 = 14515,31 \text{ N} < \phi R_{nv} \dots \text{oke !}$$

Kuat geser pelat badan :

$$\text{diameter lubang} = d + 2 \text{ mm}$$

$$= 12,7 + 2 = 14,7 \text{ mm} \text{ (Konsep SNI 1997 - 14.3.5.2.)}$$

Resultan gaya :

$$Rut = \sqrt{54,7^2 + (36,47 + 36,82)^2} = 91,45 \text{ N/mm}$$

Kaki las perlu : $te = 0,707 a$

$$\begin{aligned}\phi R_{nw} &= 0,80 \times te (0,60 F_{exx}) \\ &= 0,80 \times 0,707a \times 0,60 \times 482,65 = 163,8 a \text{ N / mm}\end{aligned}$$

$$a \text{ perlu} = Rut / \phi R_{nw} = 91,45 / 163,8 = 0,6 \text{ mm}$$

$$\begin{aligned}\text{Pakai } a = 5 \text{ mm, maka } \phi R_{nw} &= 0,80 \times 0,707 \times 5 \times 0,60 \times 482,65 \\ &= 818,96 \text{ N/mm}\end{aligned}$$

Kuat patah geser pelat lapis :

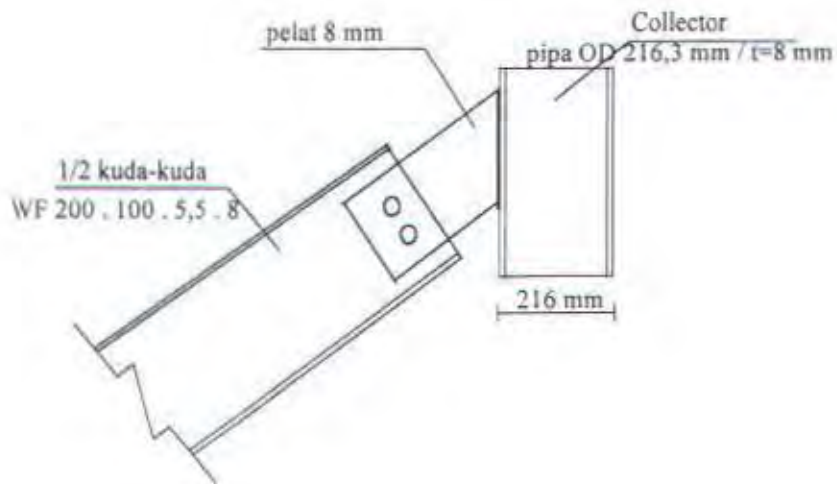
$$\begin{aligned}\phi R_{nw} &= 0,80 \times t \times (0,60 \times f_u) \\ &= 0,80 \times 14 \times 0,60 \times 370 = 2486,4 \text{ N/mm} > 818,96 \text{ N/mm} \quad \dots\dots \text{ oke !}\end{aligned}$$

3. Sambungan pertemuan 1/2 kuda-kuda pada atap jurai

$$Vu = 588 \text{ N}$$

$$Nu = 2315,64 \text{ N}$$

$$Ru = Vu + Nu = 2903,64 \text{ N}$$



Gambar 4-17. Model pertemuan 1/2 kuda-kuda pada atap jurai

- Sambungan baut

Coba pakai baut A325 tipe tumpu :

$$d = 1/2'' = 12,7 \text{ mm}, Ag = 126,7 \text{ mm}^2, fu = 827,4 \text{ MPa}$$

Kuat geser nominal baut :

$$\phi R_{nv} = \phi \times 0,40 \times fu \times Ag = 0,80 \times 0,40 \times 824,7 \times 126,7 = 33456 \text{ N}$$

$$R_{uv} = Ru / 2 = 2903,64 / 2 = 1451,82 \text{ N} < \phi R_{nv} \quad \dots \dots \text{oke !}$$

Kontrol kuat tumpu pelat lapis :

$$tp = 8 \text{ mm}, fu = 370 \text{ Mpa}$$

$$ae = 30 \text{ mm}$$

$$\begin{aligned} \phi R_{n1} &= \phi \times 2d \times tp \times fu = 0,80 \times 2 \times 1,27 \times 8 \times 370 \\ &= 60147,2 \text{ N (pakai)} > R_{uv} \quad \dots \dots \text{oke !} \end{aligned}$$

$$\phi R_{n2} = \phi \times ae \times tp \times fu = 0,80 \times 40 \times 8 \times 370 = 94720 \text{ N}$$

Kuat geser pelat badan :

$$\text{diameter lubang} = d + 2 \text{ mm}$$

$$= 12,7 + 2 = 14,7 \text{ mm (Konsep SNI 1997 - 14.3.5.2.)}$$

$$Avg = 120,6 \times 5,5 = 440 \text{ mm}^2$$

$$Ant = (30 - 12,7/2) \times 5,5 = 124,58 \text{ mm}^2$$

$$Ans = [120,6 - (2 \times 12,7)] \times 5,5 = 278,3 \text{ mm}^2$$

$$Atg = 30 \times 5,5 = 180 \text{ mm}^2$$

$$\begin{aligned} \phi R_n &= \phi [0,6 \times fy \times Avg + fu \times Ant] \\ &= 0,75 \times [(0,6 \times 240 \times 440) + (370 \times 124,58)] \\ &= 82089 \text{ N (pakai)} > Ru \quad \dots \dots \text{oke !} \end{aligned}$$

$$\begin{aligned} \phi R_n &= \phi [0,6 \times fu \times Ans + fy \times Atg] \\ &= 0,75 \times [(0,6 \times 370 \times 278,3) + (240 \times 165)] = 76037 \text{ N} \end{aligned}$$

- Sambungan las

$$F_{EE} E70 xx = 70 \text{ ksi} = 482,65 \text{ MPa}$$

$$\text{Pelat lapis, } t = 8 \text{ mm, } fu = 370 \text{ MPa}$$

$$\text{Panjang las, } L_w = 2 \times 170 = 340 \text{ mm}$$

Eksentrisitas : $e = 150 \text{ mm}$

$$\text{Inersia polar : } I_p = \frac{170 \times (3 \times 8^2 + 170^2)}{6} = 824273,33 \text{ mm}^4$$

Gaya geser :

$$R_{uv} = R_u / L_w = 2903,64 / 340 = 8,54 \text{ N/mm}$$

Gaya tarik :

$$\begin{aligned} R_{ut-x} &= (V_u \cdot e \cdot y) / I_p \\ &= [(588 \times 150 \times 85) / 824273,33] = 9,1 \text{ N/mm} \end{aligned}$$

$$\begin{aligned} R_{ut-y} &= (V_u \cdot e \cdot x) / I_p \\ &= [(588 \times 150 \times 4) / 824273,33] = 0,4 \text{ N/mm} \end{aligned}$$

Resultan gaya :

$$R_{ut} = \sqrt{9,1^2 + (0,4 + 8,54)^2} = 12,75 \text{ N/mm}$$

Kaki las perlu : $t_e = 0,707 \text{ a}$

$$\begin{aligned} \phi R_{nw} &= 0,80 \times t_e \times (0,60 F_{E_{xx}}) \\ &= 0,80 \times 0,707a \times 0,60 \times 482,65 = 163,8 \text{ a N / mm} \end{aligned}$$

$$a \text{ perlu} = R_{ut} / \phi R_{nw} = 26,07 / 163,8 = 0,12 \text{ mm}$$

$$\begin{aligned} \text{Pakai } a = 5 \text{ mm, maka } \phi R_{nw} &= 0,80 \times 0,707 \times 5 \times 0,60 \times 482,65 \\ &= 818,96 \text{ N/mm} \end{aligned}$$

Kuat patah geser pelat lapis :

$$\begin{aligned} \phi R_{nw} &= 0,80 \times t \times (0,60 \times f_u) \\ &= 0,80 \times 8 \times 0,60 \times 370 = 1420,8 \text{ N/mm} > 818,96 \text{ N/mm} \quad \dots \text{ oke !} \end{aligned}$$

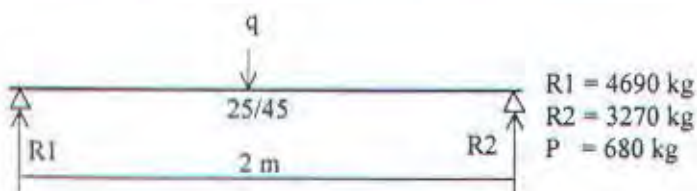
4.6. Balok pendukung lift

Mengingat gedung ini begitu luas dan cukup tinggi, maka untuk mempercepat dan mempermudah aktifitas serta lalu lintas pergerakan pemakai/penghuni, dipakai lift di dekat tangga sebagai penghubung antar lantai. Direncanakan memakai 2 buah lift dengan type yang sama.

Type lift yang dipakai adalah P₁₀-CO₆₀ (lift traksi) dari PT. Indo Elevator Mfg. (Ltd). Data-data dapat dilihat pada bab sebelumnya.

4.6.1. Permodelan struktur

Struktur balok penahan lift dimodelisasikan sebagai balok yang terletak pada dua tumpuan dengan perletakan sebagai sendi pada kedua ujung balok tersebut.



Gambar 4-18. Model balok pada lift

4.6.2. Pembebanan

Sebagai penyangga lift dipakai dua buah balok yang menutupi pada *shearwall* dan balok anak. Kedua balok tersebut menerima beban luar sesuai dengan type lift yang dipakai.

Data yang kami peroleh dari brosur lift hanya berupa data-data reaksi perletakan. Oleh karena itu untuk dapat merencanakan struktur balok penahan lift ini maka diambil pendekatan dengan asumsi sebagai berikut :

Untuk perencanaan lentur dianggap beban mesin lift berupa beban terpusat ditengah beban, walaupun sebenarnya beban tersebut tidak terletak ditengah bentang apabila dilihat dari reaksi perletakan yang tidak sama besarnya. Dengan demikian harga yang diperoleh sudah merupakan harga yang paling kritis

untuk perencanaan geser, beban rencana diasumsikan terbagi pada perletakan sesuai dengan proporsi yang diberikan oleh brosur lift.

Dengan asumsi-asumsi seperti diatas diharapkan bahwa harga yang diperoleh sudah merupakan harga yang paling maksimum untuk struktur tersebut. Dan beban-beban yang bekerja adalah sebagai berikut :

4.6.3. Perhitungan balok lift

$$P_u = 1,2 q = 1,2 \times 680 = 816 \text{ kg/m}$$

$$P_{\text{total}} = 4690 + 3270 = 7960 \text{ kg}$$

$$P_{\text{hidup}} = 1000 \text{ kg}$$

$$P_{\text{mati}} = 7960 - 1000 = 6960 \text{ kg}$$

$$P_u = 1,2 P_{\text{mati}} + 1,6 P_{\text{hidup}}$$

$$= 1,2 \times 6960 + 1,6 \times 1000 = 9952 \text{ kg} \rightarrow \text{untuk 2 balok}$$

$$= 4976 \text{ kg} \rightarrow \text{untuk tiap balok}$$

Maka :

$$M_u = \frac{1}{4} \times 4976 \times 2 + \frac{1}{4} \times 816 \times 2$$

$$= 2896 \text{ kg-m} = 28960 \text{ N-m}$$

$$V_u = 1,2 \times (4690 - 500) + 1,6 \times 500$$

$$= 5828 \text{ kg} \rightarrow \text{untuk 2 balok}$$

$$= 2914 \text{ kg} = 29140 \text{ N} \rightarrow \text{untuk tiap balok}$$

Penulangan lentur

Lapangan :

Digunakan tulangan D16 mm :

$$d' = 40 + 10 + 0,5 \times 16 = 58 \text{ mm}$$

$$d = 450 - 58 = 392 \text{ mm}$$

$$m = \frac{f_y}{0,85 \times f_c'} = 18,65$$

$$M_u = 28960 \text{ N-m}$$

Cek kebutuhan tulangan tekan :

$$X_b = \frac{\epsilon_{cu}}{\epsilon_{cu} + \epsilon_y} \times d$$

$$= \frac{0,003}{0,003 + \frac{390}{200.000}} \times 392$$

$$= 237,58 \text{ mm}$$

$$X_{\max} = 0,75 \cdot X_b$$

$$= 178,19 \text{ mm}$$

$$a = 0,85 \cdot X_{\max}$$

$$= 151,46 \text{ mm}$$

$$C_{\max} = 0,85 \cdot f'_c \cdot b \cdot a$$

$$= 0,85 \times 24,6 \times 250 \times 151,46$$

$$= 791757,15 \text{ N}$$

$$A_{s_{\max}} = \frac{791757,15}{390}$$

$$= 2030,15 \text{ mm}^2$$

$$M_{n_{\max}} = C_{\max} (d - \frac{a}{2})$$

$$= 791757,15 \times (392 - \frac{151,46}{2})$$

$$= 250,41 \text{ KN-m} \rightarrow \text{Tulangan tekan tidak diperlukan sebagai kekuatan lentur melainkan berfungsi untuk mengurangi lendutan.}$$

$$R_n = \frac{Mu}{\phi b d^2}$$

$$= \frac{28960}{0,8 \times 0,25 \times 392^2}$$

$$= 0,94 \text{ MPa}$$

$$\begin{aligned}\rho_{\text{perlu}} &= \frac{1}{m} \times \left(1 - \sqrt{1 - \frac{2 \cdot m \cdot R_n}{f_y}} \right) \\ &= \frac{1}{18,65} \times \left(1 - \sqrt{1 - \frac{2 \times 18,65 \times 0,94}{390}} \right) \\ &= 0,0025 < \rho_{\min} = 0,0036\end{aligned}$$

$$\begin{aligned}As &= \rho \times b \times d \\ &= 0,0036 \times 250 \times 392 \\ &= 352,8 \text{ mm}^2 \rightarrow \text{pasang 3 D16} = 596 \text{ mm}^2 (\rho_{\text{act}} = 0,0061)\end{aligned}$$

cek kuat lentur :

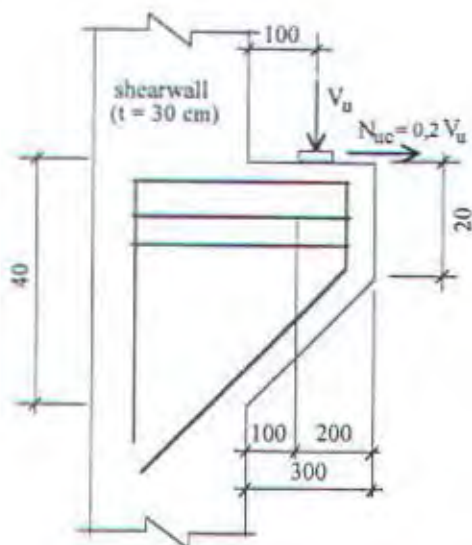
$$a = \frac{As \times f_y}{0,85 \times f'_c \times b} = \frac{596 \times 390}{0,85 \times 24,6 \times 250} = 44,46 \text{ mm}$$

$$\begin{aligned}M_n &= As \times f_s \times (d - a/2) \\ &= 132,13 \text{ KN} > 28,96 \text{ KN} \quad \dots \dots \dots \text{ oke !}\end{aligned}$$

4.7. Perhitungan konsol untuk perletakan tangga

Persyaratan perhitungan konsol pendek :

$$\frac{a}{d} = \frac{100}{450} = 0,22 < 1$$



Gambar 4-19. Konsol perletakan tangga

Tulangan geser A_{vf} yang dibutuhkan untuk menahan gaya geser $V_u = \phi V_n$ didapat sebagai berikut :

$$V_n = A_{vf} \times f_y \times \mu$$

dimana : $\mu = 1,4 \rightarrow$ bila konsol dicor secara monolit

$$V_u = 2482,46 \text{ kg}$$

$$V_n = \frac{V_u}{0,65} = \frac{24824,6}{0,65} = 38191,69 \text{ N}$$

$$A_{vf} = \frac{V_n}{f_y \times \mu} = \frac{38191,69}{390 \times 1,4} = 69,95 \text{ mm}^2$$

Tulangan A_f yang dibutuhkan untuk menahan momen M_u :

$$\begin{aligned} M_u &= 0,1 \times V_u + N_{uc} \times (h - d) \\ &= 0,1 \times 24,82 + 0,2 \times 24,82 \times (0,4 - 0,34) \\ &= 2,78 \text{ KN-m} \end{aligned}$$

$$R_n = \frac{M_u}{0,85 \times b \times d^2} = \frac{2780 \times 1000}{0,85 \times 500 \times 344^2} = 0,055$$

$$m = 18,65$$

$$\rho_{perlu} = \frac{1}{18,65} \times \left(1 - \sqrt{1 - \frac{2 \times 18,65 \times 0,055}{18,65}} \right) = 0,00303 < \rho_{min}$$

$$\text{dipakai : } \rho_{min} = 0,0036$$

$$A_s = 0,0036 \times 500 \times 344 = 619,2 \text{ mm}^2$$

Tulangan yang dibutuhkan untuk menahan gaya tarik N_{uc} adalah :

$$N_{uc} = \phi A_n \times f_y$$

$$A_n = \frac{N_{uc}}{\phi f_y} = \frac{4964,92}{0,65 \times 390} = 19,59 \text{ mm}^2$$

Tulangan total A_s adalah :

$$A_s = A_s + A_n = 619,2 + 19,56 = 638,76 \text{ mm}^2$$

dipakai tulangan, D10 - 100 mm

dipakai sengkang, D8 - 100

BAB V
ANALISA STRUKTUR UTAMA

BAB V

ANALISA STRUKTUR UTAMA

5.1. Kriteria disain

Struktur utama adalah sistem rangka bangunan yang merupakan rangkaian dari balok, kolom, serta dinding geser dari balok bertulang, selain berfungsi untuk meneruskan seluruh beban gravitasi ke pondasi, struktur utama juga dipropsikan sebagai sistem penahan beban lateral dari konstruksi gedung yang direncanakan dimana pelat-pelat lantai diasumsikan sebagai diafragma yang sangat kaku pada bidangnya.

Balok-balok anak yang telah dihitung sebelumnya bukan merupakan struktur utama, sehingga pengaruhnya hanya sebagai beban-beban terpusat saja.

Dalam memenuhi persyaratan perencanaan seismik komponen struktur menurut Standar Beton 1991, struktur utama direncanakan dengan tingkat daktilitas penuh atau tingkat daktilitas tiga. Pada konsep disain ini, struktur direncanakan sedemikian rupa dengan pendekatan khusus sehingga mampu berperilaku inelastis terhadap beban siklis gempa tanpa mengalami keruntuhan getas. Faktor jenis struktur K minimum ditetapkan sebesar 1,0.

5.2. Analisa struktur utama

Pada dasarnya tujuan utama analisa struktur adalah untuk mendapatkan besar dan arah gaya-gaya dalam yang diterima setiap komponen struktur. Pada perencanaan ini analisa dilakukan dengan bantuan program SAP90 (*Structural Analysis Program 90*). Dimana struktur utama merupakan sistem rangka terbuka dan dimodelkan sebagai *3D-space frame* (portal ruang). Pelat-pelat sebagai diafragma yang kaku pada bidangnya, menyebabkan semua titik pada tiap taraf lantai tidak dapat bergerak relatif di antara sesamanya. Perilaku diafragma ini diwakili oleh sebuah *Master of Joints* yang terletak pada pusat massa dari tiap taraf lantai.

Analisa yang dilakukan adalah analisa dinamis. Sehubungan dengan analisa dinamis ini, prosedur perhitungan pusat massa dan momen inersia massa tiap lantai dari struktur adalah dengan membagi tiap lantai dalam beberapa segmen yang masing-masing dari segmen tersebut memiliki luas titik berat dan massa tertentu. Adapun koordinat titik berat massa dihitung dari koordinat acuan global.

Pengaruh beban dinamis dalam hal ini beban gempa dianalisa dengan cara respon spektrum. Pada prinsipnya analisa dinamis di sini merupakan penyelesaian dari persamaan kesetimbangan dinamis (*dynamic equilibrium equations*) sehubungan dengan adanya respon dari struktur akibat adanya pergerakan tanah.

5.3. Metoda analisa

Struktur utama dianalisa dengan menggunakan program SAP90. Dimana sistem struktur dari balok induk dan kolom sebagai portal terbuka (*open frame*) dengan perletakan jepit pada dasar kolom. Elemen dinding geser pada struktur gedung dimodelkan sebagai Shell.

Untuk menyalurkan gaya lateral supaya bisa diterima oleh komponen struktur penahan gaya lateral, maka lantai dimodelkan sebagai diafragma yang kaku (*rigid floor diaphragma*). Jadi seluruh join dalam satu bidang lantai dianggap tidak dapat bergerak relatif satu terhadap lainnya. Displacement dari Master Joints, yaitu suatu join yang menggambarkan atau mewakili tingkah laku suatu diafragma, dimana letak master join ini ditentukan berdasarkan perhitungan pusat massa dari tiap-tiap lantai.

5.4. Data satuan dan data material

Seluruh satuan yang dipakai dalam analisa struktur utama ini adalah :

- ton : dimensi gaya
- m (meter) : dimensi panjang
- detik : dimensi waktu

-
- Mutu beton : $f_e' = 30 \text{ MPa}$
 - Mutu baja lunak : $f_c' = 400 \text{ MPa}$

5.5. Pembebaan struktur utama

5.5.1. Beban mati

Untuk beban mati diperhitungkan seluruh beban akibat berat sendiri balok, kolom, pelat, dinding/panel, seluruh struktur sekunder dan semua elemen lain yang bersifat tetap sepanjang umur rencana gedung.

5.5.2. Beban hidup

Beban hidup tidak selalu terjadi setiap saat. Peluang terjadinya beban hidup penuh yang membebani semua bagian dan semua struktur pemikul secara serempak selama umur gedung tersebut adalah sangat kecil. Oleh sebab itu beban hidup dianggap tidak efektif sepenuhnya. Beban ini berupa beban terpusat atau beban merata yang diterima langsung oleh struktur utama yang disalurkan melalui elemen struktur sekunder.

Sesuai dengan peraturan PPI '83 untuk beban dalam perhitungan balok induk dan portal diberikan reduksi sebagai berikut :

- Pada perencanaan balok-balok induk dan portal dari sistem struktur utama, beban hidup terbagi rata rencana dapat dikalikan dengan 0,9 untuk pendidikan

5.5.3. Beban gempa

Beban hidup pada gedung ikut menentukan besarnya beban gempa rencana yang harus dipikul oleh sistem struktur. Seperti yang telah diuraikan di atas bahwa karena peluang terjadinya beban hidup yang kecil maka untuk perencanaan beban gempa ini sesuai dengan PPI '83 beban massa hidup dapat direduksi sebesar 0,5 yang nantinya akan diperhitungkan dalam blok data masses untuk gempa dinamis.

Dalam perencanaan ini beban rancang lateral dasar yang ditetapkan dalam SK SNI - T15 - 1991 dikalikan dengan faktor $K = 1$. Hal ini dilakukan karena struktur direncanakan dengan daktilitas 3.

5.5.4. Kombinasi pembebanan

Kombinasi pembebanan pokok yang diperhitungkan didasarkan pada SK SNI - T15 - 1991 sebagai berikut :

1. Kuat perlu yang menahan beban mati D dan beban hidup L paling tidak harus sama dengan :

$$U = 1,2 D + 1,6 L$$

2. Bila ketahanan struktur terhadap gempa harus diperhitungkan pada perancangan maka nilai ultimate diambil sebesar :

$$U = 1,05 (D + L_r \pm E)$$

dimana :

L_r adalah beban hidup yang telah direduksi sesuai dengan persyaratan PPTGIUG '83 Tabel 3.3 yang menyebutkan bahwa untuk peninjauan gempa maka beban hidup boleh direduksi dengan koefisien reduksi sebesar 0,50 untuk pendidikan.

Beban gempa (E) di atas harus dikalikan dengan faktor jenis struktur (K) yang sesuai. Untuk tingkat daktilitas tiga, nilai $K = 1$.

Khusus untuk beban gempa percepatan gempa rencana diambil menurut diagram koefisien gempa dasar untuk wilayah gempa 4 dengan kondisi tanah lunak seperti yang terdapat dalam PPTGIUG '83 Gambar 3.3.

Analisa struktur utama dari gedung ini meliputi perencanaan balok induk, kolom dan dinding geser sebagai elemen utama dari gedung. Dimana struktur utama tersebut direncanakan menerima beban gravitasi dan beban lateral gempa. Balok anak beserta pelat yang dipikul oleh balok induk dianggap hanya membebaninya sebagai beban terpusat.

5.6. Analisa gempa dinamis

Pada tugas akhir ini telah dikemukakan bahwa analisa beban gempa yang dipakai adalah analisa dinamis dengan metode analisa ragam spektrum respon. Dimana koefisien gempa rencana diambil untuk gempa periode ulang 20 tahun, gempa zone 4, dan struktur berada di atas tanah lunak.

Kombinasi arah pembebanan gempa pada struktur didasarkan pada PPTGIUG 1983 pasal P.3.3.1 yaitu sebagai berikut :

gravitasi \pm 100% gempa arah X \pm 30% gempa arah Y

gravitasi \pm 30% gempa arah X \pm 100% gempa arah Y

Untuk perencanaan diambil hasil yang paling berbahaya (terbesar) dari dua kombinasi tersebut. Sebagai kontrol perlu diperhatikan (menurut PPTGIUG 1983);

- Rasio antara simpangan antar tingkat dan tinggi tingkat yang bersangkutan tidak boleh melampaui 0,005.
- Dalam segala hal simpangan antar tingkat tersebut tidak boleh lebih dari 2 cm.
- Gaya geser di tingkat dasar (V_d) tidak boleh kurang dari $0,9 \times C_d \times W_t$ (dimana C_d ditentukan menurut pasal 3.4.1 PPTGIUG 1983) atau dalam tugas akhir ini disebut V_s .

5.7. Input data SAP90

Berikut ini akan dijelaskan secara singkat mengenai input data struktur utama yang dibuat berdasarkan buku petunjuk (manual) dan contoh-contoh SAP90 yang berhubungan dengan analisa struktur ini.

a. Title line

Blok data ini digunakan untuk memberi label pada masukan SAP90 sebagai informasi tentang jenis, type, dan nama struktur yang akan dianalisa atau dimodelkan. Maksimal jumlah karakter yang dapat dituliskan sebanyak 70 buah.

4.5.5.4. Kontrol profil 1/2 kuda-kuda atap jurai

Untuk menganalisa gaya-gaya dalam struktur atap baja digunakan program bantu SAP90. Analisa tiga dimensi dengan restraints $R = 0,0,0,0,0,0$ pada joint bebas dan $R = 1,1,1,0,0,0$ pada tumpuannya (sendi).

Dari hasil SAP90 didapat gaya-gaya yang bekerja pada profil struktur atap. Seluruh profil dikontrol sehingga memenuhi syarat yang berlaku.

Kontrol profil I (1/2 kuda-kuda) $\rightarrow WF = 250 . 125 . 6 . 9$

$ws = 29,6 \text{ kg/m}$, $d = 250 \text{ mm}$, $b = 125 \text{ mm}$, $tw = 6 \text{ mm}$, $tf = 9 \text{ mm}$,

$rx = 104 \text{ mm}$, $ry = 27,9 \text{ mm}$, $I_x = 4050 \text{ cm}^4$, $I_y = 294 \text{ cm}^4$, $S_x = 324 \text{ cm}^3$

$S_y = 47 \text{ cm}^3$, $Z_x = 352 \text{ cm}^3$, $Z_y = 72 \text{ cm}^3$



Gambar 4-14. Model struktur atap jurai

$$Mu_{\max} = 179553,2 \text{ kg-cm}$$

$$M_1 = 171390,5 \text{ kg-cm}; M_2 = 179024 \text{ kg-cm}; \frac{M_1}{M_2} = 0,957$$

$$Vu = 1406,59 \text{ kg}$$

$$Nu = -6665,76 \text{ kg}$$

$$\text{Defleksi maksimum } U_z = 0,866 \text{ cm}$$

Kontrol kehandalan

- kelangsungan

$$Lkx/rx = 6500/104 = 62,50 < 200 \dots\dots\dots \text{oke!}$$

$$Lky/ry = 2500/27,9 = 90,58 < 200 \dots\dots\dots \text{oke!}$$

b. System data block

Blok data ini mendefinisikan kontrol informasi yang berhubungan dengan analisa struktur.

L : menyatakan jumlah kondisi/jenis beban (*Load Condition*)

V : menyatakan jumlah *Eigen Value*, yaitu tentang jumlah *mode shape*/jumlah ragam respon yang akan dihitung. Dimana nilai V = n - 1 (dimana n menyatakan jumlah tingkat struktur yang dianalisa)

T : toleransi konvergen *Eigen Value* = 0,0001

Dengan memperhatikan PPTGIUG 1983 pasal 3.5.2.1, nilai V (jumlah ragam respon) yang harus ditinjau tidak boleh kurang dari 5. Sehingga V = 8 (dimana dengan n = 9, V = n - 1 = 9 - 1 = 8).

c. Joints data block

Memuat informasi tentang letak koordinat titik-titik pada struktur dalam sumbu global X, Y, Z. Pendefinisian join-join ini bertujuan untuk membuat geometri dari struktur yang akan dianalisa. Join data yang dipakai adalah sebagai berikut :

$$i \ X = x \ Y = y \ Z = z \ G = g_1, g_2, r$$

dimana :

x = arah X - ordiant global dari join

y = arah Y - ordiant global dari join

z = arah Z - ordiant global dari join

g_1 = linear generasi dari join 1

g_2 = linear generasi dari join 2

i = nomor join

r = rasio dari bagian terdahulu terhadap bagian pertama untuk pembagian yang tidak sama

d. Restraints data block

Memuat informasi mengenai derajat kebebasan (DOF) tiap-tiap join apakah dilepas (nilai 0) atau dikekang (nilai 1). Restraint yang dipakai adalah :

$$j_1 \ j_2 \ \text{inc} \ R = r_1, r_2, r_3, r_4, r_5, r_6$$

dimana :

j_1 : nomor join pertama

j_2 : nomor join terakhir

inc : penambahan nomor join

r_1 : harga restrain untuk bertranslasi arah sumbu X

r_2 : harga restrain untuk bertranslasi arah sumbu Y

r_3 : harga restrain untuk bertranslasi arah sumbu Z

r_4 : harga restrain untuk berotasi arah sumbu X

r_5 : harga restrain untuk berotasi arah sumbu Y

r_6 : harga restrain untuk berotasi arah sumbu Z

e. Masses

Blok data ini mendefinisikan lokasi dan harga massa join. Untuk itu perlu dihitung massa dan momen inertia (MMI) dari tiap-tiap lantai. Massa terdiri dari beban mati maupun beban hidup yang telah direduksi.

Langkah-langkah perhitungan untuk mendapatkan massa, titik pusat massa adalah sebagai berikut :

1. Hitung massa total dari lantai yang meliputi massa pelat, balok kolom, tembok dan beban hidup.

$$M = \frac{W}{g}$$

dimana : W : berat tiap lantai

g : 0,981 m/det

Hitung letak titik pusat massa dengan cara mengambil suatu titik referensi, kemudian hitung statis momen terhadap titik referensi tersebut. Statis momen dibagi dengan massa total dari lantai dan didapatkan letak pusat massa lantai.

2. Hitung momen inersia massa (MMI) dari elemen - elemen lantai terhadap titik pusat massa dengan rumus :

$$MMI = \frac{M}{A} \times (I_x + I_y)$$

dimana :

MMI : momen inersia massa

M : massa tiap lantai

A : luas tiap lantai

I_x : momen inersia terhadap sumbu x (m^4)

I_y : momen inersia terhadap sumbu y (m^4)

f. Frame data block

Memuat informasi mengenai data-data dari elemen-elemen batang (*frame*) tiga dimensi pada struktur yang dianalisa meliputi lokasi, properti dan beban yang bekerja pada setiap elemen.

NM : *Number of Material*, menyatakan jumlah material yang digunakan dalam analisa struktur

NL : *Number of Load identification*, menyatakan jumlah macam beban yang ada pada struktur

Penulisan macam pembebanan dibedakan antara beban mati dan beban hidup yang nantinya akan dikombinasikan dalam blok data COMBO.

g. Shell data block

Memuat informasi mengenai data-data dari elemen-elemen shell dinding geser pada struktur yang dianalisa meliputi lokasi, properti dan beban yang bekerja pada setiap elemen.

NM : *Number of Material*, menyatakan jumlah material yang digunakan dalam analisa struktur

ETYPE : Macam pelat yang dianalisa.

Untuk perencanaan ini Etype = 0 (pelat shell)

h. Loads data block

Memuat informasi mengenai beban-beban pada join yang berasal dari beban terpusat balok anak.

i. Spec

Memuat informasi mengenai data-data yang berhubungan dengan analisa dinamik menggunakan metode analisa ragam spektrum respon. Hal-hal yang perlu diperhatikan dalam memasukkan data pada blok data ini adalah sebagai berikut :

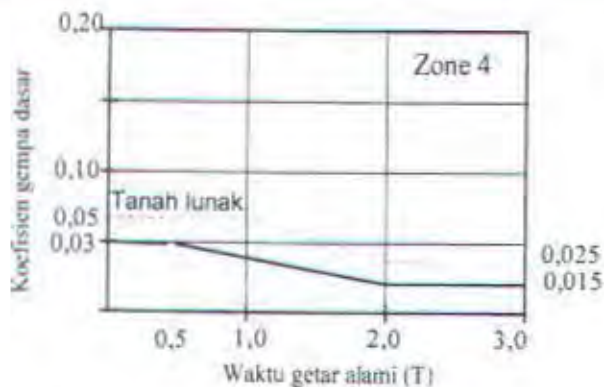
1. Pada saat memasukkan nilai sudut eksitasi (A) perlu ditentukan kombinasi arah pembebanan gempa. Beberapa kemungkinan seperti di bawah ini :
 - a. 100% gempa arah X + 30% gempa arah Y, maka bisa dituliskan :

$A = 0$, dan pada X *direction* dimasukkan 100% nilai spektrum respons dari grafik dan pada Y *direction* dimasukkan 30% nilai spektrum respons dari grafik, atau ;

$A = 16,7$, dan pada spektrum respons X *direction* dimasukkan nilai penuh (100%) sesuai grafik.
 - b. 30% gempa arah X + 100% gempa arah Y, maka bisa dituliskan :

$A = 0$, dan pada X *direction* dimasukkan 30% nilai spektrum respons dari grafik dan pada Y *direction* dimasukkan 100% nilai spektrum respons dari grafik, atau ;

$A = 73,3$, dan pada spektrum respons X *direction* dimasukkan nilai penuh (100%) sesuai grafik.
2. S = faktor skala respons spektrum bisa digunakan $9,81 \text{ m}/\text{dt}^2$ atau $10 \text{ m}/\text{dt}^2$.
3. D = *damping ratio* (ratio redaman) diambil 5%.



j. Combo data block

Memuat informasi mengenai kombinasi pembebanan yang digunakan pada analisa struktur utama, yang didasarkan pada PBI '89 pasal 9.2 :

1. 1,2 DL + 1,6 LL (akibat beban mati dan beban hidup)
2. 1,05 (DL + 0,9 LL + E) (akibat beban mati + beban hidup + gempa kiri)
3. 1,05 (DL + 0,9 LL - E) (akibat beban mati + beban hidup + gempa kanan)
4. 0,9 (D + E) (akibat beban mati + gempa kiri)
5. 0,9 (D - E) (akibat beban mati + gempa kanan)

Kombinasi pembebanan nomor 4 dan 5 hanya diperlukan pada perhitungan kolom sebagai beban *sideway* (beban berfaktor yang dapat menyebabkan goyangan ke samping).

Input data struktur utama dan hasil plot dari gedung ini dapat dilihat pada lampiran.

5.8. Permodelan pembebanan balok induk

Beban-beban yang bekerja pada balok induk adalah berat sendiri balok induk dan semua beban merata pada pelat (termasuk berat sendiri pelat dan beban hidup merata di atasnya). Distribusi bebananya didasarkan pada cara *Tributary Area* yaitu beban pelat dinyatakan dalam bentuk trapesium maupun segitiga. Variasi pembebanan dan beban ekivalen yang terjadi pada perhitungan balok induk ini dapat dilihat pada bab sebelumnya.

5.9. Simpangan antar tingkat

PPTGIUG '83 Bab III pasal 3.6.2 dan penjelasannya menyatakan bahwa terhadap simpangan antar tingkat telah diadakan pembatasan-pembatasan untuk menjamin agar kenyamanan para penghuni gedung tidak terganggu dan juga untuk mengurangi momen-momen sekunder yang terjadi akibat penyimpangan garis kerja axial di dalam kolom-kolom ($P\Delta$ -effec). Hal ini khususnya penting untuk unsur-unsur langsing dan gaya berat. Walaupun simpangan antar tingkat telah dibatasi namun dianjurkan untuk melakukan pemeriksaan terhadap $P\Delta$ -effec, dimana hal itu kritis.

Simpangan antar tingkat dari suatu titik pada suatu lantai harus ditentukan sebagai simpangan horizontal titik itu relatif terhadap titik yang bersangkutan pada lantai di bawahnya.

Perbandingan antar simpangan antar tingkat dan tinggi yang bersangkutan tidak boleh melampui 0,005. Dengan ketentuan bahwa dalam segala hal simpangan tersebut tidak boleh lebih dari 2 cm.

Dari output SAP90 (file stikom.sol) untuk displacemen dipilih simpangan pada daerah sudut dan dapat ditabelkan :

**SIMPANGAN ANTAR LANTAI
GEDUNG STIKOM**

Arah X

Tingkat	Tinggi (cm)	Simpangan total (cm)	Simpangan lantai (cm)		Rasio	Kontrol
1	400	0.2617	0.2618	< 2 cm	0.0007	ok.
2	400	0.6874	0.4257	< 2 cm	0.0011	ok.
3	400	1.1285	0.441	< 2 cm	0.0011	ok.
4	400	1.55	0.4215	< 2 cm	0.0011	ok.
5	400	1.9375	0.3875	< 2 cm	0.001	ok.
6	400	2.2807	0.3432	< 2 cm	0.0009	ok.
7	400	2.5713	0.2906	< 2 cm	0.0007	ok.
8	400	2.802	0.2307	< 2 cm	0.0006	ok.
9	400	2.9684	0.1664	< 2 cm	0.0004	ok.
10	400	3.0717	0.1033	< 2 cm	0.0003	ok.

Arah Y

Tingkat	Tinggi (cm)	Simpangan total (cm)	Simpangan lantai (cm)		Rasio	Kontrol
1	400	0.131	0.131	< 2 cm	0.0003	ok.
2	400	0.344	0.213	< 2 cm	0.0005	ok.
3	400	0.5646	0.2206	< 2 cm	0.0006	ok.
4	400	0.7755	0.2109	< 2 cm	0.0005	ok.
5	400	0.9692	0.1937	< 2 cm	0.0005	ok.
6	400	1.1141	0.1449	< 2 cm	0.0004	ok.
7	400	1.2861	0.172	< 2 cm	0.0004	ok.
8	400	1.4016	0.1155	< 2 cm	0.0002	ok.
9	400	1.4848	0.0832	< 2 cm	0.0002	ok.
10	400	1.5365	0.0517	< 2 cm	0.0001	ok.

5.10. Kontrol gaya gempa dasar analisa statik (Vs) dengan analisa dinamis (Vd)

Pada PPTGIUG'83 pasal 3.5.2.2 :

a. Waktu getar alami (T) :

$$\begin{aligned} T &= 0,006 \times H^{3/4} \\ &= 0,06 \times 40^{3/4} = 0,954 \text{ detik} \end{aligned}$$

b. Dari grafik koefisien gempa dasar (C) terhadap T, didapat :

$$C = 0,05 \text{ g}$$

c. Berat total struktur dengan beban hidup :

$$W_t = 6829,68 \text{ ton}$$

d. Faktor keutamaan struktur :

$$I = 1,5 \quad (\text{PPTGIUG 1983})$$

e. Faktor jenis struktur :

$$K = 1$$

f. Gaya gempa dasar analisa statik :

$$V_s = C \times I \times K \times W_t$$

$$V_s = 488,66 \text{ ton}$$

g. Gaya gempa dasar analisa dinamis (dari SAP90) :

$$F_x = 359,48 \text{ ton}$$

$$F_y = 287,15 \text{ ton}$$

$$V_d = \sqrt{F_x^2 + F_y^2}$$

$$V_d = 460,09 \text{ ton} > 0,9 V_s = 439,797 \text{ ton} \quad \dots \dots \dots \text{oke !}$$

h. Rasio V_d/V_s

$$V_d/V_s = 460,09 / 488,66$$

$$= 0,942$$

BAB VI
PERENCANAAN STRUKTUR
UTAMA

BAB VI

PERENCANAAN STRUKTUR UTAMA

6.1. Umum

Penulangan struktur utama gedung STIKOM dalam Tugas Akhir ini direncanakan dengan menggunakan metode daktilitas tingkat tiga (Daktilitas Penuh), atau yang lebih dikenal dengan istilah "Disain Kapasitas" yaitu struktur beton diproporsikan berdasarkan suatu persyaratan penyelesaian detail khusus yang memungkinkan struktur memberikan respon inelastis terhadap beban siklis gempa yang bekerja dan mampu menjamin pengembangan mekanisme sendi plastis dengan kapasitas disipasi energi yang diperlukan tanpa mengalami keruntuhan.

Karena itu keruntuhan yang terjadi pada balok harus bersifat daktail yaitu bukan karena akibat keruntuhan geser tetapi keruntuhan lentur. Hal ini bertujuan untuk memberikan peringatan sebelum terjadinya keruntuhan yaitu dengan terjadinya perubahan bentuk. Dengan demikian terjadinya mekanisme sendi plastis harus dikendalikan atau dipaksakan agar terjadi di tempat-tempat yang diinginkan (pada balok) dengan cara meningkatkan unsur-unsur yang berbasaran dengannya yaitu pada kolom. Pengertian ini mengandung arti yaitu "*Strong Column Weak Beam*" (kolom kuat balok lemah).

Dalam perencanaan struktur gedung dengan daktilitas penuh, kolom harus direncanakan lebih kuat dari baloknya, dengan memperhitungkan pengaruh terbentuknya sendi plastis pada ujung balok kiri dan kanan kolom dan pengaruh *overstrength* balok. Dengan demikian struktur harus mampu melakukan perubahan secara daktail dengan memencarkan energi gempa dan membatasi gaya gempa yang masuk ke dalam struktur utama. Untuk pemencaran energi itu ditandai dengan terbentuknya sendi-sendi plastis pada tempat-tempat yang telah direncanakan yaitu pada balok. Beban rancang lateral dasar yang disebabkan oleh gempa ditetapkan pada PPTGIUG'83 harus diperhitungkan faktor jenis struktur (K) sebesar 1.

Tugas Akhir

Momen

Balok	MOMEN TUMPUAN (Ton-m)				MOMEN ULTIMATE TUMPUAN (Ton-m)			
	MD	MLR	MEki	MEka	1,2 MD + 1,6 ML	0,9 MD + MEka,ki	1,05 x (MD + MLR + MEki,ka)	
					Ekiri	Ekanan	Ekiri	Ekanan

ARAH X

Elemen : 29

32 - 33	-8.02	-4.86	15.28	-15.28	-17.39	8.06	-22.5	2.52	-29.56
33 - 32	-8.19	-4.95	-15.26	15.26	-17.76	-22.63	7.88	-29.82	2.22
Lapangan	-6.02	-3.53	7.64	-7.62	-12.87	2.23	-13.04	-1.998	-18.03

Elemen : 30

33 - 34	-7.77	-4.69	15.4	-15.4	-16.83	8.41	-22.39	3.09	-29.255
34 - 33	-7.94	-4.8	-15.06	15.06	-17.2	-22.2	7.91	-29.18	2.44
Lapangan	-6.28	-3.69	7.79	-7.44	-13.43	2.15	-13.09	-2.28	-18.27

ARAH Y

Elemen : 55

27 - 33	-7.77	-4.69	15.44	-15.44	-16.83	8.45	-22.43	3.13	-29.29
33 - 27	-7.94	-4.8	-15.09	15.09	-17.2	-22.23	7.95	-29.21	2.47
Lapangan	-6.28	-3.69	7.81	-7.46	-13.25	2.16	-13.07	-2.26	-18.29

Elemen : 56

33 - 41	-8.02	-4.86	15.31	-15.31	-17.39	8.09	-22.53	2.55	-29.59
41 - 33	-8.19	-4.95	-15.29	15.29	-17.76	-22.66	7.91	-29.86	2.25
Lapangan	-6.02	-3.53	7.46	-7.81	-12.87	2.04	-13.23	-2.19	-18.22

Geser

Balok	GESER TUMPUAN (Ton)				GESER ULTIMATE TUMPUAN (Ton)			
	VD	VLR	VEki	VEka	1,2 VD + 1,6 VL	0,9 VD + VEka,ki	1,05 x (VD + VLR + VEki,ka)	
						Ekiri	Ekanan	Ekiri

ARAH X

Elemen : 29

32 - 33	6.25	3.85	-4.7	4.7	13.66	-0.93	10.32	5.67	15.54
33 - 32	-6.3	-3.88	-4.7	4.7	-13.77	-10.37	-0.98	-15.62	-5.76
Lapangan	-2.44	-1.34	-4.7	4.7	-5.07	-6.9	2.5	-8.9	0.96

Elemen : 30

33 - 34	6.25	3.85	-4.7	4.7	13.66	0.94	10.31	5.68	15.52
34 - 33	-6.3	-3.88	-4.7	4.7	-13.77	-10.36	-0.99	-15.61	-5.77
Lapangan	-2.44	-1.34	-4.7	4.7	-5.08	-6.88	2.49	-8.89	0.95

ARAH Y

Elemen : 55

27 - 33	6.25	3.85	-4.7	4.7	13.66	-0.93	10.32	5.67	15.53
33 - 27	-6.3	-3.88	-4.7	4.7	-13.77	-10.37	-0.98	-15.62	-5.76
Lapangan	-2.44	-1.34	-4.7	4.7	-5.08	-6.89	2.5	-8.9	0.97

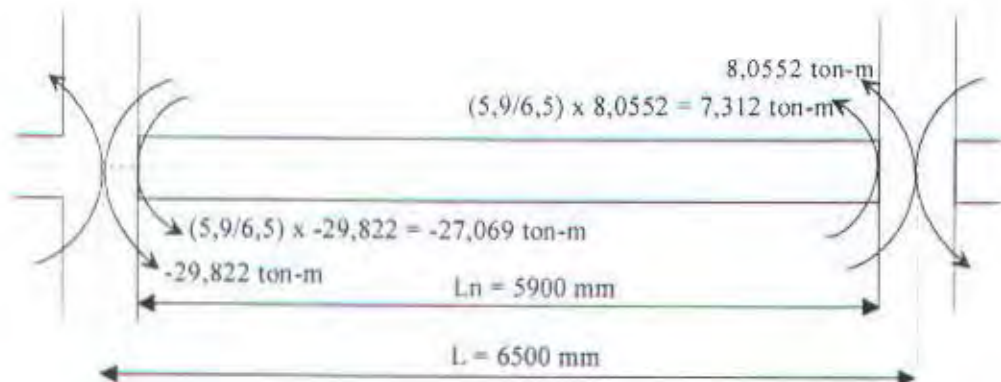
Elemen : 56

33 - 41	6.25	3.85	-4.7	11.07	13.66	-0.92	10.33	5.66	15.55
41 - 33	-6.3	-3.88	-4.7	11.07	-13.77	-10.38	-0.97	-15.63	5.75
Lapangan	-2.44	-1.34	-4.7	11.07	-5.07	-6.91	2.51	-8.91	0.97

- Momen rencana pada tumpuan

$$\begin{aligned} Mu(-) &= -29,822 \text{ t-m} \\ &= 298221000 \text{ N-mm} \end{aligned}$$

$$\begin{aligned} Mu(+) &= 8,0552 \text{ t-m} \\ &= 80552000 \text{ N-mm} \end{aligned}$$



Gambar 6-1. Distribusi momen balok dari As ke ujung balok

- Penulangan lentur pada tumpuan negatif

$$\begin{aligned} Mu(-) &= -27,069 \text{ t-m} \\ &= 270692907,7 \text{ N-mm} \end{aligned}$$

$$\begin{aligned} As &= \frac{Mu}{\phi \times fy \times (d - d')} \\ &= \frac{270692907,7}{0,8 \times 390 \times (488,5 - 61,5)} \\ &= 2031,86 \text{ mm}^2 \end{aligned}$$

untuk peningkatan daktilitas dan momen balik, disyaratkan dalam SK SNI '91 pasal 3.14.3 : $As' \geq 0,5 As$

maka digunakan tulangan : - tulangan atas = 9 D19 (2579 mm^2)

- tulangan bawah = 4 D19 (1146 mm^2)

Cek (redistribusi momen) apakah momen negatif memenuhi syarat $((\rho - \rho') \leq 0,5 \rho_b)$ untuk perencanaan kapasitas balok portal setelah tulangan lentur direncanakan :

$$\rho = \frac{As}{b \times d} = \frac{2579}{350 \times 488,5} = 0,0151$$

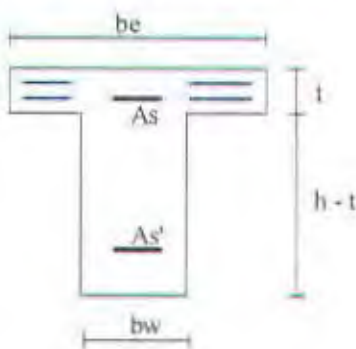
$$\rho' = \frac{As}{b \times d} = \frac{1146}{350 \times 488,5} = 0,0067$$

$$\begin{aligned}\rho_b &= \frac{0,85 \times \beta_1 \times f_{c'}^t}{f_y} \times \frac{600}{600 + f_y} \\ &= \frac{0,85 \times 0,85 \times 24,6}{390} \times \frac{600}{600 + 390} = 0,027.\end{aligned}$$

$$((\rho - \rho') \leq 0,5 \rho_b)$$

$$0,0151 - 0,0067 = 0,0084 < 0,5 \times 0,027 = 0,0135 \quad \dots\dots\dots \text{oke !}$$

b. Penulangan lentur pada tumpuan positif



$$- b_e \leq \frac{1}{4} \times 650 = 162,5 \text{ cm} \quad \dots\dots\dots \text{menentukan !}$$

$$- b_e \leq 25 + 16 \times 12 = 217 \text{ cm}$$

$$- b_e \leq 25 + 650 = 675 \text{ cm}$$

$$\begin{aligned} Mu (+) &= 7,312 \text{ t-m} \\ &= 73116430,77 \text{ N-mm} \end{aligned}$$

Periksa apakah tinggi a lebih besar dari tebal pelat :

$$\begin{aligned} Cc &= 0,85 \times f'_c \times b_e \times (0,85 \times X) \\ &= 0,85 \times 24,6 \times 1625 \times (0,85 \times X) = 28881,94 \times N \end{aligned}$$

$$Mn = \frac{73116430,77}{0,8} = 91395538,46 \text{ N-mm}$$

$$\begin{aligned} Mn &= Cc \times \left(d - \frac{0,85 \times X}{2} \right) \\ 91395538,46 &= 28881,94 \times \left(488,5 - \frac{0,85 \times X}{2} \right) \\ &= 12274,82 \times X^2 - 14108826,5 \times X + 91395538,46 \end{aligned}$$

dengan rumus ABCdi dapat :

$$X_{\max} = 6,515 \text{ mm} < t = 120 \text{ mm} \rightarrow T \text{ palsu}$$

Syarat ρ_{\min} , untuk balok T : (agar $Mu < 1,5 M_{cr}$)

$$\begin{aligned} - \text{ flens balok T tertekan} &= \rho_{\min} = 0,25 \frac{\sqrt{f'_c}}{f_y} = 0,25 \frac{\sqrt{24,6}}{390} = 0,00317 \\ - \text{ flens balok T tertarik} &= \rho_{\max} = 0,4 \frac{\sqrt{f'_c}}{f_y} = 0,4 \frac{\sqrt{24,6}}{390} = 0,00509 \end{aligned}$$

Syarat ρ_{\max} , untuk balok T :

$$- \rho_{\max} = \frac{7}{f_y} = \frac{7}{390} = 0,0179$$

$$\begin{aligned} - \rho_{\text{perlu}} &= 0,85 \times \frac{f'_c}{f_y} \times \frac{b_e}{b_w} \times \frac{a_{\max}}{d} \\ &= 0,85 \times \frac{24,6}{390} \times \frac{1625}{350} \times \frac{6,515}{488,5} = 0,00333 < \rho_{\min} \end{aligned}$$

syarat : $\rho_{\min} < \rho_{\text{perlu}} < \rho_{\max}$

dipakai : $\rho_{\min} = 0,00509$

sebagai syarat tulangan tumpuan positif : $\frac{As'}{As} = 1$

penulangan akibat tarik :

$$\begin{aligned} As &= \rho_{\text{perlu}} \times bw \times d \\ &= 0,00509 \times 350 \times 488,5 \\ &= 870,263 \text{ mm}^2 \end{aligned}$$

maka digunakan tulangan : atas = 4 D19 (1146 mm²)

bawah = 4 D19 (1146 mm²)

Rencana tulangan tumpuan dari momen rencana yang ada dipakai :

$$- \text{ tulangan atas} = 9 \text{ D19 (2579 mm}^2) \rightarrow \rho_{\text{act}} = \frac{2579}{350 \times 390} = 0,0189$$

$$- \text{ tulangan bawah} = 4 \text{ D19 (1146 mm}^2) \rightarrow \rho'_{\text{act}} = \frac{1146}{350 \times 390} = 0,0084$$

Cek kondisi tulangan tekan :

coba (tulangan tekan leleh) : $\varepsilon s' \geq \varepsilon_y$

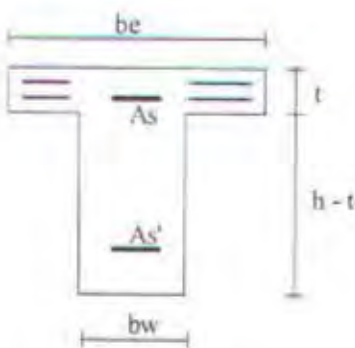
$$(\rho - \rho') \times \left(1 - \frac{0,85 \times f_c}{f_y}\right) \geq 0,85 \times \beta_1 \times \frac{f_c' \times d'}{f_y \times d} \times \left(\frac{600}{600 - f_y}\right)$$

$$(0,0189 - 0,0084) \times \left(1 - \frac{0,85 \times 24,6}{390}\right) = 0,0099$$

$$0,85 \times 0,85 \times \frac{24,6 \times 61,5}{390 \times 488,5} \times \left(\frac{600}{600 - 390}\right) = 0,0164$$

Karena $0,0099 < 0,0164$, maka tulangan tekan belum leleh

c. Penulangan lentur pada lapangan



$$- b_e \leq \frac{1}{4} \times 650 = 162,5 \text{ cm} \dots \dots \dots \text{menentukan !}$$

$$- b_e \leq 25 + 16 \times 12 = 217 \text{ cm}$$

$$- b_e \leq 25 + 650 = 675 \text{ cm}$$

Momen rencana :

$$Mu = -18,0264 \text{ t-m}$$

$$= 180264000 \text{ N-mm}$$

Periksa apakah tinggi a lebih besar dari tebal pelat :

$$Cc = 0,85 \times f'_c \times b_e \times (0,85 \times X)$$

$$= 0,85 \times 24,6 \times 1625 \times (0,85 \times X) = 28881,94 \times N$$

$$Mn = \frac{180264000}{0,8} = 225330000 \text{ N mm}$$

$$Mn = Cc \times \left(d - \frac{0,85 X}{2} \right)$$

$$225330000 = 28881,94 \times \left(488,5 - \frac{0,85 X}{2} \right)$$

$$= 12274,82 X^2 - 14108826,5 X + 225330000$$

dengan rumus ABC di dapat :

$$X_{\max} = 16,199 \text{ mm} < t = 120 \text{ mm} \rightarrow T \text{ palsu}$$

$$\rho_{\text{perlu}} = 0,85 \times \frac{f'_c}{f_y} \times \frac{b_c}{b_w} \times \frac{a_{\max}}{d}$$

$$= 0,85 \times \frac{24,6}{390} \times \frac{1625}{350} \times \frac{16,199}{488,5} = 0,00825$$

syarat : $\rho_{\min} < \rho_{\text{perlu}} < \rho_{\max}$

$$0,00509 < 0,00825 < 0,0179$$

penulangan tarik :

$$A_s = \rho_{\text{perlu}} \times b_w \times d$$

$$= 0,00825 \times 350 \times 488,5$$

$$= 1411,35 \text{ mm}^2$$

maka digunakan tulangan lapangan : atas (tekan) = 4 D19 (1146 mm^2)

bawah (tarik) = 7 D19 (2006 mm^2)

6.2.2. Perhitungan momen kapasitas

a. Momen kapasitas balok dihitung dengan rumus dibawah ini :

$$M_{\text{kap},b} = \phi_o \times M_{n_{\text{ak},b}}$$

dimana :

- $M_{n_{\text{ak},b}}$ = momen kapasitas balok (*overstrength moment*)

- ϕ_o = *overstrength factor* (faktor penambahan kekuatan) yang memperhitungkan pengaruh penambahan kekuatan maksimal dari tulangan terhadap kuat leleh yang ditetapkan diambil sebesar 1,25 untuk tulangan dengan f_y 400 MPa, dan sebesar 1,40 untuk f_y 400 MPa.

- $M_{n_{\text{ak},b}}$ = kuat momen lentur nominal aktual balok yang dihitung terhadap luas tulangan aktual pada penampang balok yang ditinjau.

b. Tulangan longitudinal balok

Batasan-batasan yang digunakan dalam perhitungan tulangan longitudinal berdasarkan SK SNI '91 pasal 3.14.3.2 (1) yaitu :

1. Minimum batang menerus sepanjang balok dengan jumlah dari tulangan atas maupun bawah tidak boleh kurang dari ρ_{min} (untuk menjamin $M_{ultimo} > M_{retak}$) dan tidak boleh lebih dari ρ_{max} (untuk menjamin putaran daktilitas-curvature ductility) yang cukup untuk daktilitas rencana
2. Pada sisi muka join, kuat momen positif tidak boleh lebih kecil dari setengah kuat momen negatif. Atau secara pendekatan dapat dinyatakan sebagai berikut : ($\rho_{bawah} > 0,5 \rho_{atas}$)
3. Pada sebarang penampang balok kuat momen positif maupun kuat momen negatifnya tidak boleh kurang dari 0,25 kuat momen maksimum yang terdapat pada kuat ujung join, atau secara konservatif dapat dinyatakan : ρ_s (atas atau bawah) $\geq 0,25 \rho_s$ (maks. diujung)
4. Persyaratan no. 2 dan no. 3 diperlukan untuk menjamin tercapainya tingkat daktilitas rencana di daerah sendi plastis. Disamping itu persyaratan ini juga diperlukan untuk kuat lentur yang cukup terhadap beban berbalik (*reversed action*).

c. Tulangan tranversal balok

Pemasangan tulangan tranversal yang memadai di daerah sendi plastis diperlukan agar kapasitas disipasi energi maksimum dapat tercapai. Dalam hal ini tulangan tranversal berfungsi untuk :

1. Menahan gaya geser sehingga balok dapat mencapai kapasitas lentur
2. Menjamin kapasitas rotasi pada daerah sendi plastis, yaitu dengan :
 - Mengelang beton pada daerah tekan sehingga mampu meningkatkan deformasi batas dan kekuatan lekatnya
 - Memberikan dukungan lateral bagi tulangan longitudinal sehingga tekuk dapat dihindari.

Asumsi bahwa tulangan tekan (as') belum leleh. Dengan keseimbangan gaya.
 $T = Cc + Cs \rightarrow$ didapat nilai X

dimana : $T = As \times fy$

$$Cc = 0,85 \times fc' \times \beta_1 \times bw \times X$$

$$Cs = As' \times (fs' - 0,85 \times fc')$$

Adapun cara menentukan X dan nilai fs' adalah seperti dengan analisa penampang persegi.

Maka dengan data tulangan :

- Tulangan atas ; 9 D19, $As = 2579$ mm, $\rho_{act} = 0,0189$

- Tulangan bawah : 4 D19, $As' = 1146$ mm, $\rho'_{act} = 0,0084$

Anggap tulangan tarik leleh dan tulangan tekan belum leleh.

$$\varepsilon s' = 0,003 \times \left(1 - \frac{d'}{X}\right)$$

$$fs' = 600 \times \left(1 - \frac{d'}{X}\right)$$

dimana :

$$T = (As_1 + As_2 + As_3) \times fy$$

$$= (393 + 393 + 2579) \times 390 = 1312350 \text{ N}$$

$$\begin{aligned} Cc &= 0,85 \times fc' \times \beta_1 \times bw \times X \\ &= 0,85 \times 24,6 \times 0,85 \times 350 \times X \\ &= 6220,725 \times N \end{aligned}$$

$$Cs = As' \times (fs' - 0,85 \times fc')$$

$$= 1146 \times \left[\left(600 \times \left(1 - \frac{61,5}{X} \right) \right) - 0,85 \times 24,6 \right]$$

$$= 663637,14 - \frac{42287400}{X}$$

$$\Sigma H = 0 \rightarrow Cc + Cs - T = 0$$

$$6220,725 X + 663637,14 - \frac{42287400}{X} - 1312350$$

$$6220,725 X^2 - 648712,86 X - 42287400 = 0$$

dengan rumus ABC didapat :

$$X = 149,694 \text{ mm}$$

$$a_{\max} = 149,694 \times 0,85 = 127,24 \text{ mm}$$

kontrol :

$$\epsilon s_1 = 0,003 \times \left(1 - \frac{61,5}{X}\right)$$

$$= 0,003 \times \left(1 - \frac{61,5}{149,694}\right)$$

$$= 0,00176 < \epsilon_y = \frac{390}{200000} = 0,00195 \quad \dots \dots \text{Tulangan tekan belum leleh}$$

$$\begin{aligned} Cc &= 0,85 \times f'_c \times \beta_1 \times bw \times X \\ &= 0,85 \times 24,6 \times 0,85 \times 350 \times 149,694 \\ &= 931205,2 \text{ N} \end{aligned}$$

$$\begin{aligned} Cs &= 663637,14 - \left(\frac{42287400}{149,694}\right) \\ &= 381144,8 \text{ N} \end{aligned}$$

$$\begin{aligned} Z &= \frac{As_1 \times d_1 + As_2 \times d_2 + As_3 \times d_3}{As_1 + As_2 + As_3} \\ &= \frac{393 \times 530 + 2579 \times 488,5 + 393 \times 450}{393 + 2579 + 393} = 488,85 \text{ mm} \end{aligned}$$

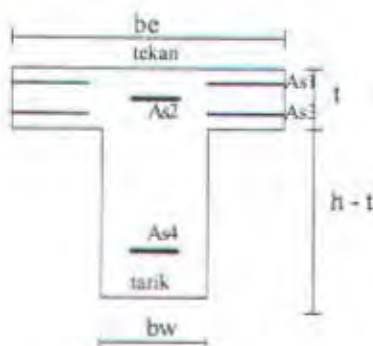
$$\begin{aligned} Mn_{uk,b} &= Cc \times (Z - \frac{a}{2}) + Cs \times (Z - d') \\ &= 931205,2 \times (488,85 - \frac{127,24}{2}) + 381144,8 \times (488,85 - 61,5) \\ &= 558859155 \text{ N-mm} \\ &= 558,859 \text{ KN-mm} \end{aligned}$$

$$\begin{aligned}
 M_{kap,b} &= OSF \times Mn_{ak,b} \\
 &= 1,25 \times 558,859 \\
 &= 698,574 \text{ KN-m}
 \end{aligned}$$

a. Perhitungan M_{kap} (+)

Untuk perhitungan Momen Kapasitas (+) adalah hampir sama dengan cara perhitungan momen kapasitas (-). Dimana dianggap besarnya tulangan yang terpasang sama dengan tulangan yang diperlukan maka nilai momen leleh negatif diperoleh dari momen nominal balok. Dimana harus dihitung berdasarkan jumlah tulangan terpakai. Perhitungan momen nominal sama seperti disain tulangan lentur tetapi rasio tulangan harus dihitung berdasarkan jumlah tulangan tarik dan tekan aktual.

Asumsi perhitungan momen nominal positif dihitung dengan menganggap balok sebagai balok T dan memperhitungkan pengaruh dari tulangan pelat terhadap kekuatan pelat terhadap kekuatan lentur balok.



Anggap ϵ_1 , ϵ_2 , dan ϵ_3 belum leleh dan asumsi garis netral terletak antara 1 dan 2 sehingga :

$$\epsilon_y = \frac{390}{200000} = 0,00195$$

$$\epsilon_{s1} = 0,003 \times \left(1 - \frac{20}{X}\right)$$

$$\epsilon_{s2} = 0,003 \times \left(\frac{61,5}{X} - 1\right)$$

$$\epsilon_{s3} = 0,003 \times \left(\frac{100}{X} - 1\right)$$

$$C_c = 0,85 \times f'_c \times b_e \times (0,85 \times X)$$

$$= 0,85 \times 24,6 \times 1625 \times (0,85 \times X) = 28881,94 \times N$$

$$T = A_s \times f_y$$

$$= 1146 \times 390 = 446940 \text{ N}$$

$$C_{s_1} = A_{s_1} \times (\varepsilon s_1 \times E_s - 0,85 \times f'_c)$$

$$= 393 \times (0,003 \times (1 - \frac{20}{X}) \times 200000 - 0,85 \times 24,6)$$

$$= 227582,37 - \frac{4716000}{X}$$

$$C_{s_2} = A_{s_2} \times \varepsilon s_2 \times E_s$$

$$= 2579 \times (0,003 \times (\frac{61,5}{X} - 1) \times 200000)$$

$$= \frac{95165100}{X} - 1547400$$

$$C_{s_3} = A_{s_3} \times \varepsilon s_3 \times E_s$$

$$= 393 \times (0,003 \times (\frac{100}{X} - 1) \times 200000)$$

$$= \frac{23580000}{X} - 235800$$

$$\sum H = 0$$

$$C_c + C_{s_1} = C_{s_2} + C_{s_3} + T$$

$$28881,94 \times X^2 + 1563842,37 \times X - 123461100 = 0$$

dengan rumus ABC di dapat :

$$X = 43,692 \text{ mm}$$

$$a_{max} = 43,692 \times 0,85 = 37,138 \text{ mm}$$

kontrol :

$$\varepsilon s_1 = 0,003 \times \left(1 - \frac{20}{43,692} \right)$$

$$= 0,00163 < \varepsilon_y = 0,00195 \rightarrow \text{Tulangan tekan belum leleh}$$

$$\varepsilon_{s2} = 0,003 \times \left(\frac{61,5}{43,692} - 1 \right)$$

$\varepsilon_{s2} = 0,00122 < \varepsilon_y = 0,00195 \rightarrow$ Tulangan tekan belum leleh

$$\varepsilon_{s2} = 0,003 \times \left(\frac{100}{42,904} - 1 \right)$$

$\varepsilon_{s2} = 0,0039 > \varepsilon_y = 0,00195 \rightarrow$ Tulangan tekan leleh

sehingga :

$$C_c = 1261898 \text{ N}$$

$$C_{s1} = 119644 \text{ N}$$

$$C_{s2} = 630710 \text{ N}$$

$$C_{s3} = 303891,9 \text{ N}$$

$$\begin{aligned} Z &= \frac{(A_{s2} \times f_{s2} \times 61,5) + f_y \times (A_{s3} \times 100 + A_{s4} \times 488,5)}{A_{s2} \times f_{s2} + f_y \times (A_{s3} + A_{s4})} \\ &= \frac{(1146 \times 267,122 \times 61,5) + 390 \times (393 \times 100 + 2579 \times 488,5)}{1146 \times 298,97 + 390 \times (393 + 2579)} \\ &= 359,11 \text{ mm} \end{aligned}$$

Maka didapat momen nominal aktual :

$$\begin{aligned} M_{n_{ak,b}} &= C_c \times (Z - a/2) + C_{s1} \times (Z - 20) \\ &= 1261898 \times (359,11 - 37,138/2) + 119644 \times (359,11 - 20) \\ &= 470294815 \text{ N-mm} \approx 470,295 \text{ KN-m} \end{aligned}$$

$$\begin{aligned} M_{kap,b} &= OSF \times M_{n_{ak,b}} \\ &= 1,25 \times 470,295 \\ &= 587,869 \text{ KN-m} \end{aligned}$$

6.2.3. Perhitungan penulangan geser balok

Gaya geser balok (V_u) diperoleh dengan menganggap kedua ujung balok dalam keadaan kapasitas dan tidak terjadi keruntuhan geser.

Gaya geser rencana harus diperhitungkan menurut rumus berikut :

$$V_u = 0,7 \times \frac{M_{kap}, b + M_{kap}, b'}{L_n} + 1,05 \times V_g \quad \dots \dots \text{SK SNI '91 pasal 3.14-19}$$

tetapi tidak lebih dari :

$$V_u = 1,05 \times (V_{D,b} + V_{L,b} + \frac{4}{K} \times V_{E,b}) \quad \dots \dots \text{SK SNI '91 pasal 3.14-20}$$

dimana :

M_{kap} = Momen nominal aktual pada ujung komponen dengan memperhitungkan kombinasi momen positif dan momen negatif

$M_{kap'}$ = Momen kapasitas balok di sendi plastis pada bidang muka kolom di sebelahnya

L_n = Bentang bersih balok

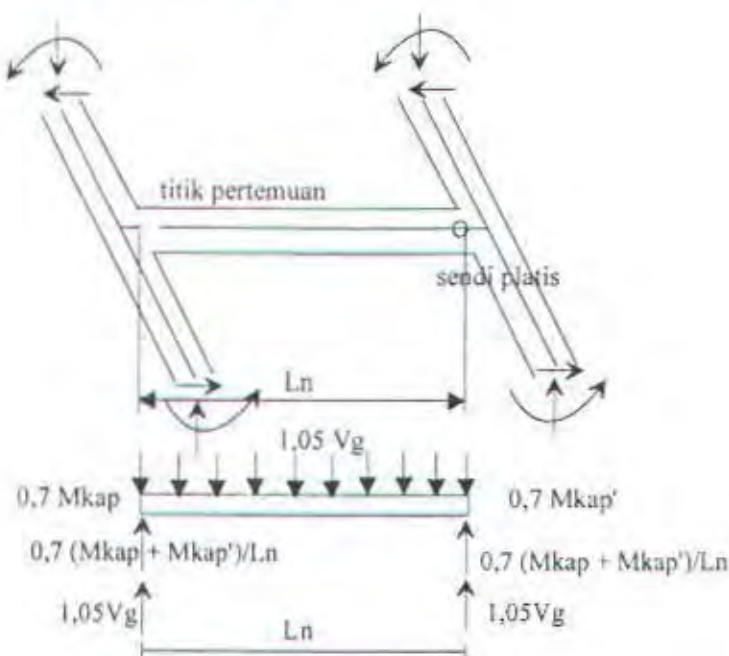
V_D = Gaya geser balok akibat beban mati

V_L = Gaya geser akibat beban hidup

V_g = Gaya geser balok akibat beban gravitasi

$V_{E,b}$ = Gaya geser akibat beban gempa.

K = faktor jenis struktur ($K > 1$)



Gambar 6-2. Geser balok

Pemasangan tulangan geser adalah untuk menahan agar keruntuhan yang tidak daktail tidak terjadi sebelum balok mengerahkan kekuatan lenturnya. Kuat geser rancang balok harus memenuhi syarat :

$$V_u \leq \phi (V_c + V_s)$$

..... SK SNI '91 pasal 3.4-1

dimana :

V_c = kuat geser beton (untuk daerah plastis 0 s/d $2h$, $V_c = 0$)

V_s = Kuat geser tulangan geser, yang diambil sebesar 0,6

Contoh perhitungan :

$$M_{kap,b} = 698,574 \text{ KN-m}$$

$$M_{kap,b'} = 587,869 \text{ KN-m}$$

$$\text{torsi} = 1953 \text{ N-m}$$

Menentukan besarnya gaya geser

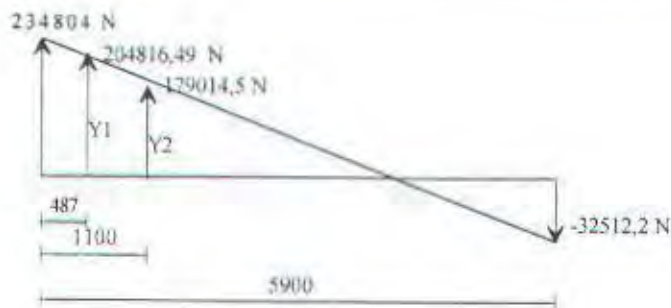
$$\begin{aligned} V_{u,b} &= 0,7 \times \frac{M_{kap} + M_{kap}'}{L_n} + 1,05 V_g \\ &= 0,7 \times \frac{698574 + 587869}{(6,5 - 0,6)} + 1,05 \times ((5,9/6,5) \times (62500 + 38490)) \\ &= 234804 \text{ N} \end{aligned}$$

$$\begin{aligned} V_{u,b} &= - \left[0,7 \times \frac{M_{kap} + M_{kap}'}{L_n} \right] + 1,05 V_g \\ &= - \left[0,7 \times \frac{698574 + 587869}{(6,5 - 0,6)} \right] + 1,05 \times ((5,9/6,5) \times (62500 + 38490)) \\ &= -32513,2 \text{ N} \end{aligned}$$

tetapi tidak lebih dari :

$$\begin{aligned} V_{u_{max}} &= 1,05 \times \left(VD + VL + \frac{4}{K} \times VE \right) \\ &= 1,05 \times ((5,9/6,5) \times (62500 + 38490 + 4/1 \times 46970)) \\ &= 275315,3 \text{ N} \end{aligned}$$

karena $V_{u,b} < V_{max}$, maka dipakai $V_{u,b} = 234804 \text{ N}$



$$\frac{Y_1 + 32512,2}{234804 + 32512,2} = \frac{5900 - 487}{5900}$$

$$Y_1 = 212738,99 \text{ N}$$

$$\frac{Y_2 + 32512,2}{234804 + 32512,2} = \frac{5900 - 1100}{5900}$$

$$Y_2 = 184965,2 \text{ N}$$

a. Penulangan geser di dalam sendi plastis

Untuk penulangan di dalam sendi plastis sejauh h dari muka kolom $V_c = 0$ sehingga :

$$V_{u,b} \text{ yang dipakai} = 212738,99 \text{ N}$$

$$V_s = \frac{212738,99}{0,6} = 354564,98 \text{ N}$$

jarak sengkang :

$$S = \frac{A_v \times f_y \times d}{V_s}$$

$$= \frac{(2 \times 113,097) \times 390 \times 488,5}{354564,98} = 121,5 \text{ mm}$$

jarak sengkang maksimum (S_{max}) pada sendi plastis :

$$S < 200$$

$$S < d/4 = 487/4 = 121,75 \text{ mm}$$

$$S < 8 \times D \text{ (tulangan utama)} = 8 \times 22 = 176 \text{ mm}$$

$$S < 24 \times D \text{ (tulangan sengkang)} = 288 \text{ mm}$$

jadi dipakai jarak sengkang = 110 mm < d/4 = 121,75 mm

Kontrol kekuatan sengkang dengan tulangan terpasang :

$$V_{u,b}/\phi < V_c - V_s$$

$$V_s \text{ (terpasang)} = \frac{2 \times 113,097 \times 390 \times 488,5}{110} \\ = 391757,73 \text{ N}$$

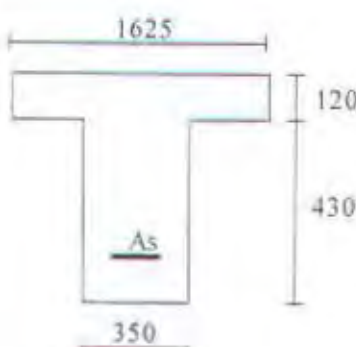
$$354564,98 \text{ N} < 0 + 391757,73 = 391757,73 \text{ N} \quad \dots \dots \dots \text{ oke !}$$

Rencana akhir dipakai sengkang D12-110 mm

b. Penulangan geser di luar sendi plastis

Untuk penulangan di luar sendi plastis sejauh 2h dari muka kolom,
 $V_c = \frac{1}{6} \times \sqrt{f_c'} \times b_w \times d$, sehingga :

$$V_{u,b} \text{ yang dipakai} = 184965,2 \text{ N}$$



$$\sum x^2 \cdot y = 35^2 \times 55 + 2 \times (63,75^2 \times 12) \\ = 164912,5$$

$$C_t = \frac{b_w \times d}{\sum x^2 \times y} = \frac{350 \times 488,5}{164912,5} \\ = 1,03 \text{ mm}^{-1}$$

cek kuat torsi :

$$T_{u,\min} = \phi \times \frac{1}{20} \times \sqrt{f_c'} \times \sum x^2 \cdot y$$

$$\begin{aligned}
 &= 0,6 \times \frac{1}{20} \times \sqrt{24,6} \times 164912,5 \\
 &= 2453818,2 \text{ N-mm} \\
 &= 2453,82 \text{ N-m} > 1953 \text{ N-m} \rightarrow \text{Tulangan torsi boleh diabaikan} \\
 &\quad \text{sehingga dipasang tulangan torsi praktis saja (2 D16)}
 \end{aligned}$$

$$\begin{aligned}
 V_c &= \frac{\frac{1}{6} \times \sqrt{f_{c'}} \times b_w \times d}{\sqrt{1 + \left(2,5 \times \left(\frac{T_u}{V_u}\right)\right)^2}} \\
 &= \frac{\frac{1}{6} \times \sqrt{24,6} \times 350 \times 488,5}{\sqrt{1 + \left(2,5 \times \left(\frac{1953}{184965,2}\right)\right)^2}} = 139740,3 \text{ N}
 \end{aligned}$$

$$\begin{aligned}
 V_s &= \frac{V_u, b}{\phi} - V_c \\
 &= \frac{184965,2}{0,6} - 139740,3 = 168535,031 \text{ N}
 \end{aligned}$$

$$S = \frac{2 \times 113,097 \times 390 \times 488,5}{168535,031} = 256 \text{ mm}$$

jarak sengkang maksimum (Smax) di luar sendi plastis :

$$S < d/2 = 487/2 = 243,5 \text{ mm}$$

$$S < 600 \text{ mm}$$

jadi dipakai jarak sengkang = 220 mm < d/2 = 243,5 mm

Kontrol kekuatan sengkang dengan tulangan terpasang :

$$\begin{aligned}
 V_u, b/\phi &< V_c + V_s \\
 V_s (\text{terpasang}) &= \frac{2 \times 113,097 \times 390 \times 488,5}{220} \\
 &= 195878,9 \text{ N}
 \end{aligned}$$

$$308275,33 \text{ N} < 139740,3 + 195878,9 = 335619,2 \text{ N} \quad \dots \dots \dots \text{ oke !}$$

Rencana akhir dipakai sengkang D12-220 mm

6.2.4. Perhitungan panjang penyaluran balok

Panjang penyaluran balok induk :

panjang penyaluran untuk tulangan tarik D19 mm :

$$L_{db} = 0,02 \times 286,5 \times \frac{390}{\sqrt{24,6}} = 451 \text{ mm}$$

dan tidak boleh kurang dari :

$$\begin{aligned} L_{db} &= 0,06 \times 19 \times 390 \\ &= 445 \text{ mm} \end{aligned}$$

maka di pakai $L_{db} = 500 \text{ mm}$

Akibat tulangan atas : $I_d = 1,4 \times 451 = 631,4 \text{ mm}^3$

Panjang penyaluran untuk tulangan tekan D19 mm :

$$L_{db} = \frac{19 \times 390}{4 \times \sqrt{24,6}} = 373,5 \text{ mm} \approx 375 \text{ mm}$$

dan tidak boleh kurang dari :

$$\begin{aligned} L_{db} &= 0,04 \times 19 \times 390 \\ &= 296,4 \text{ mm} \end{aligned}$$

maka di pakai $L_{db} = 500 \text{ mm}$

Panjang penyaluran kait standar dalam tarik :

Panjang penyaluran dasar kait standar (*hook*) dari tulangan D19 mm adalah sebagai berikut :

$$L_{hd} = 100 \times \frac{19}{\sqrt{24,6}} = 383 \text{ mm} \approx 385 \text{ mm}$$

panjang penyaluran *hook* :

$$\begin{aligned} L_{dh} &= 385 \times \frac{390}{400} \times 0,7 \\ &= 263 \text{ mm} \approx 265 \text{ mm} \end{aligned}$$

dan tidak boleh kurang dari :

$$\begin{aligned}L_{db} &= 8 \times 19 \\&= 152 \text{ mm}\end{aligned}$$

maka di pakai $L_{db} = 265 \text{ mm}$

Panjang penyaluran dari tulangan momen positif :

- 150 mm
- $d = 487 \text{ mm}$ menentukan !
- $12 \times 19 = 228 \text{ mm}$

Panjang penyaluran dari tulangan momen negatif :

- $d = 392 \text{ mm}$
- $12 \times 19 = 228 \text{ mm}$
- $\frac{6500}{19} = 342 \text{ mm}$ menentukan !

- Kontrol terhadap lendutan balok induk :

$$\begin{aligned}h_{min} &= \frac{6500}{21} \times \left(0,4 + \frac{390}{700}\right) \\&= 296 \text{ mm} < h (450 \text{ mm}) \text{ oke !}\end{aligned}$$

- Kontrol terhadap retak balok induk :

$$\begin{aligned}Z &= 234 \times \sqrt{59,5 + 10412,5} \\&= 23945,87 \text{ N/mm} = 23,95 \text{ MN/m} < 30 \text{ MN/m} \text{ oke !}\end{aligned}$$

dimana :

$$f_s = 0,06 \times 390 = 234 \text{ MPa}$$

$$dc = 40 + 10 + 1/2 \times 19 = 59,5 \text{ mm}$$

$$A = \frac{2 \times 59,5 \times 350}{4} = 10412,5 \text{ MN/m}$$

m = jumlah tulangan tarik di atas = 4 batang.

6.3. Komponen struktur kolom

Dalam perencanaan kolom sebagai komponen struktur yang menerima beban lentur dan aksial tekan harus memenuhi syarat-syarat yang diatur dalam SKSNI-T-15-1991-03 pasal 3.14.4.1 sebagai berikut :

1. Dimensi penampang terpendek diukur pada satu garis lurus yang melalui titik berat penampang dan tidak boleh kurang dari 300 mm
2. Rasio dimensi penampang terpendek terhadap dimensi yang tegak lurus padanya tidak boleh kurang dari 0,4
3. Rasio tinggi antar kolom terhadap dimensi penampang kolom yang terpendek tidak boleh lebih besar dari 25. Untuk kolom yang mengalami momen yang dapat berbalik tanda, rasionya tidak boleh lebih besar dari 16. Untuk kolom kantilever rasionya tidak boleh lebih dari 10.

Dalam segala hal kuat momen lentur dan aksial kolom harus diperhitungkan pula terhadap beban gempa dalam dua arah yang saling tegak lurus (100% arah yang direncanakan - 30% arah tegak lurus)

6.3.1. Perencanaan kolom terhadap beban lentur dan gaya aksial

Kuat lentur kolom portal harus dihitung berdasarkan terjadinya kapasitas lentur sendi plastis pada kedua ujung balok yang bertemu pada kolom tersebut yaitu :

$$\sum M_{u,k} \geq 0,7 \omega_d \sum M_{kap,b} \quad \dots \quad (\text{SKSNI 3.14-1})$$

tetapi dalam segala hal :

$$\sum M_{u,k} = 1,05 \sum \left(M_{D,K} + M_{L,K} + \frac{4,0}{K} M_{E,K} \right) \quad \dots \quad (\text{SKSNI 3.14-2})$$

dan :

$$M_{kap,b} = \phi_0 \cdot M_{nuk,b} \quad \dots \quad (\text{SKSNI 3.14-3})$$

dimana :

$\Sigma M_{u,k}$ = jumlah momen rencana kolom pada pusat join. Kuat lentur kolom harus dihitung untuk gaya aksial berfaktor yang konsisten dengan arah dari gaya lateral yang ditinjau.

ϖ_d = adalah koefisien pembesar dinamis yang memperhitungkan pengaruh dari terjadinya sendi plastis pada struktur secara keseluruhan = 1,3

$\Sigma M_{kap,b}$ = jumlah momen kapasitas balok pada pusat join yang berhubungan dengan kapasitas lentur aktual dari balok (untuk jumlah luas tulangan yang sebenarnya terpasang)

$M_{D,K}$ = momen pada kolom akibat beban mati

$M_{L,K}$ = momen pada kolom akibat beban hidup

$M_{E,K}$ = momen pada kolom akibat beban gempa dasar (tanpa faktor pengali tambahan)

K = faktor jenis struktur

ϕ_a = faktor penambahan kekuatan (*overstrength factor*). Faktor yang memperhitungkan pengaruh penambahan kekuatan maksimal dari tulangan terhadap kuat leleh yang ditetapkan diambil sebesar 1,25 untuk tulangan dengan f_y 400 MPa, 1,4 untuk f_y 400 MPa

$M_{n_{akt,b}}$ = kuat momen lentur nominal aktual balok yang dihitung terhadap luas tulangan yang sebenarnya ada pada penampang balok yang ditinjau.

Nilai $\Sigma M_{kap,b}(+)$ dan $\Sigma M_{kap,b}(-)$ dikiri dan kanan join yang dihitung bolak-balik untuk arah x dan y. Dalam hal ini dilakukan *ekstrapolasi linier* terlebih dahulu untuk menentukan nilai momen kapasitas balok pada pusat join yang dihitung dari muka join sebelah kiri maupun kanan.

$$M_{kap,b}(+) \text{ pusat join} = \frac{L_b}{L_{n,b}} \times M_{kap,b}(+) \text{ muka join}$$

$$M_{kap,b}(-) \text{ pusat join} = \frac{L_b}{L_{n,b}} \times M_{kap,b}(-) \text{ muka join}$$

dimana :

L_b = bentang balok dari as ke as balok

L_{nb} = bentang bersih dari balok yang berada disebelah kiri maupun kanan dari join yang ditinjau.

Jadi nilai $\sum M_{kap,b}$ disetiap lantai - i adalah :

$$\sum M_{kap,b} = \sum M_{kap,b}, \text{ yang terbesar pada pusat join}$$

$$\sum M_{kap,b} = \sum M_{kap,b}(+) + M_{kap,b}(-)$$

Apabila kekuatan relatif dari unsur-unsur yang bertemu di setiap join diperhitungkan maka besarnya nilai momen rencana kolom menurut SK SNI '91 pasal 3.14.4 - 2.2 (saat gempa memukul 100 % arah X dan 30% arah Y, sebaliknya) :

$$M_{u,kx} = 0,7 \times \varpi_d \times \frac{hn}{h} \times \alpha_k \times \left[\sum \frac{L, b}{L_{nb}} \times M_{kap,x} + 0,3 \sum \frac{L, b}{L_{nb}} \times M_{kap,y} \right]$$

$$M_{u,ky} = 0,7 \times \varpi_d \times \frac{hn}{h} \times \alpha_k \times \left[0,3 \sum \frac{L, b}{L_{nb}} \times M_{kap,y} + \sum \frac{L, b}{L_{nb}} \times M_{kap,x} \right]$$

tetapi dalam segala hal tidak perlu lebih besar dari (saat gempa memukul dengan $\alpha = 0^\circ$, sebaliknya) :

$$M_{u,kx} = 1,05 \times \left[M_{D,x} + M_{Lr,x} + \frac{4}{K} \times \left(M_{E,x}(\alpha=0^\circ) + 0,3 M_{E,y}(\alpha=90^\circ) \right) \right]$$

$$M_{u,ky} = 1,05 \times \left[M_{D,y} + M_{Lr,y} + \frac{4}{K} \times (0,3 \times M_{E,x}(\alpha=0^\circ) + M_{E,y}(\alpha=90^\circ)) \right]$$

dimana :

0,7 = faktor reduksi kekuatan

hn = panjang bersih kolom

ln = panjang bersih balok

ϖ_d = faktor pembesaran dinamis

α_k = faktor distribusi momen dari kolom yang nilainya sebanding dengan kekuatan relatif dari unsur-unsur yang bertemu pada titik itu.

Nilai faktor distribusi momen dari kolom yang ditinjau adalah :

$$\alpha_{ka} = \frac{M_{E,kolom level (i),atas}}{M_{E,kolom level (i),atas} + M_{E,kolom level (i+1),bawah}}$$

$$\alpha_{kb} = \frac{M_{E,kolom level (i),bawah}}{M_{E,kolom level (i),bawah} + M_{E,kolom level (i-1),atas}}$$

Untuk kolom struktur daktail penuh harus direncanakan dengan gaya aksial rencana sebagai berikut (menurut SK SNI '91 pasal 3.14.4-2.3) :

$$N_{u,kx} = 0,7 \times R_v \times \left[\left(\sum \frac{M_{kab,x}}{L_b} \right) + 0,3 \left(\sum \frac{M_{kab,y}}{L_b} \right) \right] + 1,05 \times N$$

$$N_{u,ky} = 0,7 \times R_v \times \left[\left(\sum \frac{M_{kab,y}}{L_b} \right) + 0,3 \left(\sum \frac{M_{kab,x}}{L_b} \right) \right] + 1,05 \times N$$

tetapi dalam segala hal tidak perlu lebih besar dari (saat gempa memukul dengan $\alpha = 0^\circ$, sebaliknya) :

$$N_{uk,x} = 1,05 \times \left[(N_g, k) + \frac{4}{K} \left(N_{E,x}(\alpha = 0^\circ) + 0,3 N_{E,x}(\alpha = 90^\circ) \right) \right]$$

$$N_{uk,y} = 1,05 \times \left[(N_g, k) + \frac{4}{K} \left(N_{E,y}(\alpha = 0^\circ) + 0,3 N_{E,y}(\alpha = 90^\circ) \right) \right]$$

dimana :

R_v = faktor reduksi gaya aksial kolom

(R_v ini dipakai karena momen kapasitas balok tidak mungkin terjadi secara menyeluruh dan atau pada saat bersamaan)

R_v dapat diambil dari :

$= 1$	untuk $1 < n \leq 4$
$= 1,1 - 0,05 n$	untuk $4 < n \leq 20$
$= 0,6$	untuk $n > 20$

Penulangan lentur kolom

Rasio penulangan lentur kolom disyaratkan antara 1% dan tidak perlu lebih dari 8% dari luas bruto penampang kolom (SK SNI '91 pasal 3.3.9-1).

Tulangan minimum ditujukan untuk mencegah terjadinya retak akibat rangkak (*creep*).

Langkah-langkah perencanaan :

1. Karena "kolom unbraced". maka perlu dicari faktor tekuk (k)
2. Tetapkan apakah kolom termasuk kolom pendek atau kolom panjang.
Peninjauan ini dilakukan pada kedua arah sumbu global. Ini sebagai langkah keamanan. Jika kolom termasuk "kolom pendek" maka tidak perlu dilakukan pembesaran momen dan sebaliknya untuk kolom panjang.
3. Momen yang didapat dari langkah kedua perlu dikontrol dengan eksentrisitas minimum.

$$\frac{M_u, k}{N_u, k} \geq 0,1 \times \frac{1}{\beta}$$

Kemudian dihitung momen ekivalensi dimana momen dua arah (*biaksial*) dijadikan satu arah.

rumus yang digunakan : (*Salmon* persamaan 13.21.17 dan 18)

$$M_{oe} = M_{u,x} + M_{u,y} \times \frac{b}{h} \times \frac{1 - \beta}{\beta} \rightarrow \text{untuk } M_{u,x} > M_{u,y}$$

$$M_{oe} = M_{u,x} + M_{u,y} \times \frac{h}{b} \times \frac{1 - \beta}{\beta} \rightarrow \text{untuk } M_{u,x} < M_{u,y}$$

dimana : $\beta = 0,65$

Untuk harga ρ_{perlu} dari diagram interaksi M-N empat sisi berdasarkan mutu beton dan baja tulangan yang sesuai dengan :

$$\text{- untuk sumbu ordinat : (Y)} \rightarrow K = \frac{N_u, k}{f'_c \times A_g}$$

$$\text{- untuk sumbu absis : (X)} \rightarrow K = \frac{M_u, k}{f'_c \times A_g \times h}$$

Luas tulangan perlu : $A_s = \rho_{perlu} \times A_g$

Kontrol dengan *Bresler Resiprokal*

Salah satu teori dalam pengecekan kolom yang mengalami momen dari dua arah (*biaksial-bending*)

$$\phi P_{n,0} = 0,85 \times \phi \times [0,85 \times f_{c'} \times (A_g - A_{st}) + f_y \times A_{st}]$$

$$\rho_{ada} = \frac{A_{st,terpasang}}{A_g}$$

Kekuatan penampang tekan yang memperoleh gaya aksial dan momen lentur dalam dua arah sumbu utama dirumuskan sebagai berikut :

$$P_{n,b} = \frac{1}{P_{n,x} + P_{n,y} - P_{n,0}} \geq P_{n,ada}$$

dimana :

$P_{n,x}$ = gaya aksial nominal dengan eksentrisitas x

$P_{n,y}$ = gaya aksial nominal dengan eksentrisitas y

$P_{n,0}$ = kekuatan nominal tanpa eksentrisitas.

Nilai $P_{n,x}$ dan $P_{n,y}$ diperoleh dari diagram interaksi M-N non dimensi. Dengan mengetahui nilai $\frac{e,x}{h}$ dan $\frac{e,y}{h}$ terlebih dahulu didapat sumbu ordinat (nilai K) sehingga $P_{n,x}$ dan $P_{n,y}$ akan didapat dari persamaan tersebut dengan memasukkan harga K :

$$P_{n,x} = K \times A_g \times f_{c'}$$

$$P_{n,y} = K \times A_g \times f_{c'}$$

Perhitungan kelangsungan kolom :

$$k \times \frac{L_u}{r}$$

dimana :

- k = faktor tekuk

- r = radius girasi ($\sqrt{I/A}$), pada komponen struktur tekan persegi boleh diambil sama dengan $0,3 \times h$. Pada komponen struktur kolom bulat $0,25 \times d$

- L_u = tinggi bersih dari komponen struktur tekan.

Berdasarkan SKSNI '91 pasal 3.3.11.2 (1-2), komponen struktur tekan dibedakan menjadi dua :

- Struktur dengan pengaku (*Braced Frame*)

Faktor panjang efektif k harus diambil sama dengan 1, kecuali bila analisa menunjukkan bahwa suatu nilai yang lebih kecil boleh digunakan.

- Struktur tanpa pengaku (*Unbraced Frame*)

Faktor tekuk (k) harus ditentukan dengan mempertimbangkan pengaruh dari keretakan dan tulangan terhadap kekakuan relatif dengan bantuan *nomogram* (grafik alignment) dengan prosedur pemakaian grafik sebagai berikut :

$$\mu = \frac{\sum \frac{EI}{L_{kolom}}}{\sum \frac{EI}{L_{balok}}}$$

dimana :

$$EI_{balok} = 0,5 \times 4700 \times \sqrt{fc'} \times \left(\frac{1}{12} \times b \times h^3 \right)$$

$$EI_{kolom} = \frac{\left(Ec \times \frac{1}{12} \times b \times h^3 \right) / 2,5}{1 + \beta_d}$$

$$\beta_d = \frac{1,2 D}{1,2 D + 1,6 D}$$

Faktor tekuk (k) merupakan fungsi dari :

tingkat penjepitan ujung atas (μ_A) dan tingkat penjepitan ujung bawah (μ_B)

Nilai dari faktor tekuk (k) dapat diperoleh dari nomogram dari "Structural Stability Research Council Guide" dengan nilai μ_A dan μ_B

Pada perletakan Jepit (μ) = 1

Batasan perbandingan kelangsungan kolom pendek

Pengaruh kelangsungan dapat diabaikan jika memenuhi syarat-syarat sebagai berikut (SKSNI-T-15-1991-03 pasal 3.3.11.4) :

a. Portal dengan pengaku (*braced*) :

$$\frac{K \times L_u}{r} < 34 - 12 \times \frac{M_{1b}}{M_{2b}}$$

b. Portal tanpa pengaku (*unbraced*) :

$$\frac{K \times L_u}{r} < 22$$

dengan :

$$[M_{1b}] > [M_{2b}]$$

$\frac{M_{1b}}{M_{2b}}$, bernilai positif untuk kelengkungan tunggal

- Bila bidang momen lentur mempunyai momen maksimum tidak pada ujung maka nilai $\frac{M1b}{M2b}$ diambil = 1
- Juga bila pada kedua ujung tidak ada atau tidak diketahui besar momennya maka nilai $\frac{M1b}{M2b}$ diambil = 1

Perhitungan kolom panjang (bahaya tekuk)

Untuk komponen struktur tekan dimana pengaruh kelangsungan tidak boleh diabaikan dan $\frac{k \times L_u}{r} < 100$, struktur tersebut boleh diperhitungkan dengan metode pembesaran momen pada SKSNI '91 pasal 3.3.11.5 :

- Metode Pembesaran momen

a. Untuk *braced frame*

$$\text{rumus : } M_c = \delta_b \times (M_{1b} + M_{2b})$$

$$M_c = \delta_b \times M_u$$

Catatan :

Pada *braced frame* tidak perlu dipisahkan antara momen yang menimbulkan *sideway* atau tidak.

b. Untuk *unbraced frame*

$$\text{rumus : } M_c = \delta_b \times M_{2b} + \delta_s \times M_{2s}$$

dengan :

M_c = Momen rencana kolom setelah diperbesar

M_{2b} = Momen berfaktor terbesar pada ujung kolom akibat beban gravitasi

M_{2s} = Momen berfaktor terbesar pada ujung kolom akibat beban yang menimbulkan goyang ke samping seperti beban gempa

$$\delta_b = \frac{C_m}{1 - \frac{P_u}{\phi \times P_c}} \geq 1,0$$

$$\delta_s = \frac{1}{1 - \frac{\sum M_u}{\phi \times \sum P_c}} \geq 1,0$$

$$P_c = \frac{\pi^2 \times EI}{(k \times L_n)^2}$$

C_m = faktor pembesaran momen, nilainya adalah sebagai berikut :

$$= 0,6 + \frac{0,4 \times M1b}{M2b} > 0,4$$

Pengertian ΣP_c dan ΣP_u adalah penjumlahan dari harga P_c dan P_u semua kolom dalam satu tingkat.

6.3.2. Contoh perhitungan kolom

Data kolom :

- Dimensi	= 60 x 60 cm	- Mutu beton ($f_{c'}$)	= 24,6 MPa
- h	= 4 m	- Mutu baja (f_y)	= 390 MPa
- hn	= 3,45 m	- Tulangan Utama	= D-22
- decking	= 40 mm	- Sengkang	= D-12

Arah X :

ME, $k_{(i+1)}$ bawah	= 215,08 KN-m
ME, $k_{(i-1)}$ atas	= -
ME, $k_{(i)}$ atas	= 87,15 KN-m
Mkap,b (-) kiri	= 698,574 KN-m
Mkap,b (+) kiri	= 587,869 KN-m
Mkap,b (-) kanan	= 698,574 KN-m
Mkap,b (+) kanan	= 587,869 KN-m

Arah Y :

ME, $k_{(i+1)}$ bawah	= 214,84 KN-m
ME, $k_{(i-1)}$ atas	= -
ME, $k_{(i)}$ atas	= 86,64 KN-m
Mkap,b (-) kiri	= 698,574 KN-m
Mkap,b (+) kiri	= 587,869 KN-m
Mkap,b (-) kanan	= 698,574 KN-m
Mkap,b (+) kanan	= 587,869 KN-m

a. Momen rencana kolom

arah X

$$\alpha_{k,bawah} = -$$

$$\alpha_{k,atas} = \frac{87,15}{87,15 + 215,08} = 0,29$$

arah Y

$$\alpha_{k,bawah} = -$$

$$\alpha_{k,atas} = \frac{86,64}{86,64 + 214,84} = 0,29$$

Momen rencana arah X (gempa memukul, 100% arah X dan 30% arah Y) :

$$\begin{aligned} Mu_{k(x)} \text{ bawah} &= 0,7 \times 1,3 \times \frac{3,45}{4} \times \\ &\left[\left(\frac{6,5}{5,9} \times (698,574 + 587,869) \right) + 0,3 \left(\frac{6,5}{5,9} \times (698,574 + 587,869) \right) \right] \\ &= 1446,091 \text{ KN-m} \end{aligned}$$

$$\begin{aligned} Mu_{k(x)} \text{ atas} &= 0,7 \times 1,3 \times \frac{3,45}{4} \times 0,29 \times \\ &\left[\left(\frac{6,5}{5,9} \times (698,574 + 587,869) \right) + 0,3 \left(\frac{6,5}{5,9} \times (698,574 + 587,869) \right) \right] \\ &= 416,990 \text{ KN-m} \end{aligned}$$

Momen rencana arah Y (gempa memukul, 100% arah Y dan 30% arah X) :

$$\begin{aligned} Mu_{k(y)} \text{ bawah} &= 0,7 \times 1,3 \times \frac{3,45}{4} \times \\ &\left[0,3 \left(\frac{6,5}{5,9} \times (698,574 + 587,869) \right) + \left(\frac{6,5}{5,9} \times (698,574 + 587,869) \right) \right] \\ &= 1446,091 \text{ KN-m} \end{aligned}$$

$$\begin{aligned} Mu_{k(y)} \text{ atas} &= 0,7 \times 1,3 \times \frac{3,45}{4} \times 0,29 \times \\ &\left[0,3 \left(\frac{6,5}{5,9} \times (698,574 + 587,869) \right) + \left(\frac{6,5}{5,9} \times (698,574 + 587,869) \right) \right] \\ &= 416,990 \text{ KN-m} \end{aligned}$$

Keadaan di atas dari segala hal harus lebih kecil dari :

$$\begin{aligned} Mu,k-x &= 1,05 \times (0 + 0 + 4/1 \times (275,71 + 0,3 \times 274,89)) \\ &= 1504,343 \text{ KN-m} \end{aligned}$$

$$\begin{aligned} Mu,k-y &= 1,05 \times (0 + 0 + 4/1 \times (0,3 \times 275,71 + 274,89)) \\ &= 1501,933 \text{ KN-m} \end{aligned}$$

Jadi momen rencana kolom :

$$Mu,k - x \text{ atas} = 416,990 \text{ KN-m} < Mu,k \text{ max - x atas}$$

$$Mu,k - x \text{ bawah} = 1446,091 \text{ KN-m} < Mu,k \text{ max - x bawah}$$

$$Mu,k - y \text{ atas} = 416,990 \text{ KN-m} < Mu,k \text{ max - y atas}$$

$$Mu,k - y \text{ bawah} = 1446,091 \text{ KN-m} < Mu,k \text{ max - y bawah}$$

b. Gaya aksial kolom

$$\begin{aligned} Ng_{kolom} &= N_D + N_{Lr} \\ &= 2440,87 + 1608,08 = 4048,95 \text{ KN} \end{aligned}$$

$$N_{E,kolom} = 12,73 \text{ KN}$$

Gaya aksial rencana arah X (gempa memukul 100% arah X dan 30% arah Y) :

$$Rv = 1,1 - 0,025 \times 9 = 0,875$$

$$\begin{aligned} Nu,k-x &= 0,7 \times 0,875 \times \left[\left(\frac{698,574 + 698,574}{6,5} \right) - \left(\frac{587,869 + 587,869}{6,5} \right) \right] + \\ &\quad \left[0,3 \left(\left(\frac{698,574 + 698,574}{6,5} \right) - \left(\frac{587,869 + 587,869}{6,5} \right) \right) \right] + 1,05 \times 4048,95 \\ &= 4278,520 \text{ KN} \end{aligned}$$

Gaya aksial rencana arah Y (gempa memukul 100% arah Y dan 30% arah X) :

$$\begin{aligned} Nu,k-y &= 0,7 \times 0,875 \times \left[0,3 \left(\frac{698,574 + 698,574}{6,5} \right) - \left(\frac{587,869 + 587,869}{6,5} \right) \right] \\ &\quad + \left[\left(\frac{698,574 + 698,574}{6,5} \right) - \left(\frac{587,869 + 587,869}{6,5} \right) \right] + 1,05 \times (4048,95) \\ &= 4278,520 \text{ KN} \end{aligned}$$

Keadaan di atas dari segala hal harus lebih kecil dari :

$$\begin{aligned}N_{u,k-x} &= 1,05 \times [4048,95 + 4/1 \times (346,13 + 0,3 \times 346,13)] \\&= 6742,413 \text{ KN}\end{aligned}$$

$$\begin{aligned}N_{u,k-y} &= 1,05 \times [4048,95 + 4/1 \times (0,3 \times 346,13 + 346,13)] \\&= 6742,413 \text{ KN}\end{aligned}$$

Jadi gaya aksial rencana kolom :

$$N_{u,k-x \text{ atas}} = 4278,520 \text{ KN-m} < N_{u,k \text{ max - x}}$$

$$N_{u,k-y \text{ atas}} = 4278,520 \text{ KN-m} < N_{u,k \text{ max - y}}$$

c. Penulangan lentur kolom

- Ukuran kolom = 60 x 60 cm
- Mutu beton K-300, $f_c' = 24,6 \text{ MPa}$
- Mutu baja tulangan U 39 , $f_y = 390 \text{ MPa}$
- Decking = 40 mm
- Tulangan utama = D-22
- Tulangan sengkang = D-12
- $d' = 40 + 12 + 22/2 = 63 \text{ mm}$
- $d = 600 - 63 = 537 \text{ mm}$

Jenis kolom pada gedung ini adalah "brace frame", karena struktur memiliki *shearwall* sebagai pengaku, oleh sebab itu tidak perlu adanya pemisahan antara momen yang menentukan goyangan (M1b) atau (M2b) cukup M2.

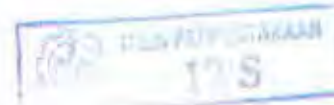
- Cek perbandingan kelangsungan :

$$k = 1 \dots \dots \dots \text{ SK SNI '91 pasal 3.3.11.2.(1)}$$

$$L_n = 345 \text{ cm}$$

$$r = 0,3 \times h = 0,3 \times 60$$

$$= 18 \text{ cm}$$



$$k \times \frac{\ln}{r} = 1 \times \frac{34,5}{18} \\ = 19,2$$

Batasan kolom pendek :

$$k \times \frac{\ln}{r} \leq 34 - 12 \times \frac{M_{1b}}{M_{2b}} \\ \leq 34 - 12 \times 1 \\ 19,2 \leq 22 \rightarrow \text{Kolom pendek}$$

Karena termasuk kolom pendek jadi tidak ada bahaya tekuk.

- Rencana tulangan perlu kolom

$$Mu = 1446,091 \text{ KN-m}$$

$$Pu = 4278,520 \text{ KN}$$

$$K = \frac{Pu}{fc' \times Ag} = \frac{4278520}{24,6 \times 600^2} = 0,48$$

$$K = \frac{Mu}{fc' \times Ag \times b} = \frac{1446091000}{24,6 \times 600^2 \times 600} = 0,27$$

Dari diagram interaksi M - N non dimensi didapat nilai $\rho = 0,025$

$$As = \rho \times Ag$$

$$= 0,025 \times 600^2$$

$$= 9000 \text{ mm}^2 \rightarrow \text{pakai tulangan 24 D22 (As} = 9290 \text{ mm}^2)$$

- Kontrol dengan *Bressler Resiprokal* :

$$P_{no} = 0,85 \times [24,6 \times (600^2 - 9290) + 9290 \times 390]$$

$$= 10412981,1 \text{ N}$$

$$\rho_{\text{aktual}} = \frac{As}{b \times d} = \frac{9290}{600 \times 600} = 0,026 \text{ (2,6\%)} < 0,08 \text{ (8\%)}$$

Arah sumbu X

$$ex = \frac{Mu, k - x}{Pu} = \frac{1446091000}{4278520} = 337,989 \text{ mm}$$

$$\frac{e - x}{h} = \frac{337,989}{600} = 0,563$$

dari diagram interaksi M-N non dimensi didapat :

$$K = \frac{P_{no} - x}{Ag \times fc'} = 0,59$$

$$Po,x = 600^2 \times 0,59 \times 24,6 = 5225040 \text{ N}$$

$$Pn,x = \frac{5225040}{0,65} = 8038523 \text{ N}$$

Arah sumbu Y

$$ey = \frac{Mu, k - y}{Pu} = \frac{1446091000}{4278520} = 337,989 \text{ mm}$$

$$\frac{e - y}{h} = \frac{337,989}{600} = 0,563$$

dari diagram interaksi M-N non dimensi didapat :

$$K = \frac{Po - y}{fc' \times Ag} = 0,59$$

$$Po,y = 24,6 \times 600^2 \times 0,59 = 5225040 \text{ N}$$

$$Pn,y = \frac{5225040}{0,65} = 8038523 \text{ N}$$

Jadi :

$$\frac{1}{Pn} = \frac{1}{8038523} + \frac{1}{8038523} - \frac{1}{10412981,1}$$

$$Pn = 6545875,74 \text{ N} > \frac{Pu}{0,85} = 5033553 \text{ N} \quad \dots\dots\dots \text{ oke !}$$

6.3.3. Perencanaan kolom terhadap geser

a. Gaya geser rencana kolom

Gaya geser rencana V_u harus ditentukan berdasarkan persamaan berikut (SK

SNI '91 pasal 3.14.7-1.2) :

$$V_{u,k} = \frac{M_{u,ka} + M_{u,kb}}{hn}$$

tetapi tidak perlu lebih besar dari :

$$V_{u,k} = 1,05 \times (V_{D,k} + V_{L,k} + 4/1 \times V_{E,k})$$

dimana :

$M_{u,ka}$ = Momen rencana kolom pada ujung atas kolom pada bidang muka balok

$M_{u,kb}$ = Momen rencana kolom pada ujung bawah kolom pada bidang muka balok

hn = tinggi bersih dari kolom yang ditinjau.

Akan tetapi pada lantai dasar dan lantai paling atas yang memperbolehkan terjadinya sendi plastis pada kolom, gaya geser rencana kolom dihitung berdasarkan momen kapasitas dari kolom.

$$V_{u,k} (\text{antai dasar}) = \frac{M_{u,ka} \text{ lantai 1} + M_{kap,k} \text{ lantai 1}}{hn}$$

$$V_{u,k} (\text{lantai atas}) = \frac{1}{hn} \times (2 \times M_{kap,k} \text{ lantai atas})$$

b. Konsep geser nominal

$$V_n = V_c + V_s = \frac{V_{u,k}}{\phi}$$

SK SNI '91 Pasal 3.14.7-2.2.1 menjelaskan bahwa asumsi nilai $V_c = 0$ untuk lokasi berpotensi sendi plastis. Untuk daerah diluar sendi plastis kontribusi V_c tetap diperhitungkan dengan rumus sebagai berikut :

$$V_c = \left(1 + \frac{N_u}{14 \times A_g} \right) \times \left(\frac{\sqrt{f_{c'}}}{6} \right) \times b_w \times d \quad \dots \dots \quad \text{SK SNI '91 3.4.3-1.2}$$

dengan :

N_u = gaya aksial minimum yang terjadi pada kolom yang ditinjau.

Kuat geser yang dipikul tulangan geser :

$$V_s = V_n - V_c$$

c. Tulangan tranversal

Pada SK SNI '91 pasal 3.14.4-4.2 menjelaskan bahwa tulangan tranversal pada daerah sendi plastis potensial harus dipasang dengan spasi tidak melebihi :

- dimensi kolom terkecil
- 8 kali diameter tulangan memanjang
- 100 mm.

Pada SK SNI '91 pasal 3.14.4-4.4 menjelaskan bahwa tulangan tranversal ini dipasang sepanjang lo dari muka yang ditinjau. Panjang lo tidak boleh kurang dari :

- Tinggi komponen dimensi struktur untuk :

$$N_{u,k} \leq 0,3 \times A_g \times f'_c$$

- 1,5 kali tinggi komponen dimensi struktur untuk :

$$N_{u,k} > 0,3 \times A_g \times f'_c$$

- bentang bersih dari komponen struktur.

- 450 mm

d. Mencari momen nominal aktual

Cara perhitungan momen nominal aktual untuk kolom ataupun momen kapasitas kolom adalah sama dengan perhitungan momen kapasitas untuk balok induk.

Contoh perhitungan tulangan geser :

Untuk tulangan 24 D22 dari diagram interaksi M-N non dimensi didapat nilai :

$$\frac{M_u}{f'_c \times A_g \times h} = 0,26$$

$$\text{sehingga } M_u, k = 0,26 \times 24,6 \times 600^2 \times 600$$

$$= 1381536000 \text{ N-mm}$$

$$\begin{aligned}M_{kap, kb} &= 1,25 \times 1381536000 \\&= 1726920000 \text{ N-mm}\end{aligned}$$

$$\begin{aligned}V_{u,k} &= \frac{Mu,ka + M_{kap, kb}}{hn} \\&= \frac{416990000 + 1726920000}{345} \\&= 6214231 \text{ N}\end{aligned}$$

tidak boleh melebihi :

$$\begin{aligned}V_{u,k \max} &= 1,05 \times (3970 + 2060 + 4/1 \times (90690 + 0,3 \times 90370)) \\&= 501096 \text{ N}\end{aligned}$$

$$V_u \text{ yang dipakai} = 501096 \text{ N}$$

Penulangan geser kolom lantai dasar :

- Untuk daerah plastis :

$$V_s = \frac{V_u}{\phi} = \frac{501096}{0,65} = 770916 \text{ N}$$

$$S = \frac{2 \times 113,097 \times 390 \times 537}{770916} = 61 \text{ mm} < 100 \text{ mm} \quad \dots \dots \text{ oke}$$

dipakai tulangan sengkang D12 - 60

- Untuk luar daerah plastis :

Dengan memperhitungkan geser beton :

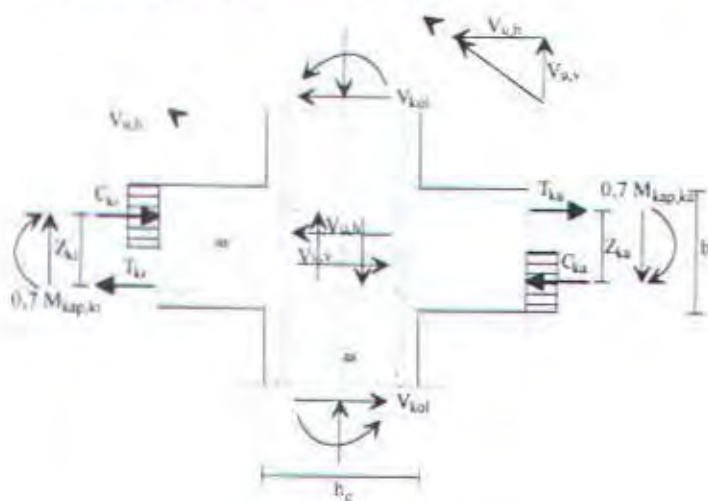
$$\begin{aligned}V_c &= \left(\frac{1}{6} \times \sqrt{24,6} \times \left(1 + \frac{4278520}{14 \times 600^2} \right) \right) \times 600 \times 537 \\&= 288953,6 \text{ N}\end{aligned}$$

$$V_s = 770916 - 288953,6 = 481962,4 \text{ N}$$

$$S = \frac{2 \times 113,097 \times 390 \times 537}{481962,4} = 98,29 \text{ mm} < 450 \text{ mm} \quad \dots \dots \text{ oke !}$$

dipakai tulangan sengkang D12 - 90

6.4. Perencanaan pertemuan balok dan kolom



Contoh perhitungan :

- data balok :

$$\text{dimensi balok : } b = 350 \text{ mm} \quad L_{,ka} = L_{,ki} = 6,5 \text{ m}$$

$$h = 550 \text{ mm} \quad L'_{,ka} = L'_{,ki} = 5,9 \text{ m}$$

Arah X

$$M_{kap, ki} = 698,574 \text{ N-m}$$

$$M_{kap, ka} = 587,869 \text{ KN-m}$$

Arah Y

$$M_{kap, ki} = 698,574 \text{ KN-m}$$

$$M_{kap, ka} = 587,869 \text{ KN-m}$$

$$Z_{,ki} - x, y = Z_{,ka} - x, y = d - \frac{T}{2 \times 0,85 \times f_{c'} \times b}$$

$$= 488,5 - \frac{2579 \times 390}{2 \times 0,85 \times 24,6 \times 350} = 419,8 \text{ mm}$$

- data kolom

$$h_{,ka} = 4,00 \text{ m}$$

$$h_{,kb} = 4,00 \text{ m}$$

$$N_{u,k} = 4278,520 \text{ KN}$$

Analisa gaya-gaya join :

Arah X

$$V_{kol} = \frac{0,7 \left(\frac{l_{ki}}{l_{ki,n}} M_{kap,ki} + \frac{l_{ki}}{l_{ki,n}} M_{kap,ka} \right)}{0,5 (hk.a + hk.b)}$$

$$= \frac{0,7 \left(\frac{6,5}{5,9} \times 698,574 + \frac{6,5}{5,9} \times 587,869 \right)}{0,5 \times (4+4)} = 248,022 \text{ KN}$$

$$C_{ki} = T_{ki} = 0,7 \times \frac{M_{kap,ki}}{Z_{ki}}$$

$$= 0,7 \times \frac{698,574}{0,4198} = 1164,892 \text{ KN}$$

$$C_{ka} = T_{ka} = 0,7 \times \frac{M_{kap,ka}}{Z_{ka}}$$

$$= 0,7 \times \frac{587,869}{0,4198} = 980,287 \text{ KN}$$

$$V_{jh-x} = C_{ki} + C_{ka} - V_{kol-x}$$

$$= 1164,892 + 980,287 - 248,022 = 1897,157 \text{ KN}$$

Arah Y

$$V_{kol} = \frac{0,7 \left(\frac{l_{ki}}{l_{ki,n}} M_{kap,ki} + \frac{l_{ki}}{l_{ki,n}} M_{kap,ka} \right)}{0,5 (hk.a + hk.b)}$$

$$= \frac{0,7 \left(\frac{6,5}{5,9} \times 698,574 + \frac{6,5}{5,9} \times 587,869 \right)}{0,5 \times (4+4)} = 248,022 \text{ KN}$$

$$C_{ki} = T_{ki} = 0,7 \times \frac{M_{kap,ki}}{Z_{ki}}$$

$$= 0,7 \times \frac{698,574}{0,4198} = 1164,892 \text{ KN}$$

$$\begin{aligned} C_{,ka} &= T_{,ka} = 0,7 \times \frac{M_{kap,ka}}{Z_{,ka}} \\ &= 0,7 \times \frac{587,869}{0,4198} = 980,287 \text{ KN} \end{aligned}$$

$$\begin{aligned} V_{jh-y} &= C_{,ki} + C_{,ka} - V_{kol-y} \\ &= 1164,892 + 980,287 - 248,022 = 1897,157 \text{ KN} \end{aligned}$$

Karena $V_{jh,x} = V_{jh,y} \rightarrow$ diambil salah satu arah X atau arah Y

$$V_{jv} = \frac{bj}{hc} \times V_{jh} = \frac{600}{600} \times 1897,157 = 1897,157 \text{ KN}$$

Kontrol tegangan yang terjadi

$$\begin{aligned} v_{jh} &= \frac{V_{jh}}{bj \times hc} \leq 1,5 \times \sqrt{f_{c'}} \\ &= \frac{1897157}{600 \times 600} = 5,27 \text{ MPa} \leq 1,5 \times \sqrt{24,6} = 7,44 \text{ MPa} \quad \dots \dots \dots \text{ oke !} \end{aligned}$$

Penulangan geser join balok kolom :

$$N_{u,k} = 4278,520 \text{ KN}$$

$$\frac{N_{u,k}}{Ag} = \frac{4278,520}{600 \times 600} = 11,88 \text{ MPa} > 0,1 \times 24,6 = 2,46 \text{ MPa} \quad \dots \dots \dots \text{ oke !}$$

a. Perhitungan tulangan geser horisontal

$$\begin{aligned} V_{ch} &= \frac{2}{3} \times \sqrt{\left(\frac{N_{u,k}}{Ag} - 0,1 \times f_{c'} \right)} \times bj \times hc \\ &= \frac{2}{3} \times \sqrt{\left(\frac{4278520}{600 \times 600} - 0,1 \times 24,6 \right)} \times 600 \times 600 = 736795,26 \text{ N} \end{aligned}$$

$$\begin{aligned} V_{sh} &= V_{jh} - V_{ch} \\ &= 1897157 - 736795,26 = 1160362,85 \text{ N} \end{aligned}$$

$$A_{jh} = \frac{V_{sh}}{f_y} = \frac{1160362,85}{390} = 2975,29 \text{ mm}^2$$

digunakan sengkang D12, $A_{st} = 113,097 \text{ mm}^2$

Rencana dipakai sengkang rangkap 4, tulangan D12 ($A_s \text{ ada} = 452,4 \text{ mm}^2$)

Jumlah lapis sengkang (n) :

$$n = \frac{2975,29}{425,4} = 6,58 \approx 7 \text{ lapis}$$

b. Tulangan geser vertikal

$$\begin{aligned} V_{cv} &= V_{jh} \times \left(0,6 + \frac{N_u, k}{f'_c \times A_g} \right) \\ &= 1897157 \times \left(0,6 + \frac{4278520}{24,6 \times 600 \times 600} \right) \\ &= 2054851,87 \text{ N} \end{aligned}$$

$$\begin{aligned} V_{sv} &= V_{jh} - V_{cv} \\ &= 1897157 - 2054851,87 = -157694,76 \text{ N} \end{aligned}$$

$V_{cv} > V_{jv}$ (nilai negatif) → Jadi tidak perlu tulangan geser vertikal atau sudah terwakili dengan kekuatan tulangan vertikal dari kolom

6.5. Perencanaan dinding geser

6.5.1. Umum

Shearwall dalam gedung berguna untuk menahan gaya geser dan momen-momen yang terjadi akibat gaya lateral. Perancangan *shearwall* berdasarkan SK SNI '91 bab 3.3 sebagai struktur pemikul beban lentur dan aksial serta sebagai struktur dinding. Semua *shearwall* harus dirancang berdasarkan ketentuan yang berlaku kecuali bila resultan dari seluruh beban berfaktor terletak di dalam daerah segitiga, tebal dinding dapat dirancang dengan metode perancangan empirik (SK SNI '91 pasal 3.7.5.1).

6.5.2. Kuat beban aksial rancang

Kuat beban aksial rancang ϕP_{nw} berdasarkan SKSNI '91 pasal 3.7.5.2 pers. 3.7.1 :

$$\phi P_{nw} = 0,55 \times \phi \times f'_c \times A_g \times \left(1 - \left(\frac{k \times L_e}{32 \times h} \right)^2 \right)$$

dimana :

$$\phi = 0,70$$

$$k = 0,8 \text{ (dikekang pada salah satu ujungnya)}$$

L_e = jarak vertikal antara dua tumpuan

h = tebal dinding

6.5.3. Perencanaan kekuatan lentur *shearwall* tinggi

Penulangan lentur pada dinding geser (*shearwall*) ini diberikan pada ujung-ujung dinding geser dengan memberi penebalan tulangan di daerah ujung dinding geser, ini dimaksudkan untuk menjamin daktilitas dan kekuatan

Kekuatan lentur dinding geser :

$$M_u = 0,5 \times A_s \times f_y \times L_w \times \left(1 + \frac{N_u}{A_s \times f_y} \right) \times \left(1 - \frac{c}{L_w} \right)$$

atau

$$M_u = A_s \times f_y \times L$$

setelah ditaksir A_s dan t , maka :

$$a = \frac{A_s \times f_y}{0,85 \times f'_c \times b} \rightarrow L = L_w - \frac{t+a}{2}$$



Gambar 6-3. Rencana penulangan lentur *shearwall*

6.5.4. Perencanaan kuat geser

bila, $\frac{P_u}{A_g} < 0,2 \times f'_c \rightarrow$ dan di sendi plastis kontribusi beton diabaikan dan dipasang tulangan horisontal $\rightarrow 0,25\%$

Kuat geser rencana bagi dinding geser pada penampang dasar sehubungan dengan adanya pembesaran dinamis :

$$V_{u,d} = \omega_d \times 0,7 \times \frac{M_{kpl,d}}{M_{E,d} \text{ max}} \times V_{E,\text{ max}} \quad (\text{SK SNI 3.14.7 butir 3})$$

di sendi plastis :

$$V = \frac{V_n}{b \times d}$$

$$\text{perlu tulangan } A_s \text{ horisontal} = \frac{V_n \times b_w \times S}{f_y}$$

- kuat geser yang disumbangkan oleh beton :

Perencanaan geser harus dilakukan berdasarkan SK SNI '91 pasal 4.10, dimana dinyatakan bahwa :

- Kuat geser V_n pada sebarang penampang horisontal terhadap geser bidang dinding tidak boleh lebih besar dari $\left(\frac{5}{6} \times \sqrt{f'_c} \times h \times d\right)$
- Untuk kuat geser V_c diambil dari nilai terkecil dari persamaan di bawah ini (SK SNI '91 pasal 3.4.10.6) :

$$V_c = \left(\frac{\sqrt{f'_c}}{4} \right) \times h \times d + \frac{N_u \times d}{4 \times l_w}$$

atau

$$V_c = \left(\left(\frac{\sqrt{f'_c}}{2} + \frac{l_w \left(\sqrt{f'_c} + 2 \left(\frac{N_u}{l_w h} \right) \right)}{\frac{M_u}{V_u} - \frac{l_w}{2}} \right) \div 10 \right) \times h \times d$$

dimana :

l_w = panjang horisontal dinding

$d = 0,8 l_w$ (SK SNI '91 pasal 3.4.10.4)

tidak berlaku jika $\left(\frac{M_u}{V_u} - \frac{l_w}{2} \right)$ bernilai negatif, sedangkan V_c sendiri tidak boleh lebih dari $\left(\frac{\sqrt{f'_c}}{6} \right) \times h \times d$ (SK SNI '91 pasal 3.4.10.5)

Tugas Akhir

- Rasio tulangan geser horisontal (ρ_h) tidak boleh kurang dari 0,0025 dengan spasi (s_1) tidak boleh lebih dari $\frac{lw}{5}$ atau 500 mm. (SK SNI '91 pasal 3)
- Rasio tulangan geser vertikal terhadap luas bruto penampang horisontal beton tidak boleh kurang dari ρ_v . (SK SNI '91 pasal 3.4.10.9.4)
$$\rho_v = 0,0025 + 0,5 \left(2,5 - \frac{hw}{lw} \right) \times (\rho_v - 0,0025)$$
 (SK SNI '91 pasal 3.4.10.5)
ataupun 0,0025 tetapi tidak harus lebih besar dari tulangan perlu dengan spasi (s_1) tidak boleh lebih dari $\frac{lw}{3}$, 3h atau 500 mm.

Selain itu perlu diperhatikan syarat-syarat penulangan untuk struktur dengan tingkat daktilitas penuh.

Syarat-syarat penulangan pada dinding geser :

1. Dalam segala hal tidak boleh kurang dari persyaratan untuk struktur tingkat daktilitas
2. Dimensi tulangan $< \frac{1}{10} d$
3. Untuk dinding dengan tebal $d \geq 200$ mm, maka di setiap arah harus di pasang 2 lapis tulangan. (SK SNI '91 pasal 3.14.9.7.2b)

Persyaratan di atas bertujuan untuk :

- Melindungi kerusakan beton akibat adanya beban tertukar terutama pada keadaan *inelastic*.
 - Mengendalikan lebar retak yang akan timbul pada dinding karena penyebaran tulangan lebih merata sepanjang dan setinggi segitiga dinding tersebut.
4. Jarak antar tulangan vertikal
 - ≤ 200 mm, dalam daerah ujung
 - ≤ 300 mm, diluar daerah ujung(SK SNI '91 pasal 3.14.9.7.3f)
 5. Jarak antar tulangan horisontal
 - ≤ 200 mm, untuk daerah ujung
 - $\leq 3 d$ atau
 - $\leq \frac{ld}{5}$ atau
 - ≤ 450 mm, untuk daerah luar ujung (ambil yang terkecil) (SK SNI '91 pasal 3.14.9.7.3h)

Keterangan :

panjang daerah ujung adalah :

- ld
- $\frac{hd}{6}$, maksimum 2 ld

dari ketiga syarat tersebut ambil yang terbesar (SK SNI '91 pasal 3.14.9.7.3i)

Sehingga bila dalam perhitungan tidak memenuhi syarat seperti tersebut di atas maka penulangannya harus mengikuti syarat-syaratnya.

Dinding geser dirancang sedemikian rupa sehingga memenuhi batasan-batasan dari Standart Beton 1991, dimana daya dukung aksial dinding ditentukan dengan metoda perencanaan empirik.

6.5.5. Contoh perhitungan penulangan dinding geser :

Langkah-langkah perhitungan penulangan dinding geser dilakukan sebagai berikut :

$$P_u = 3769100 \text{ N}$$

$$V_u = 63842 \text{ N}$$

$$V_E = 115310 \text{ N}$$

$$M_u = 607020 \text{ N-m}$$

$$M_E = 956250 \text{ N-m}$$

Kuat beban aksial dinding geser :

$$\phi P_{nw} = 0,55 \times 0,7 \times 24,6 \times 300 \times 2500 \times \left[1 - \left(\frac{0,8 \times 4000}{32 \times 300} \right)^2 \right]$$
$$= 6314000 \text{ N} > 3769100 \text{ N} \quad \dots\dots\dots \text{oke !}$$

- Penulangan lentur dinding geser

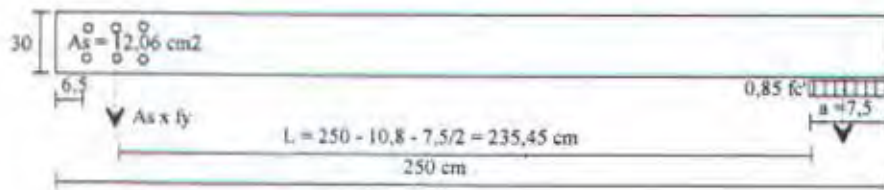
$$M_u = 607020 \text{ N-m}$$

$$M_n = \frac{607020}{0,8} = 758775 \text{ N-m}$$

Pendekatan pertama : misalkan $L = 200 \text{ cm}$

$$A_v = \frac{758775 \times 10^2}{39000 \times 200} = 9,73 \text{ cm}^2 \rightarrow \text{dipakai tulangan } 6 \text{ D16} = 12,06 \text{ cm}^2$$

$$a = \frac{12,06 \times 390}{0,85 \times 24,6 \times 30} = 7,5 \text{ cm}$$



$$M_{n_{akt}} = 12,06 \times 3900 \times 2,35$$

$$= 110742,059 \text{ kg-m} \approx 1107420,59 \text{ N-m} > 758775 \text{ N-m} \quad \dots \dots \dots \text{ oke !}$$

$$M_{kap,d} = 1107420,59 \times 1,25$$

$$= 1384275,74 \text{ N-m}$$

- Penulangan geser horisontal

Kuat geser yang disediakan beton :

sebagai pendekatan d diambil = 2000 mm

$$\begin{aligned} V_c &= \frac{\sqrt{24,6}}{4} \times 300 \times 2000 + \frac{3769100 \times 2000}{4 \times 2500} \\ &= 1237404 \text{ N} \end{aligned}$$

atau :

$$V_c = \left[\frac{\sqrt{24,6}}{2} + \frac{2500 \times (\sqrt{24,6} + 2 \times \frac{3769100}{2500 \times 300})}{\frac{6070200}{638420} - \frac{2500}{2}} \right]$$

Persamaan tersebut tidak berlaku bila :

$$\text{bernilai negatif, } \frac{607020}{63842} - \frac{2500}{2} = -1240 \text{ (nilai negatif)}$$

atau

Nilai V_c tidak boleh lebih besar dari :

$$\begin{aligned} V_c &= 5/6 \times \sqrt{24,6} \times 300 \times 2000 \\ &= 2479919 \text{ N} > 1237404 \text{ N} \quad \dots \dots \dots \text{ oke!} \end{aligned}$$

Penampang beton cukup kuat untuk menahan gaya geser maka cukup digunakan tulangan minimum (2D10, $A_s = 1,57 \text{ cm}^2$)

Beban geser maksimum pada dasar dinding geser :

$$V_{u,d} \text{ maks} = 1,3 \times 0,7 \times \frac{1384275,74}{956250} \times 115310 \\ = 151900,61 \text{ N}$$

$$V = \frac{151900,61}{30 \times (250 - 30)} = 2,3 \text{ kg/m}^2$$

jarak maksimum tulangan horisontal diambil = 20 cm

Luas tulangan horisontal :

$$A_{shorizonta} = \frac{2,3 \times 30 \times 20}{3900} = 0,35 \text{ cm}^2 \rightarrow \text{diambil tulangan horisontal berlapis dua (2 D10 = } 1,58 \text{ cm}^2\text{), dipasang setinggi Lw}$$

Jadi digunakan tulangan horisontal D10-200

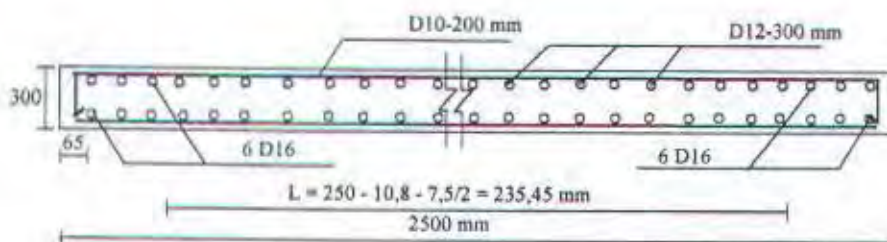
- Penulangan geser vertikal

Rasio ρ_n dari tulangan geser vertikal terhadap luas bruto penampang horisontal beton tidak boleh kurang dari 0,0025 :

$$\rho_n = 0,0025 + 0,5 \times \left(2,5 - \frac{4000}{2500} \right) \times (0,0011 - 0,0025) \rightarrow \text{karena nilai kecil, maka :}$$

$$A_{s \text{ vertikal}} = 0,0025 \times 300 \times 2000 = 1500 \text{ mm}^2$$

Jadi digunakan tulangan horisontal 2 lapis D12-300 ($A_s \text{ ada} = 1809,6$)



Gambar 6-4. Sket rencana penulangan dinding geser

BAB VII
PERENCANAAN PONDASI

BAB VII

PERENCANAAN PONDASI

7.1. Metode analisa

Perencanaan pondasi yang akan dibahas dalam bab ini meliputi : perencanaan jumlah tiang pancang yang diperlukan, perencanaan poer (*pile cap*) dan perencanaan sloof (*tie beam*). Dalam perencanaan pondasi terdapat dua jenis pondasi yang umum dipakai yaitu pondasi dangkal dan pondasi dalam. Pondasi dangkal dipakai untuk struktur dengan beban yang relatif kecil. Untuk struktur dengan beban yang besar seperti gedung yang berlantai banyak tidak cukup dengan memakai pondasi dangkal, melainkan harus memakai pondasi dalam. Macam-macam pondasi dalam adalah : pondasi tiang pancang, tiang bor (pondasi sumuran), pondasi *Caisson* dan lain-lainnya.

Pondasi pada gedung ini direncanakan dengan menggunakan pondasi tiang pancang yaitu tiang pancang produksi dari PT. WIJAYA KARYA (WIKA). Dalam perencanaan jumlah tiang pancang yang diperlukan akan digunakan data tanah hasil uji dari *Standard Penetration Test* (SPT).

7.2. Data tanah

Data-data tanah pada perencanaan pondasi ini diambil sesuai dengan penyelidikan tanah di lapangan. Adapun data yang telah tersedia di lapangan meliputi : data penyelidikan tanah hasil uji SPT dan Boring. Dengan demikian dapat diketahui jenis tanah yang ada dan jumlah pukulan pada hammer (SPT).

7.3. Perencanaan Jumlah Tiang Pancang

Gedung ini direncanakan menggunakan pondasi tiang pancang sebab jenis tanah di bawahnya adalah lempung lembek yang sangat kohesif, sehingga daya dukung berdasarkan kekuatan desak tanah saja tidak bisa diharapkan.

= 40 t/m², untuk tanah pasir

A_p = luas penampang ujung tiang

q_p = tegangan di ujung tiang

$$Q_s = q_s \times A_s = \left(\frac{N_s}{3} + 1 \right) \times A_s$$

q_s = tegangan akibat *frottement* lateral dalam t/m²

N_s = harga rata-rata sepanjang tiang yang tertanam dengan batasan :

$$3 \leq N \leq 50$$

A_s = keliling x panjang tiang

b. Hasil uji sondir

Menurut *mayerhof*, perhitungan daya dukung tiang berdasarkan data sondir harus memperhitungkan daerah tanah yang mengalami keruntuhan geser akibat penetrasi conus yaitu pada daerah 4D di bawah tiang dan 4D di atas tiang, dimana D = diameter tiang.

Penentuan harga *Conus* tidak diambil langsung dari harga *Conus* di ujung tetapi diambil rata-rata sepanjang daerah keruntuhan.

$$Q_c = C_n \text{ rata-rata ujung} \times A \text{ ujung}$$

Pengaruh lekatan tanah kohesif diperhitungkan sebagai kekuatan tambahan daya dukung tanah.

$$Q_s = O \times JHP$$

Daya dukung ultimate dari tiang yang berdiri sendiri didapat dari penjumlahan kedua di atas.

$$Q_u = Q_s + Q_c$$

Daya dukung ijin dari satu tiang yang berdiri sendiri adalah daya dukung tiang dibagi angka keamanan.

$$P_{ijin} 1 \text{ tiang} = \frac{Q_p}{sf_1} + \frac{Q_s}{sf_2}$$

Jadi daya dukung ijin satu tiang :

- Hasil uji SPT

$$P_{ijin} \text{ 1 tiang} = (\bar{N}_p \times K) \times A_p + \left(\frac{\bar{N}_s}{3} + 1 \right) \times A_s$$

- Hasil uji sondir

$$P_{ijin} \text{ 1 tiang} = \frac{A_{ujung\ tiang}}{3} + \frac{O \times JHP}{5}$$

7.3.3. Daya dukung tiang dalam kelompok

$$\bar{P}_{ult.} = \bar{P}_{ijin\ 1\ tiang} \times Eff(\eta)$$

Faktor effisiensi adalah : (menurut Los Angeles Group - Action formula)

$$eff.(\eta) = 1 - \frac{D}{\pi \times S \times m \times n} \times \left\{ m \times (n - 1) + n \times (m - 1) + \sqrt{2} \times (m - 1) \times (n - 1) \right\}$$

dimana :

D = diameter tiang (m)

m = jumlah baris

n = jumlah tiang dalam satu baris

7.3.4. Beban maksimum pada tiang akibat aksial dan momen

$$P_{maks} = \frac{\sum P_u}{n} + \frac{M_x \cdot X_{maks}}{\sum X^2} + \frac{M_y \cdot Y_{maks}}{\sum Y^2} \leq \bar{P}_{ult}$$

dimana :

P_{ult} = Daya dukung ijin tiang dalam kelompok

P_{maks} = Beban maksimum 1 tiang pancang

$\sum P_u$ = Jumlah total beban aksial

M_x = Momen yang terjadi pada arah X

M_y = Momen yang terjadi pada arah Y

X_{maks} = Absis terjauh terhadap titik berat kelompok tiang

Y_{maks} = Ordinat terjauh terhadap titik berat kelompok tiang

$\sum X^2$ = Jumlah dari kuadrat absis tiap tiang

$\sum Y^2$ = Jumlah dari kuadrat ordinat tiap tiang

7.3.5. Contoh perhitungan daya dukung tiang pancang

Untuk gaya-gaya dalam pada perencanaan pondasi digunakan momen kapasitas pada kolom. Untuk lebih jelasnya diambil contoh perhitungan perencanaan pondasi tiang pancang pada join 9 dengan data-data sebagai berikut :

$$P_u = 429,67 \text{ ton}$$

$$M_x = 25,62 \text{ ton-m}$$

$$M_y = 7,54 \text{ ton-m}$$

$$H_x = 2,198 \text{ ton}$$

$$H_y = 0,985 \text{ ton}$$

Menghitung daya dukung tiang pancang

Direncanakan menggunakan tiang pancang produksi PT. Wijaya Karya (WIKA) tipe 400 A2 dengan spesifikasi bahan sebagai berikut :

$$A_s = 4,62 \text{ cm}^2$$

$$M_{\text{crack}} = 9 \text{ ton-m}$$

$$A_c = 765,77 \text{ cm}^2$$

$$M_{\text{ult.}} = 8,25 \text{ ton-m}$$

$$W = 5405,79 \text{ cm}^3$$

$$P_{ijin} 1 \text{ tiang} = 112,87 \text{ ton}$$

$$D = 400 \text{ mm} = 40 \text{ cm}$$

a. Berdasarkan hasil uji SPT (*Standard Penetration Test*)

Dari grafik perhitungan daya dukung ijin 1 tiang pancang hasil SPT maka direncanakan kedalaman pemancangan tiang pancang (z) = 19 meter, dimana :

Menurut *Luciano Decourt* :

$$Q_u = Q_p + Q_s$$

$$Q_p = q_p \times A_p = (N_p \times K) \times A_p$$

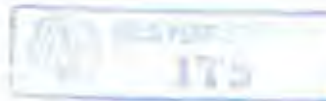
$$N_p = \frac{31 + 36 + 33}{3} = 33,33 \text{ blow/feet}$$

$$\text{dimana : } A_p = 1/4 \times \pi \times B^2 = 1/4 \times 3,14 \times 0,4^2 = 0,126 \text{ m}^2$$

$$Q_s = q_s \times A_s = (N_s/3 + 1) \times A_s$$

$$N_s = \frac{1 + 1 + 26 + 36}{4} = 16 \text{ blow/feet}$$

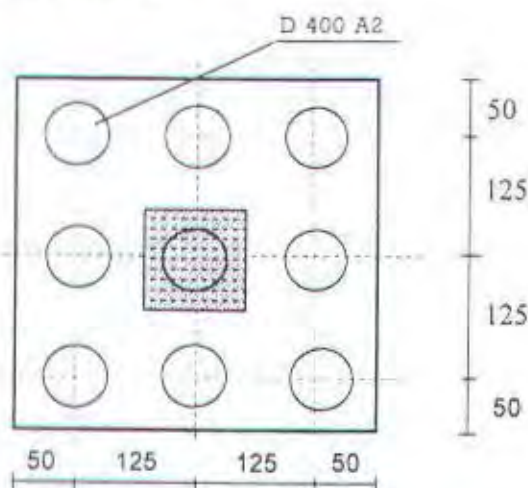
$$\text{dimana : } \pi \times B \times L = 3,14 \times 0,4 \times 19 = 23,864 \text{ m}^2$$



$$\begin{aligned}
 P_{\text{int}} \text{ 1 tiang} &= \frac{(N_p \times K)}{2} + \frac{(N_s/3 + 1) \times A_s}{3} \\
 &= \frac{(33,33 \times 25)}{2} + \frac{(16/3 + 1) \times 23,864}{3} \\
 &= 102,87 \text{ ton}
 \end{aligned}$$

$$P_{\text{int}} \text{ 1 tiang} = 102,87 \text{ ton} < P_{\text{int}}, \text{bahan tiang type 400 A2} = 112,87 \quad \dots \text{oke!}$$

b. Perencanaan jumlah tiang pancang



Gambar 7-1. Rencana jumlah tiang pancang

Mencari effesiensi : (menurut Los Angeles Group - Action formula)

$$\begin{aligned}
 \text{eff. } (\eta) &= 1 - \frac{D}{\pi \times S \times m \times n} \times \left\{ m \times (n - 1) + n \times (m - 1) + \sqrt{2} \times (m - 1) \times (n - 1) \right\} \\
 &= 1 - \frac{40}{\pi \times 1,25 \times 3 \times 3} \times \left\{ 3 \times (3 - 1) + 3 \times (3 - 1) + \sqrt{2} \times (3 - 1) \times (3 - 1) \right\} \\
 &= 0,80017
 \end{aligned}$$

$$P_{\text{int}} \text{ 1 tiang pancang} = 0,80017 \times 112,87 = 90,31 \text{ ton}$$

$$\text{Ukuran poer (pile cap)} = 350 \times 350 \times 125 \text{ cm} \quad (\text{Berat jenis beton} = 2400 \text{ kg/m}^3)$$

Gaya normal rencana :

$$\begin{array}{lll}
 \text{- beban bangunan + gempa} & = & 429,67 \text{ ton} \\
 \text{- berat poer} = 3,5 \times 3,5 \times 1,25 \times 2,400 & = & 36,75 \text{ ton} \\
 \text{berat total} & = & 466,42 \text{ ton}
 \end{array}$$

Beban maksimum tiang :

$$\begin{aligned}
 P_{\max} &= \frac{\sum P}{n} + \frac{M_x \cdot X_{\max}}{\sum X^2} + \frac{M_y \cdot Y_{\max}}{\sum Y^2} \leq \bar{P}_{u,jia} \text{ 1 tiang} \\
 &= \frac{429,67}{9} + \frac{25,62 \times 1,25}{3 \times 2 \times (1,25)^2} + \frac{7,54 \times 1,25}{3 \times 2 \times (1,25)^2} \\
 &= 52,16 \text{ ton} < P_{uu} \text{ 1 tiang} = 90,31 \text{ ton} \quad \dots \dots \dots \text{ oke!}
 \end{aligned}$$

7.4. Kontrol tiang terhadap gaya lateral (horisontal)

Tiang pancang harus mampu menerima gaya tekan aksial dan momen akibat gaya horisontal dengan cara mengubah gaya horisontal menjadi momen tambahan yang bekerja pada tiang pancang. Momen yang terjadi akibat gaya horisontal ini harus dicek terhadap kekuatan bending dari tiang pancang yang digunakan.

Untuk mendapatkan momen akibat gaya horisontal ini, dapat menggunakan rumus-rumus yang terdapat pada buku Pedoman Perencanaan Untuk Beton Bertulang dan Struktur Tembok Bertulang untuk Gedung tahun 1983 (PPUBBSTBG '83) atau *Pile Foundation Analysis and Design by H.G.Poulos and E.H.Davis*.

PPUBBSTBG '83 menyebutkan bahwa tiang pancang dapat dibedakan antara tiang pendek dan tiang panjang. Tiang disebut tiang panjang jika panjang tiang yang ada lebih dari panjang penunjangan, yaitu panjang yang diperlukan oleh tiang untuk menyalurkan momen luar (M) dan beban horisontal (H) akibat beban kerja dari atas tiang ke tanah sekelilingnya tanpa melampaui tegangan lateral yang diijinkan.

Panjang penunjangan L dapat dihitung dengan menggunakan rumus sebagai berikut :

$$L = 1,68 \times \left(\sqrt[3]{\frac{M_o}{R}} \right)$$

atau dapat ditentukan dengan menggunakan grafik pada gambar B-2 (khusus untuk tiang pendek) buku Pedoman Perencanaan Struktur Beton Bertulang Biasa dan Struktur Tembok Bertulang untuk Gedung 1983, dimana :

- L = panjang penunjang tiang
 Mo = momen luar pada ujung tiang dalam kg-m/m
 R = tegangan tanah lateral yang diijinkan
 = 3500 kg/cm/m (untuk tanah lempung pasiran)

kategori tiang panjang jika : Panjang tiang > L₂

dimana : L₂ = 2,2 L₁

$$L_1 = f + 1,5 D$$

$$f = \frac{H}{9 \times C_r \times D}$$

L₁ = kedalaman dimana momen lentur adalah maksimum

L₂ = kedalaman dimana momen lentur adalah nol

Untuk single pile, D = diameter tiang

Untuk pile group, D = lebar dari kelompok tiang yang tegak lurus arah beban

Contoh perhitungan :

Berdasarkan jumlah kemampuan masing-masing tiang :

Gaya lateral yang bekerja pada tiang kolom 9 yaitu :

$$H_x = 2,198 \text{ ton}$$

$$H_y = 0,985 \text{ ton}$$

$$H_{\text{total}} = \sqrt{2,198^2 + 0,98^2} = 2,41 \text{ ton}$$

Momen leleh bahan Mult = 8,25 ton-m (brosur WIKA D40 type A2), checking tiang panjang atau tiang pendek dilakukan dengan memperhitungkan keadaan sifat tanah. Dalam hal ini diperlukan harga Cr, yaitu geser rencana dari tanah dimana dihitung dengan rumus :

$$C_r = 0,5 \times C_u$$

C_u = kekuatan kohesi tanah

harga C_u diperoleh dari hasil test triaksial = 2,81 ton/m², dengan demikian harga

$$C_r = 0,5 \times 2,81 = 1,405 \text{ ton/m}^2$$

dalam satu titik terdapat 9 tiang, sehingga harga : H = $\frac{2,41}{9} = 0,27 \text{ ton}$

sehingga kategori panjang tiang dapat dihitung

$$f = \frac{H}{9 Cr D} = \frac{0,27}{9 \times 1,41 \times 0,4} = 0,05 \text{ m}$$

$$L_1 = f + 1,5 D = 0,05 + 1,5 \times 0,4 = 0,65 \text{ m}$$

$$L_2 = 2,2 \times L_1 = 2,2 \times 0,65 = 1,43 \text{ m}$$

Panjang tiang yang ada 19 m > 1,43 m, jadi tiang termasuk dalam kategori tiang panjang.

Untuk *restraint pile* (tiang pancang yang ujungnya tertahan) didapatkan harga (*Pile Foundation Analysis and Design by H.G.Poulos and E.H.Davis*, bab-7)

Kuat Geser tanah

$$H_o \text{ untuk 1 tiang} = 9 \times C_u \times D \times (L - 1,5D)$$

$$= 9 \times 0,281 \times 40 \times (1900 - 1,5 \times 40) = 186134 \text{ kg}$$

$$= 186,1 \text{ ton} > H \text{ yang terjadi} = 0,27 \text{ ton} \dots\dots \text{ oke !}$$

Momen yang terjadi :

$$H_u = 0,27 \text{ ton}$$

$$M_{yield} \text{ terjadi} = H_u \times (1,5D + 0,5f)$$

$$= 270 \times (1,5 \times 40 + 0,5 \times 5) = 16875 \text{ kg-cm}$$

$$= 0,17 \text{ ton-m} < M_{yield} \text{ tiang} = 8,25 \text{ ton-m} \dots\dots \text{ oke !}$$

Kuat momen sambungan poer dan tiang pancang

$$M_{yield} \text{ terjadi} = 0,17 \text{ ton-m}$$

$$P_u \text{ untuk 1 tiang} = 52,16 \text{ ton}$$

$$f'_c \text{ poer} = 24,6 \text{ MPa}$$

$$K = \frac{521600}{24,6 \times A_g} = 0,17$$

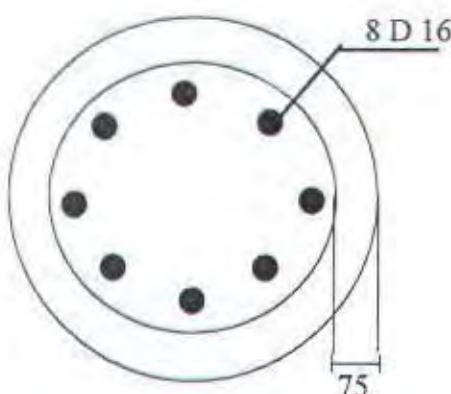
$$K \frac{c}{h} = \frac{1700000}{24,6 \times A_g \times h} = 0,001$$

dari diagram interaksi M-N diperoleh :

karena ρ dibawah $\rho_{min} = 1\%$, dipakai $\rho_{min} = 1\%$

$$A_s = \rho_{min} \times A_g = 0,01 \times 0,785 \times 400^2 = 1256 \text{ mm}^2$$

dipakai 8 D16 ($A_{s,da} = 1607,68 \text{ mm}^2$)



TIANG PANCANG WIKA D 400 TYPE A2

Gambar 7-2. Rencana penulangan sambungan tiang pancang dengan poer

7.5. Perencanaan poer (*pile cap*)

Poer direncanakan terhadap gaya geser pons pada penampang kritis dan penulangan akibat momen lentur. Untuk kolom dengan tulangan D22, panjang penyaluran l_d diambil yang menentukan di bawah ini :

$$\begin{aligned} l_d &= 0,02 \times A_b \times \frac{f_y}{\sqrt{f_c}} \\ &= 0,02 \times 387,1 \times \frac{390}{\sqrt{24,6}} \\ &= 608,77 \text{ mm} \quad (\text{menentukan}) \end{aligned}$$

tetapi tidak kurang dari :

$$\begin{aligned} l_d &= 0,06 \times d_b \times f_y \\ &= 0,06 \times 22 \times 390 \\ &= 515 \text{ mm} \end{aligned}$$

Berdasarkan panjang penyaluran dari batang tulangan kolom tersebut di atas maka direncanakan tebal pile cap sebesar 125 cm. Pertimbangan lain dalam menentukan tebal poer adalah geser pons yang terjadi.

7.5.1. Kontrol geser pons pada poer

Dalam merencanakan tebal poer harus dipenuhi syarat bahwa kekuatan geser nominal beton harus lebih besar dari geser pons yang terjadi. Berdasar SK SNI '91 pasal 3.4.11 butir 2.

Untuk kelenturan dua arah, kekuatan geser nominal pada penampang yang berjarak $d/2$ dari sisi kolom adalah :

$$V_c = \left(1 + \frac{2}{\beta_c}\right) \times \left(\frac{\sqrt{f_{c'}}}{6}\right) \times b_o \times d, \text{ atau}$$

nilai di atas tidak boleh lebih besar dari :

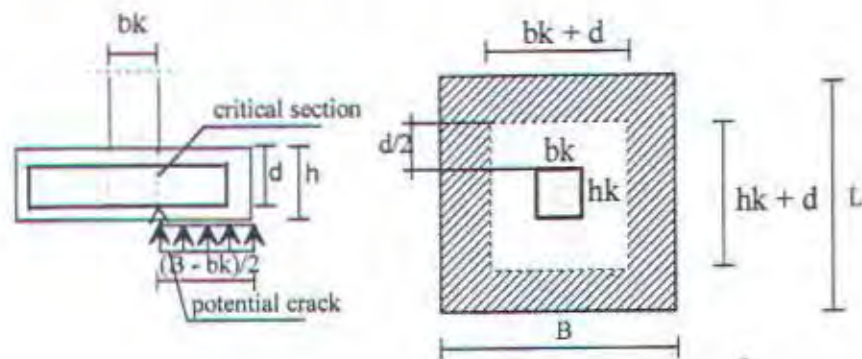
$$V_c = \frac{1}{3} \times \sqrt{f_{c'}} \times b_o \times d$$

dimana :

β_c = rasio sisi terpanjang terhadap sisi terpendek dari beban terpusat

$$= \frac{350}{350} = 1,0 \text{ (kolom bujur sangkar)}$$

b_o = keliling dari penampang kritis poer = $2 \times (bk + d) + 2 \times (hk + d)$



Gambar 7-3. Penampang kritis poer

7.5.2. Contoh perhitungan geser pons pada poer

Kontrol kekuatan geser secara kelompok :

Data-data poer dan gaya dalam yang bekerja :

$$\text{Beban } P_u = 429,67 \text{ ton}$$

$$\text{Mutu beton } f'_c = 24,6 \text{ MPa}$$

$$\text{Mutu baja } f_y = 390 \text{ MPa}$$

$$\text{Tebal poer (h)} = 1250 \text{ mm}$$

$$D \text{ tul. utama} = D25$$

$$\text{decking} = 150 \text{ mm}$$

$$\text{tinggi efektif } d = 1250 - 150 - 25 - 0,50 \times 25 = 1062,5 \text{ mm}$$

$$b_o = 2 \times (600 + 1062,5) + 2 \times (600 + 1062,5) = 6650 \text{ mm}$$

$$\begin{aligned} V_{C_1} &= \left(1 + \frac{2}{1}\right) \times \frac{\sqrt{24,6}}{6} \times 6650 \times 1062,5 \\ &= 17522180 \text{ N} \\ &= 1752,18 \text{ ton} \end{aligned}$$

$$\begin{aligned} V_{C_2} &= \frac{1}{3} \times \sqrt{24,6} \times 6650 \times 1062,5 \\ &= 11681453 \text{ N} \\ &= 1168,15 \text{ ton (menentukan)} \end{aligned}$$

$$\phi V_{C_2} = 0,6 \times 1168,15 \text{ ton} = 700,89 \text{ ton} > V_u = 466,42 \text{ ton} \dots \text{oke !}$$

Kontrol kekuatan geser secara individu (1 tiang) :

Dengan jarak tiang yang satu dengan yang lain 1,25 m, keliling kritis tidak overlap.

$$P_{\max} \text{ 1 tiang} = 52,16 \text{ ton}$$

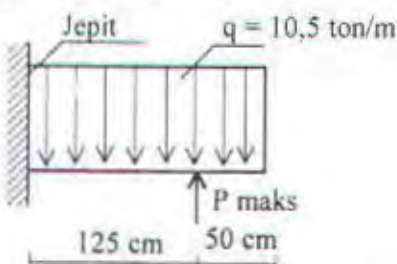
$$b_o = \pi \times (400 + 1062,5) = 4592,25 \text{ mm}$$

$$\begin{aligned} \phi V_c &= 0,6 \times \frac{1}{3} \times \sqrt{24,6} \times 4592,25 \times 1062,5 \\ &= 4840338 \text{ N} \approx 484,034 \text{ ton} > P \text{ 1 tiang} = 52,16 \text{ ton} \dots \text{oke !} \end{aligned}$$

Jadi ketebalan dan ukuran poer memenuhi syarat terhadap geser pons.

7.5.3. Penulangan lentur poer

Untuk perhitungan penulangan lentur poer dianalisa sebagai balok kantilever dengan perletakan jepit pada kolom. Beban yang bekerja adalah beban terpusat dari tiang sebesar P dan berat sendiri poer sebesar q . Perhitungan gaya dalam pada poer didapat dengan teori mekanika statis tertentu.



Gambar 7-4. Asumsi perencanaan poer

dimana : $P_1 = 112,87$ ton

$$q = 1,25 \times 3,5 \times 2,4 = 10,5 \text{ ton/m}$$

$$\begin{aligned} Mu &= 1,2 \times (L \times 3 P_{\max}) - 1/2 \times q \times L^2 \\ &= 1,2 \times 1,25 \times 3 \times 112,87 - 1/2 \times 10,5 \times (1,75)^2 \\ &= 491,84 \text{ ton-m} = 4,92 \times 10^9 \text{ N-mm} \end{aligned}$$

Penulangan arah X

$$dx = 1250 - 150 - 0,5 \times 25 = 1087,5 \text{ mm}$$

$$\begin{aligned} R_n &= \frac{Mu}{\phi \times b \times d^2} \\ &= \frac{4,92 \times 10^9}{0,8 \times 3500 \times 1087,5^2} \\ &= 1,49 \end{aligned}$$

$$m = \frac{f_y}{0,85 \times f_c} = \frac{390}{0,85 \times 24,6} = 18,65$$

$$\rho_{min} = \frac{1,4}{f_y} = \frac{1,4}{390} = 0,00359$$

$$\begin{aligned} pb &= \frac{0,85 \times 24,6 \times 0,85}{390} \times \left(\frac{600}{600 + 390} \right) \\ &= 0,0276 \end{aligned}$$

$$\rho_{max} = 0,75 \times 0,0276 = 0,0207$$

$$\begin{aligned}\rho_{\text{perlu}} &= \frac{1}{m} \times \left(1 - \sqrt{1 - \frac{2 Rn}{0,85 \times fc}} \right) \\ &= \frac{1}{18,65} \times \left(1 - \sqrt{1 - \frac{2 \times 1,49}{0,85 \times 24,6}} \right) \\ &= 0,00397 > \rho_{\text{min}} = 0,00359\end{aligned}$$

$$\begin{aligned}As_{\text{perlu}} &= \rho_{\text{perlu}} \times b \times d \\ &= 0,00397 \times 3500 \times 1087,5 \\ &= 15110 \text{ cm}^2\end{aligned}$$

Dipakai tulangan 30 D25 ($As_{\text{ada}} = 15201 \text{ cm}^2$)
Jarak pemasangan = $\frac{350 - (2 \times 12)}{30} = 10,8 \text{ cm}$
dipakai jarak pemasangan tulangan = 10 cm

Penulangan arah Y

$$\begin{aligned}Rn &= \frac{4,92 \times 10^9}{0,8 \times 350 \times 1087,5^2} \\ &\approx 1,49\end{aligned}$$

$$\begin{aligned}\rho_{\text{perlu}} &= \frac{1}{18,65} \times \left(1 - \sqrt{1 - \frac{2 \times 1,49}{0,85 \times 24,6}} \right) \\ &= 0,00397 > \rho_{\text{min}} = 0,00359\end{aligned}$$

$$\begin{aligned}As_{\text{perlu}} &= \rho_{\text{perlu}} \times b \times d \\ &= 0,00397 \times 3500 \times 1087,5 \\ &= 15110 \text{ cm}^2\end{aligned}$$

Dipakai tulangan 30 D25 ($As_{\text{ada}} = 15201 \text{ cm}^2$)
Jarak pemasangan = $\frac{350 - (2 \times 12)}{30} = 10,8 \text{ cm}$
dipakai jarak pemasangan tulangan = 10 cm

7.5.4. Perhitungan geser pada penampang kritis pada poer

Geser yang terjadi pada daerah kritis kolom harus dikontrol. Apabila geser yang terjadi lebih besar dari geser nominal beton, maka dibutuhkan tulangan geser yang diambil dari bengkokan tulangan utama D25 ke atas.

Contoh perhitungan :

$$\text{Tulangan geser} = \text{D25}, \text{ } A_v = 4 \times 506,7 = 2026,8 \text{ mm}^2 \text{ (4 kaki)}$$

$$P_{\max} 1 \text{ tiang} = 112,87 \text{ ton}$$

$$\begin{aligned} \text{Penampang kritis} &= (b_k + d)/2 = (600 + 1062,5)/2 \\ &= 831,25 \text{ mm, dari pusat kolom} \end{aligned}$$

$$\text{decking (dc)} = 15 \text{ cm}$$

$$d'' = 15 + 2 D \text{ tul. utama} = 20 \text{ cm}$$

$$V_u = P_{\max} - q \times L$$

$$= 3 \times 112,87 - 10,5 \times 1,75 = 320,235 \text{ ton}$$

$$\phi V_c = 0,6 \times \frac{1}{6} \times \sqrt{f_c} \times b_w \times d$$

$$= 0,6 \times \frac{1}{6} \times \sqrt{24,6} \times 3500 \times 1062,5$$

$$= 1844440 \text{ N}$$

Spasi maksimum tulangan geser

$$\begin{aligned} S \text{ perlu} &= \frac{\phi \times A_v \times f_y \times d}{(V_u - \phi V_c)} \\ &= \frac{0,6 \times 2026,8 \times 390 \times 1062,5}{(3202350 - 1844440)} \\ &= 371,095 \text{ mm} = 37,11 \text{ cm} \end{aligned}$$

$$\begin{aligned} S \text{ ada} &= \frac{B_{\text{poer}} - 2 \times d''}{n_{\text{tul. utama}} - 1} \\ &= \frac{350 - 2 \times 20}{30 - 1} \\ &= 10,69 \text{ cm} < 37,11 \text{ cm} \quad \dots \dots \text{ oke !} \end{aligned}$$

7.6. Perencanaan sloof (*Tie Beam*)

Beban-beban yang diterima oleh sloof antara lain berat sendiri sloof, berat tembok, beban aksial tekan atau tarik yang berasal dari 10% beban aksial kolom. (Buku PPSBBSTBUG' 83 - 6.9.2)

7.6.1. Dimensi sloof

Penentuan dimensi dari sloof dilakukan dengan memperhitungkan syarat bahwa tegangan tarik yang terjadi tidak boleh melampaui tegangan tarik ijin beton yaitu sebesar :

$$fr = fct = 0,70 \times \sqrt{fc'} \quad (\text{PBI '89 psl. 9.5.2.3})$$

7.6.2. Contoh perhitungan untuk sloof

Data perencanaan :

$$Pu = 429,67 \times 10\% = 42,967 \text{ ton}$$

$$fc' = 24,6 \text{ MPa}$$

$$fy = 390 \text{ MPa}$$

$$b = 350 \text{ mm}$$

$$h = 600 \text{ mm}$$

$$\begin{aligned} \text{Tegangan tarik ijin} &= fr = 0,70 \times \sqrt{24,6} \\ &= 3,47 \text{ MPa} \end{aligned}$$

$$\begin{aligned} fr_{\text{sloof}} &= \frac{429670}{0,8 \times 350 \times 600} \\ &= 2,56 \text{ MPa} < 3,47 \text{ MPa} \quad \dots\dots \text{oke!} \end{aligned}$$

Berarti ukuran sloof telah memenuhi syarat.

Penulangan sloof didasarkan atas kondisi pembebanan. Beban yang diterima adalah beban aksial dan lentur sehingga penulangannya diidealisasikan seperti halnya penulangan pada kolom.

Adapun beban pada sloof:

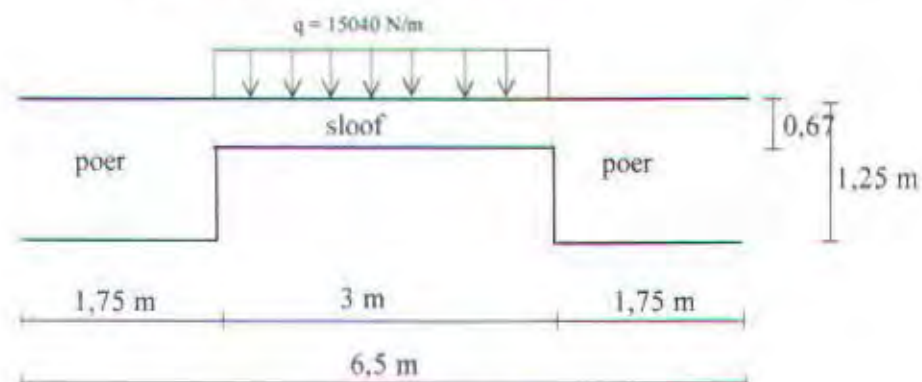
- berat sendiri sloof
- beban tembok

Data material :

- ukuran sloof = $35 \times 60 \text{ cm}$
- mutu beton (f_c') = $24,6 \text{ MPa}$
- mutu tulangan (f_y) = 390 MPa
- decking (dc) = 50 mm (PBI '89 pasal 7.7.1)
- tulangan utama = D25
- tulangan sengkang = $\phi 12$

Beban yang diterima sloof :

- Berat aksial N_u = $42,967 \text{ ton} = 429670 \text{ N}$
- Berat sendiri sloof = $0,35 \times 0,6 \times 24000 = 5040 \text{ N/m}$
- Berat tembok = $2500 \times 4 = 10000 \text{ N/m}$
- $q = 5040 + 10000 = 15040 \text{ N/m}$



Gambar 7-5. Pembebanan pada sloof

$$\begin{aligned} M_u &= 1/12 \times 1.2 \times q \times L^2 \\ &= 1/12 \times 15040 \times 3^2 \\ &= 11280 \text{ N-m} \end{aligned}$$

$$K = \frac{P_u}{A_g \times f_c}$$

$$= \frac{429670}{350 \times 600 \times 24,6} = 0,083$$

$$K \frac{\epsilon}{h} = \frac{M_u}{A_g \times h \times f_c}$$

$$= \frac{11280000}{(350 \times 600) \times 600 \times 24,6} = 0,004$$

Dari diagram interaksi M-N nondimensi didapat harga $\rho_{min} = 0,01$
 sehingga $A_s = \rho_{min} \times A_g$
 $= 0,01 \times 350 \times 600$
 $= 2100 \text{ mm}^2$

Dipakai tulangan 6 D22 (A_s ada = 2323 mm^2)

7.6.3. Penulangan geser sloof

Besarnya gaya geser pada sloof :

$$\begin{aligned} - q_u &= 15040 \text{ N/m} \\ - V_u &= \frac{1}{2} \times 15040 \times 3 \\ &= 22560 \text{ N} \\ - d &= 600 - 50 - 12 - \frac{22}{2} \\ &= 527 \text{ mm} \end{aligned}$$

Kuat geser nominal geser yang mampu dipikul beton

$$\begin{aligned} \phi V_c &= \phi \times \frac{\sqrt{f_c}}{6} \times b_w \times d \times \left(1 + \frac{N_u}{14 \times A_g} \right) \\ &= 0,6 \times \frac{\sqrt{24,6}}{6} \times 350 \times 527 \times \left(1 + \frac{429670}{14 \times 350 \times 600} \right) \\ &= 104854,302 \text{ N} \\ V_u &= 22560 \text{ N} < \phi V_c = 62912 \text{ N} \end{aligned}$$

Tidak diperlukan tulangan geser hanya dipasang praktis saja.

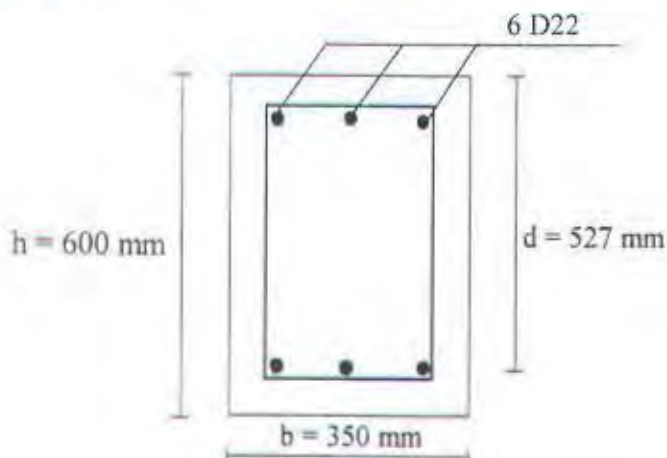
Jadi dipasang tulangan geser praktis $\phi 12 - 200 \text{ mm}$

7.6.4. Penulangan pada sloof yang mengalami gaya tarik dan momen

Data perencanaan sloof:

- Ukuran sloof : $b = 35 \text{ cm}$
- $d = 60 \text{ cm}$
- decking $= 50 \text{ mm}$
- diameter tul. utama $= D22$
- diameter tul. sengkang = $D12$
- tinggi efektif (d) $= 600 - 50 - 12 - 22/2 = 527 \text{ mm}$

Dari perhitungan sloof yang mengalami gaya tekan $N_u = 429670$ akan dikontrol apabila sloof mengalami tarik sebesar $N_u = 429670 \text{ N}$ dan $M_u = 11280000 \text{ N-mm}$



Gambar 7-6. Penampang tulangan sloof

Perhitungan penulangan sloof dilihat dari 2 kondisi, yaitu :

1. Sebelum beton retak
2. Sesudah beton retak

1. Kondisi sebelum beton retak

Dalam kondisi ini beton dan tulangan bersama-sama memikul gaya tarik. Jika tegangan beton yang terjadi telah melampaui tegangan retak (f_r), maka beton akan mengalami retak.

$$f_r = 0,7 \times \sqrt{f_c} = 0,7 \times \sqrt{24,6} = 3,47 \text{ MPa}$$

$$E_s = 200.000 \text{ MPa}$$

$$E_c = 4,700 \times \sqrt{f_c} = 4,700 \times \sqrt{24,6} = 23311,24 \text{ MPa}$$

$$n = \frac{E_s}{E_c} = \frac{200000}{23311,24} = 8,579$$

$$A_s = A_s' = 3 \times 1/4 \times \pi \times 22^2 = 1140 \text{ mm}^2$$

$$\begin{aligned} A_t &= A_g + (n - 1) \times A_s \\ &= 350 \times 600 + [(8,579 - 1) \times 2 \times 1140] \\ &= 227280 \text{ mm}^2 \end{aligned}$$

$$W = \frac{l}{y} = \frac{\frac{1}{12} \times b \times h^3}{\frac{1}{2} \times h} = \frac{1}{6} \times b \times h^2 = \frac{1}{6} \times 350 \times 600^2 = 20999999 \text{ mm}^3$$

$$f = \frac{N_u}{A_t} + \frac{M_u}{W} = \frac{429670}{227280} + \frac{11280000}{20999999} = 2,43 \text{ MPa} < f_r = 3,47 \text{ MPa} \dots \text{oke!}$$

Jadi beton belum retak.

2. Kondisi setelah beton retak

Pada kondisi ini yang menerima gaya tarik adalah tulangan baja saja, sedangkan beton sudah tidak dapat menerima gaya tarik lagi. Dan tegangan yang terjadi harus di bawah tegangan tarik ijin.

$$\text{Tegangan tarik ijin } (f_{t,i}) = 0,75 \times f_y = 0,75 \times 390 = 292,5 \text{ MPa}$$

$$\sigma = \frac{N_u}{A_s} + \frac{M_u}{W_s}$$

$$W_s = 2 \times A_s \times (d_1)$$

$$\begin{aligned} d_1 &= h/2 - d_c - D \text{ sengkang} - D \text{ tul. utama}/2 \\ &= 600/2 - 50 - 12 - 25/2 = 227 \text{ mm} \end{aligned}$$

$$W_s = 2 \times 1140 \times 227 = 517560 \text{ mm}^3$$

$$f = \frac{429670}{2323} + \frac{11280000}{517560} = 206,8 \text{ MPa} < f_{t,i} = 292,5 \text{ MPa} \dots \text{oke!}$$

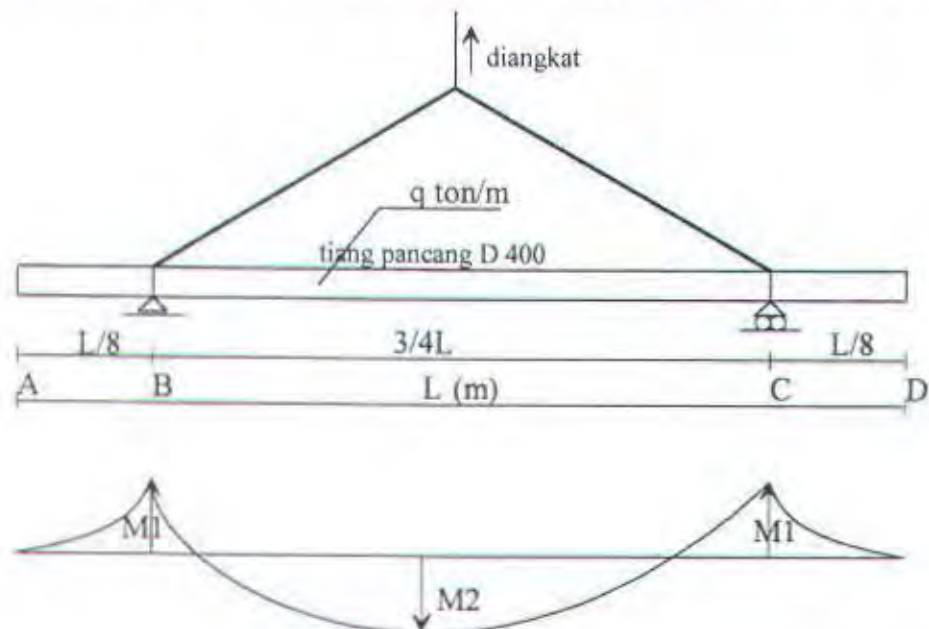
Jadi tulangan 6 D22 bisa dipakai (cukup kuat) untuk menerima gaya tarik pada sloof sebesar $N_u = 429670 \text{ N}$ dan $M_u = 11280000 \text{ N-mm}$

7.7. Cek tiang pancang terhadap pengaruh pengangkutan dan pengangkatan

Direncanakan menggunakan tiang pancang produksi PT. Wijaya Karya (WIKA) tipe 400 A2 dengan spesifikasi bahan sebagai berikut :

$D = 400 \text{ cm}$	$M_{\text{crack}} = 5,5 \text{ ton-m}$
$A_c = 765,77 \text{ cm}^2$	$M_{\text{ult.}} = 8,25 \text{ ton-m}$
$W = 5405,79 \text{ cm}^3$	$P_{\text{jin}} \text{ 1 tiang} = 112,87 \text{ ton}$

Direncanakan letak titik tumpuan pengangkatan tiang pancang sebagai berikut :



Gambar 7-7. Rencana pengangkatan tiang pancang

Beban yang bekerja :

$$q = B_v \times A_c$$

$$= 2400 \times 0,0766 = 183,84 \text{ kg/m}$$

M_{max} pada tengah bentang B - C :

$$\begin{aligned}M_{\max} &= 1/8 \times q \times (3/4L)^2 - 1/2 \times q \times (1/8L)^2 \\&= 1/8 \times 183,84 \times 9/16 \times L^2 - 1/2 \times 183,84 \times 1/16 \times L^2 \\&= 12,93 L^2 - 5,75 L^2 \\&= 7,18 L^2 \text{ kg-m}\end{aligned}$$

misalnya jika L (panjang 1 tiang pancang) = 12 m

$$M = 7,18 \times 12^2 = 1033,92 \text{ kg-m} < M_{\text{crack}} = 5500 \text{ kg-m} \quad \dots \dots \dots \text{ oke !}$$

Maka untuk $L < 12$ m, momen yang terjadi pasti $< M_{\text{crack}}$ $\dots \dots \dots$ oke !

BAB VIII
KESIMPULAN DAN SARAN

BAB VIII KESIMPULAN DAN SARAN

8.1. Kesimpulan

Setelah menyelesaikan perencanaan struktur gedung STIKOM ini, dapat ditarik beberapa kesimpulan sebagai berikut :

Perencanaan struktur yang terdapat pada zone 4 sebaiknya tidak perlu dilakukan dengan daktilitas penuh karena gaya-gaya dalam yang terjadi pada struktur didominasi oleh beban gravitasi. Seperti kita ketahui bahwa pendetailan maupun syarat-syarat yang dituntut dalam perancangan dengan daktilitas penuh relatif lebih rumit. Hal ini tentu akan berpengaruh pada banyak hal antara lain biaya, karena itu perancangan sebaiknya dilakukan dengan daktilitas yang lebih rendah.

Batasan pada gaya-gaya yang diterima elemen kolom baik momen, aksial maupun geser, yaitu :

$$Muk = 1,05 \left[Md,k + Ml,k + \frac{4}{k} Me,k \right]$$

$$Nuk = 1,05 \left[Nd,k + Nl,k + \frac{4}{k} Ne,k \right]$$

$$Vuk = 1,05 \left[Vd,k + Vl,k + \frac{4}{k} Ve,k \right]$$

sebaiknya benar-benar kita perhatikan. Prinsip Strong Column Weak Beam yang dipakai pada perancangan dengan daktilitas penuh menuntut adanya kolom yang lebih kuat daripada balok dengan memakai gaya-gaya yang didapat dari momen kapasitas balok. Biasanya gaya dalam yang didapat dengan cara ini sangat besar sehingga batasan di atas perlu kita tinjau.

8.2. Saran

Desain kolom yang baik adalah $\rho \geq 2\%$, dan tulangan kolom sebaiknya dipasang secara terkonsentrasi pada ujung-ujung penampang kolom.

Konsep disain dan konsep struktur adalah dua hal yang sangat penting yang harus dipahami sebelum melangkah ke tahap rancang bangun. Misalnya, sejak tahap perancangan sudah harus diperhitungkan konfigurasi struktur yang menghasilkan pusat massa \leq pusat kekakuan, agar tidak terjadi puntir pada kolom.

Untuk mengetahui apakah hasil analisa struktur utama yang telah dilakukan dengan program bantu SAP90 sudah benar atau belum perlu diadakan pengecekan secara manual.

DAFTAR PUSTAKA

DAFTAR PUSTAKA

- Departemen Pekerjaan Umum, Tata Cara Perhitungan Struktur Beton Untuk Gedung SK SNI T-15-1991-03, D.P.U, Bandung
- Departemen Pekerjaan Umum, Peraturan Beton Bertulang Indonesia 1971, D.P.U, Bandung
- Departemen Pekerjaan Umum, Pedoman Beton 1989, D.P.U, Jakarta 1988
- Departemen Pekerjaan Umum, Peraturan Pembebatan Indonesia untuk Gedung 1983, Yayasan Pendidikan Masalah Bangunan, Bandung, 1983
- Departemen Pekerjaan Umum, Peraturan Perencanaan Tahan Gempa Indonesia untuk Gedung 1983, D.P.U, Bandung, 1983
- Departemen Pekerjaan Umum, Buku Pedoman untuk Struktur Beton Bertulang Biasa dan Struktur Tembok Bertulang untuk Gedung, D.P.U., Bandung, 1983
- Departemen Pekerjaan Umum, Tata Cara Perencanaan Konstruksi Baja Untuk Bangunan Gedung 1997
- Chu Kia Wang dan Charles G. Salmon, Reinforced Concrete Design, 4 th edition. Harper and Row, New York, 1985
- Jurusan Teknik Sipil ITS, Kursus Perhitungan Konstruksi Beton Bertulang Berdasarkan PBI '89, ITS, Surabaya, 1989
- Jurusan Teknik Sipil ITS, Kursus Singkat Perencanaan Konstruksi Beton Berdasarkan SNI-1993, Tabel, Grafik dan diagram Interaksi untuk Perhitungan Konstruksi Beton Berdasarkan SNI-1993, ITS, Surabaya, 1997
- Vis W.C dan Gideon H. Kusuma, Dasar-Dasar Perencanaan Beton Bertulang, Erlangga, Jakarta, 1994
- Gideon H. Kusuma dan Takim A, Desain Struktur Rangka Beton Bertulang, Erlangga, Jakarta, 1994

Bryan S. Smith dan Alek Coull, Tall Building Structure Analysis and Design, John Wiley dan Sons, Canada, 1991

Wolfgang Schueller, High-Rise Building Structure

Bowles J.E, Foundation for Reinforced Concrete With Design Application, Illinois, 1980

H.G. Poulos dan E.H Davis, Pile Foundation Analysis and Design, The University of Sidney

Buku Catatan dan Kuliah Jurusan Teknik Sipil ITS

LAMPIRAN

**TABEL PENENTUAN TEBAL PELAT TWO WAY SLAB
PADA PELAT LANTAI 2 - 9**

TYPPE PELAT	BALIR	$\frac{L_0}{cm}$	S_0 $\frac{cm}{cm}$	b $\frac{cm}{cm}$	$\frac{h}{cm}$	$\frac{h_{0,1} + h_{0,2} + (h - 10)}{cm}$	$\frac{h_{0,1} + h_{0,2}}{cm}$	k $\frac{cm^2}{cm^3}$	$\frac{h_{0,1}}{cm^2}$	$\frac{h_{0,2}}{cm^2}$	α	α_0	b_1 $\frac{cm}{cm}$	b_2 $\frac{cm}{cm}$	SYARAT		
Tebal Rencana Pelat (t) = 12 cm																	
A	$L_R = 325 - 1/2(25 + 35)$ $S_R = 325 - 1/2(25 + 35)$	295	295	1.00	35	55	78	83	1.40	679552.75	46600	14.52	11.43	1.40	6.95	6.69	okc
	BALOK INDUK TENGAH (25x55)	295	295	1.00	35	55	72	83	1.67	808197.63	46800	17.27	11.43	1.40	6.95	8.09	okc
	BALOK INDUK TENGAH (25x55)	295	295	1.00	35	55	72	83	1.72	725886.48	46800	16.56	11.43	1.40	6.95	8.69	okc
	BALOK ANAK TENGAH (25x5)	295	295	1.00	25	45	91	121	1.72	725886.48	46800	6.96	11.43	1.40	6.95	8.69	okc
	BALOK ANAK TENGAH (25x5)	295	295	1.00	25	45	91	121	1.72	725886.48	46800	6.96	11.43	1.40	6.95	8.69	okc
A*	$L_R = 325 - 1/2(25 + 35)$ $S_R = 325 - 1/2(25 + 35)$	295	295	1.00	35	55	72	83	1.67	808197.63	25200	12.07	15.26	2.81	6.95	8.69	okc
	BALOK INDUK TENGAH (25x55)	295	295	1.00	35	55	72	83	1.67	808197.63	50400	16.04	15.26	2.81	6.95	8.69	okc
	BALOK ANAK TENGAH (25x5)	295	295	1.00	25	45	91	121	1.72	725886.48	50400	6.47	15.26	2.81	6.95	8.69	okc
	BALOK ANAK TENGAH (25x5)	295	295	1.00	25	45	91	121	1.72	725886.48	50400	6.47	15.26	2.81	6.95	8.69	okc
	Tebal Rencana Pelat (t) = 12 cm																
B*	$L_R = 460 - 1/2(60 + 60)$ $S_R = 325 - 1/2(25 + 35)$	400	295	1.36	35	55	78	83	1.40	679552.75	25200	26.97	15.74	3.00	8.80	11.78	okc
	BALOK INDUK TENGAH (25x55)	400	295	1.36	35	55	72	83	1.67	808197.63	50400	16.04	15.74	3.00	8.80	11.78	okc
	BALOK ANAK TENGAH (25x5)	400	295	1.36	25	45	91	121	1.72	725886.48	50400	6.47	15.74	3.00	8.80	11.78	okc
	BALOK ANAK TENGAH (25x5)	400	295	1.36	35	55	78	83	1.40	679552.75	50400	13.48	15.74	3.00	8.80	11.78	okc
	Tebal Rencana Pelat (t) = 12 cm																
D	$L_R = 260 - 1/2(25 + 25)$ $S_R = 220 - 1/2(40 + 25)$	235	187.5	1.25	25	45	91	121	1.72	725886.48	25200	12.93	7.57	7.03	5.27	6.92	okc
	BALOK ANAK TENGAH (25x45)	235	187.5	1.25	25	45	91	121	1.72	725886.48	50400	6.47	7.57	7.03	5.27	6.92	okc
	BALOK ANAK TENGAH (25x45)	235	187.5	1.25	25	45	58	73	1.45	274337.61	50400	5.44	7.57	3.03	5.27	6.92	okc
	BALOK ANAK TENGAH (25x45)	235	187.5	1.25	25	45	58	73	1.45	274337.61	50400	5.44	7.57	3.03	5.27	6.92	okc
	Tebal Rencana Pelat (t) = 12 cm																
E	$L_R = 300 - 1/2(40 + 40)$ $S_R = 210 - 1/2(40 + 25)$	275	177.5	1.55	25	45	91	121	1.72	725886.48	25200	12.93	7.57	3.13	5.84	8.10	okc
	BALOK ANAK TENGAH (25x45)	275	177.5	1.55	25	45	91	121	1.72	725886.48	50400	6.47	7.57	3.13	5.84	8.10	okc
	BALOK ANAK TENGAH (25x45)	275	177.5	1.55	25	45	58	73	1.45	274337.61	50400	5.44	7.57	3.13	5.84	8.10	okc
	BALOK ANAK TENGAH (25x45)	275	177.5	1.55	25	45	58	73	1.45	274337.61	50400	5.44	7.57	3.13	5.84	8.10	okc
	Tebal Rencana Pelat (t) = 12 cm																

F = 790 Mpa

t > b2

t < b3

am > 2.0 mada > 90

am < 2.0 mada > 120

**PENENTUAN TEBAL PELAT ONE WAY SLAB
PADA PELAT LANTAI 2 - 9**

TYPE PELAT	BALOK PENGAPIT	Ln cm	Sn cm	B = Ln/Sn	bw cm	h cm	TEBAL
PELAT LANTAI							
C	Tebal Rencana Pelat = 12 cm						
	Ln = 350 - 1/2 (40 + 40)						
	Sn = 155 - 1/2 (35 + 35)						
	BALOK ANAK TEPI (35/45)	310	120	2.58	25	45	4.79
	BALOK ANAK TENGAH (35/45)	310	120	2.58	25	45	4.79
	BALOK ANAK TEPI (35/45)	310	120	2.58	25	45	4.79
	BALOK ANAK TENGAH (35/45)	310	120	2.58	25	45	4.79

Syarat tebal pelat dari kriteria lendutan : (SK SNI T-15-1991-03 Tabel 3.2.5a)

$f'_c = 30 \text{ Mpa}$

$f_y = 390 \text{ Mpa}$

$h_{min} > L/24 \times (0.4 + 390/700)$

PENULANGAN PELAT LANTAI 9
(TWO WAY SLAB)

M_{xx} = $0.6(0.8) \times 0.4(1.6) \times (1.6)^2 / 4.8$
M_{yy} = $0.6(0.8) \times 0.4(1.6) \times (1.6)^2 / 4.8$
M_{xy} = $0.6(0.8) \times 0.4(1.6) \times (1.6)^2 / 4.8$
M_{xz} = $0.6(0.8) \times 0.4(1.6) \times (1.6)^2 / 4.8$

I_x = 325 - 1/2 (25 + 35)
I_y = 325 - 1/2 (25 + 35)

I_x = 325 - 1/2 (25 + 35)

I_y = 325 - 1/2 (25 + 35)

I_x = 325 - 1/2 (25 + 35)

I_y = 325 - 1/2 (25 + 35)

I_x = 325 - 1/2 (25 + 35)

I_y = 325 - 1/2 (25 + 35)

I_x = 325 - 1/2 (25 + 35)

I_y = 325 - 1/2 (25 + 35)

I_x = 325 - 1/2 (25 + 35)

I_y = 325 - 1/2 (25 + 35)

TYPE PELAT	AREAL PERLUASAN	L	W	C	C'	H	H'	K₁	K₂	K₃	K₄	K₅	K₆	K₇	K₈	K₉	K₁₀	K₁₁	K₁₂	K₁₃	K₁₄	K₁₅	K₁₆	K₁₇	K₁₈	K₁₉	K₂₀	K₂₁	K₂₂	K₂₃	K₂₄	K₂₅	K₂₆	K₂₇	K₂₈	K₂₉	K₃₀	K₃₁	K₃₂	K₃₃	K₃₄	K₃₅	K₃₆	K₃₇	K₃₈	K₃₉	K₄₀	K₄₁	K₄₂	K₄₃	K₄₄	K₄₅	K₄₆	K₄₇	K₄₈	K₄₉	K₅₀	K₅₁	K₅₂	K₅₃	K₅₄	K₅₅	K₅₆	K₅₇	K₅₈	K₅₉	K₆₀	K₆₁	K₆₂	K₆₃	K₆₄	K₆₅	K₆₆	K₆₇	K₆₈	K₆₉	K₇₀	K₇₁	K₇₂	K₇₃	K₇₄	K₇₅	K₇₆	K₇₇	K₇₈	K₇₉	K₈₀	K₈₁	K₈₂	K₈₃	K₈₄	K₈₅	K₈₆	K₈₇	K₈₈	K₈₉	K₉₀	K₉₁	K₉₂	K₉₃	K₉₄	K₉₅	K₉₆	K₉₇	K₉₈	K₉₉	K₁₀₀	K₁₀₁	K₁₀₂	K₁₀₃	K₁₀₄	K₁₀₅	K₁₀₆	K₁₀₇	K₁₀₈	K₁₀₉	K₁₁₀	K₁₁₁	K₁₁₂	K₁₁₃	K₁₁₄	K₁₁₅	K₁₁₆	K₁₁₇	K₁₁₈	K₁₁₉	K₁₂₀	K₁₂₁	K₁₂₂	K₁₂₃	K₁₂₄	K₁₂₅	K₁₂₆	K₁₂₇	K₁₂₈	K₁₂₉	K₁₃₀	K₁₃₁	K₁₃₂	K₁₃₃	K₁₃₄	K₁₃₅	K₁₃₆	K₁₃₇	K₁₃₈	K₁₃₉	K₁₄₀	K₁₄₁	K₁₄₂	K₁₄₃	K₁₄₄	K₁₄₅	K₁₄₆	K₁₄₇	K₁₄₈	K₁₄₉	K₁₅₀	K₁₅₁	K₁₅₂	K₁₅₃	K₁₅₄	K₁₅₅	K₁₅₆	K₁₅₇	K₁₅₈	K₁₅₉	K₁₆₀	K₁₆₁	K₁₆₂	K₁₆₃	K₁₆₄	K₁₆₅	K₁₆₆	K₁₆₇	K₁₆₈	K₁₆₉	K₁₇₀	K₁₇₁	K₁₇₂	K₁₇₃	K₁₇₄	K₁₇₅	K₁₇₆	K₁₇₇	K₁₇₈	K₁₇₉	K₁₈₀	K₁₈₁	K₁₈₂	K₁₈₃	K₁₈₄	K₁₈₅	K₁₈₆	K₁₈₇	K₁₈₈	K₁₈₉	K₁₉₀	K₁₉₁	K₁₉₂	K₁₉₃	K₁₉₄	K₁₉₅	K₁₉₆	K₁₉₇	K₁₉₈	K₁₉₉	K₂₀₀	K₂₀₁	K₂₀₂	K₂₀₃	K₂₀₄	K₂₀₅	K₂₀₆	K₂₀₇	K₂₀₈	K₂₀₉	K₂₁₀	K₂₁₁	K₂₁₂	K₂₁₃	K₂₁₄	K₂₁₅	K₂₁₆	K₂₁₇	K₂₁₈	K₂₁₉	K₂₂₀	K₂₂₁	K₂₂₂	K₂₂₃	K₂₂₄	K₂₂₅	K₂₂₆	K₂₂₇	K₂₂₈	K₂₂₉	K₂₃₀	K₂₃₁	K₂₃₂	K₂₃₃	K₂₃₄	K₂₃₅	K₂₃₆	K₂₃₇	K₂₃₈	K₂₃₉	K₂₄₀	K₂₄₁	K₂₄₂	K₂₄₃	K₂₄₄	K₂₄₅	K₂₄₆	K₂₄₇	K₂₄₈	K₂₄₉	K₂₅₀	K₂₅₁	K₂₅₂	K₂₅₃	K₂₅₄	K₂₅₅	K₂₅₆	K₂₅₇	K₂₅₈	K₂₅₉	K₂₆₀	K₂₆₁	K₂₆₂	K₂₆₃	K₂₆₄	K₂₆₅	K₂₆₆	K₂₆₇	K₂₆₈	K₂₆₉	K₂₇₀	K₂₇₁	K₂₇₂	K₂₇₃	K₂₇₄	K₂₇₅	K₂₇₆	K₂₇₇	K₂₇₈	K₂₇₉	K₂₈₀	K₂₈₁	K₂₈₂	K₂₈₃	K₂₈₄	K₂₈₅	K₂₈₆	K₂₈₇	K₂₈₈	K₂₈₉	K₂₉₀	K₂₉₁	K₂₉₂	K₂₉₃	K₂₉₄	K₂₉₅	K₂₉₆	K₂₉₇	K₂₉₈	K₂₉₉	K₃₀₀	K₃₀₁	K₃₀₂	K₃₀₃	K₃₀₄	K₃₀₅	K₃₀₆	K₃₀₇	K₃₀₈	K₃₀₉	K₃₁₀	K₃₁₁	K₃₁₂	K₃₁₃	K₃₁₄	K₃₁₅	K₃₁₆	K₃₁₇	K₃₁₈	K₃₁₉	K₃₂₀	K₃₂₁	K₃₂₂	K₃₂₃	K₃₂₄	K₃₂₅	K₃₂₆	K₃₂₇	K₃₂₈	K₃₂₉	K₃₃₀	K₃₃₁	K₃₃₂	K₃₃₃	K₃₃₄	K₃₃₅	K₃₃₆	K₃₃₇	K₃₃₈	K₃₃₉	K₃₄₀	K₃₄₁	K₃₄₂	K₃₄₃	K₃₄₄	K₃₄₅	K₃₄₆	K₃₄₇	K₃₄₈	K₃₄₉	K₃₅₀	K₃₅₁	K₃₅₂	K₃₅₃	K₃₅₄	K₃₅₅	K₃₅₆	K₃₅₇	K₃₅₈	K₃₅₉	K₃₆₀	K₃₆₁	K₃₆₂	K₃₆₃	K₃₆₄	K₃₆₅	K₃₆₆	K₃₆₇	K₃₆₈	K₃₆₉	K₃₇₀	K₃₇₁	K₃₇₂	K₃₇₃	K₃₇₄	K₃₇₅	K₃₇₆	K₃₇₇	K₃₇₈	K₃₇₉	K₃₈₀	K₃₈₁	K₃₈₂	K₃₈₃	K₃₈₄	K₃₈₅	K₃₈₆	K₃₈₇	K₃₈₈	K₃₈₉	K₃₉₀	K₃₉₁	K₃₉₂	K₃₉₃	K₃₉₄	K₃₉₅	K₃₉₆	K₃₉₇	K₃₉₈	K₃₉₉	K₄₀₀	K₄₀₁	K₄₀₂	K₄₀₃	K₄₀₄	K₄₀₅	K₄₀₆	K₄₀₇	K₄₀₈	K₄₀₉	K₄₁₀	K₄₁₁	K₄₁₂	K₄₁₃	K₄₁₄	K₄₁₅	K₄₁₆	K₄₁₇	K₄₁₈	K₄₁₉	K₄₂₀	K₄₂₁	K₄₂₂	K₄₂₃	K₄₂₄	K₄₂₅	K₄₂₆	K₄₂₇	K₄₂₈	K₄₂₉	K₄₃₀	K₄₃₁	K₄₃₂	K₄₃₃	K₄₃₄	K₄₃₅	K₄₃₆	K₄₃₇	K₄₃₈	K₄₃₉	K₄₄₀	K₄₄₁	K₄₄₂	K₄₄₃	K₄₄₄	K₄₄₅	K₄₄₆	K₄₄₇	K₄₄₈	K₄₄₉	K₄₅₀	K₄₅₁	K₄₅₂	K₄₅₃	K₄₅₄	K₄₅₅	K₄₅₆	K₄₅₇	K₄₅₈	K₄₅₉	K₄₆₀	K₄₆₁	K₄₆₂	K₄₆₃	K₄₆₄	K₄₆₅	K₄₆₆	K₄₆₇	K₄₆₈	K₄₆₉	K₄₇₀	K₄₇₁	K₄₇₂	K₄₇₃	K₄₇₄	K₄₇₅	K₄₇₆	K₄₇₇	K₄₇₈	K₄₇₉	K₄₈₀	K₄₈₁	K₄₈₂	K₄₈₃	K₄₈₄	K₄₈₅	K₄₈₆	K₄₈₇	K₄₈₈	K₄₈₉	K₄₉₀	K₄₉₁	K₄₉₂	K₄₉₃	K₄₉₄	K₄₉₅	K₄₉₆	K₄₉₇	K₄₉₈	K₄₉₉	K₅₀₀	K₅₀₁	K₅₀₂	K₅₀₃	K₅₀₄	K₅₀₅	K₅₀₆	K₅₀₇	K₅₀₈	K₅₀₉	K₅₁₀	K₅₁₁	K₅₁₂	K₅₁₃	K₅₁₄	K₅₁₅	K₅₁₆	K₅₁₇	K₅₁₈	K₅₁₉	K₅₂₀	K₅₂₁	K₅₂₂	K₅₂₃	K₅₂₄	K₅₂₅	K₅₂₆	K₅₂₇	K₅₂₈	K₅₂₉	K₅₃₀	K₅₃₁	K₅₃₂	K₅₃₃	K₅₃₄	K₅₃₅	K₅₃₆	K₅₃₇	K₅₃₈	K₅₃₉	K₅₄₀	K₅₄₁	K₅₄₂	K₅₄₃	K₅₄₄	K₅₄₅	K₅₄₆	K₅₄₇	K₅₄₈	K₅₄₉	K₅₅₀	K₅₅₁	K₅₅₂	K₅₅₃	K₅₅₄	K₅₅₅	K₅₅₆	K₅₅₇	K₅₅₈	K₅₅₉	K₅₆₀	K₅₆₁	K₅₆₂	K₅₆₃	K₅₆₄	K₅₆₅	K₅₆₆	K₅₆₇	K₅₆₈	K₅₆₉	K₅₇₀	K₅₇₁	K₅₇₂	K₅₇₃	K₅₇₄	K₅₇₅	K₅₇₆	K₅₇₇	K₅₇₈	K₅₇₉	K₅₈₀	K₅₈₁	K₅₈₂	K₅₈₃	K₅₈₄	K₅₈₅	K₅₈₆	K₅₈₇	K₅₈₈	K₅₈₉	K₅₉₀	K₅₉₁	K₅₉₂	K₅₉₃	K₅₉₄	K₅₉₅	K₅₉₆	K₅₉₇	K₅₉₈	K₅₉₉	K₆₀₀	K₆₀₁	K₆₀₂	K₆₀₃	K₆₀₄	K₆₀₅	K₆₀₆	K₆₀₇	K₆₀₈	K₆₀₉	K₆₁₀	K₆₁₁	K₆₁₂	K₆₁₃	K₆₁₄</

TABEL PENULANGAN BALOK ANAK LANTAI

BALOK ANAK MEMANJANG

1	2 - C - (146)	Tump. II	#17020000 210	410	390	54	Persing. Tengah	Sekitar 0000 170.18	151.45	791.800 4	250427728.5	0.0035	0.028	0.0287	1.54	0.004	0.004	0.021	2.01	3.278	2.488	549	187	W000004741
2	2 - C - E (123.111)	Tump. II	#17020000 210	410	390	54	Persing. Tengah	Sekitar 0000 170.18	151.45	791.800 4	250427728.5	0.0035	0.028	0.0287	1.54	0.004	0.004	0.021	2.01	3.278	2.488	549	187	W000004741
3	2 - E - D (98.444)	Tump. II	#17020000 210	410	390	54	Persing. Tengah	Sekitar 0000 170.18	151.45	791.800 4	250427728.5	0.0035	0.028	0.0287	1.54	0.004	0.004	0.021	2.01	3.278	2.488	549	187	W000004741
4	2 - C - H (67)	Tump. II	#17020000 210	410	390	54	Persing. Tengah	Sekitar 0000 170.18	151.45	791.800 4	250427728.5	0.0035	0.028	0.0287	1.54	0.004	0.004	0.021	2.01	3.278	2.488	549	187	W000004741
5	4 - A - C (158.147)	Tump. II	#17020000 210	410	390	54	Persing. Tengah	Sekitar 0000 170.18	151.45	791.800 4	250427728.5	0.0035	0.028	0.0287	1.54	0.004	0.004	0.021	2.01	3.278	2.488	549	187	W000004741
6	4 - C - D (125)	Tump. II	#17020000 210	410	390	54	Persing. Tengah	Sekitar 0000 170.18	151.45	791.800 4	250427728.5	0.0035	0.028	0.0287	1.54	0.004	0.004	0.021	2.01	3.278	2.488	549	187	W000004741
7	4 - F - G (89)	Tump. II	#17020000 210	410	390	54	Persing. Tengah	Sekitar 0000 170.18	151.45	791.800 4	250427728.5	0.0035	0.028	0.0287	1.54	0.004	0.004	0.021	2.01	3.278	2.488	549	187	W000004741
8	4 - G - I (89.55)	Tump. II	#17020000 210	410	390	54	Persing. Tengah	Sekitar 0000 170.18	151.45	791.800 4	250427728.5	0.0035	0.028	0.0287	1.54	0.004	0.004	0.021	2.01	3.278	2.488	549	187	W000004741
9	6 - A - C (158.144)	Tump. II	#17020000 210	410	390	54	Persing. Tengah	Sekitar 0000 170.18	151.45	791.800 4	250427728.5	0.0035	0.028	0.0287	1.54	0.004	0.004	0.021	2.01	3.278	2.488	549	187	W000004741
10	6 - C - D (127)	Tump. II	#17020000 210	410	390	54	Persing. Tengah	Sekitar 0000 170.18	151.45	791.800 4	250427728.5	0.0035	0.028	0.0287	1.54	0.004	0.004	0.021	2.01	3.278	2.488	549	187	W000004741
11	6 - F - G (89)	Tump. II	#17020000 210	410	390	54	Persing. Tengah	Sekitar 0000 170.18	151.45	791.800 4	250427728.5	0.0035	0.028	0.0287	1.54	0.004	0.004	0.021	2.01	3.278	2.488	549	187	W000004741
12	6 - G - I (77.37)	Tump. II	#17020000 210	410	390	54	Persing. Tengah	Sekitar 0000 170.18	151.45	791.800 4	250427728.5	0.0035	0.028	0.0287	1.54	0.004	0.004	0.021	2.01	3.278	2.488	549	187	W000004741
13	6 - B - C (147)	Tump. II	#17020000 210	410	390	54	Persing. Tengah	Sekitar 0000 170.18	151.45	791.800 4	250427728.5	0.0035	0.028	0.0287	1.54	0.004	0.004	0.021	2.01	3.278	2.488	549	187	W000004741
14	6 - C - E (129.114)	Tump. II	#17020000 210	410	390	54	Persing. Tengah	Sekitar 0000 170.18	151.45	791.800 4	250427728.5	0.0035	0.028	0.0287	1.54	0.004	0.004	0.021	2.01	3.278	2.488	549	187	W000004741
15	6 - E - G (112.89)	Tump. II	#17020000 210	410	390	54	Persing. Tengah	Sekitar 0000 170.18	151.45	791.800 4	250427728.5	0.0035	0.028	0.0287	1.54	0.004	0.004	0.021	2.01	3.278	2.488	549	187	W000004741
16	6 - G - H (23)	Tump. II	#17020000 210	410	390	54	Persing. Tengah	Sekitar 0000 170.18	151.45	791.800 4	250427728.5	0.0035	0.028	0.0287	1.54	0.004	0.004	0.021	2.01	3.278	2.488	549	187	W000004741

BALOK DALAM SHEARWALL										
		Tump. H	Lapangan	0	500	1000	1500	2000	2500	3000
1	+	5. D - R	Lapangan	23442319000	350	1825	550	482	51	Penang, Terengganu
1	+	5. D - R	Tump. B	0	250	550	482	51	548	Batik 1 penleh
2	+	6. D - F	Lapangan	1872119000	350	1825	550	482	51	Penang, Terengganu
2	+	6. D - F	Tump. B	0	250	550	482	51	548	Batik 1 penleh
3	+	E - F - G (1156-147)	Lapangan	87054660	550	1825	550	482	51	Penang, Terengganu
3	+	E - F - G (1156-147)	Tump. B	0	350	635	580	530	482	Batik 1 penleh
4	+	E - F - G - E	Lapangan	347814000	250	1825	550	482	51	Penang, Terengganu
4	+	E - F - G - E	Tump. B	0	350	635	582	530	482	Batik 1 penleh
5	+	5. E - R	Lapangan	445445000	250	1825	550	482	51	Penang, Terengganu
5	+	5. E - R	Tump. B	0	350	635	582	530	482	Batik 1 penleh
6	+	5. E - R - F	Lapangan	478132000	250	1825	550	482	51	Penang, Terengganu
6	+	5. E - R - F	Tump. B	0	350	635	582	530	482	Batik 1 penleh
7	+	5. E - D - E	Lapangan	478132000	250	1825	550	482	51	Penang, Terengganu
7	+	5. E - D - E	Tump. B	0	350	635	582	530	482	Batik 1 penleh

TABEL PERHITUNGAN TULANGAN GESEN BALOK ANAK
PADALASTAI

**TABEL PERHITUNGAN TULANGAN GESER BALOK ANAK
PADA AUDITORIUM**

$b = 260 \text{ mm}$ $t_c = 24.6 \text{ Mpa}$
 $h = 450 \text{ mm}$ $\gamma = 3000 \text{ mm}$
 $g = 252 \text{ mm}$
 $a_V = 157 \text{ mm}$

KE. BALOK	DAERAH (sejarak d)										DAERAH (sejarak 2 h)											
	km	lapangan	kanan	VU _{sejarak}	eVs	Vub + eVb	eVs	jarak S	Syarat	Diparal	eVs _{sejarak}	Vub + eVb + eVs	KONTROL	VU _{sejarak}	eub + eVb	eVs	jarak S	Syarat	Diparal	eVs _{sejarak}	Vub + eVb + eVs	KONTROL
N	N	N	N	N	N	N	N	mm	d/4 (mm)	Sengkang	N	N	N	N	N	N	mm	d/2 (mm)	Sengkang	N	N	N
ANGAN GESER BALOK ANAK MELINTANG																						
1 - 2 - 3 (60)	56351.2	-	37413.4	49554.38	48606.42	ya	Tul sengkang praktis	300	D10 - 200 mm	72006.48	120612.90	oke	40746.25	ya	Tul sengkang praktis	300	D10 - 200 mm	72006.48	120612.90	oke		
3 - 5 (61-62)	70975.8	10157.3	83223.0	74410.15	48606.42	tidak	25803.73	558.11	D10 - 95 mm	151592.59	200199.01	oke	62989.42	tidak	14383.00	1001.27	196	D10 - 190 mm	73796.29	124402.71	oke	
5 - 7 (63-64)	83223.0	10157.3	70975.8	74410.15	48606.42	tidak	25803.73	558.11	D10 - 95 mm	151592.59	200199.01	oke	62989.42	tidak	14383.00	1001.27	196	D10 - 190 mm	73796.29	124402.71	oke	
7 - 8 (65)	37413.4	-	56351.2	49554.38	48606.42	ya	Tul sengkang praktis	300	D10 - 200 mm	72006.48	120612.90	oke	40746.25	ya	Tul sengkang praktis	300	D10 - 200 mm	72006.48	120612.90	oke		
1 - 3 (92-93)	67213.4	5852.4	70975.8	63610.91	48606.42	tidak	14404.49	999.78	D10 - 95 mm	151592.59	200199.01	oke	51230.51	ya	Tul sengkang praktis	300	D10 - 200 mm	72006.48	120612.90	oke		
3 - 4 (94)	50789.6	-	28549.7	44663.59	48606.42	ya	Tul sengkang praktis	300	D10 - 200 mm	72006.48	120612.90	oke	36724.79	ya	Tul sengkang praktis	300	D10 - 200 mm	72006.48	120612.90	oke		
5 - 6 - 7 (95)	28549.7	-	50789.6	44663.59	48606.42	ya	Tul sengkang praktis	300	D10 - 200 mm	72006.48	120612.90	oke	36724.79	ya	Tul sengkang praktis	300	D10 - 200 mm	72006.48	120612.90	oke		
7 - 9 (96-97)	70850.7	5852.4	67213.4	63010.91	48606.42	tidak	14404.49	999.78	D10 - 95 mm	151592.59	200199.01	oke	40746.25	ya	Tul sengkang praktis	300	D10 - 200 mm	72006.48	120612.90	oke		
1, 11 - 12 (116,117)	67213.4	5852.4	70850.7	62305.02	48606.42	tidak	13698.60	1051.30	D10 - 95 mm	191562.59	200199.01	oke	51230.51	ya	Tul sengkang praktis	300	D10 - 200 mm	72006.48	120612.90	oke		
11 - 12 (118)	50789.6	-	28549.7	44663.59	48606.42	ya	Tul sengkang praktis	300	D10 - 200 mm	72006.48	120612.90	oke	36724.79	ya	Tul sengkang praktis	300	D10 - 200 mm	72006.48	120612.90	oke		
6 - 7 (119)	28549.7	-	50789.6	44663.59	48606.42	ya	Tul sengkang praktis	300	D10 - 200 mm	72006.48	120612.90	oke	36724.79	ya	Tul sengkang praktis	300	D10 - 200 mm	72006.48	120612.90	oke		
7 - 9 (120 - 121)	70850.7	5852.4	67213.4	62305.02	48606.42	tidak	13698.60	1051.30	D10 - 95 mm	151592.59	200199.01	oke	40746.25	ya	Tul sengkang praktis	300	D10 - 200 mm	72006.48	120612.90	oke		
2 - 3 (148)	56351.2	-	37413.4	49554.38	48606.42	ya	Tul sengkang praktis	300	D10 - 200 mm	72006.48	120612.90	oke	40746.25	ya	Tul sengkang praktis	300	D10 - 200 mm	72006.48	120612.90	oke		
3 - 5 (149,150)	70975.8	10157.3	83223.0	63640.15	48606.42	tidak	15033.73	957.93	D10 - 95 mm	151592.59	200199.01	oke	62989.42	tidak	14383.00	1001.27	196	D10 - 190 mm	75796.29	124402.71	oke	
5 - 7 (151,152)	83223.0	10157.3	70975.8	63640.15	48606.42	tidak	15033.73	957.93	D10 - 95 mm	151592.59	200199.01	oke	62989.42	tidak	14383.00	1001.27	196	D10 - 190 mm	75796.29	124402.71	oke	
7 - 8 (153)	37413.4	-	56351.2	49554.38	48606.42	ya	Tul sengkang praktis	300	D10 - 200 mm	72006.48	120612.90	oke	40746.25	ya	Tul sengkang praktis	300	D10 - 200 mm	72006.48	120612.90	oke		
ANGAN GESER BALOK ANAK MEMANJANG																						
B - C (140)	56351.2	-	37413.4	49554.38	48606.42	ya	Tul sengkang praktis	300	D10 - 200 mm	72006.48	120612.90	oke	40746.25	ya	Tul sengkang praktis	300	D10 - 200 mm	72006.48	120612.90	oke		
C - E (123-111)	70975.8	10157.3	83223.0	74410.15	48606.42	tidak	25803.73	558.11	D10 - 95 mm	151592.59	200199.01	oke	62989.42	tidak	14383.00	1001.27	196	D10 - 190 mm	75796.29	124402.71	oke	
E - G (99-84)	83223.0	10157.3	70975.8	74410.15	48606.42	tidak	25803.73	558.11	D10 - 95 mm	151592.59	200199.01	oke	62989.42	tidak	14383.00	1001.27	196	D10 - 190 mm	75796.29	124402.71	oke	
G - H (87)	37413.4	-	56351.2	49554.38	48606.42	ya	Tul sengkang praktis	300	D10 - 200 mm	72006.48	120612.90	oke	40746.25	ya	Tul sengkang praktis	300	D10 - 200 mm	72006.48	120612.90	oke		
A - C (156-142)	67213.4	5852.4	70850.7	63010.91	48606.42	tidak	14404.49	999.78	D10 - 95 mm	151592.59	200199.01	oke	51230.51	ya	Tul sengkang praktis	300	D10 - 200 mm	72006.48	120612.90	oke		
C - D (125)	50789.6	-	28549.7	44663.59	48606.42	ya	Tul sengkang praktis	300	D10 - 200 mm	72006.48	120612.90	oke	36724.79	ya	Tul sengkang praktis	300	D10 - 200 mm	72006.48	120612.90	oke		
F - G (86)	28549.7	-	50789.6	44663.59	48606.42	ya	Tul sengkang praktis	300	D10 - 200 mm	72006.48	120612.90	oke	36724.79	ya	Tul sengkang praktis	300	D10 - 200 mm	72006.48	120612.90	oke		
G - I (69-55)	70850.7	5852.4	67213.4	63010.91	48606.42	tidak	14404.49	999.78	D10 - 95 mm	151592.59	200199.01	oke	40746.25	ya	Tul sengkang praktis	300	D10 - 200 mm	72006.48	120612.90	oke		
A - C (158-144)	67213.4	5852.4	70850.7	62305.02	48606.42	tidak	13698.60	1051.30	D10 - 95 mm	151592.59	200199.01	oke	51230.51	ya	Tul sengkang praktis	300	D10 - 200 mm	72006.48	120612.90	oke		
C - D (127)	50789.6	-	28549.7	44663.59	48606.42	ya	Tul sengkang praktis	300	D10 - 200 mm	72006.48	120612.90	oke	36724.79	ya	Tul sengkang praktis	300	D10 - 200 mm	72006.48	120612.90	oke		
F - G (88)	28549.7	-	50789.6	44663.59	48606.42	ya	Tul sengkang praktis	300	D10 - 200 mm	72006.48	120612.90	oke	36724.79	ya	Tul sengkang praktis	300	D10 - 200 mm	72006.48	120612.90	oke		
G - I (71 - 57)	70850.7	5852.4	67213.4	62305.02	48606.42	tidak	13698.60	1051.30	D10 - 95 mm	151592.59	200199.01	oke	40746.25	ya	Tul sengkang praktis	300	D10 - 200 mm	72006.48	120612.90	oke		
B - C (146)	56351.2	-	37413.4	49554.38	48606.42	ya	Tul sengkang praktis	300	D10 - 200 mm	72006.48	120612.90	oke	40746.25	ya	Tul sengkang praktis	300	D10 - 200 mm	72006.48	120612.90	oke		
C - F (128,114)	70975.8	10157.3	83223.0	63640.15	48606.42	tidak	15033.73	957.93	D10 - 95 mm	151592.59	200199.01	oke	62989.42	tidak	14383.00	1001.27	196	D10 - 190 mm	75796.29	124402.71	oke	
E - G (102,90)	83223.0	10157.3	70975.8	63640.15	48606.42	tidak	15033.73	957.93	D10 - 95 mm	151592.59	200199.01	oke	62989.42	tidak	14383.00	1001.27	196	D10 - 190 mm	75796.29	124402.71	oke	
G - H (73)	37413.4	-	56351.2	49554.38	48606.42	ya	Tul sengkang praktis	300	D10 - 200 mm	72006.48	120612.90	oke	40746.25	ya	Tul sengkang praktis	300	D10 - 200 mm	72006.48	120612.90	oke		

**TABEL PERHITUNGAN TULANGAN TORSI DAN PANJANG PENYALURAN BALOK ANAK
PADA LANTAI**

d_e	=	162.5 cm	t_c	=	24.5 mm	M_{pl}	
a	=	25 cm	f_y	=	390 mm		
h	=	45 cm	σ_{cg}^2	=	141562.5 cm ²		
c	=	392 mm	x_1	=	160 mm		
decking	=	40 mm	x_2	=	360 mm		
A_u	=	751 mm	$T_{u_{min}}$	=	2106.36 Nmm		

No	AS BALOK	Tu Nm	Kontrol Tu < Tu _{ref}	Av _{min} mm ²	Kontrol Av _{ref} < Av _{max}	Torsi Nm	A_t mm ²	Desain Akhir Tulang Balok Anak (mm ²)			Tul. Tengah (mm ²)			Jumlah Tulangan Akhir			Kontrol Lentur (N _{lent} + k)	Kontrol Relax < 30 MPa	Panjang Penyaluran (mm)			
								1/4 A ₁	Jarak (As)	lekan (As)	As (1/2 A ₁)	Tank (As)	tekan (As)	As _{pergel}	L _g (D-16 mm)	1/4 x L _{db}						
TULANGAN TORSI DAN PANJANG PENYALURAN BALOK ANAK MELINTANG																						
1	H-2-3 (60)	5.1	ya	42.74	ya	abarkan	111.11	27.78	429.73	228.75	55.56	3-D16	596	2-D16	397	2-D13	253	296.26	17.52	312.32	400	560
2	H-3-5 (61-62)	321.2	ya	20.30	ya	abarkan	111.11	27.78	435.09	231.43	55.56	3-D16	596	2-D16	397	2-D13	253	296.26	17.52	312.32	400	560
3	H-5-7 (63-64)	321.2	ya	20.30	ya	abarkan	111.11	27.78	730.96	379.37	55.56	3-D16	596	2-D16	397	2-D13	253	296.26	17.52	312.32	400	560
4	H-7-8 (65)	5.1	ya	42.74	ya	abarkan	111.11	27.78	379.57	203.68	55.56	3-D16	596	2-D16	397	2-D13	253	296.26	17.52	312.32	400	560
5	F-1-3 (82-93)	336.8	ya	20.30	ya	abarkan	111.11	27.78	429.73	228.75	55.56	3-D16	596	2-D16	397	2-D13	253	296.26	17.52	312.32	400	560
6	F-3-4 (94)	6.3	ya	42.74	ya	abarkan	111.11	27.78	379.57	203.68	55.56	3-D16	596	2-D16	397	2-D13	253	296.26	17.52	312.32	400	560
7	F-6-7 (95)	6.3	ya	42.74	ya	abarkan	111.11	27.78	379.57	203.68	55.56	3-D16	596	2-D16	397	2-D13	253	296.26	17.52	312.32	400	560
8	F-7-9 (96-97)	336.8	ya	20.30	ya	abarkan	111.11	27.78	444.56	236.17	55.56	3-D16	596	2-D16	397	2-D13	253	296.26	17.52	312.32	400	560
9	D-1-3 (116,117)	336.8	ya	20.30	ya	abarkan	111.11	27.78	379.57	203.68	55.56	3-D16	596	2-D16	397	2-D13	253	296.26	17.52	312.32	400	560
10	D-91-92 (118)	6.3	ya	42.74	ya	abarkan	111.11	27.78	444.56	236.17	55.56	3-D16	596	2-D16	397	2-D13	253	296.26	17.52	312.32	400	560
11	D-6-7 (119)	6.3	ya	42.74	ya	abarkan	111.11	27.78	379.57	203.68	55.56	3-D16	596	2-D16	397	2-D13	253	296.26	17.52	312.32	400	560
12	D-7-9 (120-121)	336.8	ya	20.30	ya	abarkan	111.11	27.78	379.57	203.68	55.56	3-D16	596	2-D16	397	2-D13	253	296.26	17.52	312.32	400	560
13	B-2-3 (148)	5.1	ya	42.74	ya	abarkan	111.11	27.78	379.57	203.68	55.56	3-D16	596	2-D16	397	2-D13	253	296.26	17.52	312.32	400	560
14	B-3-5 (149,150)	321.2	ya	20.30	ya	abarkan	111.11	27.78	435.09	231.43	55.56	3-D16	596	2-D16	397	2-D13	253	296.26	17.52	312.32	400	560
15	B-5-7 (151,152)	321.2	ya	20.30	ya	abarkan	111.11	27.78	730.96	379.37	55.56	3-D16	596	2-D16	397	2-D13	253	296.26	17.52	312.32	400	560
16	B-7-8 (153)	5.1	ya	42.74	ya	abarkan	111.11	27.78	379.57	203.68	55.56	3-D16	596	2-D16	397	2-D13	253	296.26	17.52	312.32	400	560

NATIONAL OSTEOPATHIC PRACTITIONERS' PERSPECTIVE

S/N	NAME OF THE FIRM	ADDRESS	TELEPHONE NUMBER	TELEGRAM ADDRESS	BALANCE SHEET		STATEMENT OF PROFIT AND LOSS	
					AS AT 31ST MARCH	AS AT 31ST MARCH	FOR THE YEAR	FOR THE YEAR
1	1. B - C (1140)	5.1	98	4274	2778	2778	2778	2778
2	2. C - E (123-111)	3242	98	2030	98	abraham 11111	2178	42912
3	3. 2. E - G (198-84)	3212	98	2030	98	abraham 11111	2178	22875
4	4. 2. G - H (67)	5.1	98	4274	98	abraham 11111	2178	22778
5	5. 4. B - C (156-142)	3368	98	2030	98	abraham 11111	2178	43543
6	6. 4. C - D (126)	6.3	98	4274	98	abraham 11111	2178	30358
7	7. 4. F - G (66)	6.3	98	4274	98	abraham 11111	2178	31968
8	8. 4. G - I (69-25)	3368	98	2030	98	abraham 11111	2178	2778
9	9. A - C (158-144)	3368	98	2030	98	abraham 11111	2178	2778
10	10. 6. C - D (177)	6.3	98	4274	98	abraham 11111	2178	20368
11	11. 6. F - G (88)	6.3	98	4274	98	abraham 11111	2178	21778
12	12. 5. G - H (71- 57)	3368	98	2030	98	abraham 11111	2178	37957
13	13. 6. B - C (148)	5.1	98	4274	98	abraham 11111	2178	20368
14	14. 6. C - E (128-114)	3242	98	2030	98	abraham 11111	2178	37957
15	15. B - E (102-90)	3242	98	2030	98	abraham 11111	2178	20368
16	16. 6. C - H (73)	5.1	98	4274	98	abraham 11111	2178	37957

**TABEL PERHITUNGAN TULANGAN TORSI DAN PANJANG PENYALURAN BALOK ANAK
PADA AUDITORIUM**

b_e	=	162.5 cm	t_e	=	24.6 Mpa
t	=	25 cm	t_y	=	390 mm
h	=	45 cm	$E x^2 y$	=	141562.5 cm ²
d	=	392 mm	x_1	=	160 mm
decking	=	40 mm	y_1	=	360 mm
F_x	=	157 mm	$T_{U_{max}}$	=	2106.36 Nm

AS BALOK	Tu Nm	Kontrol $T_u < T_{U_{max}}$	$A_{V_{min}}$ mm ²	Kontrol $A_{V_{min}} < A_{V_{max}}$	Torsi Nm	A_s mm ²	Desain Akhir Tulang Balok Anak (mm ²)			Isi Tengah (mm ²)	Jumlah Tulangan Akhir			Kontrol Lentur ($P_{n_{min}} + \delta$)	Kontrol Rendah ($> 30 MN/m^2$)	Panjang Penyaluran (mm)					
							1/4 A _s	Tank (As)	tekan (As')		As (1/2 · A _s)	tank (As)	tekan (As')	As _{spare}							
LANGAN TORSI DAN PANJANG PENYALURAN BALOK ANAK MELINTANG																					
H. 2 - 3 (60)	6.4	ya	42.74	ya	abaiakan	111.11	27.78	518.28	273.03	55.56	3-D16	596	2-D16	397	2-D13	253	296.26	17.52	312.32	400	560
H. 3 - 5 (61-62)	400.4	ya	20.30	ya	abaiakan	111.11	27.78	525.69	276.73	55.56	3-D16	596	2-D16	397	2-D13	253	296.26	17.52	312.32	400	560
H. 5 - 7 (63-64)	400.4	ya	20.30	ya	abaiakan	111.11	27.78	891.93	459.86	55.56	5-D16	993	3-D16	596	2-D13	253	296.26	17.52	312.32	400	560
H. 7 - E (65)	6.4	ya	42.74	ya	abaiakan	111.11	27.78	379.57	203.68	55.56	3-D16	596	2-D16	397	2-D13	253	296.26	17.52	312.32	400	560
F. 1 - 3 (92-93)	408.4	ya	20.30	ya	abaiakan	111.11	27.78	379.57	203.68	55.56	3-D16	596	2-D16	397	2-D13	253	296.26	17.52	312.32	400	560
F. 3 - 4 (94)	7.6	ya	42.74	ya	abaiakan	111.11	27.78	379.57	203.68	55.56	3-D16	596	2-D16	397	2-D13	253	296.26	17.52	312.32	400	560
F. 5 - 7 (95)	7.6	ya	42.74	ya	abaiakan	111.11	27.78	379.57	203.68	55.56	3-D16	596	2-D16	397	2-D13	253	296.26	17.52	312.32	400	560
F. 7 - 9 (96-97)	408.4	ya	20.30	ya	abaiakan	111.11	27.78	379.57	203.68	55.56	3-D16	596	2-D16	397	2-D13	253	296.26	17.52	312.32	400	560
D. 1 - 3 (116-117)	408.4	ya	20.30	ya	abaiakan	111.11	27.78	379.57	203.68	55.56	3-D16	596	2-D16	397	2-D13	253	296.26	17.52	312.32	400	560
D. 91 - 92 (118)	7.6	ya	42.74	ya	abaiakan	111.11	27.78	537.51	282.64	55.56	3-D16	596	2-D16	397	2-D13	253	296.26	17.52	312.32	400	560
D. 6 - 7 (119)	7.6	ya	42.74	ya	abaiakan	111.11	27.78	379.57	203.68	55.56	3-D16	596	2-D16	397	2-D13	253	296.26	17.52	312.32	400	560
D. 7 - 9 (120 - 121)	408.4	ya	20.30	ya	abaiakan	111.11	27.78	379.57	203.68	55.56	3-D16	596	2-D16	397	2-D13	253	296.26	17.52	312.32	400	560
B. 2 - 3 (148)	6.4	ya	42.74	ya	abaiakan	111.11	27.78	518.28	273.03	55.56	3-D16	596	2-D16	397	2-D13	253	296.26	17.52	312.32	400	560
B. 3 - 5 (149-150)	400.4	ya	20.30	ya	abaiakan	111.11	27.78	525.69	276.73	55.56	3-D16	596	2-D16	397	2-D13	253	296.26	17.52	312.32	400	560
B. 5 - 7 (151-152)	400.4	ya	20.30	ya	abaiakan	111.11	27.78	891.93	459.86	55.56	5-D16	993	3-D16	596	2-D13	253	296.26	17.52	312.32	400	560
B. 7 - 9 (153)	6.4	ya	42.74	ya	abaiakan	111.11	27.78	379.57	203.68	55.56	3-D16	596	2-D16	397	2-D13	253	296.26	17.52	312.32	400	560
								518.28	273.03	55.56	3-D16	596	2-D16	397	2-D13	253					

LANGANTORSI DAN PANJANG PENYALURAN BALOK ANAK MEMANJANG

2 B C (140)	6.4	ya	42 74	ya	abakan	111 111	27 78	510 29	273 03	55 95	3-D16	397	2-D13	253	296 26	17 52	312 32	400	560
2 C - E (123+111)	400 4	ya	20 30	ya	abakan	111 111	27 78	525 69	276 73	55 95	3-D16	596	2-D16	243	296 26	17 52	312 32	400	560
2 E (G 159+84)	400 4	ya	20 30	ya	abakan	111 111	27 78	891 93	459 86	55 95	5-D16	993	3-D16	253	296 26	17 52	312 32	400	560
2, G (67)	6.4	ya	42 74	ya	abakan	111 111	27 78	379 51	203 66	55 95	3-D16	596	2-D16	253	296 26	17 52	312 32	400	560
4, A - C (156+142)	400 4	ya	20 30	ya	abakan	111 111	27 78	518 28	203 64	55 95	3-D16	596	2-D16	253	296 26	17 52	312 32	400	560
4, C - D (125)	7.6	ya	42 74	ya	abakan	111 111	27 78	518 28	276 73	55 95	3-D16	596	2-D16	253	296 26	17 52	312 32	400	560
4, F - G (66)	7.6	ya	42 74	ya	abakan	111 111	27 78	891 93	459 86	55 95	3-D16	596	2-D16	253	296 26	17 52	312 32	400	560
4, G (169+55)	400 4	ya	20 30	ya	abakan	111 111	27 78	27 78	203 66	55 95	3-D16	596	2-D16	253	296 26	17 52	312 32	400	560
5, A - C (158+144)	400 4	ya	20 30	ya	abakan	111 111	27 78	518 28	273 03	55 95	3-D16	596	2-D16	253	296 26	17 52	312 32	400	560
6, C - D (127)	7.6	ya	42 74	ya	abakan	111 111	27 78	424 62	226 72	55 95	3-D16	596	2-D16	253	296 26	17 52	312 32	400	560
6, F - G (88)	7.6	ya	42 74	ya	abakan	111 111	27 78	537 51	292 64	55 95	3-D16	596	2-D16	253	296 26	17 52	312 32	400	560
6, G (77+57)	400 4	ya	20 30	ya	abakan	111 111	27 78	379 51	203 64	55 95	3-D16	596	2-D16	253	296 26	17 52	312 32	400	560
8, B - C (146)	6.4	ya	42 74	ya	abakan	111 111	27 78	424 62	226 70	55 95	3-D16	596	2-D16	253	296 26	17 52	312 32	400	560
8, C - E (129+114)	400 4	ya	20 30	ya	abakan	111 111	27 78	379 51	203 64	55 95	3-D16	596	2-D16	253	296 26	17 52	312 32	400	560
8, E (102+90)	-400 4	ya	20 30	ya	abakan	111 111	27 78	379 51	203 64	55 95	3-D16	596	2-D16	253	296 26	17 52	312 32	400	560
B, G (117)	6.4	ya	42 74	ya	abakan	111 111	27 78	379 51	203 60	55 95	3-D16	596	2-D16	253	296 26	17 52	312 32	400	560



PT. Sinar
Mas Agroindo

TABEL COMBINASI GAYA-GAYA DALAM STRUKTUR UTAMA

TABEL PERHITUNGAN MOMEN NOMINAL BALOK INDUK

ARAH X		ARAH Y		ARAH Z	
E1-405	487-491	E2-500	Pengaruh	E3-511	Tujuan
E1-406	492-497	E2-500	Bahan T	E3-512	Hasil
E1-407	498-501	E2-500	Stok T	E3-513	Kebutuhan
E1-408	502-505	E2-500	Stok T	E3-514	Produksi
E1-409	506-510	E2-500	Stok T	E3-515	Penjualan
E1-410	511-515	E2-500	Stok T	E3-516	Perbaikan
E1-411	516-517	E2-500	Stok T	E3-517	Logistik
E1-412	518-519	E2-500	Stok T	E3-518	Marketing
E1-413	520-521	E2-500	Stok T	E3-519	R&D
E1-414	522-523	E2-500	Stok T	E3-520	Layanan
E1-415	524-525	E2-500	Stok T	E3-521	Administrasi
E1-416	526-527	E2-500	Stok T	E3-522	Keuangan
E1-417	528-529	E2-500	Stok T	E3-523	Logistik
E1-418	530-531	E2-500	Stok T	E3-524	Produksi
E1-419	532-533	E2-500	Stok T	E3-525	Perbaikan
E1-420	534-535	E2-500	Stok T	E3-526	Marketing
E1-421	536-537	E2-500	Stok T	E3-527	R&D
E1-422	538-539	E2-500	Stok T	E3-528	Layanan
E1-423	540-541	E2-500	Stok T	E3-529	Administrasi
E1-424	542-543	E2-500	Stok T	E3-530	Keuangan
E1-425	544-545	E2-500	Stok T	E3-531	Logistik
E1-426	546-547	E2-500	Stok T	E3-532	Produksi
E1-427	548-549	E2-500	Stok T	E3-533	Perbaikan
E1-428	550-551	E2-500	Stok T	E3-534	Marketing
E1-429	552-553	E2-500	Stok T	E3-535	R&D
E1-430	554-555	E2-500	Stok T	E3-536	Layanan
E1-431	556-557	E2-500	Stok T	E3-537	Administrasi
E1-432	558-559	E2-500	Stok T	E3-538	Keuangan
E1-433	560-561	E2-500	Stok T	E3-539	Logistik
E1-434	562-563	E2-500	Stok T	E3-540	Produksi
E1-435	564-565	E2-500	Stok T	E3-541	Perbaikan
E1-436	566-567	E2-500	Stok T	E3-542	Marketing
E1-437	568-569	E2-500	Stok T	E3-543	R&D
E1-438	570-571	E2-500	Stok T	E3-544	Layanan
E1-439	572-573	E2-500	Stok T	E3-545	Administrasi
E1-440	574-575	E2-500	Stok T	E3-546	Keuangan
E1-441	576-577	E2-500	Stok T	E3-547	Logistik
E1-442	578-579	E2-500	Stok T	E3-548	Produksi
E1-443	580-581	E2-500	Stok T	E3-549	Perbaikan
E1-444	582-583	E2-500	Stok T	E3-550	Marketing
E1-445	584-585	E2-500	Stok T	E3-551	R&D
E1-446	586-587	E2-500	Stok T	E3-552	Layanan
E1-447	588-589	E2-500	Stok T	E3-553	Administrasi
E1-448	590-591	E2-500	Stok T	E3-554	Keuangan
E1-449	592-593	E2-500	Stok T	E3-555	Logistik
E1-450	594-595	E2-500	Stok T	E3-556	Produksi
E1-451	596-597	E2-500	Stok T	E3-557	Perbaikan
E1-452	598-599	E2-500	Stok T	E3-558	Marketing
E1-453	600-601	E2-500	Stok T	E3-559	R&D
E1-454	602-603	E2-500	Stok T	E3-560	Layanan
E1-455	604-605	E2-500	Stok T	E3-561	Administrasi
E1-456	606-607	E2-500	Stok T	E3-562	Keuangan
E1-457	608-609	E2-500	Stok T	E3-563	Logistik
E1-458	610-611	E2-500	Stok T	E3-564	Produksi
E1-459	612-613	E2-500	Stok T	E3-565	Perbaikan
E1-460	614-615	E2-500	Stok T	E3-566	Marketing
E1-461	616-617	E2-500	Stok T	E3-567	R&D
E1-462	618-619	E2-500	Stok T	E3-568	Layanan
E1-463	620-621	E2-500	Stok T	E3-569	Administrasi
E1-464	622-623	E2-500	Stok T	E3-570	Keuangan
E1-465	624-625	E2-500	Stok T	E3-571	Logistik
E1-466	626-627	E2-500	Stok T	E3-572	Produksi
E1-467	628-629	E2-500	Stok T	E3-573	Perbaikan
E1-468	630-631	E2-500	Stok T	E3-574	Marketing
E1-469	632-633	E2-500	Stok T	E3-575	R&D
E1-470	634-635	E2-500	Stok T	E3-576	Layanan
E1-471	636-637	E2-500	Stok T	E3-577	Administrasi
E1-472	638-639	E2-500	Stok T	E3-578	Keuangan
E1-473	640-641	E2-500	Stok T	E3-579	Logistik
E1-474	642-643	E2-500	Stok T	E3-580	Produksi
E1-475	644-645	E2-500	Stok T	E3-581	Perbaikan
E1-476	646-647	E2-500	Stok T	E3-582	Marketing
E1-477	648-649	E2-500	Stok T	E3-583	R&D
E1-478	650-651	E2-500	Stok T	E3-584	Layanan
E1-479	652-653	E2-500	Stok T	E3-585	Administrasi
E1-480	654-655	E2-500	Stok T	E3-586	Keuangan
E1-481	656-657	E2-500	Stok T	E3-587	Logistik
E1-482	658-659	E2-500	Stok T	E3-588	Produksi
E1-483	660-661	E2-500	Stok T	E3-589	Perbaikan
E1-484	662-663	E2-500	Stok T	E3-590	Marketing
E1-485	664-665	E2-500	Stok T	E3-591	R&D
E1-486	666-667	E2-500	Stok T	E3-592	Layanan
E1-487	668-669	E2-500	Stok T	E3-593	Administrasi
E1-488	670-671	E2-500	Stok T	E3-594	Keuangan
E1-489	672-673	E2-500	Stok T	E3-595	Logistik
E1-490	674-675	E2-500	Stok T	E3-596	Produksi
E1-491	676-677	E2-500	Stok T	E3-597	Perbaikan
E1-492	678-679	E2-500	Stok T	E3-598	Marketing
E1-493	680-681	E2-500	Stok T	E3-599	R&D
E1-494	682-683	E2-500	Stok T	E3-600	Layanan
E1-495	684-685	E2-500	Stok T	E3-601	Administrasi
E1-496	686-687	E2-500	Stok T	E3-602	Keuangan
E1-497	688-689	E2-500	Stok T	E3-603	Logistik
E1-498	690-691	E2-500	Stok T	E3-604	Produksi
E1-499	692-693	E2-500	Stok T	E3-605	Perbaikan
E1-500	694-695	E2-500	Stok T	E3-606	Marketing
E1-501	696-697	E2-500	Stok T	E3-607	R&D
E1-502	698-699	E2-500	Stok T	E3-608	Layanan
E1-503	700-701	E2-500	Stok T	E3-609	Administrasi
E1-504	702-703	E2-500	Stok T	E3-610	Keuangan
E1-505	704-705	E2-500	Stok T	E3-611	Logistik
E1-506	706-707	E2-500	Stok T	E3-612	Produksi
E1-507	708-709	E2-500	Stok T	E3-613	Perbaikan
E1-508	710-711	E2-500	Stok T	E3-614	Marketing
E1-509	712-713	E2-500	Stok T	E3-615	R&D
E1-510	714-715	E2-500	Stok T	E3-616	Layanan
E1-511	716-717	E2-500	Stok T	E3-617	Administrasi
E1-512	718-719	E2-500	Stok T	E3-618	Keuangan
E1-513	720-721	E2-500	Stok T	E3-619	Logistik
E1-514	722-723	E2-500	Stok T	E3-620	Produksi
E1-515	724-725	E2-500	Stok T	E3-621	Perbaikan
E1-516	726-727	E2-500	Stok T	E3-622	Marketing
E1-517	728-729	E2-500	Stok T	E3-623	R&D
E1-518	730-731	E2-500	Stok T	E3-624	Layanan
E1-519	732-733	E2-500	Stok T	E3-625	Administrasi
E1-520	734-735	E2-500	Stok T	E3-626	Keuangan
E1-521	736-737	E2-500	Stok T	E3-627	Logistik
E1-522	738-739	E2-500	Stok T	E3-628	Produksi
E1-523	740-741	E2-500	Stok T	E3-629	Perbaikan
E1-524	742-743	E2-500	Stok T	E3-630	Marketing
E1-525	744-745	E2-500	Stok T	E3-631	R&D
E1-526	746-747	E2-500	Stok T	E3-632	Layanan
E1-527	748-749	E2-500	Stok T	E3-633	Administrasi
E1-528	750-751	E2-500	Stok T	E3-634	Keuangan
E1-529	752-753	E2-500	Stok T	E3-635	Logistik
E1-530	754-755	E2-500	Stok T	E3-636	Produksi
E1-531	756-757	E2-500	Stok T	E3-637	Perbaikan
E1-532	758-759	E2-500	Stok T	E3-638	Marketing
E1-533	760-761	E2-500	Stok T	E3-639	R&D
E1-534	762-763	E2-500	Stok T	E3-640	Layanan
E1-535	764-765	E2-500	Stok T	E3-641	Administrasi
E1-536	766-767	E2-500	Stok T	E3-642	Keuangan
E1-537	768-769	E2-500	Stok T	E3-643	Logistik
E1-538	770-771	E2-500	Stok T	E3-644	Produksi
E1-539	772-773	E2-500	Stok T	E3-645	Perbaikan
E1-540	774-775	E2-500	Stok T	E3-646	Marketing
E1-541	776-777	E2-500	Stok T	E3-647	R&D
E1-542	778-779	E2-500	Stok T	E3-648	Layanan
E1-543	780-781	E2-500	Stok T	E3-649	Administrasi
E1-544	782-783	E2-500	Stok T	E3-650	Keuangan
E1-545	784-785	E2-500	Stok T	E3-651	Logistik
E1-546	786-787	E2-500	Stok T	E3-652	Produksi
E1-547	788-789	E2-500	Stok T	E3-653	Perbaikan
E1-548	790-791	E2-500	Stok T	E3-654	Marketing
E1-549	792-793	E2-500	Stok T	E3-655	R&D
E1-550	794-795	E2-500	Stok T	E3-656	Layanan
E1-551	796-797	E2-500	Stok T	E3-657	Administrasi
E1-552	798-799	E2-500	Stok T	E3-658	Keuangan
E1-553	800-801	E2-500	Stok T	E3-659	Logistik
E1-554	802-803	E2-500	Stok T	E3-660	Produksi
E1-555	804-805	E2-500	Stok T	E3-661	Perbaikan
E1-556	806-807	E2-500	Stok T	E3-662	Marketing
E1-557	808-809	E2-500	Stok T	E3-663	R&D
E1-558	810-811	E2-500	Stok T	E3-664	Layanan
E1-559	812-813	E2-500	Stok T	E3-665	Administrasi
E1-560	814-815	E2-500	Stok T	E3-666	Keuangan
E1-561	816-817	E2-500	Stok T	E3-667	Logistik
E1-562	818-819	E2-500	Stok T	E3-668	Produksi
E1-563	820-821	E2-500	Stok T	E3-669	Perbaikan
E1-564	822-823	E2-500	Stok T	E3-670	Marketing
E1-565	824-825	E2-500	Stok T	E3-671	R&D
E1-566	826-827	E2-500	Stok T	E3-672	Layanan
E1-567	828-829	E2-500	Stok T	E3-673	Administrasi
E1-568	830-831	E2-500	Stok T	E3-674	Keuangan
E1-569	832-833	E2-500	Stok T	E3-675	Logistik
E1-570	834-835	E2-500	Stok T	E3-676	Produksi
E1-571	836-837	E2-500	Stok T	E3-677	Perbaikan
E1-572	838-839	E2-500	Stok T	E3-678	Marketing
E1-573	840-841	E2-500	Stok T	E3-679	R&D
E1-574	842-843	E2-500	Stok T	E3-680	Layanan
E1-575	844-845	E2-500	Stok T	E3-681	Administrasi
E1-576	846-847	E2-500	Stok T	E3-682	Keuangan
E1-577	848-849	E2-500	Stok T	E3-683	Logistik
E1-578	850-851	E2-500	Stok T	E3-684	Produksi
E1-579	852-853	E2-500	Stok T	E3-685	Perbaikan
E1-580	854-855	E2-500	Stok T	E3-686	Marketing
E1-581	856-857	E2-500	Stok T	E3-687	R&D
E1-582	858-859	E2-500	Stok T	E3-688	Layanan
E1-583	860-861	E2-500	Stok T	E3-689	Administrasi
E1-584	862-865	E2-500	Stok T	E3-690	Keuangan
E1-586	866-867	E2-500	Stok T	E3-691	Logistik
E1-587	868-869	E2-500	Stok T	E3-692	Produksi
E1-588	870-871	E2-500	Stok T	E3-693	Perbaikan
E1-589	872-873	E2-500	Stok T	E3-694	Marketing
E1-590	874-875	E2-500	Stok T	E3-695	R&D
E1-591	876-877	E2-500	Stok T	E3-696	Layanan
E1-592	878-879	E2-500	Stok T	E3-697	Administrasi
E1-593	880-881	E2-500	Stok T	E3-698	Keuangan
E1-594	882-883	E2-500	Stok T	E3-699	Logistik
E1-595	884-885	E2-500	Stok T	E3-700	Produksi
E1-596	886-887	E2-500	Stok T	E3-701	Perbaikan
E1-597	888-889	E2-500	Stok T	E3-702	Marketing
E1-598	890-891	E2-500	Stok T	E3-703	R&D
E1-599	892-893	E2-500	Stok T	E3-704	Layanan
E1-600	894-895	E2-500	Stok T	E3-705	Administrasi
E1-601	896-897	E2-500	Stok T	E3-706	Keuangan
E1-602	898-899	E2-500	Stok T	E3	

TAHAP PERPUTINGAN MOMEN KAPASITAS BALOK INDUK GEDUNG STIKOM

TABEL PERHITUNGAN PENULANGAN GESEK DAN TORSI BALOK INDUK

Balok	Panjang	Lebar	Tebak	Akar	Tipe	Jarak	Jarak	Mengalih	Mengalih	Y₁	Y₂	Y₃	Y₄	Y₅	Y₆	Y₇	Y₈	Y₉	Y₁₀	Y₁₁	Y₁₂	Y₁₃	Y₁₄	Y₁₅	Y₁₆	Y₁₇	Y₁₈	Y₁₉	Y₂₀	Y₂₁	Y₂₂	Y₂₃	Y₂₄	Y₂₅	Y₂₆	Y₂₇	Y₂₈	Y₂₉	Y₃₀	Y₃₁	Y₃₂	Y₃₃	Y₃₄	Y₃₅	Y₃₆	Y₃₇	Y₃₈	Y₃₉	Y₄₀	Y₄₁	Y₄₂	Y₄₃	Y₄₄	Y₄₅	Y₄₆	Y₄₇	Y₄₈	Y₄₉	Y₅₀	Y₅₁	Y₅₂	Y₅₃	Y₅₄	Y₅₅	Y₅₆	Y₅₇	Y₅₈	Y₅₉	Y₆₀	Y₆₁	Y₆₂	Y₆₃	Y₆₄	Y₆₅	Y₆₆	Y₆₇	Y₆₈	Y₆₉	Y₇₀	Y₇₁	Y₇₂	Y₇₃	Y₇₄	Y₇₅	Y₇₆	Y₇₇	Y₇₈	Y₇₉	Y₈₀	Y₈₁	Y₈₂	Y₈₃	Y₈₄	Y₈₅	Y₈₆	Y₈₇	Y₈₈	Y₈₉	Y₉₀	Y₉₁	Y₉₂	Y₉₃	Y₉₄	Y₉₅	Y₉₆	Y₉₇	Y₉₈	Y₉₉	Y₁₀₀	Y₁₀₁	Y₁₀₂	Y₁₀₃	Y₁₀₄	Y₁₀₅	Y₁₀₆	Y₁₀₇	Y₁₀₈	Y₁₀₉	Y₁₁₀	Y₁₁₁	Y₁₁₂	Y₁₁₃	Y₁₁₄	Y₁₁₅	Y₁₁₆	Y₁₁₇	Y₁₁₈	Y₁₁₉	Y₁₂₀	Y₁₂₁	Y₁₂₂	Y₁₂₃	Y₁₂₄	Y₁₂₅	Y₁₂₆	Y₁₂₇	Y₁₂₈	Y₁₂₉	Y₁₃₀	Y₁₃₁	Y₁₃₂	Y₁₃₃	Y₁₃₄	Y₁₃₅	Y₁₃₆	Y₁₃₇	Y₁₃₈	Y₁₃₉	Y₁₄₀	Y₁₄₁	Y₁₄₂	Y₁₄₃	Y₁₄₄	Y₁₄₅	Y₁₄₆	Y₁₄₇	Y₁₄₈	Y₁₄₉	Y₁₅₀	Y₁₅₁	Y₁₅₂	Y₁₅₃	Y₁₅₄	Y₁₅₅	Y₁₅₆	Y₁₅₇	Y₁₅₈	Y₁₅₉	Y₁₆₀	Y₁₆₁	Y₁₆₂	Y₁₆₃	Y₁₆₄	Y₁₆₅	Y₁₆₆	Y₁₆₇	Y₁₆₈	Y₁₆₉	Y₁₇₀	Y₁₇₁	Y₁₇₂	Y₁₇₃	Y₁₇₄	Y₁₇₅	Y₁₇₆	Y₁₇₇	Y₁₇₈	Y₁₇₉	Y₁₈₀	Y₁₈₁	Y₁₈₂	Y₁₈₃	Y₁₈₄	Y₁₈₅	Y₁₈₆	Y₁₈₇	Y₁₈₈	Y₁₈₉	Y₁₉₀	Y₁₉₁	Y₁₉₂	Y₁₉₃	Y₁₉₄	Y₁₉₅	Y₁₉₆	Y₁₉₇	Y₁₉₈	Y₁₉₉	Y₂₀₀	Y₂₀₁	Y₂₀₂	Y₂₀₃	Y₂₀₄	Y₂₀₅	Y₂₀₆	Y₂₀₇	Y₂₀₈	Y₂₀₉	Y₂₁₀	Y₂₁₁	Y₂₁₂	Y₂₁₃	Y₂₁₄	Y₂₁₅	Y₂₁₆	Y₂₁₇	Y₂₁₈	Y₂₁₉	Y₂₂₀	Y₂₂₁	Y₂₂₂	Y₂₂₃	Y₂₂₄	Y₂₂₅	Y₂₂₆	Y₂₂₇	Y₂₂₈	Y₂₂₉	Y₂₃₀	Y₂₃₁	Y₂₃₂	Y₂₃₃	Y₂₃₄	Y₂₃₅	Y₂₃₆	Y₂₃₇	Y₂₃₈	Y₂₃₉	Y₂₄₀	Y₂₄₁	Y₂₄₂	Y₂₄₃	Y₂₄₄	Y₂₄₅	Y₂₄₆	Y₂₄₇	Y₂₄₈	Y₂₄₉	Y₂₅₀	Y₂₅₁	Y₂₅₂	Y₂₅₃	Y₂₅₄	Y₂₅₅	Y₂₅₆	Y₂₅₇	Y₂₅₈	Y₂₅₉	Y₂₆₀	Y₂₆₁	Y₂₆₂	Y₂₆₃	Y₂₆₄	Y₂₆₅	Y₂₆₆	Y₂₆₇	Y₂₆₈	Y₂₆₉	Y₂₇₀	Y₂₇₁	Y₂₇₂	Y₂₇₃	Y₂₇₄	Y₂₇₅	Y₂₇₆	Y₂₇₇	Y₂₇₈	Y₂₇₉	Y₂₈₀	Y₂₈₁	Y₂₈₂	Y₂₈₃	Y₂₈₄	Y₂₈₅	Y₂₈₆	Y₂₈₇	Y₂₈₈	Y₂₈₉	Y₂₉₀	Y₂₉₁	Y₂₉₂	Y₂₉₃	Y₂₉₄	Y₂₉₅	Y₂₉₆	Y₂₉₇	Y₂₉₈	Y₂₉₉	Y₃₀₀	Y₃₀₁	Y₃₀₂	Y₃₀₃	Y₃₀₄	Y₃₀₅	Y₃₀₆	Y₃₀₇	Y₃₀₈	Y₃₀₉	Y₃₁₀	Y₃₁₁	Y₃₁₂	Y₃₁₃	Y₃₁₄	Y₃₁₅	Y₃₁₆	Y₃₁₇	Y₃₁₈	Y₃₁₉	Y₃₂₀	Y₃₂₁	Y₃₂₂	Y₃₂₃	Y₃₂₄	Y₃₂₅	Y₃₂₆	Y₃₂₇	Y₃₂₈	Y₃₂₉	Y₃₃₀	Y₃₃₁	Y₃₃₂	Y₃₃₃	Y₃₃₄	Y₃₃₅	Y₃₃₆	Y₃₃₇	Y₃₃₈	Y₃₃₉	Y₃₄₀	Y₃₄₁	Y₃₄₂	Y₃₄₃	Y₃₄₄	Y₃₄₅	Y₃₄₆	Y₃₄₇	Y₃₄₈	Y₃₄₉	Y₃₅₀	Y₃₅₁	Y₃₅₂	Y₃₅₃	Y₃₅₄	Y₃₅₅	Y₃₅₆	Y₃₅₇	Y₃₅₈	Y₃₅₉	Y₃₆₀	Y₃₆₁	Y₃₆₂	Y₃₆₃	Y₃₆₄	Y₃₆₅	Y₃₆₆	Y₃₆₇	Y₃₆₈	Y₃₆₉	Y₃₇₀	Y₃₇₁	Y₃₇₂	Y₃₇₃	Y₃₇₄	Y₃₇₅	Y₃₇₆	Y₃₇₇	Y₃₇₈	Y₃₇₉	Y₃₈₀	Y₃₈₁	Y₃₈₂	Y₃₈₃	Y₃₈₄	Y₃₈₅	Y₃₈₆	Y₃₈₇	Y₃₈₈	Y₃₈₉	Y₃₉₀	Y₃₉₁	Y₃₉₂	Y₃₉₃	Y₃₉₄	Y₃₉₅	Y₃₉₆	Y₃₉₇	Y₃₉₈	Y₃₉₉	Y₄₀₀	Y₄₀₁	Y₄₀₂	Y₄₀₃	Y₄₀₄	Y₄₀₅	Y₄₀₆	Y₄₀₇	Y₄₀₈	Y₄₀₉	Y₄₁₀	Y₄₁₁	Y₄₁₂	Y₄₁₃	Y₄₁₄	Y₄₁₅	Y₄₁₆	Y₄₁₇	Y₄₁₈	Y₄₁₉	Y₄₂₀	Y₄₂₁	Y₄₂₂	Y₄₂₃	Y₄₂₄	Y₄₂₅	Y₄₂₆	Y₄₂₇	Y₄₂₈	Y₄₂₉	Y₄₃₀	Y₄₃₁	Y₄₃₂	Y₄₃₃	Y₄₃₄	Y₄₃₅	Y₄₃₆	Y₄₃₇	Y₄₃₈	Y₄₃₉	Y₄₄₀	Y₄₄₁	Y₄₄₂	Y₄₄₃	Y₄₄₄	Y₄₄₅	Y₄₄₆	Y₄₄₇	Y₄₄₈	Y₄₄₉	Y₄₅₀	Y₄₅₁	Y₄₅₂	Y₄₅₃	Y₄₅₄	Y₄₅₅	Y₄₅₆	Y₄₅₇	Y₄₅₈	Y₄₅₉	Y₄₆₀	Y₄₆₁	Y₄₆₂	Y₄₆₃	Y₄₆₄	Y₄₆₅	Y₄₆₆	Y₄₆₇	Y₄₆₈	Y₄₆₉	Y₄₇₀	Y₄₇₁	Y₄₇₂	Y₄₇₃	Y₄₇₄	Y₄₇₅	Y₄₇₆	Y₄₇₇	Y₄₇₈	Y₄₇₉	Y₄₈₀	Y₄₈₁	Y₄₈₂	Y₄₈₃	Y₄₈₄	Y₄₈₅	Y₄₈₆	Y₄₈₇	Y₄₈₈	Y₄₈₉	Y₄₉₀	Y₄₉₁	Y₄₉₂	Y₄₉₃	Y₄₉₄	Y₄₉₅	Y₄₉₆	Y₄₉₇	Y₄₉₈	Y₄₉₉	Y₅₀₀	Y₅₀₁	Y₅₀₂	Y₅₀₃	Y₅₀₄	Y₅₀₅	Y₅₀₆	Y₅₀₇	Y₅₀₈	Y₅₀₉	Y₅₁₀	Y₅₁₁	Y₅₁₂	Y₅₁₃	Y₅₁₄	Y₅₁₅	Y₅₁₆	Y₅₁₇	Y₅₁₈	Y₅₁₉	Y₅₂₀	Y₅₂₁	Y₅₂₂	Y₅₂₃	Y₅₂₄	Y₅₂₅	Y₅₂₆	Y₅₂₇	Y₅₂₈	Y₅₂₉	Y₅₃₀	Y₅₃₁	Y₅₃₂	Y₅₃₃	Y₅₃₄	Y₅₃₅	Y₅₃₆	Y₅₃₇	Y₅₃₈	Y₅₃₉	Y₅₄₀	Y₅₄₁	Y₅₄₂	Y₅₄₃	Y₅₄₄	Y₅₄₅	Y₅₄₆	Y₅₄₇	Y₅₄₈	Y₅₄₉	Y₅₅₀	Y₅₅₁	Y₅₅₂	Y₅₅₃	Y₅₅₄	Y₅₅₅	Y₅₅₆	Y₅₅₇	Y₅₅₈	Y₅₅₉	Y₅₆₀	Y₅₆₁	Y₅₆₂	Y₅₆₃	Y₅₆₄	Y₅₆₅	Y₅₆₆	Y₅₆₇	Y₅₆₈	Y₅₆₉	Y₅₇₀	Y₅₇₁	Y₅₇₂	Y₅₇₃	Y₅₇₄	Y₅₇₅	Y₅₇₆	Y₅₇₇	Y₅₇₈	Y₅₇₉	Y₅₈₀	Y₅₈₁	Y₅₈₂	Y₅₈₃	Y₅₈₄	Y₅₈₅	Y₅₈₆	Y₅₈₇	Y₅₈₈	Y₅₈₉	Y₅₉₀	Y₅₉₁	Y₅₉₂	Y₅₉₃	Y₅₉₄	Y₅₉₅	Y₅₉₆	Y₅₉₇	Y₅₉₈	Y₅₉₉	Y₆₀₀	Y₆₀₁	Y₆₀₂	Y₆₀₃	Y₆₀₄	Y₆₀₅	Y₆₀₆	Y₆₀₇	Y₆₀₈	Y₆₀₉	Y₆₁₀	Y₆₁₁	Y₆₁₂	Y₆₁₃	Y₆₁₄	Y₆₁₅	Y₆₁₆	Y₆₁₇	Y₆₁₈	Y₆₁₉	Y₆₂₀	Y₆₂₁	Y₆₂₂	Y₆₂₃	Y₆₂₄	Y₆₂₅	Y₆₂₆	Y₆₂₇	Y₆₂₈	Y₆₂₉	Y₆₃₀	Y₆₃₁	Y₆₃₂	Y₆₃₃	Y₆₃₄	Y₆₃₅	Y₆₃₆	Y₆₃₇	Y₆₃₈	Y₆₃₉	Y₆₄₀	Y₆₄₁	Y₆₄₂	Y₆₄₃	Y₆₄₄	Y₆₄₅	Y₆₄₆	Y₆₄₇	Y₆₄₈	Y₆₄₉	Y₆₅₀	Y₆₅₁	Y₆₅₂	Y₆₅₃	Y₆₅₄	Y₆₅₅	Y₆₅₆	Y₆₅₇	Y₆₅₈	Y₆₅₉	Y₆₆₀	Y₆₆₁	Y₆₆₂	Y₆₆₃	Y₆₆₄	Y₆₆₅</th

TABEL PERHIT时NGAN GAYA-GAYA DAN MOMEN YANG DIPAKAI UNTUK PENULANGAN KOLOM

T I G A	850	X	atas bawah	600	600	4	1354.42	922.84	301.44	49.51	44.12	195.7	2391.12	0.79	0.54	698.574	587.869	784.757	1165.800	1142.412	2418.246	4036.985	2418.246	
		Y	atas bawah	600	600	4	1354.42	922.84	301.44	38.24	33.61	195	2391.12	0.79	0.52	698.574	587.869	698.574	587.869	1142.412	2418.246	4036.985	2418.246	
	851	X	atas bawah	600	600	4	1222.03	632.98	539.35	44.88	27.41	171.9	2157.76	0.70	0.53	698.574	587.869	698.574	587.869	1012.264	1011.799	2184.883	5102.612	2184.883
		Y	atas bawah	600	600	4	1222.03	632.98	539.35	26	12.96	169.9	2157.76	0.70	0.53	698.574	587.869	698.574	587.869	1012.264	1011.799	2184.883	5102.612	2184.883
	853	X	atas bawah	600	600	4	1086.2	736.96	107.35	35.6	29.12	164.5	1913.90	0.69	0.52	698.574	587.869	698.574	587.869	758.504	996.006	1941.021	2500.029	1941.021
		Y	atas bawah	600	600	4	1086.2	736.96	107.35	25.14	18.54	164.4	1913.90	0.69	0.52	698.574	587.869	698.574	587.869	997.803	759.142	943.709	996.006	1941.021
	856	X	atas bawah	600	600	4	1354.42	1200.98	242.54	45.61	29.46	187	2662.17	0.73	0.54	698.574	587.869	698.574	587.869	784.303	780.702	1012.286	2669.293	2669.293
		Y	atas bawah	600	600	4	1354.42	1200.98	242.54	35.99	31.02	192.2	2662.17	0.73	0.52	698.574	587.869	698.574	587.869	1051.308	755.006	1012.286	2669.293	2669.293
	857	X	atas bawah	600	600	4	1411.89	1238.8	51.11	49.51	44.12	167.5	2784.06	0.71	0.53	698.574	587.869	698.574	587.869	780.503	1029.617	761.434	1017.424	1029.617
		Y	atas bawah	600	600	4	1411.89	1238.8	51.11	38.24	33.61	187.6	2784.06	0.71	0.53	698.574	587.869	698.574	587.869	780.503	1029.617	761.434	1017.424	1029.617
	858	X	atas bawah	600	600	4	1222.03	632.98	539.47	44.88	27.41	171.9	2157.76	0.73	0.53	698.574	587.869	698.574	587.869	780.131	1011.799	1011.799	2184.883	5103.257
		Y	atas bawah	600	600	4	1222.03	632.98	539.47	20	12.96	169.9	2157.76	0.73	0.53	698.574	587.869	698.574	587.869	780.131	1011.799	1011.799	2184.883	5103.257
	1273	X	atas bawah	600	600	4	1172.45	798.88	244.9	48.09	26.23	180.2	2069.90	0.69	0.57	698.574	587.869	698.574	587.869	825.132	1056.157	997.803	2097.019	3407.051
		Y	atas bawah	600	600	4	1172.45	498.88	244.9	35.24	20.81	178.8	1754.90	0.69	0.57	698.574	587.869	698.574	587.869	997.803	824.272	1036.999	997.803	1056.157
	1274	X	atas bawah	600	600	4	1059.94	720.27	426.51	47.58	29.03	142.7	1869.22	0.66	0.55	698.574	587.869	698.574	587.869	796.523	873.762	873.762	1896.343	1896.343
		Y	atas bawah	600	600	4	1059.94	720.27	426.51	21.73	14.53	154.1	1869.22	0.66	0.55	698.574	587.869	698.574	587.869	954.420	788.794	865.116	865.116	1896.343
	1278	X	atas bawah	600	600	4	945.61	639.96	98.94	39.45	35.18	149.4	1664.85	0.85	0.54	698.574	587.869	698.574	587.869	782.426	893.630	893.630	1891.971	1891.971
		Y	atas bawah	600	600	4	945.61	639.96	98.94	28.21	24.52	149	1664.85	0.85	0.54	698.574	587.869	698.574	587.869	873.517	869.465	939.959	939.959	1891.971
	1279	X	atas bawah	600	600	4	1537.19	1029.59	180.71	46.15	41.52	169	2695.12	0.70	0.57	698.574	587.869	698.574	587.869	824.540	1013.374	1012.264	2722.242	3730.936
		Y	atas bawah	600	600	4	1537.19	1029.59	180.71	34.12	29.51	167.8	2695.12	0.70	0.54	698.574	587.869	698.574	587.869	784.379	984.682	1012.264	2722.242	3730.936
	1280	X	atas bawah	600	600	4	1596.62	1058.66	151.2	49.94	35.15	170.2	2788.04	0.70	0.54	698.574	587.869	698.574	587.869	787.415	1018.091	1012.264	2815.167	3613.596
		Y	atas bawah	600	600	4	1596.62	1058.66	151.2	25.53	20.21	169.7	2788.04	0.70	0.55	698.574	587.869	698.574	587.869	789.016	975.244	1012.264	2815.167	3613.596
	1281	X	atas bawah	600	600	4	1059.94	720.27	426.62	39.45	35.18	149.4	1869.22	0.66	0.54	698.574	587.869	698.574	587.869	787.372	893.636	893.636	1896.343	1896.343
		Y	atas bawah	600	600	4	1059.94	720.27	426.62	28.21	24.52	149	1869.22	0.66	0.55	698.574	587.869	698.574	587.869	863.342	796.437	869.465	869.465	1896.343
	1697	X	atas bawah	600	600	4	992.2	674.76	191.1	44.89	26.76	165.7	1750.33	0.65	0.59	698.574	587.869	698.574	587.869	859.932	976.267	976.267	1777.452	2793.735
		Y	atas bawah	600	600	4	992.2	674.76	191.1	39.51	20.15	162.6	1750.33	0.65	0.59	698.574	587.869	698.574	587.869	853.194	954.563	974.454	974.454	1777.452
	1698	X	atas bawah	600	600	4	897.22	607.19	323.69	25.49	20.91	130.2	1579.63	0.64	0.57	698.574	587.869	698.574	587.869	821.410	856.735	856.735	1606.753	3346.978
		Y	atas bawah	600	600	4	897.22	607.19	323.69	25.49	20.91	130.2	1579.63	0.64	0.56	698.574	587.869	698.574	587.869	809.572	813.091	813.091	1606.753	3346.978
	1700	X	atas bawah	600	600	4	803.56	542.33	84.46	34.54	30.21	133.4	1413.18	0.61	0.56	698.574	587.869	698.574	587.869	802.767	795.894	795.894	1440.307	1874.445
		Y	atas bawah	600	600	4	803.56	542.33	84.46	20.14	15.84	133.1	1413.18	0.61	0.55	698.574	587.869	698.574	587.869	802.329	764.744	764.744	1440.307	1874.445
	1703	X	atas bawah	600	600	4	1275.03	858.45	141.63	51.15	46.54	160.2	2240.15	0.66	0.56	698.574	587.869	698.574	587.869	809.811	976.611	976.611	2267.277	3014.546
		Y	atas bawah	600	600	4	1275.03	858.45	141.63	42.15	35.6	159.8	2240.15	0.66	0.56	698.574	587.869	698.574	587.869	803.640	954.528	976.611	2267.277	3014.546
	1704	X	atas bawah	600	600	4	1321.46	879.36	97.7	49.56	42.27	150	2310.90	0.64	0.50	698.574	587.869	698.574	587.869	723.045	931.033	931.033	2338.026	2944.345
		Y	atas bawah	600	600	4	1321.46	879.36	97.7	34.54	31.24	162.3	2310.90	0.64	0.50	698.574	587.869	698.574	587.869	723.045	901.505	925.498	2338.026	2944.345
	1705	X	atas bawah	600	600	4	897.22	607.72	323.73	31.29	24.46	139.8	1580.19	0.65	0.55	698.574	587.869	698.574	587.869	795.352	803.450	795.352	1607.310	3347.753
		Y	atas bawah	600	600	4	897.22	607.72	323.73	22.45	14.63	129.3	1580.19	0.65	0.55	698.574	587.869	698.574	587.869	795.352	803.450	795.352	1607.310	3347.753

ID	X	Y	Z	A1	A2	A3	A4	A5	A6	A7	A8	A9	A10	A11	A12	A13	A14	A15	A16	A17	A18	A19	A20	A21	A22	A23	A24	A25	A26	A27	A28	A29	A30	A31	A32	A33	A34	A35	A36	A37	A38	A39	A40	A41	A42	A43	A44	A45	A46	A47	A48	A49	A50	A51	A52	A53	A54	A55	A56	A57	A58	A59	A60	A61	A62	A63	A64	A65	A66	A67	A68	A69	A70	A71	A72	A73	A74	A75	A76	A77	A78	A79	A80	A81	A82	A83	A84	A85	A86	A87	A88	A89	A90	A91	A92	A93	A94	A95	A96	A97	A98	A99	A100	A101	A102	A103	A104	A105	A106	A107	A108	A109	A110	A111	A112	A113	A114	A115	A116	A117	A118	A119	A120	A121	A122	A123	A124	A125	A126	A127	A128	A129	A130	A131	A132	A133	A134	A135	A136	A137	A138	A139	A140	A141	A142	A143	A144	A145	A146	A147	A148	A149	A150	A151	A152	A153	A154	A155	A156	A157	A158	A159	A160	A161	A162	A163	A164	A165	A166	A167	A168	A169	A170	A171	A172	A173	A174	A175	A176	A177	A178	A179	A180	A181	A182	A183	A184	A185	A186	A187	A188	A189	A190	A191	A192	A193	A194	A195	A196	A197	A198	A199	A200	A201	A202	A203	A204	A205	A206	A207	A208	A209	A210	A211	A212	A213	A214	A215	A216	A217	A218	A219	A220	A221	A222	A223	A224	A225	A226	A227	A228	A229	A230	A231	A232	A233	A234	A235	A236	A237	A238	A239	A240	A241	A242	A243	A244	A245	A246	A247	A248	A249	A250	A251	A252	A253	A254	A255	A256	A257	A258	A259	A260	A261	A262	A263	A264	A265	A266	A267	A268	A269	A270	A271	A272	A273	A274	A275	A276	A277	A278	A279	A280	A281	A282	A283	A284	A285	A286	A287	A288	A289	A290	A291	A292	A293	A294	A295	A296	A297	A298	A299	A300	A301	A302	A303	A304	A305	A306	A307	A308	A309	A310	A311	A312	A313	A314	A315	A316	A317	A318	A319	A320	A321	A322	A323	A324	A325	A326	A327	A328	A329	A330	A331	A332	A333	A334	A335	A336	A337	A338	A339	A340	A341	A342	A343	A344	A345	A346	A347	A348	A349	A350	A351	A352	A353	A354	A355	A356	A357	A358	A359	A360	A361	A362	A363	A364	A365	A366	A367	A368	A369	A370	A371	A372	A373	A374	A375	A376	A377	A378	A379	A380	A381	A382	A383	A384	A385	A386	A387	A388	A389	A390	A391	A392	A393	A394	A395	A396	A397	A398	A399	A400	A401	A402	A403	A404	A405	A406	A407	A408	A409	A410	A411	A412	A413	A414	A415	A416	A417	A418	A419	A420	A421	A422	A423	A424	A425	A426	A427	A428	A429	A430	A431	A432	A433	A434	A435	A436	A437	A438	A439	A440	A441	A442	A443	A444	A445	A446	A447	A448	A449	A450	A451	A452	A453	A454	A455	A456	A457	A458	A459	A460	A461	A462	A463	A464	A465	A466	A467	A468	A469	A470	A471	A472	A473	A474	A475	A476	A477	A478	A479	A480	A481	A482	A483	A484	A485	A486	A487	A488	A489	A490	A491	A492	A493	A494	A495	A496	A497	A498	A499	A500	A501	A502	A503	A504	A505	A506	A507	A508	A509	A510	A511	A512	A513	A514	A515	A516	A517	A518	A519	A520	A521	A522	A523	A524	A525	A526	A527	A528	A529	A530	A531	A532	A533	A534	A535	A536	A537	A538	A539	A540	A541	A542	A543	A544	A545	A546	A547	A548	A549	A550	A551	A552	A553	A554	A555	A556	A557	A558	A559	A560	A561	A562	A563	A564	A565	A566	A567	A568	A569	A570	A571	A572	A573	A574	A575	A576	A577	A578	A579	A580	A581	A582	A583	A584	A585	A586	A587	A588	A589	A590	A591	A592	A593	A594	A595	A596	A597	A598	A599	A600	A601	A602	A603	A604	A605	A606	A607	A608	A609	A610	A611	A612	A613	A614	A615	A616	A617	A618	A619	A620	A621	A622	A623	A624	A625	A626	A627	A628	A629	A630	A631	A632	A633	A634	A635	A636	A637	A638	A639	A640	A641	A642	A643	A644	A645	A646	A647	A648	A649	A650	A651	A652	A653	A654	A655	A656	A657	A658	A659	A660	A661	A662	A663	A664	A665	A666	A667	A668	A669	A670	A671	A672	A673	A674	A675	A676	A677	A678	A679	A680	A681	A682	A683	A684	A685	A686	A687	A688	A689	A690	A691	A692	A693	A694	A695	A696	A697	A698	A699	A700	A701	A702	A703	A704	A705	A706	A707	A708	A709	A710	A711	A712	A713	A714	A715	A716	A717	A718	A719	A720	A721	A722	A723	A724	A725	A726	A727	A728	A729	A730	A731	A732	A733	A734	A735	A736	A737	A738	A739	A740	A741	A742	A743	A744	A745	A746	A747	A748	A749	A750	A751	A752	A753	A754	A755	A756	A757	A758	A759	A760	A761	A762	A763	A764	A765	A766	A767	A768	A769	A770	A771	A772	A773	A774	A775	A776	A777	A778	A779	A780	A781	A782	A783	A784	A785	A786	A787	A788	A789	A790	A791	A792	A793	A794	A795	A796	A797	A798	A799	A800	A801	A802	A803	A804	A805	A806	A807	A808	A809	A810	A811	A812	A813	A814	A815	A816	A817	A818	A819	A820	A821	A822	A823	A824	A825	A826	A827	A828	A829	A830	A831	A832	A833	A834	A835	A836	A837	A838	A839	A840	A841	A842	A843	A844	A845	A846	A847	A848	A849	A850	A851	A852	A853	A854	A855	A856	A857	A858	A859	A860	A861	A862	A863	A864	A865	A866	A867	A868	A869	A870	A871	A872	A873	A874	A875	A876	A877	A878	A879	A880	A881	A882	A883	A884	A885	A886	A887	A888	A889	A890	A891	A892	A893	A894	A895	A896	A897	A898	A899	A900	A901	A902	A903	A904	A905	A906	A907	A908	A909	A910	A911	A912	A913	A914	A915	A916	A917	A918	A919	A920	A921	A922	A923	A924	A925	A926	A927	A928	A929	A930	A931	A932	A933	A934	A935	A936	A937	A938	A939	A940	A941	A942	A943	A944	A945	A946	A947	A948	A949	A950	A951	A952	

S E M B I L A N	3393	X	atas bawah	600	600	4	270.17	177.87	26.87	49.61	32.37	71.02	470.44	0.56	0.53	698.574	587.869	698.574	587.869	766.426	471.966	471.966	497.565	617.152	497.565	
		Y	atas bawah	600	600	4	270.17	177.87	26.87	49.61	32.37	89.05	470.44	0.56	0.53	698.574	587.869	698.574	587.869	809.811	809.811	772.909	465.574	471.966	497.565	617.152
	3394	X	atas bawah	600	600	4	242.73	152.32	44.69	53.17	38.04	81.25	414.80	0.54	0.53	698.574	587.869	698.574	587.869	766.426	428.936	428.936	441.925	658.810	441.925	
		Y	atas bawah	600	600	4	242.73	152.32	44.69	51.23	37.5	80.25	414.80	0.54	0.53	698.574	587.869	698.574	587.869	766.426	423.392	423.392	441.925	658.810	441.925	
	3395	X	atas bawah	600	600	4	226.03	145.63	25.45	35.12	30.02	64.12	390.24	0.56	0.54	698.574	587.869	698.574	587.869	779.509	418.480	806.811	417.366	529.200	417.366	
		Y	atas bawah	600	600	4	226.03	145.63	25.45	33.2	30.01	64.11	390.24	0.56	0.55	698.574	587.869	698.574	587.869	788.356	410.424	809.811	417.366	529.200	417.366	
	3399	X	atas bawah	600	600	4	226.21	175.57	13.7	29.54	21.54	61.77	423.87	0.61	0.32	698.574	587.869	698.574	587.869	462.749	390.495	390.495	451.092	498.771	451.092	
		Y	atas bawah	600	600	4	226.21	175.57	13.7	29.14	21.55	61.45	423.87	0.61	0.45	698.574	587.869	698.574	587.869	682.115	650.741	389.145	390.495	451.092	498.771	451.092
	3400	X	atas bawah	600	600	4	236.72	172.37	17.1	25.91	23.05	68.41	429.54	0.59	0.23	698.574	587.869	698.574	587.869	332.601	424.624	332.601	456.987	522.911	456.987	
		Y	atas bawah	600	600	4	236.72	172.37	17.1	25.91	23	68.17	429.54	0.59	0.23	698.574	587.869	698.574	587.869	653.194	332.601	423.860	332.601	456.987	522.911	456.987
	3401	X	atas bawah	600	600	4	242.73	152.32	42.57	24.91	17.11	77.01	414.80	0.54	0.26	698.574	587.869	698.574	587.869	375.984	455.599	375.984	441.925	647.235	441.925	
		Y	atas bawah	600	600	4	242.73	152.32	42.57	53.17	34.23	69.87	414.80	0.54	0.26	698.574	587.869	698.574	587.869	780.889	482.257	375.984	441.925	647.235	441.925	
A T A P	3818	X	atas bawah	600	600	4	89.91	25.1	3.94	33.56	28.21	75.7	120.76	0.23	0.31	419.017	360.463	419.017	360.463	271.627	477.803	271.627	135.106	142.273	135.106	
		Y	atas bawah	600	600	4	89.91	25.1	3.94	33.56	28.21	75.4	120.76	0.47	0.31	419.017	360.463	419.017	360.463	199.622	271.627	476.821	271.627	135.106	142.273	135.106
	3819	X	atas bawah	600	600	4	80.82	22.02	12.53	35.53	27.22	60.99	107.68	0.37	0.34	419.017	360.463	419.017	360.463	297.913	396.855	297.913	122.328	176.396	122.328	
		Y	atas bawah	600	600	4	80.82	22.02	12.53	23.27	18.88	60.96	107.68	0.45	0.34	419.017	360.463	419.017	360.463	297.913	391.120	297.913	122.328	176.396	122.328	
	3821	X	atas bawah	600	600	4	79.06	23.12	9.4	20.54	16.51	7.1	107.29	0.46	0.26	419.017	360.463	419.017	360.463	245.340	424.040	245.340	121.635	158.613	121.635	
		Y	atas bawah	600	600	4	79.06	23.12	9.4	8.6	7.1	69	107.29	0.45	0.26	419.017	360.463	419.017	360.463	403.895	245.340	395.745	245.340	121.635	158.613	121.635
	3823	X	atas bawah	600	600	4	24.47	22.02	11.4	35.53	27.22	63.39	48.81	0.51	0.29	419.017	360.463	419.017	360.463	254.102	411.997	254.102	63.160	111.059	63.160	
		Y	atas bawah	600	600	4	24.47	22.02	11.4	23.27	18.89	63.38	48.81	0.22	0.29	419.017	360.463	419.017	360.463	254.102	390.377	254.102	63.160	111.059	63.160	

TABEL PENULANGAN LENTUR KOLOM DAN PENULANGAN GESEN KOLOM

TABEL PERHITUNGAN THIK PERTEMUAN BALOK DAN KOLOM

TABEL PERHITUNGAN DAKTILITAS BALOK INDUK

level	Elemen	Tul. Tarik	Tul. Tekan	As (tarik) mm ²	As' (tekan) mm ²	p	p'	κ	$\kappa \times \delta$	φ_y	α	C	φ_u	μ	Kontrol $\mu > 4$
1	BI 35/55	9 D-19	4 D-19	2579	1146	0.01508	0.00670	0.09519	46.50	4.412E-06	76.364	89.84	3.339E-05	7.57	Oke!
2	BI 35/55	9 D-19	4 D-19	2579	1146	0.01508	0.00670	0.09519	46.50	4.412E-06	76.364	89.84	3.339E-05	7.57	Oke!
3	BI 35/55	9 D-19	4 D-19	2579	1146	0.01508	0.00670	0.09519	46.50	4.412E-06	76.364	89.84	3.339E-05	7.57	Oke!
4	BI 35/55	9 D-19	4 D-19	2579	1146	0.01508	0.00670	0.09519	46.50	4.412E-06	76.364	89.84	3.339E-05	7.57	Oke!
5	BI 35/55	9 D-19	4 D-19	2579	1146	0.01508	0.00670	0.09519	46.50	4.412E-06	76.364	89.84	3.339E-05	7.57	Oke!
6	BI 35/55	9 D-19	4 D-19	2579	1146	0.01508	0.00670	0.09519	46.50	4.412E-06	76.364	89.84	3.339E-05	7.57	Oke!
7	BI 35/56	9 D-19	4 D-19	2579	1146	0.01508	0.00670	0.09519	46.50	4.412E-06	76.364	89.84	3.339E-05	7.57	Oke!
8	BI 35/57	9 D-19	4 D-19	2579	1146	0.01508	0.00670	0.09519	46.50	4.412E-06	76.364	89.84	3.339E-05	7.57	Oke!
9	BI 35/58	9 D-19	4 D-19	2579	1146	0.01508	0.00670	0.09519	46.50	4.412E-06	76.364	89.84	3.339E-05	7.57	Oke!

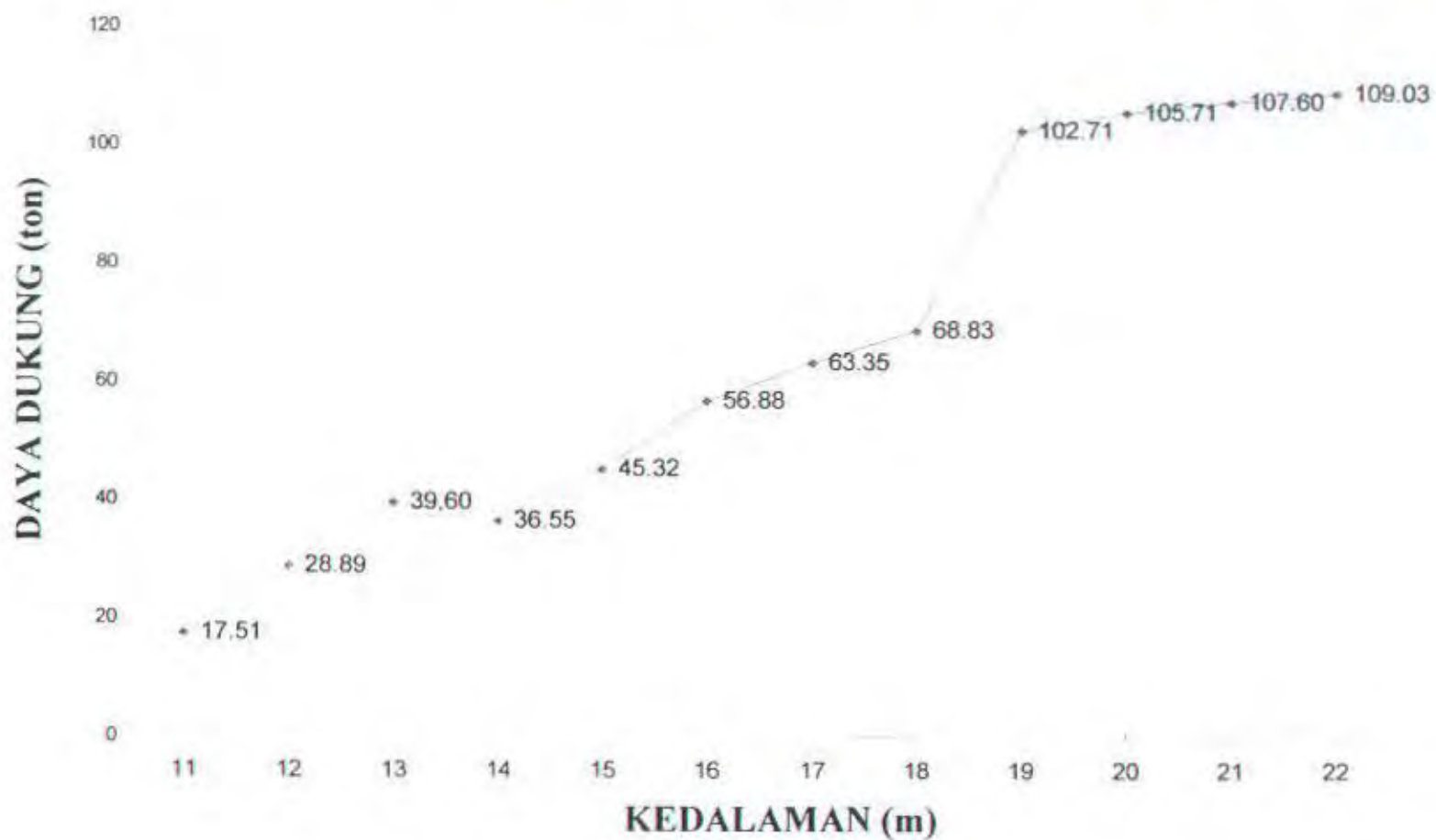
TABEL PERHITNGAN PENILANGAN SHEARWALL

DAYA DUKUNG TIANG PANCANG

Kedalaman (m)	Deskripsi tanah	K t/m ²	N	N _p	N _s	A _p m ²	A _s m ²	Q _p ton	Q _s ton	P _{ijin} ton
11	lanau berlempung	20	7	6.00	3.50	0.13	13.82	15.07	29.93	17.51
12	lanau berlempung	20	12	12.00	5.25	0.13	15.07	30.14	41.45	28.89
13	lanau berlempung	20	17	16.00	7.75	0.13	16.33	40.19	58.51	39.60
14	lempung kuning	12	19	19.33	8.25	0.13	17.58	29.14	65.94	36.55
15	lempung kuning	12	22	23.33	10.25	0.13	18.84	35.17	83.21	45.32
16	lempung kuning	12	29	27.33	13.25	0.13	20.10	41.20	108.85	56.88
17	lempung kuning	12	31	31.33	13.75	0.13	21.35	47.23	119.22	63.35
18	lempung kuning	12	34	33.00	14.50	0.13	22.61	49.74	131.88	68.83
19	lanau berpasir	25	36	33.33	16.00	0.13	23.86	104.67	151.14	102.71
20	lanau berpasir	25	33	32.67	16.50	0.13	25.12	102.57	163.28	105.71
21	lanau berpasir	25	32	31.67	16.75	0.13	26.38	99.43	173.64	107.60
22	lanau berpasir	25	31	30.33	17.00	0.13	27.63	95.25	184.21	109.03

Diameter tiang pancang = 400 mm

GRAFIK DAYA DUKUNG TIANG



TABEL KEBUTUHAN TIANG BERDASAR BEBAN KERJA

ELEMEN	P ton	M _x ton-m	M _y ton-m	I m	b m	i m	X maks m	Y maks m	Pile teah	ΣX^+ m ²	ΣY^+ m ²	P maks ton	P akt ton	eff	P ign ton	Kontrol
P 1	278.67	23.59	6.87	3.5	3.5	1.25	1.25	1.25	5	9.375	9.375	59.795	112.87	0.83315	94.04	oke
P 2	308.04	24.15	7.46	3.5	3.5	1.25	1.25	1.25	5	9.375	9.375	65.822	112.87	0.83315	94.04	oke
P 3	278.67	23.59	6.87	3.5	3.5	1.25	1.25	1.25	5	9.375	9.375	59.795	112.87	0.83315	94.04	oke
P 4	246.02	21.84	6.59	3.5	3.5	1.25	1.25	1.25	4	1.5625	1.5625	84.250	112.87	0.86213	97.31	oke
P 5	246.02	21.84	6.59	3.5	3.5	1.25	1.25	1.25	4	1.5625	1.5625	84.250	112.87	0.86213	97.31	oke
P 6	278.67	23.59	6.87	3.5	3.5	1.25	1.25	1.25	5	1.5625	1.5625	80.101	112.87	0.83315	94.04	oke
P 7	429.67	25.62	7.54	3.5	3.5	1.25	1.25	1.25	9	9.375	9.375	52.162	112.87	0.80017	90.31	oke
P 8	409.53	27.91	8.56	3.5	3.5	1.25	1.25	1.25	9	9.375	9.375	50.366	112.87	0.80017	90.31	oke
P 9	429.67	25.62	7.54	3.5	3.5	1.25	1.25	1.25	9	9.375	9.375	52.162	112.87	0.80017	90.31	oke
P 10	278.67	23.59	6.87	3.5	3.5	1.25	1.25	1.25	5	1.5625	1.5625	80.101	112.87	0.83315	94.04	oke
P 11	308.04	24.15	7.46	3.5	3.5	1.25	1.25	1.25	5	1.5625	1.5625	86.895	113.87	0.83315	94.87	oke
P 12	409.53	27.91	8.56	3.5	3.5	1.25	1.25	1.25	9	9.375	9.375	50.366	112.87	0.80017	90.31	oke
P 13	409.53	27.91	8.56	3.5	3.5	1.25	1.25	1.25	9	9.375	9.375	50.366	112.87	0.80017	90.31	oke
P 14	308.04	24.15	7.46	3.5	3.5	1.25	1.25	1.25	5	1.5625	1.5625	86.895	113.87	0.83315	94.87	oke
P 15	278.67	23.59	6.87	3.5	3.5	1.25	1.25	1.25	5	1.5625	1.5625	80.101	113.87	0.83315	94.87	oke
P 16	429.67	25.62	7.54	3.5	3.5	1.25	1.25	1.25	9	9.375	9.375	52.162	112.87	0.80017	90.31	oke
P 17	409.53	27.91	8.56	3.5	3.5	1.25	1.25	1.25	9	9.375	9.375	50.366	112.87	0.80017	90.31	oke
P 18	429.67	25.62	7.54	3.5	3.5	1.25	1.25	1.25	9	9.375	9.375	52.162	112.87	0.80017	90.31	oke
P 19	278.67	23.59	6.87	3.5	3.5	1.25	1.25	1.25	5	1.5625	1.5625	80.101	113.87	0.83315	94.87	oke
P 20	246.02	21.84	6.59	3.5	3.5	1.25	1.25	1.25	4	1.5625	1.5625	84.250	112.87	0.86213	97.31	oke
P 21	246.02	21.84	6.59	3.5	3.5	1.25	1.25	1.25	4	1.5625	1.5625	84.250	112.87	0.86213	97.31	oke
P 22	278.67	23.59	6.87	3.5	3.5	1.25	1.25	1.25	5	1.5625	1.5625	80.101	113.87	0.83315	94.87	oke
P 23	308.04	24.15	7.46	3.5	3.5	1.25	1.25	1.25	5	1.5625	1.5625	86.895	113.87	0.83315	94.87	oke
P 24	278.67	21.84	6.59	3.5	3.5	1.25	1.25	1.25	5	1.5625	1.5625	78.477	113.87	0.83315	94.87	oke
SW kiri	376.91	60.702	17.84	9.25	9.25	1.5	1.25	1.25	16	109.375	46.875	24.726	172.66	0.76618	132.29	oke
SW kanan	376.91	60.702	17.84	9.25	9.25	1.5	1.25	1.25	16	109.375	46.875	24.726	172.66	0.76618	132.29	oke

Diameter tiang = 40 cm (WIKA 400 A2)

Diameter tiang = 50 cm (WIKA 500 A1)

Daya dukung 1 tiang = 112.87 ton

Daya dukung 1 tiang = 172.66 ton

PUSAT MASSA DAN MASSA PUNTIR GEDUNG STIKOM (LANTAI)

(dengan metode 1/2 massa)

LANTAI SATU

Bentang	No. Kode (element)	Macam beban	Berat (W) (kg)	Jarak-x (dx)	Jarak-y (dy)	W x dx (Wdx)	W x dy (Wdy)
Balok arah X balok anak (GRID)							
3.25	60	berat sendiri + dua beban satu segitiga $(0.25 \times 0.45 \times 2400) \times 3.25 + 2 \times (1/3 \times (446.5 + 250)) \times 3.25 \times 3.25$	5782.02083	4.875	3.25	28187.3516	18791.5677
6.5	61-62	berat sendiri + dua beban dua segitiga $(0.25 \times 0.45 \times 2400) \times 6.5 + 2 \times (1/4 \times (446.5 + 250)) \times 3.25 \times 6.5$	11564.0417	9.75	3.25	112749.406	37583.1354
6.5	63-64	berat sendiri + dua beban satu segitiga $(0.25 \times 0.45 \times 2400) \times 6.5 + 2 \times (1/4 \times (446.5 + 250)) \times 3.25 \times 6.5$	11564.0417	16.25	3.25	187915.677	37583.1354
3.25	65	berat sendiri + dua beban satu segitiga $(0.25 \times 0.45 \times 2400) \times 3.25 + 2 \times (1/3 \times (446.5 + 250)) \times 3.25 \times 3.25$	5782.02083	21.125	3.25	122145.19	18791.5677
6.5	92-93	berat sendiri + dua beban dua segitiga $(0.25 \times 0.45 \times 2400) \times 6.5 + 2 \times (1/4 \times (446.5 + 250)) \times 3.25 \times 6.5$	11564.0417	3.25	9.75	37583.1354	112749.406
3.25	94	berat sendiri + dua beban satu segitiga $(0.25 \times 0.45 \times 2400) \times 3.25 + 2 \times (1/3 \times (446.5 + 250)) \times 3.25 \times 3.25$	5782.02083	8.125	9.75	46978.9193	56374.7031
3.25	95	berat sendiri + dua beban satu segitiga $(0.25 \times 0.45 \times 2400) \times 3.25 + 2 \times (1/3 \times (446.5 + 250)) \times 3.25 \times 3.25$	5782.02083	17.875	9.75	103353.622	56374.7031
6.5	96-97	berat sendiri + dua beban dua segitiga $(0.25 \times 0.45 \times 2400) \times 6.5 + 2 \times (1/4 \times (446.5 + 250)) \times 3.25 \times 6.5$	11564.0417	22.75	9.75	263081.946	112749.406
6.5	116-117	berat sendiri + dua beban dua segitiga $(0.25 \times 0.45 \times 2400) \times 6.5 + 2 \times (1/4 \times (446.5 + 250)) \times 3.25 \times 6.5$	11564.0417	3.25	16.25	37583.1354	187915.677
3.25	118	berat sendiri + dua beban satu segitiga $(0.25 \times 0.45 \times 2400) \times 3.25 + 2 \times (1/3 \times (446.5 + 250)) \times 3.25 \times 3.25$	5782.02083	8.125	16.25	46978.9193	93957.8385
3.25	119	berat sendiri + dua beban satu segitiga $(0.25 \times 0.45 \times 2400) \times 3.25 + 2 \times (1/3 \times (446.5 + 250)) \times 3.25 \times 3.25$	5782.02083	17.875	16.25	103353.622	93957.8385
6.5	120-121	berat sendiri + dua beban dua segitiga $(0.25 \times 0.45 \times 2400) \times 6.5 + 2 \times (1/4 \times (446.5 + 250)) \times 3.25 \times 6.5$	11564.0417	22.75	16.25	263081.946	187915.677
3.25	148	berat sendiri + dua beban satu segitiga $(0.25 \times 0.45 \times 2400) \times 3.25 + 2 \times (1/3 \times (446.5 + 250)) \times 3.25 \times 3.25$	5782.02083	4.875	22.75	28187.3516	131540.974
6.5	149-150	berat sendiri + dua beban dua segitiga $(0.25 \times 0.45 \times 2400) \times 6.5 + 2 \times (1/4 \times (446.5 + 250)) \times 3.25 \times 6.5$	11564.0417	9.75	22.75	112749.406	263081.946
6.5	151-152	berat sendiri + dua beban dua segitiga $(0.25 \times 0.45 \times 2400) \times 6.5 + 2 \times (1/4 \times (446.5 + 250)) \times 3.25 \times 6.5$	11564.0417	16.25	22.75	187915.677	263081.946
3.25	153	berat sendiri + dua beban satu segitiga $(0.25 \times 0.45 \times 2400) \times 3.25 + 2 \times (1/3 \times (446.5 + 250)) \times 3.25 \times 3.25$	5782.02083	21.125	22.75	122145.19	131540.974
Balok arah Y balok anak (GRID)							
3.25	87	berat sendiri + dua beban satu segitiga $(0.25 \times 0.45 \times 2400) \times 3.25 + 2 \times (1/3 \times (446.5 + 250)) \times 3.25 \times 3.25$	5782.02083	3.25	4.875	18791.5677	28187.3516
6.5	84-98	berat sendiri + satu beban dua segitiga $(0.25 \times 0.45 \times 2400) \times 6.5 + 2 \times (1/4 \times (446.5 + 250)) \times 3.25 \times 6.5$	11564.0417	3.25	9.75	37583.1354	112749.406
6.5	111-123	berat sendiri + satu beban dua segitiga $(0.25 \times 0.45 \times 2400) \times 6.5 + 2 \times (1/4 \times (446.5 + 250)) \times 3.25 \times 6.5$	11564.0417	3.25	16.25	37583.1354	187915.677
3.25	140	berat sendiri + dua beban satu segitiga $(0.25 \times 0.45 \times 2400) \times 3.25 + 2 \times (1/3 \times (446.5 + 250)) \times 3.25 \times 3.25$	5782.02083	3.25	21.125	18791.5677	122145.19
6.5	55-69	berat sendiri + dua beban dua segitiga $(0.25 \times 0.45 \times 2400) \times 6.5 + 2 \times (1/4 \times (446.5 + 250)) \times 3.25 \times 6.5$	11564.0417	9.75	3.25	112749.406	37583.1354
3.25	86	berat sendiri + dua beban satu segitiga $(0.25 \times 0.45 \times 2400) \times 3.25 + 2 \times (1/3 \times (446.5 + 250)) \times 3.25 \times 3.25$	5782.02083	9.75	8.125	56374.7031	46978.9193
3.25	125	berat sendiri + dua beban satu segitiga $(0.25 \times 0.45 \times 2400) \times 3.25 + 2 \times (1/3 \times (446.5 + 250)) \times 3.25 \times 3.25$	5782.02083	9.75	17.875	56374.7031	103353.622
6.5	142-156	berat sendiri + dua beban dua segitiga $(0.25 \times 0.45 \times 2400) \times 6.5 + 2 \times (1/4 \times (446.5 + 250)) \times 3.25 \times 6.5$	11564.0417	9.75	22.75	112749.406	263081.946
6.5	67-71	berat sendiri + dua beban dua segitiga $(0.25 \times 0.45 \times 2400) \times 6.5 + 2 \times (1/4 \times (446.5 + 250)) \times 3.25 \times 6.5$	11564.0417	16.25	3.25	187915.677	37583.1354
3.25	88	berat sendiri + dua beban satu segitiga $(0.25 \times 0.45 \times 2400) \times 3.25 + 2 \times (1/3 \times (446.5 + 250)) \times 3.25 \times 3.25$	5782.02083	16.25	8.125	93957.8385	46978.9193
3.25	127	berat sendiri + dua beban satu segitiga $(0.25 \times 0.45 \times 2400) \times 3.25 + 2 \times (1/3 \times (446.5 + 250)) \times 3.25 \times 3.25$	5782.02083	16.25	17.875	93957.8385	103353.622
6.5	144-156	berat sendiri + dua beban dua segitiga $(0.25 \times 0.45 \times 2400) \times 6.5 + 2 \times (1/4 \times (446.5 + 250)) \times 3.25 \times 6.5$	11564.0417	16.25	22.75	187915.677	263081.946
3.25	73	berat sendiri + dua beban satu segitiga $(0.25 \times 0.45 \times 2400) \times 3.25 + 2 \times (1/3 \times (446.5 + 250)) \times 3.25 \times 3.25$	5782.02083	22.75	4.875	131540.974	28187.3516
6.5	90-102	berat sendiri + satu beban dua segitiga $(0.25 \times 0.45 \times 2400) \times 6.5 + 2 \times (1/4 \times (446.5 + 250)) \times 3.25 \times 6.5$	11564.0417	22.75	9.75	263081.946	112749.406
6.5	114-129	berat sendiri + satu beban dua segitiga $(0.25 \times 0.45 \times 2400) \times 6.5 + 2 \times (1/4 \times (446.5 + 250)) \times 3.25 \times 6.5$	11564.0417	22.75	16.25	263081.946	187915.677
3.25	146	berat sendiri + dua beban satu segitiga $(0.25 \times 0.45 \times 2400) \times 3.25 + 2 \times (1/3 \times (446.5 + 250)) \times 3.25 \times 3.25$	5782.02083	22.75	21.125	131540.974	122145.19

Balok induk arah X							
6.5	25	berat sendiri + satu beban dua segitiga $(0.35 \times 0.55 \times 2400) \times 6.5 + (1/4 \times (446.5 + 250)) \times 3.25 \times 6.5$	6681.39063	9.75	0	65143.5586	0
6.5	26	berat sendiri + satu beban dua segitiga $(0.35 \times 0.55 \times 2400) \times 6.5 + (1/4 \times (446.5 + 250)) \times 3.25 \times 6.5$	6681.39063	16.25	0	108572.598	0
6.5	27	berat sendiri + dua beban dua segitiga $(0.35 \times 0.55 \times 2400) \times 6.5 + 2 \times (1/3 \times (446.5 + 250)) \times 3.25 \times 6.5$	10359.7813	3.25	6.5	33669.2891	67338.5781
6.5	28	berat sendiri + dua beban dua segitiga $(0.35 \times 0.55 \times 2400) \times 6.5 + 2 \times (1/3 \times (446.5 + 250)) \times 3.25 \times 6.5$	10359.7813	9.75	6.5	101007.867	67338.5781
6.5	29	berat sendiri + dua beban dua segitiga $(0.35 \times 0.55 \times 2400) \times 6.5 + 2 \times (1/3 \times (446.5 + 250)) \times 3.25 \times 6.5$	10359.7813	16.25	6.5	168346.445	67338.5781
6.5	30	berat sendiri + dua beban dua segitiga $(0.35 \times 0.55 \times 2400) \times 6.5 + 2 \times (1/3 \times (446.5 + 250)) \times 3.25 \times 6.5$	10359.7813	22.75	6.5	235685.023	67338.5781
6.5	31	berat sendiri + dua beban dua segitiga $(0.35 \times 0.55 \times 2400) \times 6.5 + 2 \times (1/3 \times (446.5 + 250)) \times 3.25 \times 6.5$	10359.7813	3.25	13	33669.2891	134677.156
3.25	32	berat sendiri + dua beban satu segitiga $(0.35 \times 0.55 \times 2400) \times 3.25 + (1/4 \times (446.5 + 250)) \times 3.25 \times 3.25$	6406.02083	8.125	13	52048.9193	83278.2708
3.25	33	berat sendiri + dua beban satu segitiga $(0.35 \times 0.55 \times 2400) \times 3.25 + (1/4 \times (446.5 + 250)) \times 3.25 \times 3.25$	6406.02083	17.875	13	114507.622	83278.2708
6.5	34	berat sendiri + dua beban dua segitiga $(0.35 \times 0.55 \times 2400) \times 6.5 + 2 \times (1/3 \times (446.5 + 250)) \times 3.25 \times 6.5$	10359.7813	22.75	13	235685.023	134677.156
6.5	35	berat sendiri + dua beban dua segitiga $(0.35 \times 0.55 \times 2400) \times 6.5 + 2 \times (1/3 \times (446.5 + 250)) \times 3.25 \times 6.5$	10359.7813	3.25	19.5	33669.2891	202015.734
6.5	36	berat sendiri + dua beban dua segitiga $(0.35 \times 0.55 \times 2400) \times 6.5 + 2 \times (1/3 \times (446.5 + 250)) \times 3.25 \times 6.5$	10359.7813	9.75	19.5	101007.867	202015.734
6.5	37	berat sendiri + dua beban dua segitiga $(0.35 \times 0.55 \times 2400) \times 6.5 + 2 \times (1/3 \times (446.5 + 250)) \times 3.25 \times 6.5$	10359.7813	16.25	19.5	168346.445	202015.734
6.5	38	berat sendiri + dua beban dua segitiga $(0.35 \times 0.55 \times 2400) \times 6.5 + 2 \times (1/3 \times (446.5 + 250)) \times 3.25 \times 6.5$	10359.7813	22.75	19.5	235685.023	202015.734
6.5	39	berat sendiri + satu beban dua segitiga $(0.35 \times 0.55 \times 2400) \times 6.5 + (1/4 \times (446.5 + 250)) \times 3.25 \times 6.5$	6681.39063	9.75	26	65143.5586	173716.156
6.5	40	berat sendiri + satu beban dua segitiga $(0.35 \times 0.55 \times 2400) \times 6.5 + (1/4 \times (446.5 + 250)) \times 3.25 \times 6.5$	6681.39063	16.25	26	108572.598	173716.156
Balok induk arah Y							
6.5	41	berat sendiri + satu beban dua segitiga $(0.35 \times 0.55 \times 2400) \times 6.5 + (1/4 \times (446.5 + 250)) \times 3.25 \times 6.5$	6681.39063	0	9.75	0	65143.5586
6.5	42	berat sendiri + satu beban dua segitiga $(0.35 \times 0.55 \times 2400) \times 6.5 + (1/4 \times (446.5 + 250)) \times 3.25 \times 6.5$	6681.39063	0	16.25	0	108572.598
6.5	47	berat sendiri + dua beban dua segitiga $(0.35 \times 0.55 \times 2400) \times 6.5 + 2 \times (1/3 \times (446.5 + 250)) \times 3.25 \times 6.5$	10359.7813	6.5	3.25	67338.5781	33669.2891
6.5	48	berat sendiri + dua beban dua segitiga $(0.35 \times 0.55 \times 2400) \times 6.5 + 2 \times (1/3 \times (446.5 + 250)) \times 3.25 \times 6.5$	10359.7813	6.5	9.75	67338.5781	101007.867
6.5	49	berat sendiri + dua beban dua segitiga $(0.35 \times 0.55 \times 2400) \times 6.5 + 2 \times (1/3 \times (446.5 + 250)) \times 3.25 \times 6.5$	10359.7813	6.5	16.25	67338.5781	168346.445
6.5	50	berat sendiri + dua beban dua segitiga $(0.35 \times 0.55 \times 2400) \times 6.5 + 2 \times (1/3 \times (446.5 + 250)) \times 3.25 \times 6.5$	10359.7813	6.5	22.75	67338.5781	235685.023
6.5	51	berat sendiri + dua beban dua segitiga $(0.35 \times 0.55 \times 2400) \times 6.5 + 2 \times (1/3 \times (446.5 + 250)) \times 3.25 \times 6.5$	10359.7813	13	3.25	134677.156	33669.2891
3.25	52	berat sendiri + dua beban satu segitiga $(0.35 \times 0.55 \times 2400) \times 3.25 + (1/4 \times (446.5 + 250)) \times 3.25 \times 3.25$	6406.02083	13	8.125	83278.2708	52048.9193
3.25	53	berat sendiri + dua beban satu segitiga $(0.35 \times 0.55 \times 2400) \times 3.25 + (1/4 \times (446.5 + 250)) \times 3.25 \times 3.25$	6406.02083	13	17.875	83278.2708	114507.622
6.5	54	berat sendiri + dua beban dua segitiga $(0.35 \times 0.55 \times 2400) \times 6.5 + 2 \times (1/3 \times (446.5 + 250)) \times 3.25 \times 6.5$	10359.7813	13	22.75	134677.156	235685.023
6.5	55	berat sendiri + dua beban dua segitiga $(0.35 \times 0.55 \times 2400) \times 6.5 + 2 \times (1/3 \times (446.5 + 250)) \times 3.25 \times 6.5$	10359.7813	19.5	3.25	202015.734	33669.2891
6.5	56	berat sendiri + dua beban dua segitiga $(0.35 \times 0.55 \times 2400) \times 6.5 + 2 \times (1/3 \times (446.5 + 250)) \times 3.25 \times 6.5$	10359.7813	19.5	9.75	202015.734	101007.867
6.5	57	berat sendiri + dua beban dua segitiga $(0.35 \times 0.55 \times 2400) \times 6.5 + 2 \times (1/3 \times (446.5 + 250)) \times 3.25 \times 6.5$	10359.7813	19.5	16.25	202015.734	168346.445
6.5	58	berat sendiri + dua beban dua segitiga $(0.35 \times 0.55 \times 2400) \times 6.5 + 2 \times (1/3 \times (446.5 + 250)) \times 3.25 \times 6.5$	10359.7813	19.5	22.75	202015.734	235685.023
6.5	63	berat sendiri + satu beban dua segitiga $(0.35 \times 0.55 \times 2400) \times 6.5 + (1/4 \times (446.5 + 250)) \times 3.25 \times 6.5$	6681.39063	26	9.75	173716.156	65143.5586
6.5	64	berat sendiri + satu beban dua segitiga $(0.35 \times 0.55 \times 2400) \times 6.5 + (1/4 \times (446.5 + 250)) \times 3.25 \times 6.5$	6681.39063	26	16.25	173716.156	108572.598

Shearwall							
0,4 x 4 x 2400 x 2,5		9600	10.5	9.25	100800	88800	
0,4 x 1 x 2400 x 2,5		2400	13	9.25	31200	22200	
0,4 x 4 x 2400 x 2,5		9600	15.5	9.25	148800	88800	
0,4 x 4 x 2400 x 2,5		9600	10.5	16.75	100800	150800	
0,4 x 1 x 2400 x 2,5		2400	13	16.75	31200	40200	
0,4 x 4 x 2400 x 2,5		9600	15.5	16.75	148800	150800	
0,4 x 4 x 2400 x 2,5		9600	9.25	10.5	88800	100800	
0,4 x 1 x 2400 x 2,5		2400	9.25	13	22200	31200	
0,4 x 4 x 2400 x 2,5		9600	9.25	15.5	88800	148800	
0,4 x 4 x 2400 x 2,5		9600	16.75	10.5	160800	100800	
0,4 x 1 x 2400 x 2,5		2400	16.75	13	40200	31200	
0,4 x 4 x 2400 x 2,5		9600	16.75	15.5	160800	148800	
Balok dalam shearwall							
Arah X							
2		1468.66667	10.25	11.25	15053.8333	16522.5	
2		1468.66667	10.25	14.75	15053.8333	21652.8333	
2		2397.33333	12.25	13	29367.3333	31165.3333	
3,5		1667.55952	15	11.75	25013.3629	19593.8244	
Arah Y							
7,5		4645.37798	11.25	13	52260.5022	60389.9137	
7,5		4645.37798	13.25	13	51551.2582	60389.9137	
Tangga							
Arah X							
		749.5	15.25	16.75	11429.875	12554.125	
		3814.42	15.25	15.25	58169.905	58169.905	
		3333	15.25	12.25	50828.25	40629.25	
Arah Y							
		1356.3775	13.25	13	17972.0019	17632.9075	
		1356.3775	11.25	13	15259.2469	17832.9075	
Total		677110.49			8804661.27	8809245.25	
Massa struktur	=		69022.4761				
Pusat massa (x)	=		13.0032859				
Pusat massa (y)	=		13.0100558				
Inersia (x)	=		121918.853				
Inersia (y)	=		121918.853				
Massa puntir	=		33926548.7				

PUSAT MASSA DAN MASSA PUNTIR GEDUNG STIKOM (AUDITORIUM)

(dengan metode 1/2 massa)

LANTAI SATU

Bentang	No. Kode (element)	Macam beban	Berat (W) (kg)	Jarak-x (dx)	Jarak-y (dy)	W x dx (Wdx)	W x dy (Wdy)
Balok arah X balok anak (GRID)							
3.25	50	berat sendiri + dua beban satu segitiga $(0.25 \times 0.45 \times 2400) \times 3.25 + 2 \times (1/3 \times (446.5 + 250)) \times 3.25 \times 3.25$	6838.2708	4.875	3.25	33336.57	22224.38021
6.5	61-62	berat sendiri + dua beban dua segitiga $(0.25 \times 0.45 \times 2400) \times 6.5 + 2 \times (1/4 \times (446.5 + 250)) \times 3.25 \times 6.5$	13676.542	9.75	3.25	133346.28	44448.76042
6.5	63-64	berat sendiri + dua beban dua segitiga $(0.25 \times 0.45 \times 2400) \times 6.5 + 2 \times (1/4 \times (446.5 + 250)) \times 3.25 \times 6.5$	13676.542	16.25	3.25	222243.8	44448.76042
3.25	65	berat sendiri + dua beban satu segitiga $(0.25 \times 0.45 \times 2400) \times 3.25 + 2 \times (1/3 \times (446.5 + 250)) \times 3.25 \times 3.25$	6838.2708	21.125	3.25	144458.47	22224.38021
6.5	92-93	berat sendiri + dua beban dua segitiga $(0.25 \times 0.45 \times 2400) \times 6.5 + 2 \times (1/4 \times (446.5 + 250)) \times 3.25 \times 6.5$	13676.542	3.25	9.75	44448.76	133346.2813
3.25	94	berat sendiri + dua beban satu segitiga $(0.25 \times 0.45 \times 2400) \times 3.25 + 2 \times (1/3 \times (446.5 + 250)) \times 3.25 \times 3.25$	6838.2708	8.125	9.75	55560.951	66673.14063
3.25	95	berat sendiri + dua beban satu segitiga $(0.25 \times 0.45 \times 2400) \times 3.25 + 2 \times (1/3 \times (446.5 + 250)) \times 3.25 \times 3.25$	6838.2708	17.875	9.75	122234.09	66673.14063
6.5	96-97	berat sendiri + dua beban dua segitiga $(0.25 \times 0.45 \times 2400) \times 6.5 + 2 \times (1/4 \times (446.5 + 250)) \times 3.25 \times 6.5$	13676.542	22.75	9.75	311141.32	133346.2813
6.5	116-117	berat sendiri + dua beban dua segitiga $(0.25 \times 0.45 \times 2400) \times 6.5 + 2 \times (1/4 \times (446.5 + 250)) \times 3.25 \times 6.5$	13676.542	3.25	16.25	44448.76	222243.8021
3.25	118	berat sendiri + dua beban satu segitiga $(0.25 \times 0.45 \times 2400) \times 3.25 + 2 \times (1/3 \times (446.5 + 250)) \times 3.25 \times 3.25$	6838.2708	8.125	16.25	55560.951	111121.901
3.25	119	berat sendiri + dua beban satu segitiga $(0.25 \times 0.45 \times 2400) \times 3.25 + 2 \times (1/3 \times (446.5 + 250)) \times 3.25 \times 3.25$	6838.2708	17.875	16.25	122234.09	111121.901
6.5	120-121	berat sendiri + dua beban dua segitiga $(0.25 \times 0.45 \times 2400) \times 6.5 + 2 \times (1/4 \times (446.5 + 250)) \times 3.25 \times 6.5$	13676.542	22.75	16.25	311141.32	222243.8021
3.25	148	berat sendiri + dua beban satu segitiga $(0.25 \times 0.45 \times 2400) \times 3.25 + 2 \times (1/3 \times (446.5 + 250)) \times 3.25 \times 3.25$	6838.2708	4.875	22.75	33336.57	155570.6615
6.5	149-150	berat sendiri + dua beban dua segitiga $(0.25 \times 0.45 \times 2400) \times 6.5 + 2 \times (1/4 \times (446.5 + 250)) \times 3.25 \times 6.5$	13676.542	9.75	22.75	133346.28	311141.3229
6.5	151-152	berat sendiri + dua beban dua segitiga $(0.25 \times 0.45 \times 2400) \times 6.5 + 2 \times (1/4 \times (446.5 + 250)) \times 3.25 \times 6.5$	13676.542	16.25	22.75	222243.8	311141.3229
3.25	153	berat sendiri + dua beban satu segitiga $(0.25 \times 0.45 \times 2400) \times 3.25 + 2 \times (1/3 \times (446.5 + 250)) \times 3.25 \times 3.25$	6838.2708	21.125	22.75	144458.47	155570.6615
Balok arah Y balok anak (GRID)							
3.25	67	berat sendiri + dua beban satu segitiga $(0.25 \times 0.45 \times 2400) \times 3.25 + 2 \times (1/3 \times (446.5 + 250)) \times 3.25 \times 3.25$	6838.2708	3.25	4.875	22224.38	33336.57031
6.5	84-99	berat sendiri + satu beban dua segitiga $(0.25 \times 0.45 \times 2400) \times 6.5 + 2 \times (1/4 \times (446.5 + 250)) \times 3.25 \times 6.5$	13676.542	3.25	9.75	44448.76	133346.2813
6.5	111-123	berat sendiri + satu beban dua segitiga $(0.25 \times 0.45 \times 2400) \times 6.5 + 2 \times (1/4 \times (446.5 + 250)) \times 3.25 \times 6.5$	13676.542	3.25	16.25	44448.76	222243.8021
3.25	140	berat sendiri + dua beban satu segitiga $(0.25 \times 0.45 \times 2400) \times 3.25 + 2 \times (1/3 \times (446.5 + 250)) \times 3.25 \times 3.25$	6838.2708	3.25	21.125	22224.38	144458.4714
6.5	55-69	berat sendiri + dua beban dua segitiga $(0.25 \times 0.45 \times 2400) \times 6.5 + 2 \times (1/4 \times (446.5 + 250)) \times 3.25 \times 6.5$	13676.542	9.75	3.25	133346.28	44448.76042
3.25	86	berat sendiri + dua beban satu segitiga $(0.25 \times 0.45 \times 2400) \times 3.25 + 2 \times (1/3 \times (446.5 + 250)) \times 3.25 \times 3.25$	6838.2708	9.75	8.125	66673.141	55560.95052
3.25	125	berat sendiri + dua beban satu segitiga $(0.25 \times 0.45 \times 2400) \times 3.25 + 2 \times (1/3 \times (446.5 + 250)) \times 3.25 \times 3.25$	6838.2708	9.75	17.875	66673.141	122234.0911
6.5	142-156	berat sendiri + dua beban dua segitiga $(0.25 \times 0.45 \times 2400) \times 6.5 + 2 \times (1/4 \times (446.5 + 250)) \times 3.25 \times 6.5$	13676.542	9.75	22.75	133346.28	311141.3229
6.5	57-77	berat sendiri + dua beban dua segitiga $(0.25 \times 0.45 \times 2400) \times 6.5 + 2 \times (1/4 \times (446.5 + 250)) \times 3.25 \times 6.5$	13676.542	16.25	3.25	222243.8	44448.76042
3.25	88	berat sendiri + dua beban satu segitiga $(0.25 \times 0.45 \times 2400) \times 3.25 + 2 \times (1/3 \times (446.5 + 250)) \times 3.25 \times 3.25$	6838.2708	16.25	8.125	111121.9	55560.95052
3.25	127	berat sendiri + dua beban satu segitiga $(0.25 \times 0.45 \times 2400) \times 3.25 + 2 \times (1/3 \times (446.5 + 250)) \times 3.25 \times 3.25$	6838.2708	16.25	17.875	111121.9	122234.0911
6.5	144-158	berat sendiri + dua beban dua segitiga $(0.25 \times 0.45 \times 2400) \times 6.5 + 2 \times (1/4 \times (446.5 + 250)) \times 3.25 \times 6.5$	13676.542	16.25	22.75	222243.8	311141.3229
3.25	73	berat sendiri + dua beban satu segitiga $(0.25 \times 0.45 \times 2400) \times 3.25 + 2 \times (1/3 \times (446.5 + 250)) \times 3.25 \times 3.25$	6838.2708	22.75	4.875	155570.66	33336.57031
6.5	90-102	berat sendiri + satu beban dua segitiga $(0.25 \times 0.45 \times 2400) \times 6.5 + 2 \times (1/4 \times (446.5 + 250)) \times 3.25 \times 6.5$	13676.542	22.75	9.75	311141.32	133346.2813
6.5	114-129	berat sendiri + satu beban dua segitiga $(0.25 \times 0.45 \times 2400) \times 6.5 + 2 \times (1/4 \times (446.5 + 250)) \times 3.25 \times 6.5$	13676.542	22.75	16.25	311141.32	222243.8021
3.25	146	berat sendiri + dua beban satu segitiga $(0.25 \times 0.45 \times 2400) \times 3.25 + 2 \times (1/3 \times (446.5 + 250)) \times 3.25 \times 3.25$	6838.2708	22.75	21.125	155570.66	44448.4714

Balok induk arah X							
6.5	25	berat sendiri + satu beban dua segitiga $(0.35 \times 0.55 \times 2400) \times 6.5 + (1/4 \times (446.5 + 250)) \times 3.25) \times 6.5$	7473.5781	9.75	0	72867.387	0
6.5	26	berat sendiri + satu beban dua segitiga $(0.35 \times 0.55 \times 2400) \times 6.5 + (1/4 \times (446.5 + 250)) \times 3.25) \times 6.5$	7473.5781	16.25	0	121445.64	0
6.5	27	berat sendiri + dua beban dua segitiga $(0.35 \times 0.55 \times 2400) \times 6.5 + 2 \times (1/3 \times (446.5 + 250)) \times 3.25) \times 6.5$	11944.156	3.25	6.5	38818.506	77637.01563
6.5	28	berat sendiri + dua beban dua segitiga $(0.35 \times 0.55 \times 2400) \times 6.5 + 2 \times (1/3 \times (446.5 + 250)) \times 3.25) \times 6.5$	11944.156	9.75	6.5	116455.52	77637.01563
6.5	29	berat sendiri + dua beban dua segitiga $(0.35 \times 0.55 \times 2400) \times 6.5 + 2 \times (1/3 \times (446.5 + 250)) \times 3.25) \times 6.5$	11944.156	16.25	6.5	194092.54	77637.01563
6.5	30	berat sendiri + dua beban dua segitiga $(0.35 \times 0.55 \times 2400) \times 6.5 + 2 \times (1/3 \times (446.5 + 250)) \times 3.25) \times 6.5$	11944.156	22.75	6.5	271729.55	77637.01563
6.5	31	berat sendiri + dua beban dua segitiga $(0.35 \times 0.55 \times 2400) \times 6.5 + 2 \times (1/3 \times (446.5 + 250)) \times 3.25) \times 6.5$	11944.156	3.25	13	38818.506	155274.0313
3.25	32	berat sendiri + dua beban satu segitiga $(0.35 \times 0.55 \times 2400) \times 3.25 + (1/4 \times (446.5 + 250)) \times 3.25) \times 3.25$	7462.2708	6.125	13	60630.951	97009.52083
3.25	33	berat sendiri + dua beban satu segitiga $(0.35 \times 0.55 \times 2400) \times 3.25 + (1/4 \times (446.5 + 250)) \times 3.25) \times 3.25$	7462.2708	17.875	13	133388.09	97009.52083
6.5	34	berat sendiri + dua beban dua segitiga $(0.35 \times 0.55 \times 2400) \times 6.5 + 2 \times (1/3 \times (446.5 + 250)) \times 3.25) \times 6.5$	11944.156	22.75	13	271729.55	155274.0313
6.5	35	berat sendiri + dua beban dua segitiga $(0.35 \times 0.55 \times 2400) \times 6.5 + 2 \times (1/3 \times (446.5 + 250)) \times 3.25) \times 6.5$	11944.156	3.25	19.5	38818.506	232911.0469
6.5	36	berat sendiri + dua beban dua segitiga $(0.35 \times 0.55 \times 2400) \times 6.5 + 2 \times (1/3 \times (446.5 + 250)) \times 3.25) \times 6.5$	11944.156	9.75	19.5	116455.52	232911.0469
6.5	37	berat sendiri + dua beban dua segitiga $(0.35 \times 0.55 \times 2400) \times 6.5 + 2 \times (1/3 \times (446.5 + 250)) \times 3.25) \times 6.5$	11944.156	16.25	19.5	194092.54	232911.0469
6.5	38	berat sendiri + dua beban dua segitiga $(0.35 \times 0.55 \times 2400) \times 6.5 + 2 \times (1/3 \times (446.5 + 250)) \times 3.25) \times 6.5$	11944.156	22.75	19.5	271729.55	232911.0469
6.5	39	berat sendiri + satu beban dua segitiga $(0.35 \times 0.55 \times 2400) \times 6.5 + (1/4 \times (446.5 + 250)) \times 3.25) \times 6.5$	7473.5781	9.75	26	72867.387	194313.0313
6.5	40	berat sendiri + satu beban dua segitiga $(0.35 \times 0.55 \times 2400) \times 6.5 + (1/4 \times (446.5 + 250)) \times 3.25) \times 6.5$	7473.5781	16.25	26	121445.64	194313.0313
Balok induk arah Y							
6.5	41	berat sendiri + satu beban dua segitiga $(0.35 \times 0.55 \times 2400) \times 6.5 + (1/4 \times (446.5 + 250)) \times 3.25) \times 6.5$	7473.5781	0	9.75	0	72867.38672
6.5	42	berat sendiri + satu beban dua segitiga $(0.35 \times 0.55 \times 2400) \times 6.5 + (1/4 \times (446.5 + 250)) \times 3.25) \times 6.5$	7473.5781	0	16.25	0	121445.6445
6.5	47	berat sendiri + dua beban dua segitiga $(0.35 \times 0.55 \times 2400) \times 6.5 + 2 \times (1/3 \times (446.5 + 250)) \times 3.25) \times 6.5$	11944.156	6.5	3.25	77637.016	38818.50781
6.5	48	berat sendiri + dua beban dua segitiga $(0.35 \times 0.55 \times 2400) \times 6.5 + 2 \times (1/3 \times (446.5 + 250)) \times 3.25) \times 6.5$	11944.156	6.5	9.75	77637.016	116455.6234
6.5	49	berat sendiri + dua beban dua segitiga $(0.35 \times 0.55 \times 2400) \times 6.5 + 2 \times (1/3 \times (446.5 + 250)) \times 3.25) \times 6.5$	11944.156	6.5	16.25	77637.016	194092.5391
6.5	50	berat sendiri + dua beban dua segitiga $(0.35 \times 0.55 \times 2400) \times 6.5 + 2 \times (1/3 \times (446.5 + 250)) \times 3.25) \times 6.5$	11944.156	6.5	22.75	77637.016	271729.5547
6.5	51	berat sendiri + dua beban dua segitiga $(0.35 \times 0.55 \times 2400) \times 6.5 + 2 \times (1/3 \times (446.5 + 250)) \times 3.25) \times 6.5$	11944.156	13	3.25	155274.03	38818.50781
3.25	52	berat sendiri + dua beban satu segitiga $(0.35 \times 0.55 \times 2400) \times 3.25 + (1/4 \times (446.5 + 250)) \times 3.25) \times 3.25$	7462.2708	13	6.125	97009.521	60630.95052
3.25	53	berat sendiri + dua beban satu segitiga $(0.35 \times 0.55 \times 2400) \times 3.25 + (1/4 \times (446.5 + 250)) \times 3.25) \times 3.25$	7462.2708	13	17.875	97009.521	133388.0911
6.5	54	berat sendiri + dua beban dua segitiga $(0.35 \times 0.55 \times 2400) \times 6.5 + 2 \times (1/3 \times (446.5 + 250)) \times 3.25) \times 6.5$	11944.156	13	22.75	155274.03	271729.5547
6.5	55	berat sendiri + dua beban dua segitiga $(0.35 \times 0.55 \times 2400) \times 6.5 + 2 \times (1/3 \times (446.5 + 250)) \times 3.25) \times 6.5$	11944.156	19.5	3.25	232911.05	38818.50781
6.5	56	berat sendiri + dua beban dua segitiga $(0.35 \times 0.55 \times 2400) \times 6.5 + 2 \times (1/3 \times (446.5 + 250)) \times 3.25) \times 6.5$	11944.156	19.5	9.75	232911.05	116455.6234
6.5	57	berat sendiri + dua beban dua segitiga $(0.35 \times 0.55 \times 2400) \times 6.5 + 2 \times (1/3 \times (446.5 + 250)) \times 3.25) \times 6.5$	11944.156	19.5	16.25	232911.05	194092.5381
6.5	58	berat sendiri + dua beban dua segitiga $(0.35 \times 0.55 \times 2400) \times 6.5 + 2 \times (1/3 \times (446.5 + 250)) \times 3.25) \times 6.5$	11944.156	19.5	22.75	232911.05	271729.5547
6.5	59	berat sendiri + satu beban dua segitiga $(0.35 \times 0.55 \times 2400) \times 6.5 + (1/4 \times (446.5 + 250)) \times 3.25) \times 6.5$	7473.5781	26	9.75	194313.03	72867.38672
6.5	64	berat sendiri + satu beban dua segitiga $(0.35 \times 0.55 \times 2400) \times 6.5 + (1/4 \times (446.5 + 250)) \times 3.25) \times 6.5$	7473.5781	26	16.25	194313.03	121445.6445

Shearwall							
	0.4 x 4 x 2400 x 2,5	9600	10,5	9,25	100800	88800	
	0.4 x 1 x 2400 x 2,5	2400	13	9,25	31200	22200	
	0.4 x 4 x 2400 x 2,5	9600	15,5	9,25	148800	88800	
	0.4 x 4 x 2400 x 2,5	9600	10,5	16,75	100800	160800	
	0.4 x 1 x 2400 x 2,5	2400	13	16,75	31200	40200	
	0.4 x 4 x 2400 x 2,5	9600	15,5	16,75	148800	160800	
	0.4 x 4 x 2400 x 2,5	9600	9,25	10,5	88800	100800	
	0.4 x 1 x 2400 x 2,5	2400	9,25	13	22200	31200	
	0.4 x 4 x 2400 x 2,5	9600	9,25	15,5	88800	148800	
	0.4 x 4 x 2400 x 2,5	9600	16,75	10,5	160800	100800	
	0.4 x 1 x 2400 x 2,5	2400	16,75	13	40200	31200	
	0.4 x 4 x 2400 x 2,5	9600	16,75	15,5	160800	148800	
Balok dalam shearwall							
Arah X							
	2			2797.3333	10,25	11,25	28872,667
	2			2797.3333	10,25	14,75	28872,667
	2			2797.3333	12,25	13	34267,333
	3,5			1823.1718	15	11,75	27347,577
Arah Y							
	7,5			6028,2538	11,25	13	67817,856
	7,5			4899,5872	13,25	13	64919,53
Tangga							
Arah X							
				749,5	15,25	16,75	11429,876
				3814,42	15,25	15,25	58169,905
				3333	15,25	12,25	50828,25
Arah Y							
				1356 3775	13,25	13	17972,002
				1356 3775	11,25	13	15259,247
Total	=			774910,52			10066409 10080451,13
Massa struktur	=			78991,898			
Pusat massa (x)	=			12.990414			
Pusat massa (y)	=			13.008536			
Inersia (x)	=			124622,85			
Inersia (y)	=			124622,85			
Massa puntir	=			39687936			

LISA STRUKTUR UTAMA GEDUNG STIKOM (T-M)

TEM

V=8

NTS

ERLETAKAN

X=6.5	Y=0	Z=0	
X=19.5	Y=0	Z=0	G=1,3,1
X=3.25	Y=3.25	Z=0	
X=22.75	Y=3.25	Z=0	
X=0	Y=6.5	Z=0	
X=26	Y=6.5	Z=0	G=6,10,1
X=0	Y=13	Z=0	
X=6.5	Y=13	Z=0	
X=19.5	Y=13	Z=0	
X=26	Y=13	Z=0	
X=0	Y=19.5	Z=0	
X=26	Y=19.5	Z=0	G=15,19,1
X=3.25	Y=22.75	Z=0	
X=22.75	Y=22.75	Z=0	
X=6.5	Y=26	Z=0	
X=19.5	Y=26	Z=0	G=22,24,1

LANTAI SATU

joint pada lantai

X=6.5	Y=0	Z=4	
X=19.5	Y=0	Z=4	G=25,27,1
X=3.25	Y=3.25	Z=4	
X=22.75	Y=3.25	Z=4	
X=0	Y=6.5	Z=4	
X=26	Y=6.5	Z=4	G=30,34,1
X=0	Y=13	Z=4	
X=6.5	Y=13	Z=4	
X=9.25	Y=13	Z=4	
X=13	Y=9.25	Z=4	
X=13	Y=16.75	Z=4	
X=16.75	Y=13	Z=4	
X=19.5	Y=13	Z=4	
X=26	Y=13	Z=4	
X=0	Y=19.5	Z=4	
X=26	Y=19.5	Z=4	G=43,47,1
X=3.25	Y=22.75	Z=4	
X=22.75	Y=22.75	Z=4	
X=6.5	Y=26	Z=4	
X=19.5	Y=26	Z=4	G=50,52,1



LANTAI DUA

joint pada lantai

27	X=6.5	Y=0	Z=8	
29	X=19.5	Y=0	Z=8	G=497,499,1
30	X=3.25	Y=3.25	Z=8	
31	X=22.75	Y=3.25	Z=8	
32	X=0	Y=6.5	Z=8	
36	X=26	Y=6.5	Z=8	G=502,506,1
37	X=0	Y=13	Z=8	
38	X=6.5	Y=13	Z=8	
39	X=9.25	Y=13	Z=8	
40	X=13	Y=9.25	Z=8	
41	X=13	Y=16.75	Z=8	
42	X=16.75	Y=13	Z=8	
43	X=19.5	Y=13	Z=8	
44	X=26	Y=13	Z=8	
45	X=0	Y=19.5	Z=8	
49	X=26	Y=19.5	Z=8	G=515,519,1
50	X=3.25	Y=22.75	Z=8	
51	X=22.75	Y=22.75	Z=8	
52	X=6.5	Y=26	Z=8	
54	X=19.5	Y=26	Z=8	G=522,524,1

LANTAI TIGA

joint pada lantai

25	X=6.5	Y=0	Z=12	
27	X=19.5	Y=0	Z=12	G=925,927,1
28	X=3.25	Y=3.25	Z=12	
29	X=22.75	Y=3.25	Z=12	
30	X=0	Y=6.5	Z=12	
34	X=26	Y=6.5	Z=12	G=930,934,1
35	X=0	Y=13	Z=12	
36	X=6.5	Y=13	Z=12	
37	X=9.25	Y=13	Z=12	
38	X=13	Y=9.25	Z=12	
39	X=13	Y=16.75	Z=12	
40	X=16.75	Y=13	Z=12	
41	X=19.5	Y=13	Z=12	

C joint pada shearwall

C bagian depan

53 X=9.25 Y=9.25 Z=0
58 X=11.75 Y=9.25 Z=0
101 X=9.25 Y=9.25 Z=4
106 X=11.75 Y=9.25 Z=4 Q=53,58,101,106,1,6
107 X=12.25 Y=9.25 Z=3
108 X=12.75 Y=9.25 Z=3
3947 X=13.00 Y=9.25 Z=3
109 X=13.25 Y=9.25 Z=3
110 X=13.75 Y=9.25 Z=3
111 X=12.25 Y=9.25 Z=3.5
112 X=12.75 Y=9.25 Z=3.5
3948 X=13.00 Y=9.25 Z=3.5
113 X=13.25 Y=9.25 Z=3.5
114 X=13.75 Y=9.25 Z=3.5
115 X=12.25 Y=9.25 Z=4
116 X=12.75 Y=9.25 Z=4
117 X=13.25 Y=9.25 Z=4
118 X=13.75 Y=9.25 Z=4
119 X=14.25 Y=9.25 Z=0
124 X=16.75 Y=9.25 Z=0
167 X=14.25 Y=9.25 Z=4
172 X=16.75 Y=9.25 Z=4 Q=119,124,167,172,1,6

C bagian lubang depan

4019 X=12.25 Y=9.25 Z=0
4020 X=12.75 Y=9.25 Z=0
4029 X=12.25 Y=9.25 Z=2.5
4030 X=12.75 Y=9.25 Z=2.5 Q=4019,4020,4029,4030,1,2
4031 X=13 Y=9.25 Z=0
4036 X=13 Y=9.25 Z=2.5 G=4031,4036,1
4037 X=13.25 Y=9.25 Z=0
4038 X=13.75 Y=9.25 Z=0
4047 X=13.25 Y=9.25 Z=2.5
4048 X=13.75 Y=9.25 Z=2.5 Q=4037,4038,4047,4048,1,2

C bagian belakang

173 X=9.25 Y=16.75 Z=0
178 X=11.75 Y=16.75 Z=0
221 X=9.25 Y=16.75 Z=4
226 X=11.75 Y=16.75 Z=4 Q=173,178,221,226,1,6
227 X=12.25 Y=16.75 Z=3
228 X=12.75 Y=16.75 Z=3
3949 X=13 Y=16.75 Z=3
229 X=13.25 Y=16.75 Z=3
230 X=13.75 Y=16.75 Z=3
231 X=12.25 Y=16.75 Z=3.5
232 X=12.75 Y=16.75 Z=3.5
3950 X=13 Y=16.75 Z=3.5
233 X=13.25 Y=16.75 Z=3.5
234 X=13.75 Y=16.75 Z=3.5
235 X=12.25 Y=16.75 Z=4
236 X=12.75 Y=16.75 Z=4
237 X=13.25 Y=16.75 Z=4
238 X=13.75 Y=16.75 Z=4
239 X=14.25 Y=16.75 Z=0
244 X=16.75 Y=16.75 Z=0
287 X=14.25 Y=16.75 Z=4
292 X=16.75 Y=16.75 Z=4 Q=239,244,287,292,1,6

C bagian lubang belakang

4049 X=12.25 Y=16.75 Z=0
4050 X=12.75 Y=16.75 Z=0
4059 X=12.25 Y=16.75 Z=2.5
4060 X=12.75 Y=16.75 Z=2.5 Q=4049,4050,4059,4060,1,2
4061 X=13 Y=16.75 Z=0
4066 X=13 Y=16.75 Z=2.5 G=4061,4066,1
4067 X=13.25 Y=16.75 Z=0
4068 X=13.75 Y=16.75 Z=0
4077 X=13.25 Y=16.75 Z=2.5
4078 X=13.75 Y=16.75 Z=2.5 Q=4067,4068,4077,4078,1,2

C bagian samping depan

293 X=9.25 Y=16.25 Z=0
297 X=9.25 Y=14.25 Z=0
333 X=9.25 Y=16.25 Z=4
337 X=9.25 Y=14.25 Z=4 Q=293,297,333,337,1,5
338 X=9.25 Y=13.75 Z=3
339 X=9.25 Y=13.25 Z=3
3951 X=9.25 Y=13 Z=3
340 X=9.25 Y=12.75 Z=3
341 X=9.25 Y=12.25 Z=3
342 X=9.25 Y=13.75 Z=3.5

C MASTER JOINT
 3937 X=13.033 Y=13.1 Z=4
 3944 X=13.033 Y=13.1 Z=32 G=3937,3944,1
 3945 X=12.99 Y=13.0085 Z=36
 3946 X=12.99 Y=13.0085 Z=40

RESTRAINTS
 1,4938,1 R=0,0,0,0,0,0
 1,24,1 R=1,1,1,1,1,1
 25,4938,1 R=1,1,0,0,0,1
 3937,3946,1 R=0,0,1,1,1,0 :MASTER JOINT
 53,58,1 R=1,1,1,1,1,1
 119,124,1 R=1,1,1,1,1,1
 173,178,1 R=1,1,1,1,1,1
 239,244,1 R=1,1,1,1,1,1
 293,297,1 R=1,1,1,1,1,1
 350,354,1 R=1,1,1,1,1,1
 395,399,1 R=1,1,1,1,1,1
 452,456,1 R=1,1,1,1,1,1
 296,403,1 R=1,1,0,0,0,1
 407,514,1 R=1,1,0,0,0,1
 518,625,1 R=1,1,0,0,0,1
 629,736,1 R=1,1,0,0,0,1
 740,847,1 R=1,1,0,0,0,1
 851,958,1 R=1,1,0,0,0,1
 962,1069,1 R=1,1,0,0,0,1
 1073,1180,1 R=1,1,0,0,0,1

LOADS
 28,29,1 F=0,0,-4.409667 L=1
 28,29,1 F=0,0,-2.706667 L=2
 48,49,1 F=0,0,-4.409667 L=1
 48,49,1 F=0,0,-2.706667 L=2
 500,501,1 F=0,0,-4.409667 L=1
 500,501,1 F=0,0,-2.706667 L=2
 520,521,1 F=0,0,-4.409667 L=1
 520,521,1 F=0,0,-2.706667 L=2
 928,929,1 F=0,0,-4.409667 L=1
 928,929,1 F=0,0,-2.706667 L=2
 948,949,1 F=0,0,-4.409667 L=1
 948,949,1 F=0,0,-2.706667 L=2
 1356,1357,1 F=0,0,-4.409667 L=1
 1356,1357,1 F=0,0,-2.706667 L=2
 1376,1377,1 F=0,0,-4.409667 L=1
 1376,1377,1 F=0,0,-2.706667 L=2
 1784,1785,1 F=0,0,-4.409667 L=1
 1784,1785,1 F=0,0,-2.706667 L=2
 1804,1805,1 F=0,0,-4.409667 L=1
 1804,1805,1 F=0,0,-2.706667 L=2
 2212,2213,1 F=0,0,-4.409667 L=1
 2212,2213,1 F=0,0,-2.706667 L=2
 2232,2233,1 F=0,0,-4.409667 L=1
 2232,2233,1 F=0,0,-2.706667 L=2
 2640,2641,1 F=0,0,-4.409667 L=1
 2640,2641,1 F=0,0,-2.706667 L=2
 2660,2661,1 F=0,0,-4.409667 L=1
 2660,2661,1 F=0,0,-2.706667 L=2
 3068,3069,1 F=0,0,-4.409667 L=1
 3068,3069,1 F=0,0,-2.706667 L=2
 3088,3089,1 F=0,0,-4.409667 L=1
 3088,3089,1 F=0,0,-2.706667 L=2
 3496,3497,1 F=0,0,-4.409667 L=1
 3496,3497,1 F=0,0,-4.006667 L=2
 3516,3517,1 F=0,0,-4.409667 L=1
 3516,3517,1 F=0,0,-4.006667 L=2
 3921,3923,2 F=0,0,-5.67836 L=1
 3922,3935,13 F=0,0,-6.27634 L=1
 3924,3925,1 F=0,0,-5.18126 L=1
 3926,3927,1 F=0,0,-5.67836 L=1
 3928,3929,1 F=0,0,-6.27634 L=1
 3930,3931,1 F=0,0,-5.67836 L=1
 3932,3933,1 F=0,0,-5.18126 L=1
 3934,3936,2 F=0,0,-5.67836 L=1

FRAME
 NM=2 NL=40 Z=-1,-1 NSEC=5
 1 E=2.33E6 B=0.6 D=0.6 W=2.400*0.6*0.6 M=0.08807 :DIMENSI KLOM
 2 E=2.33E6 B=0.35 D=0.55 W=2.400*0.35*0.55 M=0.04709 :DIMENSI BALOK INDUK
 C beban terpusat dan beban merata balok melintang
 C pada lantai

1 WG=0,0,-0.362781 PLD=3.25,-2.628078,0 :SATU BEBAN EKIVALEN-DUA SEGITIGA (MD) & TERPUSAT BLK-ANAK (3.25 m)
 2 WG=0,0,-0.203125 PLD=3.25,-1.590313,0 :SATU BEBAN EKIVALEN-DUA SEGITIGA (ML) & TERPUSAT BLK-ANAK (3.25 m)
 3 WG=0,0,-0.725563 PLD=3.25,-4.986156,0 :DUA BEBAN EKIVALEN-DUA SEGITIGA (MD) & TERPUSAT BLK-ANAK* (6.5 m)
 4 WG=0,0,-0.406250 PLD=3.25,-2.910625,0 :DUA BEBAN EKIVALEN-DUA SEGITIGA (ML) & TERPUSAT BLK-ANAK* (6.5 m)
 5 WG=0,0,-0.725563 PLD=3.25,-4.832911,0 :DUA BEBAN EKIVALEN-DUA SEGITIGA (MD) & TERPUSAT BLK ANAK** (6.5 m)
 6 WG=0,0,-0.406250 PLD=3.25,-2.943646,0 :DUA BEBAN EKIVALEN-DUA SEGITIGA (ML) & TERPUSAT BLK ANAK** (6.5 m)
 7 WG=0,0,-0.967417 :DUA BEBAN EKIVALEN-SATU SEGITIGA (MD)
 8 WG=0,0,-0.541667 :DUA BEBAN EKIVALEN-SATU SEGITIGA (ML)
 9 WG=0,0,-0.684038 :BEBAN PELAT SEGITIGA PADA ALAS (MD)
 10 WG=0,0,-0.38300 :BEBAN PELAT SEGITIGA PADA ALAS (ML)

C pada auditorium

11 WG=0,0,-0.362781 PLD=3.25,-2.628078,0 :SATU BEBAN EKIVALEN-DUA SEGITIGA (MD) & TERPUSAT BLK-ANAK (3.25 m)
 12 WG=0,0,-0.325000 PLD=3.25,-2.382500,0 :SATU BEBAN EKIVALEN-DUA SEGITIGA (ML) & TERPUSAT BLK-ANAK (3.25 m)
 13 WG=0,0,-0.725563 PLD=3.25,-4.986156,0 :DUA BEBAN EKIVALEN-DUA SEGITIGA (MD) & TERPUSAT BLK-ANAK* (6.5 m)
 14 WG=0,0,-0.650000 PLD=3.25,-4.495000,0 :DUA BEBAN EKIVALEN-DUA SEGITIGA (ML) & TERPUSAT BLK-ANAK* (6.5 m)
 15 WG=0,0,-0.725563 PLD=3.25,-4.832911,0 :DUA BEBAN EKIVALEN-DUA SEGITIGA (MD) & TERPUSAT BLK ANAK** (6.5 m)
 16 WG=0,0,-0.406250 PLD=3.25,-4.385833,0 :DUA BEBAN EKIVALEN-DUA SEGITIGA (ML) & TERPUSAT BLK ANAK** (6.5 m)
 17 WG=0,0,-0.967417 :DUA BEBAN EKIVALEN-SATU SEGITIGA (MD)
 18 WG=0,0,-0.866667 :DUA BEBAN EKIVALEN-SATU SEGITIGA (ML)
 19 WG=0,0,-0.684038 :BEBAN PELAT SEGITIGA PADA ALAS (MD)
 20 WG=0,0,-0.612800 :BEBAN PELAT SEGITIGA PADA ALAS (ML)

C beban terpusat dan beban merata balok memanjang

C pada lantai

21 WG=0,0,-0.362781 PLD=3.25,-2.628078,0 :SATU BEBAN EKIVALEN-DUA SEGITIGA (MD) & TERPUSAT BLK-ANAK (3.25 m)
 22 WG=0,0,-0.203125 PLD=3.25,-1.590313,0 :SATU BEBAN EKIVALEN-DUA SEGITIGA (ML) & TERPUSAT BLK-ANAK (3.25 m)
 23 WG=0,0,-0.725563 PLD=3.25,-4.986156,0 :DUA BEBAN EKIVALEN-DUA SEGITIGA (MD) & TERPUSAT BLK-ANAK* (6.5 m)
 24 WG=0,0,-0.406250 PLD=3.25,-2.910625,0 :DUA BEBAN EKIVALEN-DUA SEGITIGA (ML) & TERPUSAT BLK-ANAK* (6.5 m)
 25 WG=0,0,-0.725563 PLD=3.25,-4.832911,0 :DUA BEBAN EKIVALEN-DUA SEGITIGA (MD) & TERPUSAT BLK ANAK** (6.5 m)
 26 WG=0,0,-0.406250 PLD=3.25,-2.943646,0 :DUA BEBAN EKIVALEN-DUA SEGITIGA (ML) & TERPUSAT BLK ANAK** (6.5 m)
 27 WG=0,0,-0.967417 :DUA BEBAN EKIVALEN-SATU SEGITIGA (MD)
 28 WG=0,0,-0.541667 :DUA BEBAN EKIVALEN-SATU SEGITIGA (ML)
 29 WG=0,0,-0.684038 :BEBAN PELAT SEGITIGA PADA ALAS (MD)
 30 WG=0,0,-0.38300 :BEBAN PELAT SEGITIGA PADA ALAS (ML)

C pada auditorium

31 WG=0,0,-0.362781 PLD=3.25,-2.628078,0 :SATU BEBAN EKIVALEN-DUA SEGITIGA (MD) & TERPUSAT BLK-ANAK (3.25 m)
 32 WG=0,0,-0.325000 PLD=3.25,-2.382500,0 :SATU BEBAN EKIVALEN-DUA SEGITIGA (ML) & TERPUSAT BLK-ANAK (3.25 m)
 33 WG=0,0,-0.725563 PLD=3.25,-4.986156,0 :DUA BEBAN EKIVALEN-DUA SEGITIGA (MD) & TERPUSAT BLK-ANAK* (6.5 m)
 34 WG=0,0,-0.650000 PLD=3.25,-4.495000,0 :DUA BEBAN EKIVALEN-DUA SEGITIGA (ML) & TERPUSAT BLK-ANAK* (6.5 m)
 35 WG=0,0,-0.725563 PLD=3.25,-4.832911,0 :DUA BEBAN EKIVALEN-DUA SEGITIGA (MD) & TERPUSAT BLK ANAK** (6.5 m)
 36 WG=0,0,-0.406250 PLD=3.25,-4.385833,0 :DUA BEBAN EKIVALEN-DUA SEGITIGA (ML) & TERPUSAT BLK ANAK** (6.5 m)
 37 WG=0,0,-0.967417 :DUA BEBAN EKIVALEN-SATU SEGITIGA (MD)
 38 WG=0,0,-0.866667 :DUA BEBAN EKIVALEN-SATU SEGITIGA (ML)
 39 WG=0,0,-0.684038 :BEBAN PELAT SEGITIGA PADA ALAS (MD)
 40 WG=0,0,-0.612800 :BEBAN PELAT SEGITIGA PADA ALAS (ML)

C ELEMEN LANTAI SATU

C kolom

1,1,25	M=1	LP=3,0	G=2,1,1,1	MS=0,3937
4,4,28	M=1	LP=3,0	G=1,1,1,1	MS=0,3937
6,6,30	M=1	LP=3,0	G=4,1,1,1	MS=0,3937
11,11,35	M=1	LP=3,0	G=1,1,1,1	MS=0,3937
13,13,41	M=1	LP=3,0	G=1,1,1,1	MS=0,3937
15,15,43	M=1	LP=3,0	G=4,1,1,1	MS=0,3937
20,20,48	M=1	LP=3,0	G=1,1,1,1	MS=0,3937
22,22,50	M=1	LP=3,0	G=2,1,1,1	MS=0,3937

C balok memanjang

25,26,25	M=2	NSL=21,22	LP=25,50	G=1,1,1,1	MS=3937,3937
27,31,30	M=2	NSL=25,26	LP=30,43		MS=3937,3937
28,32,31	M=2	NSL=25,26	LP=31,50	G=1,1,1,1	MS=3937,3937
30,34,33	M=2	NSL=25,26	LP=33,51		MS=3937,3937
31,36,35	M=2	NSL=23,24	LP=35,43		MS=3937,3937
32,37,36	M=2	NSL=27,28	LP=36,44		MS=3937,3937
33,40,41	M=2	NSL=27,28	LP=46,41		MS=3937,3937
34,42,41	M=2	NSL=23,24	LP=41,46		MS=3937,3937
35,44,43	M=2	NSL=25,26	LP=38,43		MS=3937,3937
36,45,44	M=2	NSL=25,26	LP=35,44	G=1,1,1,1	MS=3937,3937
38,47,46	M=2	NSL=25,26	LP=27,16		MS=3937,3937
39,51,50	M=2	NSL=21,22	LP=35,50	G=1,1,1,1	MS=3937,3937

C balok melintang

41,30,35	M=2	NSL=1,2	LP=3,0		MS=3937,3937
42,35,43	M=2	NSL=1,2	LP=3,0		MS=3937,3937
47,25,31	M=2	NSL=5,6	LP=3,0		MS=3937,3937
48,31,36	M=2	NSL=5,6	LP=3,0		MS=3937,3937
49,36,44	M=2	NSL=5,6	LP=3,0		MS=3937,3937
50,44,50	M=2	NSL=5,6	LP=3,0		MS=3937,3937
51,26,32	M=2	NSL=3,4	LP=3,0		MS=3937,3937
52,32,38	M=2	NSL=7,8	LP=3,0		MS=3937,3937
53,39,45	M=2	NSL=7,8	LP=3,0		MS=3937,3937
54,45,51	M=2	NSL=3,4	LP=3,0		MS=3937,3937
55,27,33	M=2	NSL=5,6	LP=3,0		MS=3937,3937
56,33,41	M=2	NSL=5,6	LP=3,0		MS=3937,3937

SHELL
 NM=1 Z=-1
 1 E=2.33E6 U=0.18 W=2.400 M=0.24465
 C LANTAI SATU
 c shearwall depan
 65 JQ=53,54,59,60 M=1 ETYP=0 TH=0.3,0.3 G=5,8
 105 JQ=94,107,100,111 M=1 ETYP=0 TH=0.3,0.3
 106 JQ=107,108,111,112 M=1 ETYP=0 TH=0.3,0.3
 107 JQ=108,3947,112,3948 M=1 ETYP=0 TH=0.3,0.3
 3849 JQ=3947,109,3948,113 M=1 ETYP=0 TH=0.3,0.3
 108 JQ=109,110,113,114 M=1 ETYP=0 TH=0.3,0.3
 109 JQ=110,115,114,161 M=1 ETYP=0 TH=0.3,0.3
 110 JQ=100,111,106,115 M=1 ETYP=0 TH=0.3,0.3
 111 JQ=111,112,115,116 M=1 ETYP=0 TH=0.3,0.3
 112 JQ=112,3948,116,38 M=1 ETYP=0 TH=0.3,0.3
 3850 JQ=3948,113,38,117 M=1 ETYP=0 TH=0.3,0.3
 113 JQ=113,114,117,118 M=1 ETYP=0 TH=0.3,0.3
 114 JQ=114,161,118,167 M=1 ETYP=0 TH=0.3,0.3
 115 JQ=119,120,125,126 M=1 ETYP=0 TH=0.3,0.3 G=5,8
 c shearwall belakang
 155 JQ=173,174,179,180 M=1 ETYP=0 TH=0.3,0.3 G=5,8
 195 JQ=214,227,220,231 M=1 ETYP=0 TH=0.3,0.3
 196 JQ=227,228,231,232 M=1 ETYP=0 TH=0.3,0.3
 197 JQ=228,3949,232,3950 M=1 ETYP=0 TH=0.3,0.3
 3851 JQ=3949,229,3950,233 M=1 ETYP=0 TH=0.3,0.3
 198 JQ=229,230,233,234 M=1 ETYP=0 TH=0.3,0.3
 199 JQ=230,275,234,281 M=1 ETYP=0 TH=0.3,0.3
 200 JQ=230,231,226,235 M=1 ETYP=0 TH=0.3,0.3
 201 JQ=231,232,235,236 M=1 ETYP=0 TH=0.3,0.3
 202 JQ=232,3950,236,39 M=1 ETYP=0 TH=0.3,0.3
 3852 JQ=3950,233,39,237 M=1 ETYP=0 TH=0.3,0.3
 203 JQ=233,234,237,238 M=1 ETYP=0 TH=0.3,0.3
 204 JQ=234,281,238,287 M=1 ETYP=0 TH=0.3,0.3
 205 JQ=239,240,245,246 M=1 ETYP=0 TH=0.3,0.3 G=5,8
 c shearwall samping depan
 245 JQ=173,179,293,298 M=1 ETYP=0 TH=0.3,0.3
 246 JQ=179,298,185,303 M=1 ETYP=0 TH=0.3,0.3
 247 JQ=185,191,303,308 M=1 ETYP=0 TH=0.3,0.3
 248 JQ=191,197,308,313 M=1 ETYP=0 TH=0.3,0.3
 249 JQ=197,203,313,318 M=1 ETYP=0 TH=0.3,0.3
 250 JQ=203,209,318,323 M=1 ETYP=0 TH=0.3,0.3
 251 JQ=209,215,323,328 M=1 ETYP=0 TH=0.3,0.3
 252 JQ=215,221,328,333 M=1 ETYP=0 TH=0.3,0.3
 253 JQ=293,294,298,299 M=1 ETYP=0 TH=0.3,0.3 G=4,8
 285 JQ=327,338,332,342 M=1 ETYP=0 TH=0.3,0.3
 286 JQ=338,339,342,343 M=1 ETYP=0 TH=0.3,0.3
 287 JQ=339,3951,343,3952 M=1 ETYP=0 TH=0.3,0.3
 3853 JQ=3951,340,3952,344 M=1 ETYP=0 TH=0.3,0.3
 288 JQ=340,341,344,345 M=1 ETYP=0 TH=0.3,0.3
 289 JQ=341,380,345,385 M=1 ETYP=0 TH=0.3,0.3
 290 JQ=332,342,337,346 M=1 ETYP=0 TH=0.3,0.3
 291 JQ=342,343,346,347 M=1 ETYP=0 TH=0.3,0.3
 292 JQ=343,3952,347,37 M=1 ETYP=0 TH=0.3,0.3
 3854 JQ=3952,344,37,346 M=1 ETYP=0 TH=0.3,0.3
 293 JQ=344,345,348,349 M=1 ETYP=0 TH=0.3,0.3
 294 JQ=345,385,349,390 M=1 ETYP=0 TH=0.3,0.3
 295 JQ=350,351,355,356 M=1 ETYP=0 TH=0.3,0.3 G=4,8
 327 JQ=354,53,359,59 M=1 ETYP=0 TH=0.3,0.3
 328 JQ=359,364,59,65 M=1 ETYP=0 TH=0.3,0.3
 329 JQ=364,369,65,71 M=1 ETYP=0 TH=0.3,0.3
 330 JQ=369,374,71,77 M=1 ETYP=0 TH=0.3,0.3
 331 JQ=374,379,77,83 M=1 ETYP=0 TH=0.3,0.3
 332 JQ=379,384,83,89 M=1 ETYP=0 TH=0.3,0.3
 333 JQ=384,389,89,95 M=1 ETYP=0 TH=0.3,0.3
 334 JQ=389,394,95,101 M=1 ETYP=0 TH=0.3,0.3
 c shearwall samping belakang
 335 JQ=244,395,250,400 M=1 ETYP=0 TH=0.3,0.3
 336 JQ=250,256,400,405 M=1 ETYP=0 TH=0.3,0.3
 337 JQ=256,262,405,410 M=1 ETYP=0 TH=0.3,0.3
 338 JQ=262,268,410,415 M=1 ETYP=0 TH=0.3,0.3
 339 JQ=268,274,415,420 M=1 ETYP=0 TH=0.3,0.3
 340 JQ=274,280,420,425 M=1 ETYP=0 TH=0.3,0.3
 341 JQ=280,286,425,430 M=1 ETYP=0 TH=0.3,0.3
 342 JQ=286,292,430,435 M=1 ETYP=0 TH=0.3,0.3
 343 JQ=395,396,400,401 M=1 ETYP=0 TH=0.3,0.3 G=4,8
 375 JQ=429,440,434,444 M=1 ETYP=0 TH=0.3,0.3
 376 JQ=440,441,444,445 M=1 ETYP=0 TH=0.3,0.3
 377 JQ=441,3953,445,3954 M=1 ETYP=0 TH=0.3,0.3
 378 JQ=442,443,446,447 M=1 ETYP=0 TH=0.3,0.3
 3856 JQ=3953,442,3954,446 M=1 ETYP=0 TH=0.3,0.3

C LANTAI SEMBILAN

c shearwall depan

3436 JQ=3135,3136,3521,3522 M=1 ETTYPE=0 TH=0.3,0.3 G=5,1
 3461 JQ=3521,3522,3527,3528 M=1 ETTYPE=0 TH=0.3,0.3 G=5,7
 3496 JQ=3556,3569,3562,3573 M=1 ETTYPE=0 TH=0.3,0.3
 3497 JQ=3569,3570,3573,3574 M=1 ETTYPE=0 TH=0.3,0.3
 3498 JQ=3570,4011,3574,4012 M=1 ETTYPE=0 TH=0.3,0.3
 3914 JQ=4011,3571,4012,3575 M=1 ETTYPE=0 TH=0.3,0.3
 3499 JQ=3571,3572,3575,3576 M=1 ETTYPE=0 TH=0.3,0.3
 3500 JQ=3572,3611,3576,3617 M=1 ETTYPE=0 TH=0.3,0.3
 3501 JQ=3562,3573,3568,3577 M=1 ETTYPE=0 TH=0.3,0.3
 3502 JQ=3573,3574,3577,3578 M=1 ETTYPE=0 TH=0.3,0.3
 3503 JQ=3574,4012,3578,3506 M=1 ETTYPE=0 TH=0.3,0.3
 3915 JQ=4012,3575,3506,3579 M=1 ETTYPE=0 TH=0.3,0.3
 3504 JQ=3575,3576,3579,3580 M=1 ETTYPE=0 TH=0.3,0.3
 3505 JQ=3576,3617,3580,3623 M=1 ETTYPE=0 TH=0.3,0.3
 3506 JQ=3195,3196,3581,3582 M=1 ETTYPE=0 TH=0.3,0.3 G=5,1
 3511 JQ=3581,3582,3587,3588 M=1 ETTYPE=0 TH=0.3,0.3 G=5,7

c shearwall belakang

3546 JQ=3243,3244,3629,3630 M=1 ETTYPE=0 TH=0.3,0.3 G=5,1
 2551 JQ=3629,3630,3635,3636 M=1 ETTYPE=0 TH=0.3,0.3 G=5,7
 3586 JQ=3664,3677,3670,3681 M=1 ETTYPE=0 TH=0.3,0.3
 3587 JQ=3677,3678,3681,3682 M=1 ETTYPE=0 TH=0.3,0.3
 3588 JQ=3678,4013,3682,4014 M=1 ETTYPE=0 TH=0.3,0.3
 3916 JQ=4013,3679,4014,3683 M=1 ETTYPE=0 TH=0.3,0.3
 3589 JQ=3679,3680,3683,3684 M=1 ETTYPE=0 TH=0.3,0.3
 3590 JQ=3680,3719,3684,3725 M=1 ETTYPE=0 TH=0.3,0.3
 3591 JQ=3670,3681,3676,3685 M=1 ETTYPE=0 TH=0.3,0.3
 3592 JQ=3681,3682,3685,3686 M=1 ETTYPE=0 TH=0.3,0.3

c shearwall samping belakang

3726 JQ=3308,3435,3694,3829 M=1 ETTYPE=0 TH=0.3,0.3
 3727 JQ=3694,3700,3829,3834 M=1 ETTYPE=0 TH=0.3,0.3
 3728 JQ=3700,3706,3834,3839 M=1 ETTYPE=0 TH=0.3,0.3
 3729 JQ=3706,3712,3839,3844 M=1 ETTYPE=0 TH=0.3,0.3
 3730 JQ=3712,3718,3844,3849 M=1 ETTYPE=0 TH=0.3,0.3
 3731 JQ=3718,3724,3849,3854 M=1 ETTYPE=0 TH=0.3,0.3
 3732 JQ=3724,3730,3854,3859 M=1 ETTYPE=0 TH=0.3,0.3
 3733 JQ=3730,3736,3859,3864 M=1 ETTYPE=0 TH=0.3,0.3
 3734 JQ=3436,3437,3829,3830 M=1 ETTYPE=0 TH=0.3,0.3 G=4,1
 3738 JQ=3829,3830,3834,3835 M=1 ETTYPE=0 TH=0.3,0.3 G=4,7
 3766 JQ=3850,3869,3863,3873 M=1 ETTYPE=0 TH=0.3,0.3
 3767 JQ=3869,3870,3873,3874 M=1 ETTYPE=0 TH=0.3,0.3
 3768 JQ=3870,4017,3874,4018 M=1 ETTYPE=0 TH=0.3,0.3
 3920 JQ=4017,3871,4018,3875 M=1 ETTYPE=0 TH=0.3,0.3
 3769 JQ=3871,3872,3875,3876 M=1 ETTYPE=0 TH=0.3,0.3
 3770 JQ=3872,3906,3876,3911 M=1 ETTYPE=0 TH=0.3,0.3
 3771 JQ=3863,3873,3866,3877 M=1 ETTYPE=0 TH=0.3,0.3
 3772 JQ=3873,3874,3877,3878 M=1 ETTYPE=0 TH=0.3,0.3
 3773 JQ=3874,4018,3878,3508 M=1 ETTYPE=0 TH=0.3,0.3
 3921 JQ=4018,3875,3508,3879 M=1 ETTYPE=0 TH=0.3,0.3
 3774 JQ=3875,3876,3879,3880 M=1 ETTYPE=0 TH=0.3,0.3
 3775 JQ=3876,3911,3860,3916 M=1 ETTYPE=0 TH=0.3,0.3
 3776 JQ=3486,3489,3881,3882 M=1 ETTYPE=0 TH=0.3,0.3 G=4,1
 3780 JQ=3881,3882,3886,3887 M=1 ETTYPE=0 TH=0.3,0.3 G=4,7
 3808 JQ=3492,3200,3885,3586 M=1 ETTYPE=0 TH=0.3,0.3
 3809 JQ=3885,3860,3586,3592 M=1 ETTYPE=0 TH=0.3,0.3
 3810 JQ=3890,3895,3592,3598 M=1 ETTYPE=0 TH=0.3,0.3
 3811 JQ=3895,3900,3598,3604 M=1 ETTYPE=0 TH=0.3,0.3
 3812 JQ=3900,3905,3604,3610 M=1 ETTYPE=0 TH=0.3,0.3
 3813 JQ=3905,3910,3610,3616 M=1 ETTYPE=0 TH=0.3,0.3
 3814 JQ=3910,3915,3616,3622 M=1 ETTYPE=0 TH=0.3,0.3
 3815 JQ=3915,3920,3622,3628 M=1 ETTYPE=0 TH=0.3,0.3

MASSES

3937,3944,1 M=69,022,69,022,0,0,0,33926,548
 3945,3946,1 M=78,991,78,991,0,0,0,39687,936

SPEC

A=0	S=9.81	D=0.05
0	0.05	0.05 0
1	0.05	0.05 0
1.5	0.03	0.03 0
2	0.027	0.027 0
3	0.025	0.025 0

COMBO:

1 C=1
 2 Q=0,1
 3 C=0,1*0,9
 4 C=0,0 D=1,05
 5 C=0,0 D=-1,05

ANALISA STRUKTUR TANGGA 2 DIMENSI (KG-M)

SYSTEM

L=1

JOINTS

1	X=0	Y=0
2	X=3	Y=2
3	X=4.5	Y=2

RESTRAINTS

1,3,1	R=0,0,0,0,0,0
1,1,0	R=1,1,1,1,1,0
3,3,0	R=0,1,1,1,1,0

FRAME

NM=1 NL=2 Z=-1 NSEC=4
 1 A=1*0.5 I=2.6125E-4,0.0125 E=1.1E9
 1 WG=0,-1166.4
 2 WG=0,-1345.97
 1,1,2 M=1 NSL=2 LP=1,0
 2,2,3 M=1 NSL=1 LP=1,0

ELT ID	LOAD COND	DIST ENDI	1-2 PLANE		AXIAL FORCE	1-3 PLANE		AXIAL TORQ
			SHEAR	MOMENT		SHEAR	MOMENT	
1		1	0.000		-1654.970			
			0.000	2482.455	0.000			
			1.202	1362.541	2310.555			
			2.404	242.626	3275.140			
			3.606	-877.289	2893.755			
			3.606		584.859			
2		1	0.000		0.000			
			0.000	-1054.370	2893.755			
			0.500	-1637.570	2220.770			
			1.000	-2220.770	1256.155			
			1.500	-2803.970	0.000			
			1.500		0.000			

R E A C T I O N S A N D A P P L I E D F O R C E S

LOAD CONDITION 1 - FORCES "F" AND MOMENTS "M"

JOINT	F(X)	F(Y)	M(Z)
1	0.0000	2983.5400	0.0000
2	-0.2690E-09	0.1601E-09	0.1619E-11
3	0.0000	2803.9700	0.0000

TOTAL 0.0000E+00 0.5769E+04 0.2118E-11

ANALISA STRUKTUR ATAP GEDUNG STIKOM (KG-M)

SYSTEM

L=4 :MACAM BEBAN :1. B MATI ;2. B. HUJAN ;3. B ANGIN ;4. B HIDUP
 JOINTS
 1 X=6.5 Y=0 Z=0
 49 X=12.409 Y=11.818 Z=12 G=1,49,16
 2 X=13 Y=0 Z=0
 50 X=13 Y=11.818 Z=12 G=2,50,16
 3 X=19.5 Y=0 Z=0
 51 X=13.592 Y=11.818 Z=12 G=3,51,16
 4 X=22.75 Y=3.25 Z=0
 52 X=13.887 Y=12.114 Z=12 G=4,52,16
 5 X=26 Y=6.5 Z=0
 53 X=14.182 Y=12.409 Z=12 G=5,53,16
 6 X=26 Y=13 Z=0
 54 X=14.182 Y=13 Z=12 G=6,54,16
 7 X=26 Y=19.5 Z=0
 55 X=14.182 Y=13.591 Z=12 G=7,55,16
 8 X=22.75 Y=22.75 Z=0
 56 X=13.887 Y=13.887 Z=12 G=8,56,16
 9 X=19.5 Y=26 Z=0
 57 X=13.592 Y=14.182 Z=12 G=9,57,16
 10 X=13 Y=26 Z=0
 58 X=13 Y=14.182 Z=12 G=10,58,16
 11 X=6.5 Y=26 Z=0
 59 X=12.409 Y=14.182 Z=12 G=11,59,16
 12 X=3.25 Y=22.75 Z=0
 60 X=12.113 Y=13.987 Z=12 G=12,60,16
 13 X=0 Y=19.5 Z=0
 61 X=11.818 Y=13.591 Z=12 G=13,61,16
 14 X=0 Y=13 Z=0
 62 X=11.818 Y=13 Z=12 G=14,62,16
 15 X=0 Y=6.5 Z=0
 63 X=11.818 Y=12.409 Z=12 G=15,63,16
 16 X=3.25 Y=3.25 Z=0
 64 X=12.113 Y=12.113 Z=12 G=16,64,16
 65 X=13 Y=13 Z=13

RESTRAINTS

1,65,1 R=0,0,0,0,0,0
 17,65,1 R=1,1,0,0,0,1
 1,16,1 R=1,1,1,0,0,0

LOADS

17,31,2 F=0,0,-573.1281 L=1
 18,30,4 F=0,0,-671.4359 L=1
 20,32,4 F=0,0,-474.7759 L=1
 C

33,47,2 F=0,0,-323.9871 L=1
 34,46,4 F=0,0,-379.5213 L=1
 36,48,4 F=0,0,-268.3935 L=1
 C

49,63,2 F=0,0,-74.75712 L=1
 50,62,4 F=0,0,-87.59211 L=1
 52,64,4 F=0,0,-61.93696 L=1
 C

17,31,2 F=0,0,-50.6577 L=2
 18,30,4 F=0,0,-59.34693 L=2
 20,32,4 F=0,0,-41.96454 L=2
 C

33,47,2 F=0,0,-28.6366 L=2
 34,46,4 F=0,0,-33.54517 L=2
 36,48,4 F=0,0,-23.72279 L=2
 C

49,63,2 F=0,0,-6.60764 L=2
 50,62,4 F=0,0,-7.7421 L=2
 52,64,4 F=0,0,-5.47449 L=2
 C

17,31,2 F=0,0,-85.074 L=3
 18,30,4 F=0,0,-99.6666 L=3
 20,32,4 F=0,0,-70.47448 L=3
 C

33,47,2 F=0,0,-48.092 L=3
 34,46,4 F=0,0,-56.3354 L=3
 36,48,4 F=0,0,-39.8398 L=3
 C

49,63,2 F=0,0,-11.0968 L=3
 50,62,4 F=0,0,-13.002 L=3
 52,64,4 F=0,0,-9.1938 L=3

FRAME

NM=3 NL=31 Z=-1 NSEC=5

1 E=2.1E10 A=11.85E-4 I=187E-8,14.8E-8 :ATAP ATAS 100.50.5.7
 2 E=2.1E10 A=37.67E-4 I=4050E-8,294E-8 :ATAP BALOK 250.125.6.9
 3 E=2.1E10 A=27.16E-4 I=1840E-8,184E-8 :ATAP PENGAKU 200.100.5.5.8
 1 WG=0,0,-9.3

C BEBAN MATI

C BIDANG PERTAMA

2 WG=0,0,-32.56 PLD=0.001,-306.4431,0,2,-551.0231,0,4,-489.0496,0
 3 WG=0,0,-32.56 PLD=2,-365.213,0,4,-303.7918,0
 4 WG=0,0,-32.56 PLD=2,-179.5134,0,4,-117.6503,0

C BIDANG KEDUA

5 WG=0,0,-32.56 PLD=0.001,-359.1267,0,2,-645.5119,0,4,-572.9956,0
 6 WG=0,0,-32.56 PLD=2,-427.9377,0,4,-355.4033,0
 7 WG=0,0,-32.56 PLD=2,-210.3455,0,4,-137.8221,0

C BIDANG KETIGA

8 WG=0,0,-32.56 PLD=0.001,-253.8705,0,2,-456.45,0,4,-405.1699,0
 9 WG=0,0,-32.56 PLD=2,-302.5908,0,4,-251.3076,0
 10 WG=0,0,-32.56 PLD=2,-146.7369,0,4,-97.5454,0

C BEBAN HUJAN

C BIDANG PERTAMA

11 WG=0,0,-32.56 PLD=0.001,-27.0859,0,2,-48.704,0,4,-43.226,0
 12 WG=0,0,-32.56 PLD=2,-32.26,0,4,-26.852,0
 13 WG=0,0,-32.56 PLD=2,-15.867,0,4,-10.399,0

C BIDANG KEDUA

14 WG=0,0,-32.56 PLD=0.001,-31.7337,0,2,-57.056,0,4,-50.646,0
 15 WG=0,0,-32.56 PLD=2,-37.825,0,4,-31.413,0
 16 WG=0,0,-32.56 PLD=2,-18.592,0,4,-12.182,0

C BIDANG KETIGA

17 WG=0,0,-32.56 PLD=0.001,-22.439,0,2,-40.345,0,4,-35.812,0
 18 WG=0,0,-32.56 PLD=2,-26.746,0,4,-22.213,0
 19 WG=0,0,-32.56 PLD=2,-13.147,0,4,-8.613,0

C BEBAN ANGIN

C BIDANG PERTAMA

20 WG=0,0,-32.56 PLD=0.001,-45.488,0,2,-81.793,0,4,-72.594,0
 21 WG=0,0,-32.56 PLD=2,-54.212,0,4,-45.094,0
 22 WG=0,0,-32.56 PLD=2,-26.647,0,4,-17.464,0

C BIDANG KEDUA

23 WG=0,0,-32.56 PLD=0.001,-53.293,0,2,-95.82,0,4,-85.054,0
 24 WG=0,0,-32.56 PLD=2,-63.522,0,4,-52.755,0
 25 WG=0,0,-32.56 PLD=2,-31.223,0,4,-20.458,0

C BIDANG KETIGA

26 WG=0,0,-32.56 PLD=0.001,-37.684,0,2,-67.755,0,4,-60.143,0
 27 WG=0,0,-32.56 PLD=2,-26.746,0,4,-22.21,0
 28 WG=0,0,-32.56 PLD=2,-13.147,0,4,-8.613,0

29 WG=0,0,-16.67 :MERATA HIDUP
 30 WG=0,0,-32.56 :MERATA WF 250.125.6.9
 31 WG=0,0,-23.43 :MERATA WF 200.100.5.5.8

C

1,1,2 M=3 NSL=31,0,0,29 LP=2,0 LR=1,1,0,1,1,1 G=3,1,1,1
 5,5,6 M=3 NSL=31,0,0,29 LP=3,0 LR=1,1,0,1,1,1 G=3,1,1,1
 9,9,10 M=3 NSL=31,0,0,29 LP=2,0 LR=1,1,0,1,1,1 G=3,1,1,1
 13,13,14 M=3 NSL=31,0,0,29 LP=2,0 LR=1,1,0,1,1,1 G=2,1,1,1
 16,16,1 M=3 NSL=31,0,0,29 LP=3,0 LR=1,1,0,1,1,1

C

17,17,18 M=3 NSL=31,0,0,29 LP=2,0 LR=1,1,0,1,1,1 G=3,1,1,1
 21,21,22 M=3 NSL=31,0,0,29 LP=3,0 LR=1,1,0,1,1,1 G=3,1,1,1
 25,25,26 M=3 NSL=31,0,0,29 LP=2,0 LR=1,1,0,1,1,1 G=3,1,1,1
 29,29,30 M=3 NSL=31,0,0,29 LP=3,0 LR=1,1,0,1,1,1 G=2,1,1,1
 32,32,17 M=3 NSL=31,0,0,29 LP=3,0 LR=1,1,0,1,1,1

C

33,33,34 M=3 NSL=31,0,0,29 LP=2,0 LR=1,1,0,1,1,1 G=3,1,1,1
 37,37,38 M=3 NSL=31,0,0,29 LP=3,0 LR=1,1,0,1,1,1 G=3,1,1,1
 41,41,42 M=3 NSL=31,0,0,29 LP=2,0 LR=1,1,0,1,1,1 G=3,1,1,1
 45,45,46 M=3 NSL=31,0,0,29 LP=3,0 LR=1,1,0,1,1,1 G=2,1,1,1
 48,48,33 M=3 NSL=31,0,0,29 LP=3,0 LR=1,1,0,1,1,1

C

49,49,50 M=3 NSL=31,0,0,29 LP=2,0 LR=1,1,0,1,1,1 G=3,1,1,1
 53,53,54 M=3 NSL=31,0,0,29 LP=3,0 LR=1,1,0,1,1,1 G=3,1,1,1
 57,57,58 M=3 NSL=31,0,0,29 LP=2,0 LR=1,1,0,1,1,1 G=3,1,1,1
 61,61,62 M=3 NSL=31,0,0,29 LP=3,0 LR=1,1,0,1,1,1 G=2,1,1,1
 64,64,49 M=3 NSL=31,0,0,29 LP=3,0 LR=1,1,0,1,1,1

C

65,1,17 M=2 NSL=2,11,20,29 LP=61,53 LR=1,1,0,1,1,1
 73,9,25 M=2 NSL=2,11,20,29 LP=53,61 LR=1,1,0,1,1,1
 67,3,19 M=2 NSL=2,11,20,29 LP=63,55 LR=1,1,0,1,1,1
 75,11,27 M=2 NSL=2,11,20,29 LP=55,63 LR=1,1,0,1,1,1
 69,5,21 M=2 NSL=2,11,20,29 LP=49,57 LR=1,1,0,1,1,1
 77,13,29 M=2 NSL=2,11,20,29 LP=57,49 LR=1,1,0,1,1,1
 71,7,23 M=2 NSL=2,11,20,29 LP=51,59 LR=1,1,0,1,1,1

9,15,31 M=2 NSL=2,11,20,29 LP=59,51 LR=1,1,0,1,1,1
 58,2,18 M=2 NSL=5,14,23,29 LP=49,51 LR=1,1,0,1,1,1
 74,10,26 M=2 NSL=5,14,23,29 LP=57,59 LR=1,1,0,1,1,1
 10,6,22 M=2 NSL=5,14,23,29 LP=53,55 LR=1,1,0,1,1,1
 18,14,30 M=2 NSL=5,14,23,29 LP=55,53 LR=1,1,0,1,1,1
 58,4,20 M=2 NSL=8,17,26,29 LP=64,56 LR=1,1,0,1,1,1
 76,12,28 M=2 NSL=8,17,26,29 LP=56,64 LR=1,1,0,1,1,1
 72,8,24 M=2 NSL=8,17,26,29 LP=52,60 LR=1,1,0,1,1,1
 50,16,32 M=2 NSL=8,17,26,29 LP=60,52 LR=1,1,0,1,1,1
 C
 41,17,33 M=2 NSL=3,12,21,29 LP=61,53 LR=1,1,0,1,1,1
 59,25,41 M=2 NSL=3,12,21,29 LP=53,61 LR=1,1,0,1,1,1
 43,19,35 M=2 NSL=3,12,21,29 LP=63,55 LR=1,1,0,1,1,1
 71,27,43 M=2 NSL=3,12,21,26 LP=55,63 LR=1,1,0,1,1,1
 55,21,37 M=2 NSL=3,12,21,29 LP=49,57 LR=1,1,0,1,1,1
 93,29,45 M=2 NSL=3,12,21,29 LP=57,49 LR=1,1,0,1,1,1
 37,23,39 M=2 NSL=3,12,21,29 LP=51,59 LR=1,1,0,1,1,1
 95,31,47 M=2 NSL=3,12,21,29 LP=59,51 LR=1,1,0,1,1,1
 82,18,34 M=2 NSL=6,15,24,29 LP=49,51 LR=1,1,0,1,1,1
 80,26,42 M=2 NSL=6,15,24,29 LP=51,49 LR=1,1,0,1,1,1
 36,22,38 M=2 NSL=6,15,24,29 LP=53,55 LR=1,1,0,1,1,1
 94,30,46 M=2 NSL=6,15,24,29 LP=55,53 LR=1,1,0,1,1,1
 84,20,36 M=2 NSL=9,18,27,29 LP=64,56 LR=1,1,0,1,1,1
 82,28,44 M=2 NSL=9,18,27,29 LP=56,64 LR=1,1,0,1,1,1
 88,24,40 M=2 NSL=9,18,27,29 LP=52,60 LR=1,1,0,1,1,1
 96,32,48 M=2 NSL=9,18,27,29 LP=60,52 LR=1,1,0,1,1,1
 C
 97,33,49 M=2 NSL=4,13,22,29 LP=61,53 LR=1,1,0,1,1,1
 105,41,57 M=2 NSL=4,13,22,29 LP=53,61 LR=1,1,0,1,1,1
 99,35,51 M=2 NSL=4,13,22,29 LP=63,55 LR=1,1,0,1,1,1
 107,43,59 M=2 NSL=4,13,22,29 LP=55,63 LR=1,1,0,1,1,1
 101,37,53 M=2 NSL=4,13,22,29 LP=49,57 LR=1,1,0,1,1,1
 109,45,61 M=2 NSL=4,13,22,29 LP=57,49 LR=1,1,0,1,1,1
 103,39,55 M=2 NSL=4,13,22,29 LP=51,59 LR=1,1,0,1,1,1
 111,47,63 M=2 NSL=4,13,22,29 LP=59,51 LR=1,1,0,1,1,1
 98,34,50 M=2 NSL=7,16,25,29 LP=49,51 LR=1,1,0,1,1,1
 106,42,58 M=2 NSL=7,16,25,29 LP=51,49 LR=1,1,0,1,1,1
 102,38,54 M=2 NSL=7,16,25,29 LP=53,55 LR=1,1,0,1,1,1
 110,46,62 M=2 NSL=7,16,25,29 LP=55,53 LR=1,1,0,1,1,1
 100,36,52 M=2 NSL=10,19,28,29 LP=64,56 LR=1,1,0,1,1,1
 108,44,60 M=2 NSL=10,19,28,29 LP=56,64 LR=1,1,0,1,1,1
 104,40,56 M=2 NSL=10,19,28,29 LP=52,60 LR=1,1,0,1,1,1
 112,48,64 M=2 NSL=10,19,28,29 LP=60,52 LR=1,1,0,1,1,1
 C
 113,49,65 M=1 NSL=1 LP=53,61 LR=1,1,0,1,1,1
 114,50,65 M=1 NSL=1 LP=3,0 LR=1,1,0,1,1,1
 115,51,65 M=1 NSL=1 LP=55,63 LR=1,1,0,1,1,1
 116,52,65 M=1 NSL=1 LP=56,64 LR=1,1,0,1,1,1
 117,53,65 M=1 NSL=1 LP=57,49 LR=1,1,0,1,1,1
 118,54,65 M=1 NSL=1 LP=2,0 LR=1,1,0,1,1,1
 119,55,65 M=1 NSL=1 LP=51,59 LR=1,1,0,1,1,1
 120,56,65 M=1 NSL=1 LP=52,60 LR=1,1,0,1,1,1
 121,57,65 M=1 NSL=1 LP=53,61 LR=1,1,0,1,1,1
 122,58,65 M=1 NSL=1 LP=3,0 LR=1,1,0,1,1,1
 123,59,65 M=1 NSL=1 LP=55,63 LR=1,1,0,1,1,1
 124,60,65 M=1 NSL=1 LP=56,64 LR=1,1,0,1,1,1
 125,61,65 M=1 NSL=1 LP=57,49 LR=1,1,0,1,1,1
 126,62,65 M=1 NSL=1 LP=2,0 LR=1,1,0,1,1,1
 127,63,65 M=1 NSL=1 LP=59,51 LR=1,1,0,1,1,1
 128,64,65 M=1 NSL=1 LP=60,52 LR=1,1,0,1,1,1

CQMB

1 C=1.2,0,0,1,6 :BEBAN TETAP
 2 C=1.2,1,6,0,8 :BEBAN SEMENTARA

ANALISA STRUKTUR TANGGA 2 DIMENSI (KG-M)

SYSTEM

L=1

JOINTS

1	X=0	Y=0
2	X=3	Y=2
3	X=4.5	Y=2

RESTRAINTS

1,3,1	R=0,0,0,0,0,0
1,1,0	R=1,1,1,1,1,0
3,3,0	R=0,1,1,1,1,0

FRAME

NM=1 NL=2 Z=-1 NSEC=4
 1 A=1*0.5 I=2.8125E-4,0.0125 E=2.1E9
 1 WG=0,-1166.4
 2 WG=0,-1345.97
 1,1,2 M=1 NSL=2 LP=1,0
 2,2,3 M=1 NSL=1 LP=1,0

ELT ID	LOAD COND	DIST ENDI	1-2 PLANE		AXIAL FORCE	1-3 PLANE		AXIAL TORQ
			SHEAR	MOMENT		SHEAR	MOMENT	
1	1	0.000		-1654.970				
		0.000	2482.455	0.000				
		1.202	1362.541	2310.555				
		2.404	242.626	3275.140				
		3.606	-877.289	2893.755				
		3.606		584.859				
2	1	0.000		0.000				
		0.000	-1054.370	2893.755				
		0.500	-1637.570	2220.770				
		1.000	-2220.770	1256.185				
		1.500	-2803.970	0.000				
		1.500		0.000				

REACTIONS AND APPLIED FORCES

LOAD CONDITION 1 - FORCES "F" AND MOMENTS "M"

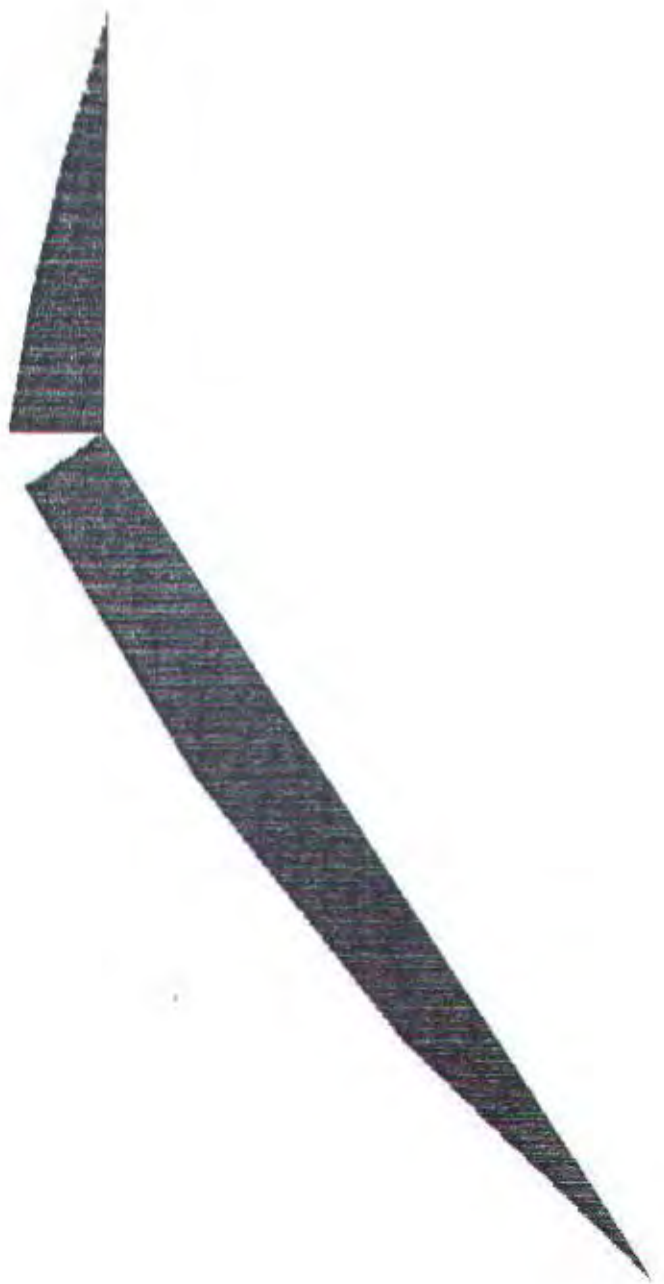
JOINT	F(X)	F(Y)	M(Z)
1	0.0000	2983.5400	0.0000
2	-0.2690E-09	0.1601E-09	0.1819E-11
3	0.0000	2803.9700	0.0000
TOTAL	0.0000E+00	0.5788E+04	0.2116E-11

↑ X

TANGGA-2

FRAME
OUTPUT M33
LOAD 1

MIN < 2>
-0.7390E-12
AT 1.50
MAX < 1>
0.3275E+04
AT 2.40



SAP90

\hat{X}

TANGGA-2
FRAME
OUTPUT U22
LOAD 1

MIN < 2>
 $-0.2804E+04$
AT 1.50
MAX < 1>
 $0.2482E+04$
AT 0.00

SAP90





TANGGA-2

FRAME
OUTPUT P
LOAD 1MIN < 1>
-0.1655E+04
AT 0.00
MAX < 1>
0.5849E+03
AT 3.61

SAP90



LABORATORIUM MEKANIKA TANAH
JURUSAN TEKNIK SIPIL FAKULTAS TEKNIK SIPIL DAN PERENCANAAN
INSTITUT TEKNOLOGI SEPULUH NOPEMBER (I.T.S) SURABAYA
KAMPUS I.T.S KEPUTIH, SUKOLILO TELP. : (031) - 5947274, 5994251-55 PESAWAT 1140
FAX. (031) - 5947284 SURABAYA 1601111

PROFIL BOR

KLIEN PROYEK LOKASI	PT CSW, JL. JAWA SURABAYA JEMBATAN JEMBATAN BELLEY MEDOKAN SEMAMPING	TITIK BOR NO TANGGAL MULAI TANGGAL SELESAI MASTER BOR.	B-3 10 JULI 1997 MISRAN
KETERANGAN	<input checked="" type="checkbox"/> LEMPUNG <input type="checkbox"/> LANAU <input type="checkbox"/> PASIR <input checked="" type="checkbox"/> KULIT KERANG		
DEPAN METAL MATERIAL	BBB 100	Deskripsi Tanah	SPT (BLOWS/FEET)
M	cm		0 10 20 30 40 50 60
0.0	-	BUKA AIR TUNGGAL	
4.0	-	DAWAR SUNGAI	
5.0	-		
7.0	-	LANAU BERPASSIR HALUS, COHLAT	5
8.0	-		
9.0	-		
10.0	-		13
11.0	-		2
12.0	-	LANAU BERLEMPUNG KUNING	
13.0	-		
14.0	-		12
15.0	-		
16.0	-	LEMPUNG KUNING	26
17.0	-		
18.0	-		22
19.0	-		
20.0	-	LANAU PASIR KULIT KERANG, COHLAT ABU-ABU	34
21.0	-		
22.0	-		31
23.0	-		25
24.0	-	LEMPUNG KUNING	
25.0	-		
26.0	-		31
27.0	-		22
28.0	-		
29.0	-		26
30.0	-		
31.0	-		30
32.0	-		
33.0	-	LEMPUNG BERLANAU BERPASSIR, KUNING ABU-ABU	26
34.0	-	LEMPUNG KUNING	
FILE: CSW-B3			



F A T S S
Teknik Sipil
I.T.S.

JKA PILE CLASSIFICATION

Pile No.	Diameter (mm)	Length (m)	Soil Properties		Pile Properties		Test Results		Design Parameters			
			Unit Weight (kN/m³)	Shear Strength (kN/m²)	Material	Shape	Area (mm²)	Modulus (kN/mm²)	Stiffness (kN/mm)	Capacity (kN)		
1	350	75	A1	7	8	206	615.75	3711.17	40.74	92.15	3.50	5.25
			A2	7	12	452	615.75	3734.91	66.07	86.89	4.20	6.00
			B	7	15	610	615.75	3758.65	84.46	85.97	5.00	9.00
			C	9	12	7.62	615.75	3781.43	100.05	83.26	6.00	12.00
1	400	75	A1	7	12	462	705.77	5405.79	55.24	112.87	5.50	8.75
			A2	7	16	910	705.77	5432.93	70.23	109.71	6.50	9.75
			B	9	12	7.60	705.77	5458.95	80.15	107.70	7.50	10.50
			C	9	16	10.13	705.77	5480.06	84.04	105.83	7.50	10.50
1	450	80	A1	7	12	462	920.01	7100.79	40.40	139.23	7.50	11.25
			A2	7	16	9.07	920.01	7102.00	59.97	135.90	8.50	12.75
			A3	9	12	7.63	920.01	7102.00	67.46	131.04	10.00	15.00
			B	7	20	7.10	920.01	7104.27	72.49	132.79	10.00	15.00
			C	7	24	9.74	920.01	7106.51	84.08	129.92	11.00	19.00
			D	9	20	12.72	920.01	7106.50	108.02	121.89	12.50	20.00
1	500	90	A1	7	16	6.15	1150.25	10302.44	49.45	172.00	10.00	15.75
			A2	7	24	7.70	1150.25	10329.83	60.19	169.31	12.50	10.75
			B	9	12	7.63	1150.25	10308.21	56.02	170.03	12.50	18.75
			A2	7	24	9.74	1150.25	10327.22	70.02	165.21	14.00	21.00
			C	7	25	10.73	1150.25	10474.61	80.43	163.06	15.00	27.00
			D	9	24	15.27	1150.25	10583.74	104.56	155.04	17.00	24.00
1	600	100	A1	7	20	7.70	1570.00	17255.02	40.00	235.40	17.00	25.50
			A2	7	24	9.74	1570.00	17302.38	54.13	232.00	19.00	23.50
			A2	9	25	12.72	1570.00	17411.58	66.82	226.09	22.00	33.00
			B	9	24	12.32	1570.00	17300.50	69.38	225.02	22.00	33.00
			C	7	26	20.06	1570.00	17410.44	102.09	211.60	29.00	56.00
			D	7	26	20.06	1570.00	17610.44	102.09	211.60	29.00	56.00

Notes:

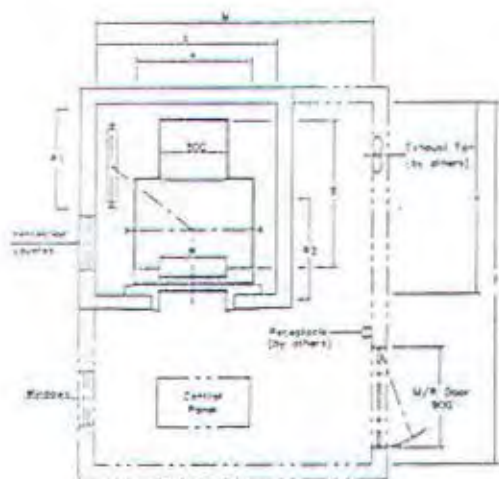
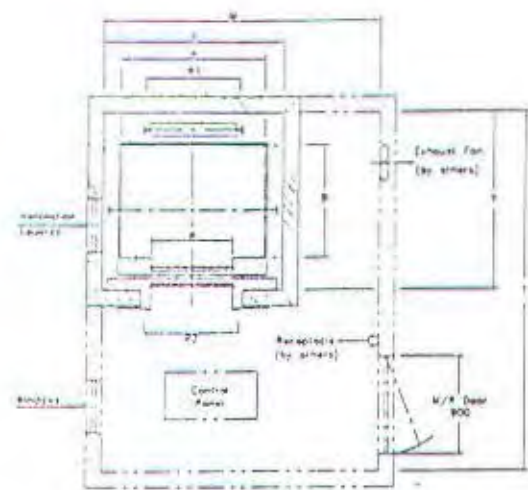
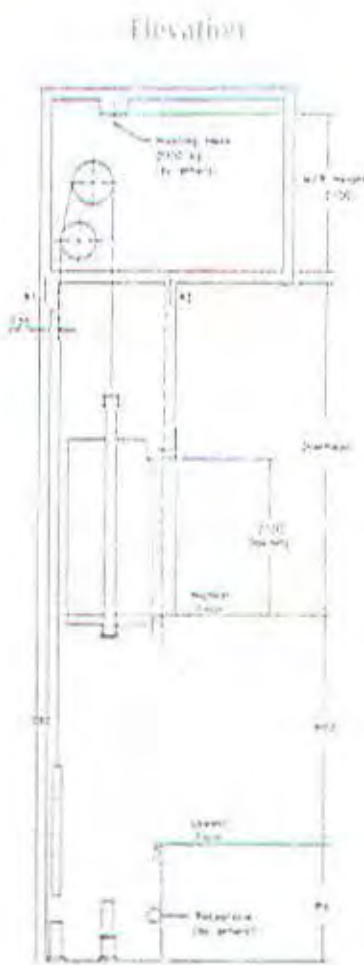
1) Not generally comply to JIS A 5225 - 1997 and modified to suit ACI 343 - 1979 & PDI 71.

2) Specified Concrete cube Compressive strength is 60.0 Kg/cm² at 28 days.

3) Modulus of load is applicable to pile acting as a short shaft.

Initial
out

Hoistway and Machine Room



Hoistway and Machine Room
for Stretched Elevator

Standard Dimensions and Reactions

Passenger Capacity	Load Capacity (kg)	Speed (m/m)	Kind of Equipment	Car Inside A x B	Dimensions (mm)		Reaction (kg)		
					Car Width W	Hoistway X x Y	Machine Room M x T	R1	R2
6	450	60	P-6-CO-60	1400 x 1300	1100	1350 x 1450	2500 x 3100	3743	2173
6	550	60	P-6-CO-60 S-6-CO-60	1400 x 1000 1400 x 1020 (+20)	1100	1350 x 1680 2100 x 2500	2500 x 3330 2750 x 4150	3642	2906
6	600	60	P-6-CO-60 P-6-CO-60	1400 x 1100 1400 x 1130	1100	1350 x 1730 1850 x 1750	2500 x 3400 2500 x 3400	3753	3022
10	650	60	P-10-CO-60	1400 x 1200	1100	1850 x 1900	2500 x 3550	4690	3270
11	750	60	P-11-CO-60	1400 x 1300	1100	2100 x 2000	2500 x 3650	4875	3403
			S-11-CO-60	1400 x 1400 (+600)	1100	2100 x 2500	2750 x 4150	4909	3738
11	900	60	H-11-CO-60	1400 x 1400	1100	1850 x 2080	2750 x 3730	4846	3323
			P-11-CO-60	1600 x 1350	1100	2100 x 2100	2750 x 3730	5393	4026
			P-11-CO-60	1600 x 1400	1100	2100 x 2100	2750 x 3750	5411	4039
			S-11-CO-60	1600 x 1400 (+600)	1100	2100 x 2500	2950 x 4150	5542	4198
			H-11-CO-60	1600 x 1450	1100	2100 x 2100	2750 x 3750	5527	3940
15	1000	60	P-15-CO-60	1600 x 1500	1100	2100 x 2250	2750 x 3900	5767	4353
			P-15-CO-60	1600 x 1550		2100 x 2250	2750 x 3900	5685	4297
			S-15-CO-60	1600 x 1550 (+50)		2300 x 2500	2950 x 4150	5780	4394
			P-15-CO-60	1600 x 1550		2100 x 2250	2750 x 3900	5790	4162
17	1150	60	P-17-CO-60	1850 x 1300	1100	2300 x 2250	2950 x 3900	6238	4700
			P-17-CO-60	1850 x 1300		2300 x 2250	2950 x 3900	6238	4790
			S-17-CO-60	1850 x 1300 (+50)		2500 x 2500	3150 x 4150	6403	4879
			P-17-CO-60	2000 x 1300		2500 x 2500	3150 x 3750	5983	5130
20	1350	60	P-20-CO-60	2000 x 1500	1100	2500 x 2300	3150 x 3900	7631	4733
			P-20-CO-60	2000 x 1550		2500 x 2300	3150 x 3900	7532	4801
25	1350	60	P-25-CO-60	1550 x 1750	1100	2100 x 2500	2950 x 4150	7462	4775
			P-25-CO-60	1550 x 1750 (+20)		2500 x 2500	3150 x 4150	7402	5010

Overhead and Pit Dimensions

Speed (m/m)	Overhead (mm)	Pit (mm)
60	4435 (P6-P9)	1550
	4480 (P10-P11)	
	4560 (P13-P15)	
	4595 (P17)	
	4730 (P20)	

L_p and L_r OF WF HOT ROLLED PROFILE TABLE

Elastic modulus, E = 2.100E+05 MPa f_r = 70 MPa
 Shear modulus, G = 8.100E+04 MPa f_y = 240 MPa

Designation	Thickness		Depth		Width bf	Corner radius r	Sectional Area A	Elastic Section Modulus S _x	Moment of Inertia I _y	Radius of Gyration r _y	Non warping torsional constant J	Warping torsional constant I _w	X ₁	X ₂	L _p	L _r	
	t _w	t _f	d	h													
mm	mm	mm	mm	mm	mm	mm	mm ²	cm ²	cm ⁴	cm	mm ⁴	mm ⁴			mm	mm	
900x300	18	34	912	878	844	302	28	364	10900	15700	6.56	9553941.33	3.0080E+13	15081.13	3.02E-14	3415	8558
	16	28	900	872	844	300	28	309.8	9140	12600	6.39	5542741.33	2.3952E+13	13140.70	1.31E-13	3327	6985
	15	23	890	867	844	299	28	270.9	7760	10300	6.16	3374788.67	1.9258E+12	11293.48	4.86E-13	3207	5787
800x300	16	30	808	778	748	302	28	307.6	8400	13800	6.70	6457269.33	2.0840E+13	15378.01	4.02E-14	3488	8571
	15	26	800	774	748	300	28	267.4	7290	11700	6.52	4356700.00	1.7523E+13	13570.44	1.09E-13	3446	7473
	14	22	792	770	748	300	28	243.4	6410	9030	6.39	2613770.67	1.4674E+13	11833.37	3.70E-13	3327	6290
700x300	15	28	708	680	652	302	28	273.6	6700	12900	6.86	5153169.33	1.4859E+13	16243.60	3.06E-14	3571	9270
	13	24	700	676	652	300	28	235.5	5700	10800	6.78	3242281.33	1.2338E+13	13904.65	1.06E-13	3530	7843
	13	20	692	672	652	300	28	211.5	4900	9020	6.53	2077481.33	1.0161E+13	12109.90	3.46E-13	3400	6627
600x300	14	23	594	571	548	302	28	222.4	4620	10600	6.90	2950860.00	8.0062E+12	16071.69	4.53E-14	2592	9225
	12	20	588	568	548	300	28	192.5	4020	9020	6.85	1915648.00	7.2590E+12	13845.51	1.45E-13	3566	7890
	12	17	582	565	548	300	28	174.5	3530	7070	6.63	1298248.00	6.1052E+12	12358.44	4.04E-13	3452	6816
600x200	13	23	612	589	566	202	22	107.7	3380	3180	4.31	2052910.00	2.7403E+12	12751.06	5.88E-14	2244	4572
	12	20	606	586	566	201	22	152.5	2980	2720	4.22	1398016.00	2.3238E+12	14201.58	1.84E-13	2197	4986
	11	17	600	583	566	200	22	134.4	2590	2280	4.12	906182.00	1.9260E+12	12350.07	5.24E-13	2145	4233
	10	15	596	581	566	199	22	120.5	2310	1980	4.05	636416.67	1.6626E+12	10987.89	1.35E-12	2108	3702
500x300	11	18	488	470	452	300	28	183.5	2910	8110	7.04	1366937.33	4.4732E+12	14890.25	1.05E-13	3685	8720
	11	15	482	467	452	300	28	145.5	2500	6760	6.82	875537.33	3.6803E+12	13085.51	3.36E-13	3551	7424
500x200	11	19	506	487	468	201	20	131.3	2230	2580	4.43	1126742.00	1.5247E+12	15608.90	8.43E-14	2306	5826
	10	16	500	484	468	200	20	114.2	1910	2140	4.33	702133.33	1.2494E+12	13588.49	2.97E-13	2254	4895
	9	14	496	482	468	199	20	101.3	1690	1840	4.27	477701.33	1.0680E+12	11931.23	8.44E-13	2223	4238
450x300	11	18	440	422	404	300	24	157.4	2550	8110	7.18	1345641.33	3.6062E+12	16542.02	5.33E-14	3738	9681
	10	15	434	419	404	299	24	135	2160	6690	7.04	807416.67	2.9331E+12	14009.54	2.09E-13	3685	8205
450x200	9	14	450	436	422	200	18	96.76	1490	1870	4.40	468412.67	8.8711E+11	13095.97	4.51E-13	2291	4794
	8	12	446	434	422	199	18	84.3	1290	1580	4.33	301289.33	7.4218E+11	11323.05	1.47E-12	2254	4079
400x400	45	70	498	428	358	432	22	770.1	12000	94400	11.10	109958250.00	4.3075E+13	70189.92	6.08E-19	5779	64813
	30	50	458	408	358	417	22	528.6	8170	60500	10.70	37972000.00	2.5147E+13	50281.46	8.28E-18	5571	44739
	20	35	428	393	358	407	22	360.7	5570	39400	10.40	12588083.33	1.5185E+13	35053.84	1.37E-16	5414	30336
	18	28	414	386	358	405	22	295.4	4480	31000	10.20	6622992.00	1.1547E+13	28616.48	7.25E-16	5310	24282
	16	24	406	382	358	403	22	254.9	3840	26200	10.10	4202837.33	9.5509E+12	24705.11	2.36E-15	5258	20757
	21	21	400	379	358	408	22	250.7	3540	23800	9.75	3624138.00	8.5362E+12	24079.60	3.03E-15	5076	20017
	13	21	400	379	358	400	22	218.7	3330	22400	10.10	2731775.33	8.0439E+12	21274.75	7.37E-15	5258	17875
	18	18	394	376	358	405	22	214.4	3030	20000	9.85	2270592.00	7.0437E+12	21105.77	1.04E-14	5024	16943
	11	18	394	376	358	398	22	186.8	2850	18900	10.10	1706256.67	6.6848E+12	18159.01	2.56E-14	5258	15255
	15	15	398	383	368	402	22	178.5	2520	16300	9.54	1318500.00	5.9560E+12	17644.95	4.53E-14	4967	14003
400x300	10	16	390	374	358	300	22	136	1080	7210	7.28	938533.33	2.5178E+12	16538.30	8.43E-14	3790	10016
9	14	386	372	358	299	22	120.1	1740	6240	7.21	633964.57	2.1578E+12	14539.05	1.82E-13	3754	8718	
400x200	8	13	400	387	374	200	16	84.12	1190	1740	4.54	350762.67	6.4900E+11	13343.02	4.29E-13	2364	5039
7	11	396	385	374	199	16	72.16	1010	1450	4.48	219340.00	5.3538E+11	11416.89	1.54E-12	2332	4255	

Designation	Thickness		Depth			Width bf	Corner radius r	Sectional Area A	Elastic Section Modulus Sx	Moment of Inertia Iy	Radius of Gyration ry	Non warping torsional constant J	Warping torsional constant lw	X ₁	X ₂	L _p	tr.
	tw	tf	d	h	dw												
	mm	mm	mm	mm	mm	mm	mm	cm ²	cm ³	cm ⁴	cm	mm ⁴	mm ⁴			mm	mm
350x350	14	22	356	334	312	352	20	202	2070	16000	8.90	2784106.67	4.4600E+12	25743.59	2.19E-15	4633	19060
	19	19	350	331	312	357	20	198.4	2450	14400	8.53	2345778.00	3.9454E+12	25521.72	3.03E-15	4441	18110
	12	19	350	331	312	350	20	173.9	2300	13600	8.84	1780145.33	3.7188E+12	22172.34	7.08E-15	4602	16305
	16	16	344	328	312	354	20	166.6	2050	11800	8.43	1392640.00	3.1818E+12	21535.99	1.18E-14	4389	15103
	10	16	344	328	312	248	20	148	1940	11200	8.78	781205.33	1.0940E+12	15955.82	3.45E-14	4571	11654
350x250	13	13	338	325	312	351	20	153.3	1870	9380	8.33	742586.00	2.4741E+12	18517.82	6.27E-14	4337	12832
	9	14	340	326	312	250	20	101.5	1280	3650	6.00	533149.33	9.6866E+11	10657.48	8.19E-14	3124	8314
360x175	8	12	336	324	312	249	20	88.15	1100	3090	5.92	340096.00	8.1032E+11	14427.17	2.67E-13	3082	7105
	7	11	350	339	328	175	14	63.14	775	9840	3.95	192784.67	2.8229E+11	13048.14	6.96E-14	2056	4288
300x300	6	9	340	337	328	174	14	52.68	641	792	3.88	108180.00	2.2436E+11	10794.44	3.24E-12	2020	3484
	11	17	304	287	270	301	18	134.8	1540	7730	7.57	1105665.33	1.5811E+12	23977.24	7.20E-15	3941	14470
	15	15	300	285	270	305	18	134.8	1440	7100	7.26	990000.00	1.4404E+12	23252.08	8.44E-15	3780	14043
	10	15	300	285	270	300	18	119.8	1360	6750	7.51	765000.00	1.3707E+12	20402.44	1.88E-14	3910	12746
	9	14	296	284	270	299	18	110.8	1270	6240	7.51	612580.67	1.2577E+12	18802.24	3.46E-14	3910	11747
300x200	12	12	294	282	270	302	18	107.7	1150	5520	7.16	503424.00	1.0952E+12	18558.32	5.02E-14	3728	11054
	9	14	298	284	270	201	18	83.36	893	1900	4.77	433306.00	3.8207E+11	19506.82	3.37E-14	2483	7741
300x150	8	12	294	282	270	200	18	72.38	771	1800	4.71	276480.00	3.1810E+11	16817.00	1.12E-13	2452	6589
	6.5	9	300	291	282	150	13	46.78	481	508	3.29	98714.75	1.0717E+11	12949.05	1.11E-12	1713	3544
250x250	5.5	8	298	290	282	149	13	40.8	424	442	3.29	60497.92	9.2733E+10	11259.78	3.22E-12	1713	3082
	14	14	250	236	222	255	16	104.7	919	3880	6.09	669536.00	5.3872E+11	16406.24	4.58E-15	3171	13378
	9	14	250	236	222	250	16	92.18	867	3550	6.29	511279.33	5.0765E+11	22950.40	1.07E-14	3275	12009
	8	13	248	235	222	249	16	84.7	901	3350	6.29	402590.00	4.6181E+11	18784.96	3.21E-14	3275	9829
	11	11	244	233	222	252	16	82.06	720	2940	5.98	322102.00	3.9819E+11	20696.26	3.14E-14	3113	10296
250x175	7	11	244	233	222	175	16	56.24	502	984	4.18	180005.33	1.3335E+11	18404.25	7.51E-14	2176	6400
250x125	6	9	250	241	232	125	12	37.66	324	294	2.79	77454.00	4.2540E+10	15278.44	4.12E-13	1453	3546
	5	8	248	240	232	124	12	32.68	285	255	2.79	51992.00	3.6607E+10	13256.42	1.20E-12	1453	3077
200x200	10	16	208	192	176	202	13	83.89	628	2200	5.13	610261.33	2.0257E+11	32983.51	9.59E-16	2671	14076
	12	12	200	188	176	204	13	71.53	498	1700	4.88	336384.00	1.5003E+11	28549.22	3.94E-15	2541	11590
	8	12	200	188	176	200	13	63.53	472	1600	5.02	260437.33	1.4138E+11	24978.18	8.86E-15	2613	10431
200x150	6	9	194	185	176	150	13	39.01	277	507	3.61	85572.00	4.3316E+10	19117.71	6.72E-14	1879	5741
200x100	5.5	8	200	192	184	100	11	27.16	184	134	2.22	44337.67	1.2288E+10	17286.03	2.53E-13	1156	3192
	4.5	7	198	191	184	99	11	23.18	160	113	2.21	28227.00	1.0324E+10	14653.15	8.76E-13	1151	2694
175x175	7.5	11	175	164	153	175	12	51.21	330	984	4.28	178798.96	6.6057E+10	20428.05	7.57E-15	2280	9630
175x125	5.5	8	169	161	153	125	12	29.65	181	261	2.97	51151.79	1.6876E+10	19720.87	9.42E-14	1546	4872
175x90	5	8	175	167	159	90	9	23.04	139	97.5	2.00	37345.00	6.7770E+09	19342.14	1.24E-13	1072	3315
150x150	7	10	150	140	130	150	11	40.14	219	563	3.75	114863.33	2.7563E+10	28418.23	6.01E-15	1952	8865
150x100	6	9	148	139	130	100	11	26.84	138	151	2.37	57960.00	7.2454E+09	26196.19	1.43E-14	1234	5165
150x75	5	7	150	143	136	75	8	17.85	68.8	49.5	1.66	22816.67	2.5162E+09	20830.23	1.06E-13	864	2877
125x125	6.5	9	125	116	107	125	10	30.31	136	293	3.11	70544.96	9.8555E+09	31163.69	4.32E-15	1619	8063
125x60	6	8	125	117	109	60	9	16.84	66.1	29.2	1.32	28328.00	9.8581E+08	30285.82	9.30E-15	887	3325
100x100	6	8	100	92	84	100	10	21.90	76.5	134	2.47	40181.33	2.6213E+09	35541.41	2.57E-15	1286	7303
100x50	5	7	100	93	86	50	8	11.85	37.5	14.8	1.12	15016.67	3.1533E+08	32604.42	7.70E-15	583	3039

WIDE FLANGE (WF) SHAPES TABLE

Aeros Series										Elongated Sections										Plastic Behavior									
Designation	Weight lb/in.	Area A	Length d	Web Thickness tw/2		Thickness tw		Outer Radius r		Distance T		k		k1		Distance S		I		I		Area V-A		I		I			
				in.	in.	in.	in.	in.	in.	in.	in.	in.	in.	in.	in.	in.	in.	in.	in.	in.	in.	in.	in.	in.	in.	in.	in.	in.	
WF-100	1.380	144.4	91.2	9	.502	.74	.763.0	.62.4	.28.0	-4.44	44.13	-475.000	10.960	.72.00	15.700	1.020	6.56	12.221	1.619										
WF-100	1.380	169.5	96.0	16	.300	.28	.785.0	.36.0	.28.0	-5.56	49.45	4.11.000	1.763.0	.56.40	15.700	1.040	6.50	10.174	1.314										
WF-100	1.380	200.9	15	.299	.23	.798.0	.33.9	.28.0	-6.50	52.96	4.13.000	1.763.0	.55.30	15.700	1.040	6.50	8.670	1.076											
WF-100	1.380	207.6	16	.302	.30	.692.0	.58.0	.28.0	-5.62	53.60	3.50.000	2.000	.33.30	13.300	.915	6.20	-9.357	1.416											
WF-100	1.380	214.4	14	.300	.26	.692.0	.34.0	.28.0	-5.77	49.30	29.2.000	2.000	.33.00	11.700	.782	6.62	7.995	1.262											
WF-100	1.380	214.4	14	.300	.22	.692.0	.30.0	.28.0	-5.82	49.33	25.4.000	2.000	.33.30	9.900	.630	6.30	8.927	1.040											
WF-100	1.380	214.4	14	.300	.28	.596.0	.56.0	.28.0	-5.59	46.10	251.000	6.300	.24.40	12.900	.835	6.30	7.544	1.114											
WF-100	1.380	214.4	15	.302.5	.28	.596.0	.52.0	.28.0	-6.25	46.13	201.000	5.700	.20.30	10.300	.722	6.30	6.348	1.065											
WF-100	1.380	214.4	15	.300	.24	.596.0	.52.0	.28.0	-5.55	46.15	172.000	4.900	.18.60	9.620	.602	6.33	5.314	9.26											
WF-100	1.380	214.4	15	.300	.20	.596.0	.38.0	.28.0	-5.59	46.17	15.8.000	4.620	.17.90	10.600	.701	6.30	5.017	1.076											
WF-100	1.380	214.4	14	.300	.25	.492.0	.41.0	.28.0	-6.25	45.60	15.8.000	4.620	.17.90	10.600	.701	6.30	5.017	1.076											
WF-100	1.380	214.4	14	.300	.20	.492.0	.45.0	.28.0	-5.59	45.63	15.8.000	4.620	.17.90	10.600	.701	6.30	5.019	1.076											
WF-100	1.380	214.4	14	.300	.16	.492.0	.45.0	.28.0	-5.52	45.65	15.8.000	4.620	.17.90	10.600	.701	6.30	5.020	1.076											
WF-100	1.380	214.4	14	.300	.12	.508.0	.45.0	.28.0	-5.52	45.68	15.8.000	4.620	.17.90	10.600	.701	6.30	5.021	1.076											
WF-100	1.380	214.4	14	.300	.08	.508.0	.45.0	.28.0	-5.52	45.70	15.8.000	4.620	.17.90	10.600	.701	6.30	5.022	1.076											
WF-100	1.380	214.4	14	.300	.04	.508.0	.45.0	.28.0	-5.52	45.72	15.8.000	4.620	.17.90	10.600	.701	6.30	5.023	1.076											
WF-100	1.380	214.4	14	.300	.00	.508.0	.45.0	.28.0	-5.52	45.75	15.8.000	4.620	.17.90	10.600	.701	6.30	5.024	1.076											
WF-100	1.380	214.4	14	.300	.00	.508.0	.45.0	.28.0	-5.52	45.78	15.8.000	4.620	.17.90	10.600	.701	6.30	5.025	1.076											
WF-100	1.380	214.4	14	.300	.00	.508.0	.45.0	.28.0	-5.52	45.80	15.8.000	4.620	.17.90	10.600	.701	6.30	5.026	1.076											
WF-100	1.380	214.4	14	.300	.00	.508.0	.45.0	.28.0	-5.52	45.83	15.8.000	4.620	.17.90	10.600	.701	6.30	5.027	1.076											
WF-100	1.380	214.4	14	.300	.00	.508.0	.45.0	.28.0	-5.52	45.85	15.8.000	4.620	.17.90	10.600	.701	6.30	5.028	1.076											
WF-100	1.380	214.4	14	.300	.00	.508.0	.45.0	.28.0	-5.52	45.88	15.8.000	4.620	.17.90	10.600	.701	6.30	5.029	1.076											
WF-100	1.380	214.4	14	.300	.00	.508.0	.45.0	.28.0	-5.52	45.90	15.8.000	4.620	.17.90	10.600	.701	6.30	5.030	1.076											
WF-100	1.380	214.4	14	.300	.00	.508.0	.45.0	.28.0	-5.52	45.93	15.8.000	4.620	.17.90	10.600	.701	6.30	5.031	1.076											
WF-100	1.380	214.4	14	.300	.00	.508.0	.45.0	.28.0	-5.52	45.95	15.8.000	4.620	.17.90	10.600	.701	6.30	5.032	1.076											
WF-100	1.380	214.4	14	.300	.00	.508.0	.45.0	.28.0	-5.52	45.98	15.8.000	4.620	.17.90	10.600	.701	6.30	5.033	1.076											
WF-100	1.380	214.4	14	.300	.00	.508.0	.45.0	.28.0	-5.52	46.00	15.8.000	4.620	.17.90	10.600	.701	6.30	5.034	1.076											
WF-100	1.380	214.4	14	.300	.00	.508.0	.45.0	.28.0	-5.52	46.03	15.8.000	4.620	.17.90	10.600	.701	6.30	5.035	1.076											
WF-100	1.380	214.4	14	.300	.00	.508.0	.45.0	.28.0	-5.52	46.05	15.8.000	4.620	.17.90	10.600	.701	6.30	5.036	1.076											
WF-100	1.380	214.4	14	.300	.00	.508.0	.45.0	.28.0	-5.52	46.08	15.8.000	4.620	.17.90	10.600	.701	6.30	5.037	1.076											
WF-100	1.380	214.4	14	.300	.00	.508.0	.45.0	.28.0	-5.52	46.10	15.8.000	4.620	.17.90	10.600	.701	6.30	5.038	1.076											
WF-100	1.380	214.4	14	.300	.00	.508.0	.45.0	.28.0	-5.52	46.13	15.8.000	4.620	.17.90	10.600	.701	6.30	5.039	1.076											
WF-100	1.380	214.4	14	.300	.00	.508.0	.45.0	.28.0	-5.52	46.15	15.8.000	4.620	.17.90	10.600	.701	6.30	5.040	1.076											
WF-100	1.380	214.4	14	.300	.00	.508.0	.45.0	.28.0	-5.52	46.18	15.8.000	4.620	.17.90	10.600	.701	6.30	5.041	1.076											
WF-100	1.380	214.4	14	.300	.00	.508.0	.45.0	.28.0	-5.52	46.20	15.8.000	4.620	.17.90	10.600	.701	6.30	5.042	1.076											
WF-100	1.380	214.4	14	.300	.00	.508.0	.45.0	.28.0	-5.52	46.23	15.8.000	4.620	.17.90	10.600	.701	6.30	5.043	1.076											
WF-100	1.380	214.4	14	.300	.00	.508.0	.45.0	.28.0	-5.52	46.25	15.8.000	4.620	.17.90	10.600	.701	6.30	5.044	1.076											
WF-100	1.380	214.4	14	.300	.00	.508.0	.45.0	.28.0	-5.52	46.28	15.8.000	4.620	.17.90	10.600	.701	6.30	5.045	1.076											
WF-100	1.380	214.4	14	.300	.00	.508.0	.45.0	.28.0	-5.52	46.30	15.8.000	4.620	.17.90	10.600	.701	6.30	5.046	1.076											
WF-100	1.380	214.4	14	.300	.00	.508.0	.45.0	.28.0	-5.52	46.33	15.8.000	4.620	.17.90	10.600	.701	6.30	5.047	1.076											
WF-100	1.380	214.4	14	.300	.00	.508.0	.45.0	.28.0	-5.52	46.35	15.8.000	4.620	.17.90	10.600	.701	6.30	5.048	1.076											
WF-100	1.380	214.4	14	.300	.00	.508.0	.45.0	.28.0	-5.52	46.38	15.8.000	4.620	.17.90	10.600	.701	6.30	5.049	1.076											
WF-100	1.380	214.4	14	.300	.00	.508.0	.45.0	.28.0	-5.52	46.40	15.8.000	4.620	.17.90	10.600	.701	6.30	5.050	1.076											
WF-100	1.380	214.4	14	.300	.00	.508.0	.45.0	.28.0	-5.52	46.43	15.8.000	4.620	.17.90	10.600	.701	6.30	5.051	1.076											
WF-100	1.380	214.4	14	.300	.00	.508.0	.45.0	.28.0	-5.52	46.45	15.8.000	4.620	.17.90	10.600	.701														

$$(\star) \quad b = d + 1, \Gamma^* = 2k \quad \text{as per (RIBB5.1)} \\ (\star\star) \quad Z_{\Gamma^*} = \frac{k_1 d k^2}{d-1} + (1b - 1) s_1 d - k_1 b \Gamma^* \quad \text{as per 1993 IITK 1994 - Table 27 Chapter 10}$$

13



JURUSAN TEKNIK SIPIL

INSTITUT TEKNOLOGI SEPULUH NOPEMBER
SURABAYA

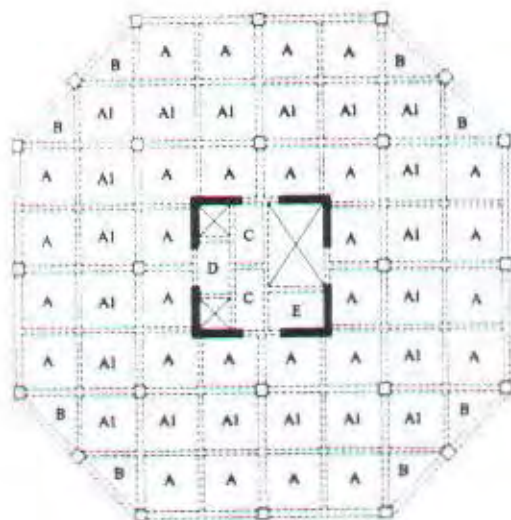
JUDUL, TUGAS AKHIR

MODIFIKASI PERENCANAAN GEDUNG KAMPUS STIKOM SURABAYA DENGAN DAKTILITAS PENUH

KEY PLAN

DENAH LANTAI AUDITORIUM,

Skala 1 : 200



AUDITORIUM

DENAH PELAT LANTAI ($t = 12 \text{ cm}$)

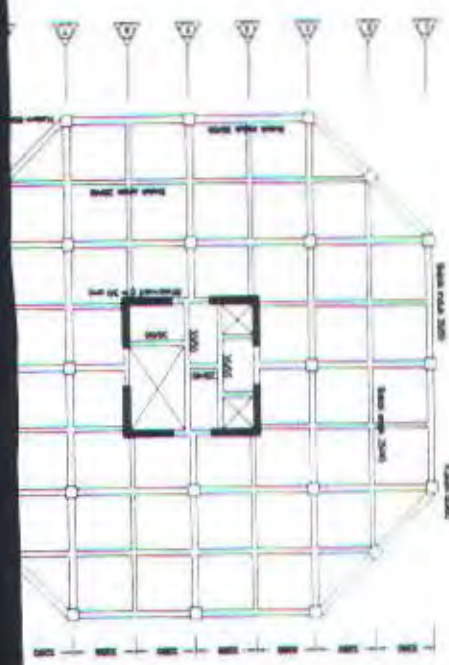
Skala 1 : 200

DOSEN PEMBIMBING	TTD.
Ir. Kurnian Supripto, MS.	
NIP. 130320203	
DIGAMBAR OLEH	TTD.
Hery Endarto Budi S.	
NIM. 3196109231	
NAMA GAMBAR	SKALA
1. Denah lantai 1	1 : 200
2. Denah lantai 2 - 9	1 : 200
3. Denah lantai Auditorium	1 : 200
4. Denah pembalokan lantai 2 - 9	1 : 200
5. Denah pembalokan lantai Auditorium	1 : 200
6. Denah pelat lantai ($t = 12 \text{ cm}$)	1 : 200

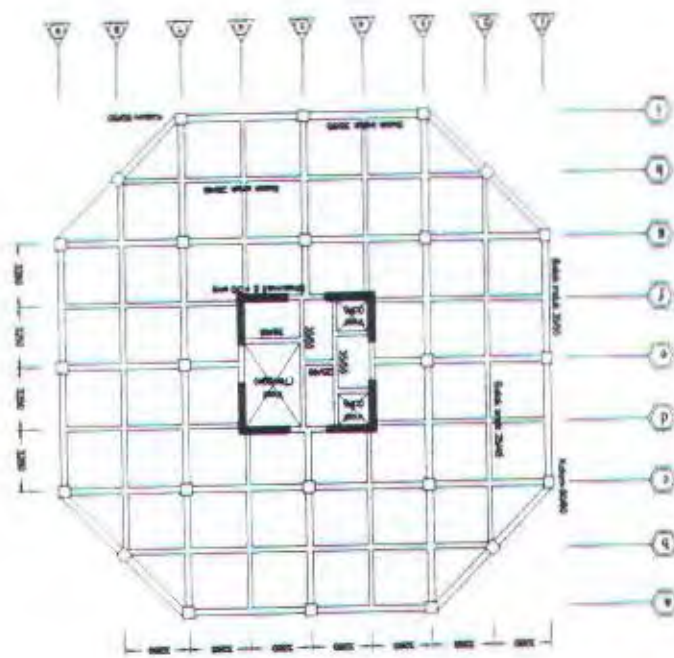
TANGGAL: NO GAMBAR JML GAMBAR

26/01/2000 01 11

DENAH PEMBALOKAN LANTAI



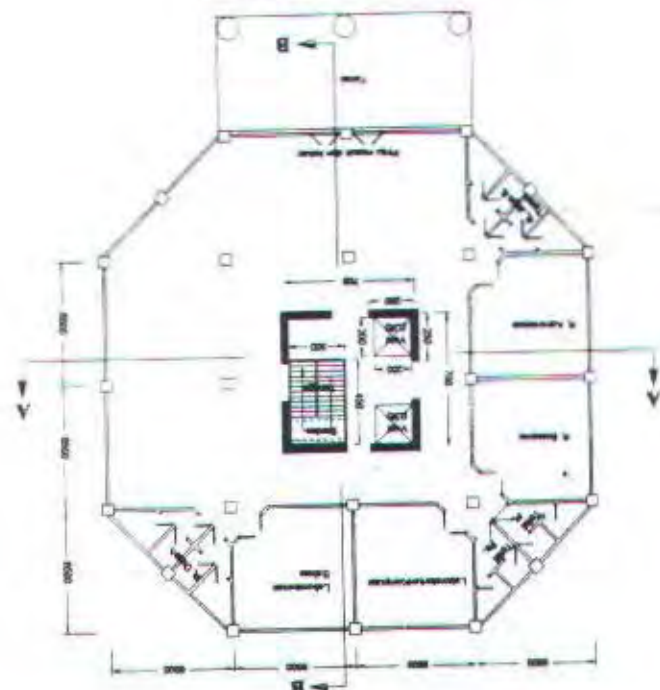
DENAH PEMBALOKAN LANTAI 2 - 9



DENAH LANTAI 2 - 9



DENAH LANTAI 1





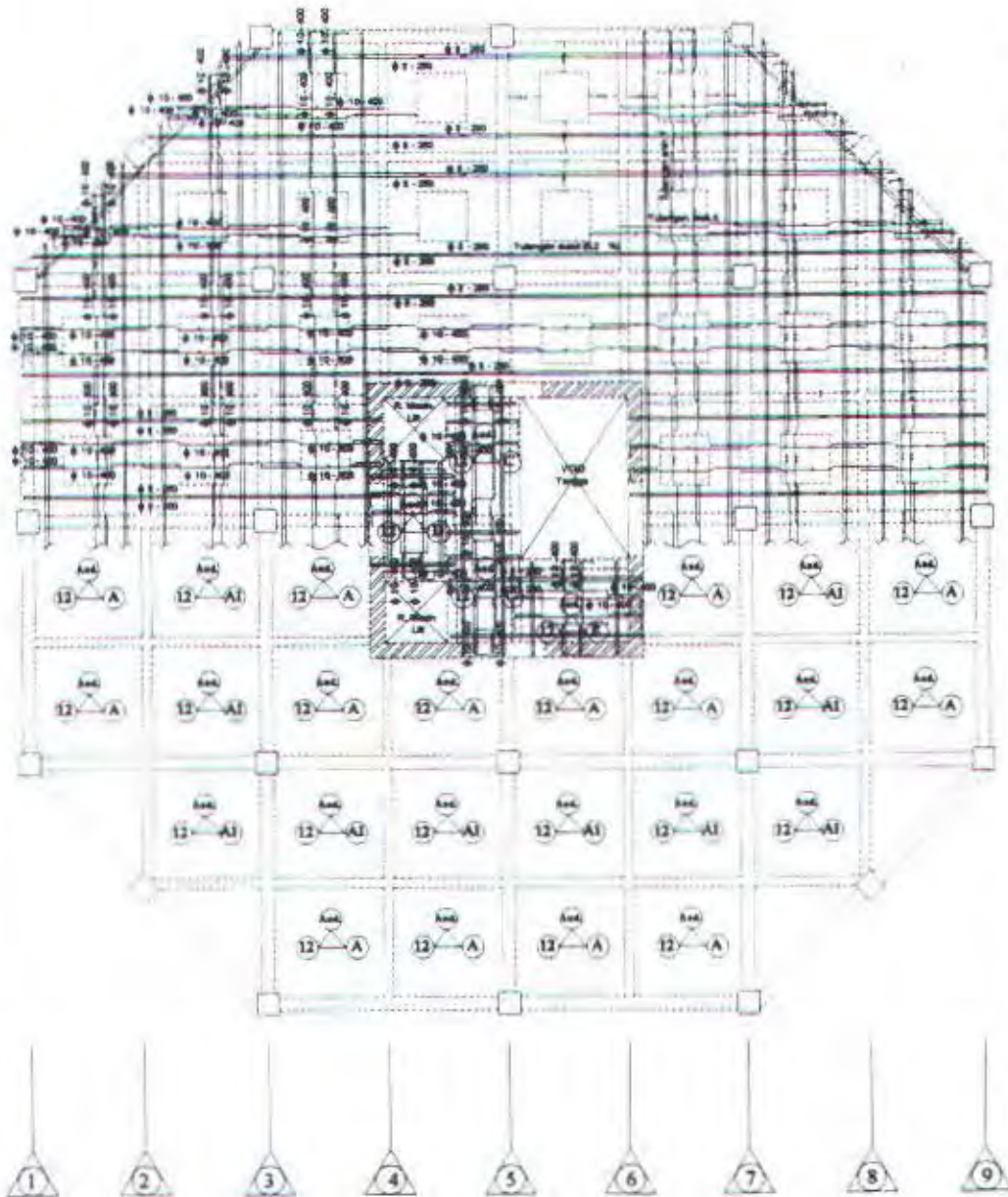
JURUSAN TEKNIK SIPIL

INSTITUT TEKNOLOGI SEPULUH NOPEMBER
SURABAYA

JUDUL TUGAS AKHIR

MODIFIKASI PERENCANAAN GEDUNG KAMPUS STIKOM SURABAYA DENGAN DAKTILITAS PENUH

KEY PLAN



DOSEN PEMBIMBING

Ir. Kurniati Suprapto, MS
NIP. 130320203

DIGAMBAR OLEH

Hery Endarto Budi S.
NIM. 3196109231

NAMA GAMBAR

- Penulangan pelat lantai kubah 1 : 100
- Penulangan pelat auditorium 1 : 100

TTD

TTD

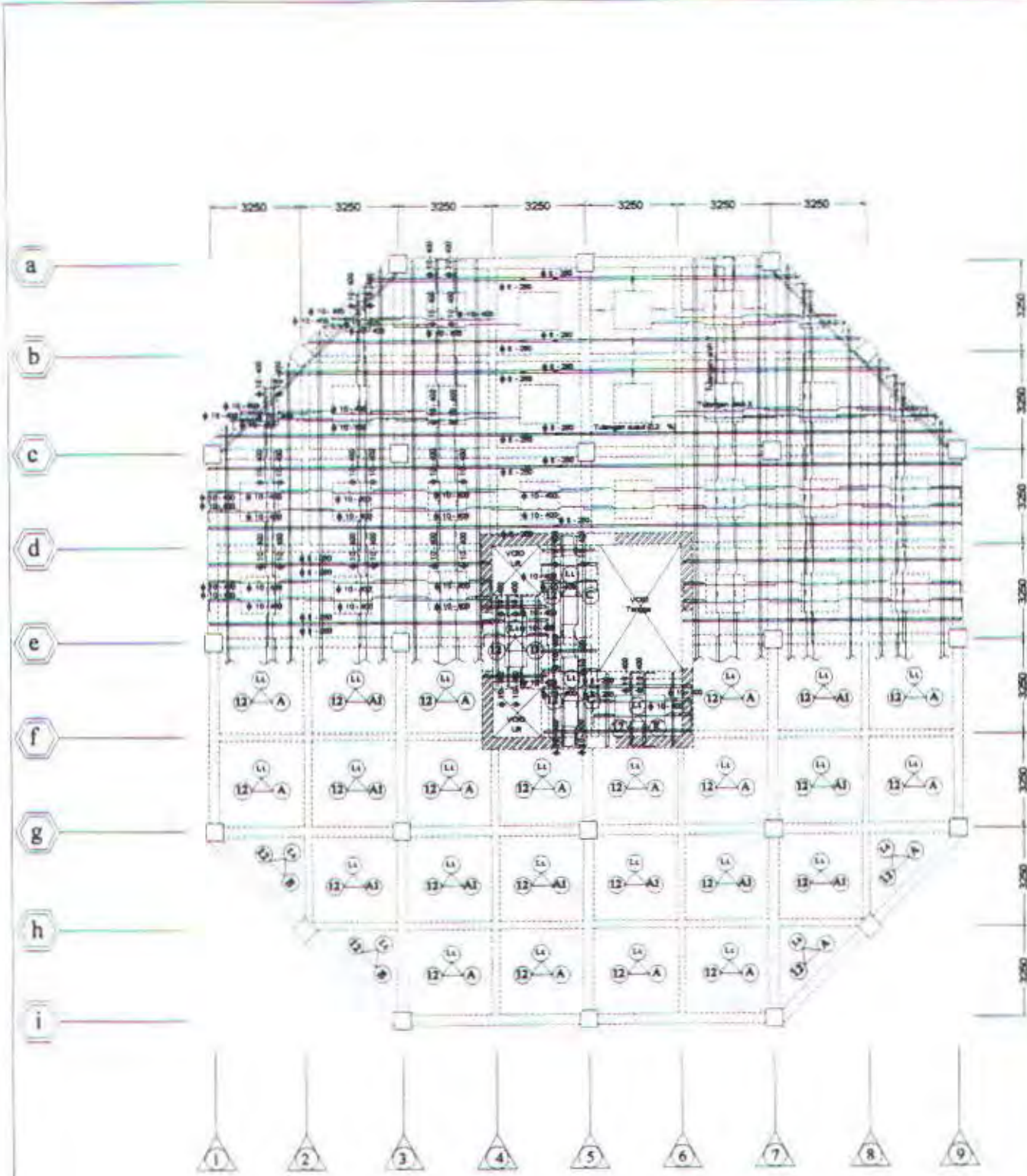
SKALA

PENULANGAN PELAT AUDITORIUM

skala 1 : 100

TANGGAL NO GAMBAR JML GAMBAR

26/01/2000 03 11



PENULANGAN PELAT LANTAI KULIAH

TANAH LIAU NO. 01/2000 TAHUN 2000

1. Tempat diper
2. Tempat sampah
3. Pongongan melintang A-A
4. Pongongan melintang B-B

NAMA DAN NARASI	SKALA
Heri Endarto Balai 5	1:200
Heri Endarto Balai 5	1:200
DIGAMBAR OLEH	TTD
Heri Endarto Balai 5	1:200

(Dr. Kurniati Supriko, M.S.)

NRP. 13032009

TOSSEN PENGRINGINO

TTD

(Dr. Kurniati Supriko, M.S.)

NRP. 13032009

DIGAMBAR OLEH

Heri Endarto Balai 5

1:200

Elevasi lt. 1 (+ 00.00)

Elevasi lt. 2 (+ 04.00)

Elevasi lt. 3 (+ 08.00)

Elevasi lt. 4 (+ 12.00)

Elevasi lt. 5 (+ 16.00)

Elevasi lt. 6 (+ 20.00)

Elevasi lt. 7 (+ 24.00)

Elevasi lt. 8 (+ 28.00)

Elevasi Auditorium (+ 36.00)

Elevasi lt. 9 (+ 32.00)

Elevasi lt. 10 (+ 38.00)

Elevasi lt. 11 (+ 42.00)

Elevasi lt. 12 (+ 46.00)

Elevasi lt. 13 (+ 50.00)

Elevasi lt. 14 (+ 54.00)

Elevasi lt. 15 (+ 58.00)

Elevasi lt. 16 (+ 62.00)

Elevasi lt. 17 (+ 66.00)

Elevasi lt. 18 (+ 70.00)

Elevasi lt. 19 (+ 74.00)

Elevasi lt. 20 (+ 78.00)

Elevasi lt. 21 (+ 82.00)

Elevasi lt. 22 (+ 86.00)

Elevasi lt. 23 (+ 90.00)

Elevasi lt. 24 (+ 94.00)

Elevasi lt. 25 (+ 98.00)

Elevasi lt. 26 (+ 102.00)

Elevasi lt. 27 (+ 106.00)

Elevasi lt. 28 (+ 110.00)

Elevasi lt. 29 (+ 114.00)

Elevasi lt. 30 (+ 118.00)

Elevasi lt. 31 (+ 122.00)

Elevasi lt. 32 (+ 126.00)

Elevasi lt. 33 (+ 130.00)

Elevasi lt. 34 (+ 134.00)

Elevasi lt. 35 (+ 138.00)

Elevasi lt. 36 (+ 142.00)

Elevasi lt. 37 (+ 146.00)

Elevasi lt. 38 (+ 150.00)

Elevasi lt. 39 (+ 154.00)

Elevasi lt. 40 (+ 158.00)

Elevasi lt. 41 (+ 162.00)

Elevasi lt. 42 (+ 166.00)

Elevasi lt. 43 (+ 170.00)

Elevasi lt. 44 (+ 174.00)

Elevasi lt. 45 (+ 178.00)

Elevasi lt. 46 (+ 182.00)

Elevasi lt. 47 (+ 186.00)

Elevasi lt. 48 (+ 190.00)

Elevasi lt. 49 (+ 194.00)

Elevasi lt. 50 (+ 198.00)

Elevasi lt. 51 (+ 202.00)

Elevasi lt. 52 (+ 206.00)

Elevasi lt. 53 (+ 210.00)

Elevasi lt. 54 (+ 214.00)

Elevasi lt. 55 (+ 218.00)

Elevasi lt. 56 (+ 222.00)

Elevasi lt. 57 (+ 226.00)

Elevasi lt. 58 (+ 230.00)

Elevasi lt. 59 (+ 234.00)

Elevasi lt. 60 (+ 238.00)

Elevasi lt. 61 (+ 242.00)

Elevasi lt. 62 (+ 246.00)

Elevasi lt. 63 (+ 250.00)

Elevasi lt. 64 (+ 254.00)

Elevasi lt. 65 (+ 258.00)

Elevasi lt. 66 (+ 262.00)

Elevasi lt. 67 (+ 266.00)

Elevasi lt. 68 (+ 270.00)

Elevasi lt. 69 (+ 274.00)

Elevasi lt. 70 (+ 278.00)

Elevasi lt. 71 (+ 282.00)

Elevasi lt. 72 (+ 286.00)

Elevasi lt. 73 (+ 290.00)

Elevasi lt. 74 (+ 294.00)

Elevasi lt. 75 (+ 298.00)

Elevasi lt. 76 (+ 302.00)

Elevasi lt. 77 (+ 306.00)

Elevasi lt. 78 (+ 310.00)

Elevasi lt. 79 (+ 314.00)

Elevasi lt. 80 (+ 318.00)

Elevasi lt. 81 (+ 322.00)

Elevasi lt. 82 (+ 326.00)

Elevasi lt. 83 (+ 330.00)

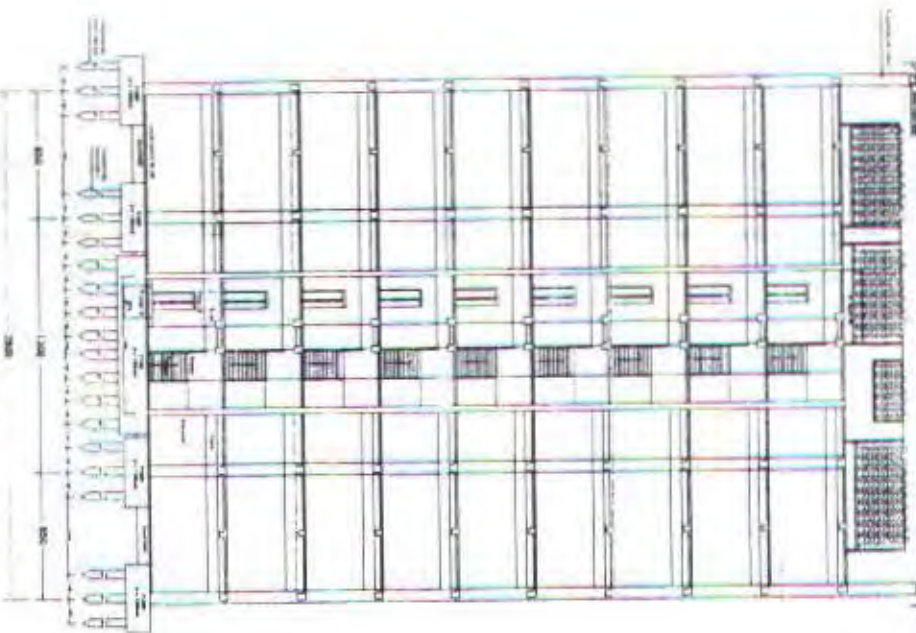
Elevasi lt. 84 (+ 334.00)

POTONGAN MEMANJANG B - B

1:200

POTONGAN MELINTANG A - A

1:200

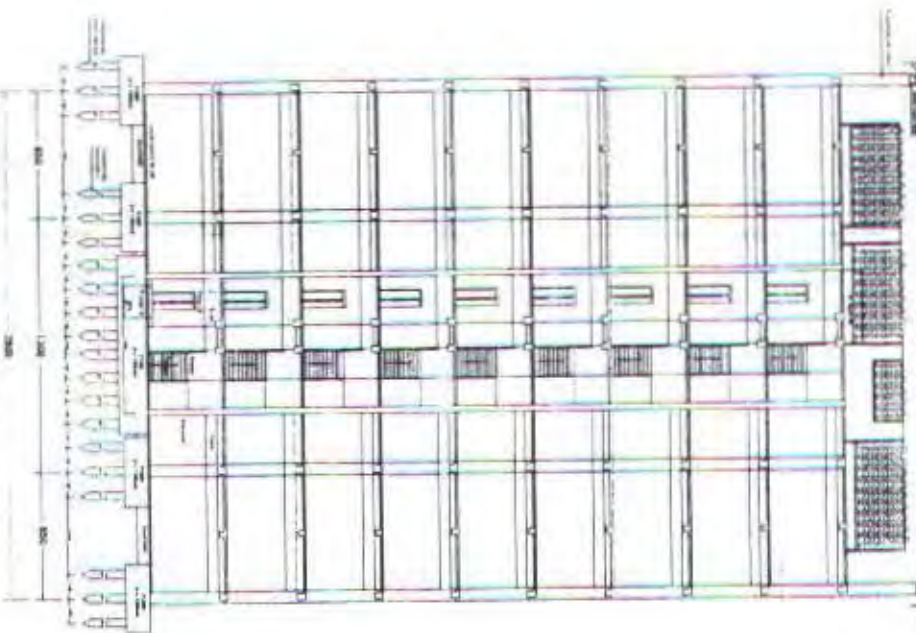


POTONGAN MEMANJANG B - B

1:200

POTONGAN MELINTANG A - A

1:200



SURUSAN TEKNIK STPL

SURABAYA

INSTIITUT TEKNOLOGI SEPULUH NOPMEMBER



JUDUL: TRAKSIS AGRI BRI

MODIFIKASI

PERENCANAAN GEDUNG

KAMPUS STIKOM SURABAYA

DAKTILITAS PENNUH

SURABAYA DAN DENGAN

TOSSEN PENGRINGINO

KEY PLAN

Elevasi lt. 1 (+ 00.00)

Elevasi lt. 2 (+ 04.00)

Elevasi lt. 3 (+ 08.00)

Elevasi lt. 4 (+ 12.00)

Elevasi lt. 5 (+ 16.00)

Elevasi lt. 6 (+ 20.00)

Elevasi lt. 7 (+ 24.00)

Elevasi lt. 8 (+ 28.00)

Elevasi lt. 9 (+ 32.00)

Elevasi lt. 10 (+ 36.00)

Elevasi lt. 11 (+ 40.00)

Elevasi lt. 12 (+ 44.00)

Elevasi lt. 13 (+ 48.00)

Elevasi lt. 14 (+ 52.00)

Elevasi lt. 15 (+ 56.00)

Elevasi lt. 16 (+ 60.00)

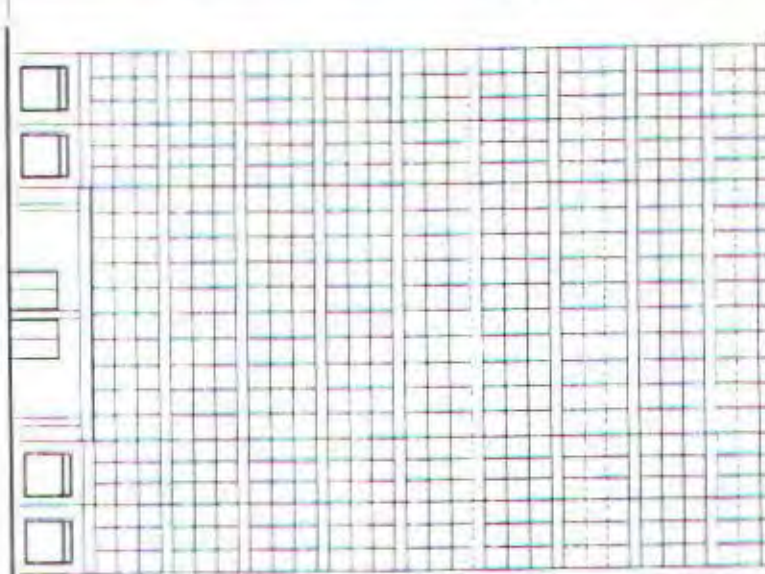
Elevasi lt. 17 (+ 64.00)

Elevasi lt. 18 (+ 68.00)

Elevasi lt. 19 (+ 72.00)

STIKOM SURABAYA

5230

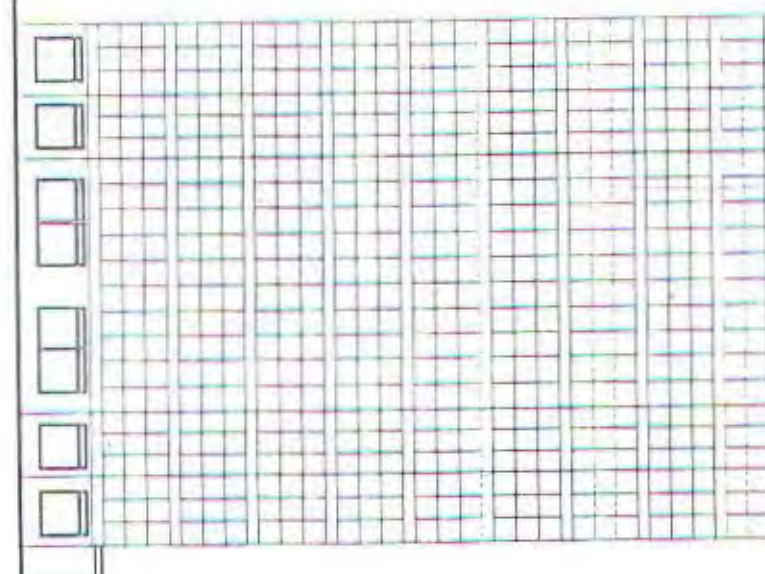


TAMPAK DEPAN

scale 1 : 200

2600.

Elevasi l.t. I (+ 52.30)

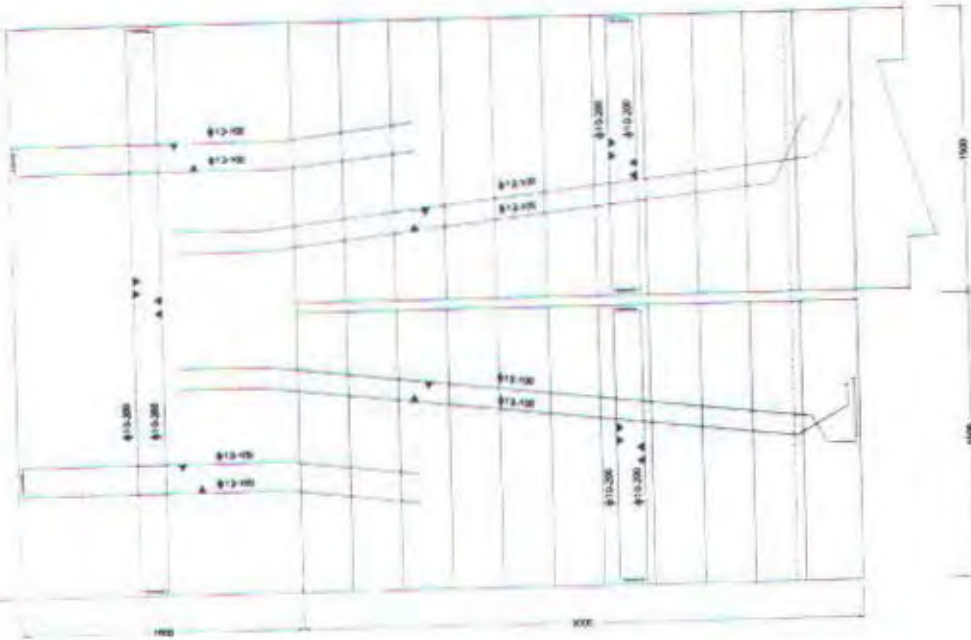


TAMPAK SAMPING

scale 1 : 200

2600.





JURUSAN TEKNIK SIPIL

INSTITUT TEKNOLOGI SEPULUH NOPEMBER
SURABAYA

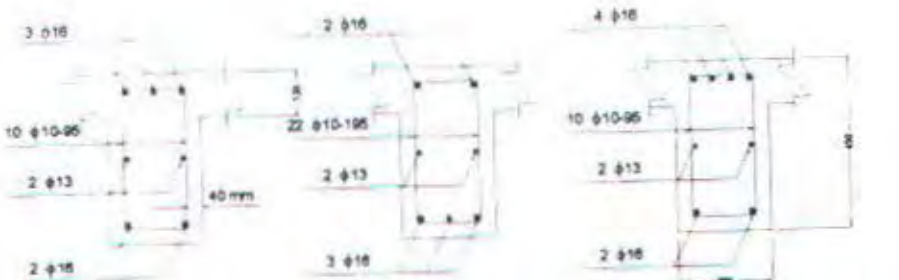
JUDUL TUGAS AKHIR

MODIFIKASI PERENCANAAN GEDUNG KAMPUS STIKOM SURABAYA DENGAN DAKTILITAS PENUH

KEY PLAN

RENCANA DENAH TANGGA

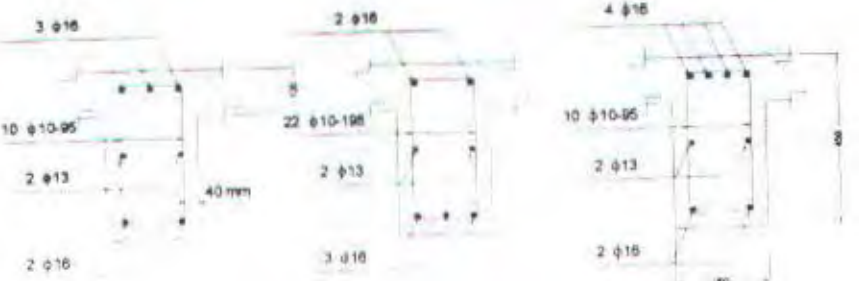
skala 1 : 20



DETAIL POT. A - A

DETAIL POT. B - B

DETAIL POT. C - C



DETAIL POT. A - A

DETAIL POT. B - B

DETAIL POT. C - C

DOSSEN PEMBIMBING

TTD

Ir. Kurniati Suprapto, MS
NIP. 130320203

DIGAMBAR OLEH

TTD

Hery Endanto Budi S.
NIM. 3196109231

NAMA GAMBAR

SKALA

1. Rencana denah tangga 1 : 20

2. Detail penulangan tangga 1 : 20

3. Penulangan balok anak lantai kuliah 1 : 20

4. Penulangan balok anak auditorium 1 : 20

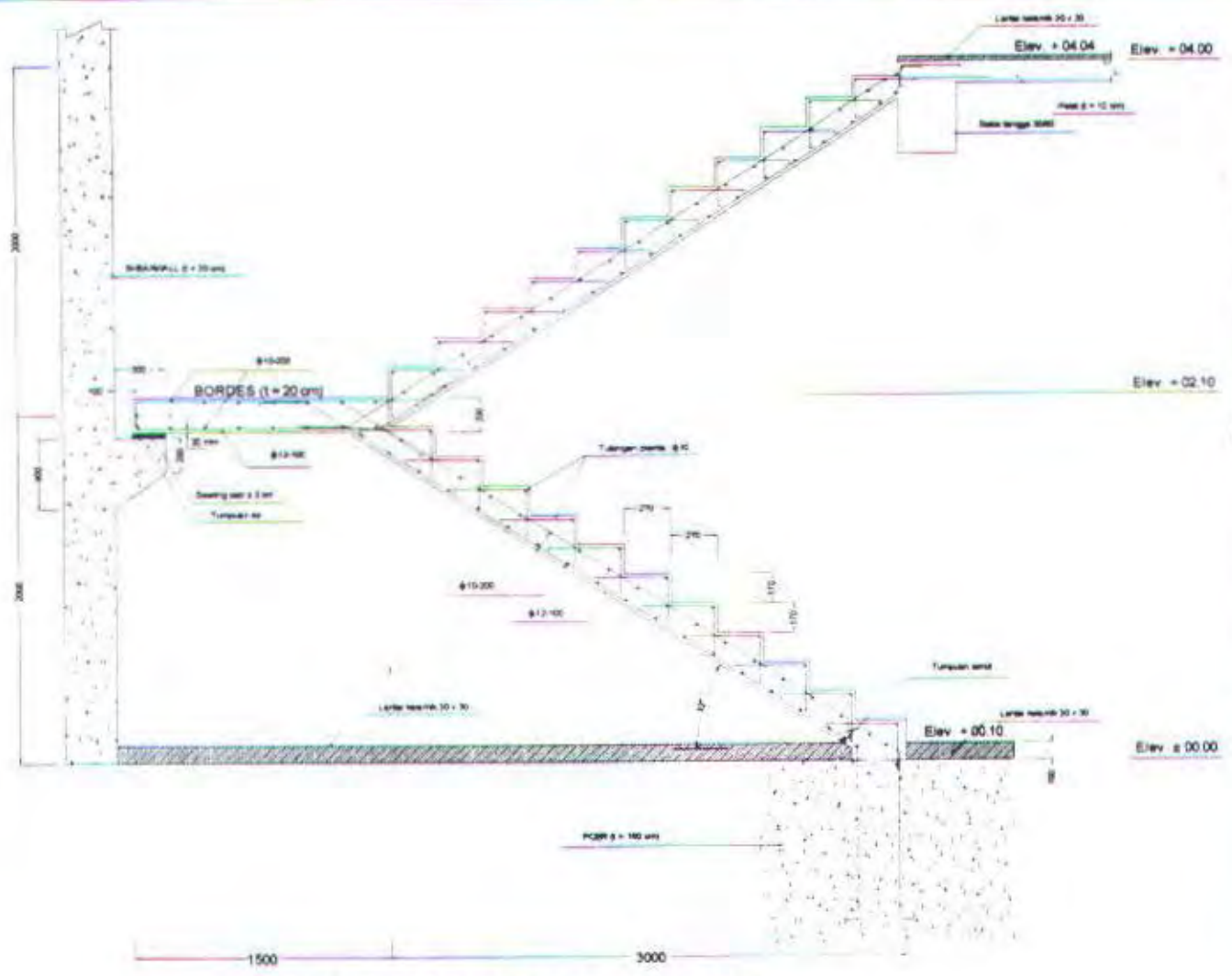
5. Detail potongan balok anak 1 : 10

TANGGAL NO. GAMBAR JML GAMBAR

26/01/2000

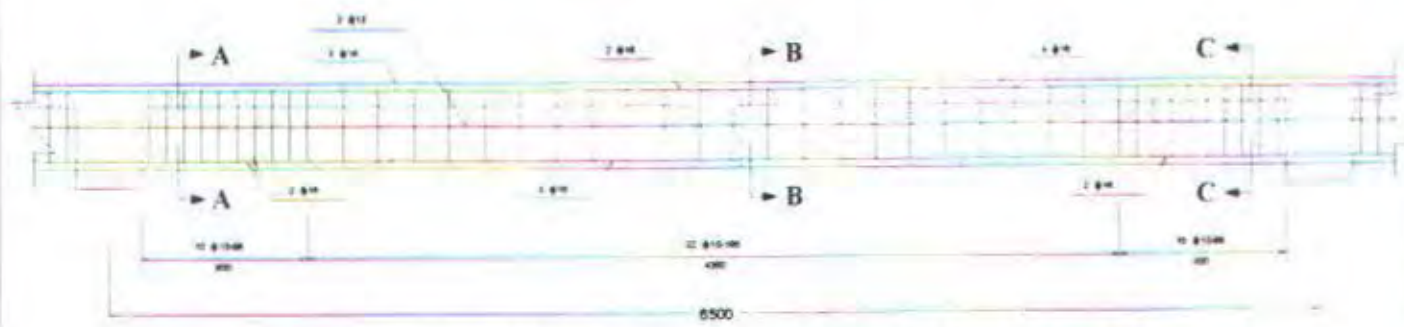
04

11



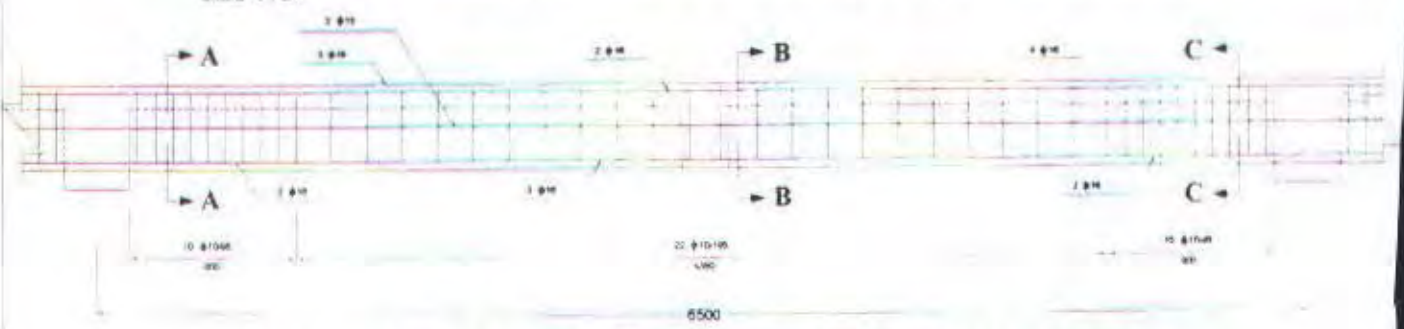
DETAIL PENULANGAN TANGGA

skala 1 : 20



PENULANGAN BALOK ANAK LANTAI KULIAH (AS h, 3 - 5)

skala 1-20



PENULANGAN BALOK ANAK AUDITORIUM (AS h, 3 - 5)

scale 1 : 20

POTONGAN MELINTANG

skala 1 : 100

Pengeluaran bahan
WP 200 - 100 S.S. 8

1200 1200 1200 1200 1200

Sumur

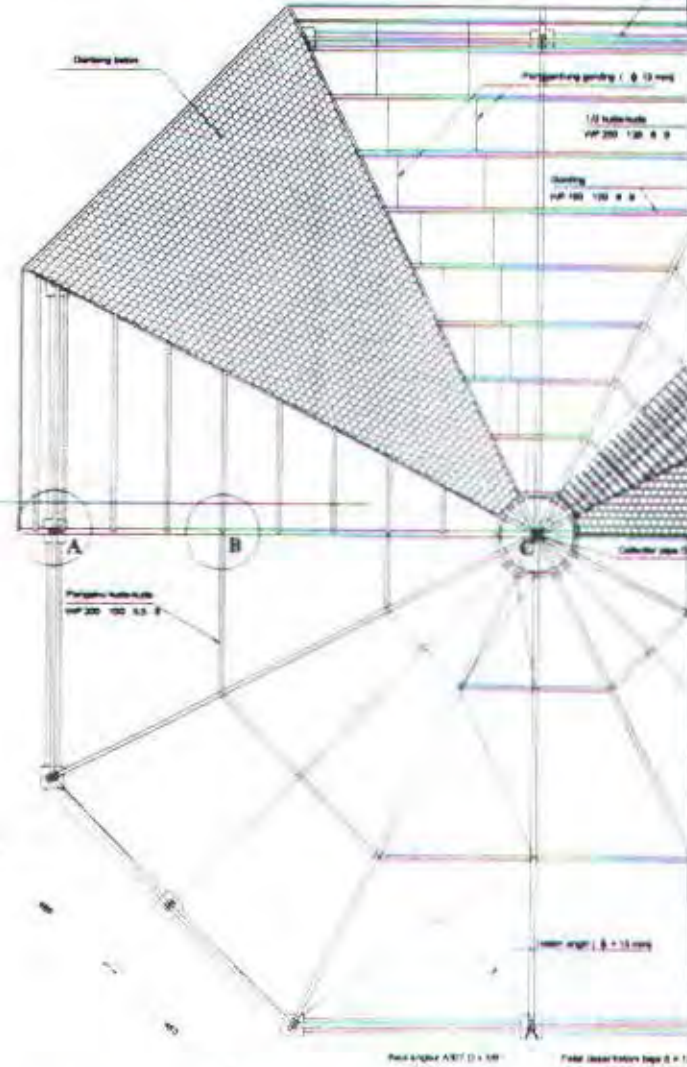
Chamfer beton

Pengembang genteng / Ø 12 mm

1/2 bahan bata
WP 200 - 100 S.S. 8

Gantung
WP 100 - 100 S.S. 8

Lantai lantai 1 (40 mm)
Tiang atap
Klasifikasi lantai penampakan bahan bata
WP 200 - 100 S.S. 8
Besi arangka A 307 MP 300 kg
Bahan bata 227 x 62 mm



RENCANA DENAH ATAP G

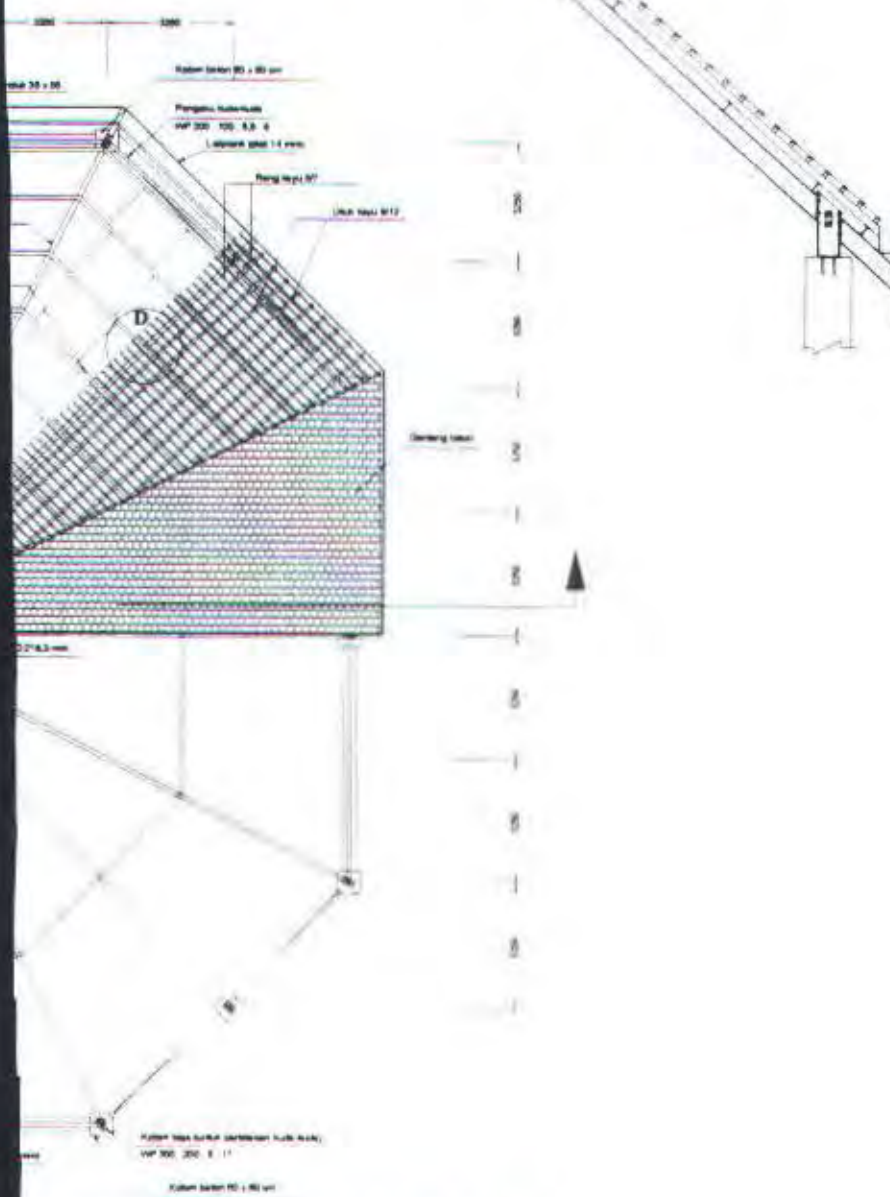
skala 1 : 100

JURUSAN TEKNIK SIPIL
INSTITUT TEKNOLOGI SEPULUH NOVEMBER
SURABAYA

JULIA, THIAS AKJEM

MODIFIKASI
PERENCANAAN GEDUNG
KAMPUS STIKOM
SURABAYA DENGAN
DAKTILITAS PENUH

KEY PLAN



100% RECYCLED

1700

Ir. Kardian Suprapto, MS
WRI 1.000.202013

DIGAMBAR (832)

171

NAMA LAMPI

5718

Jadwul STIKOM

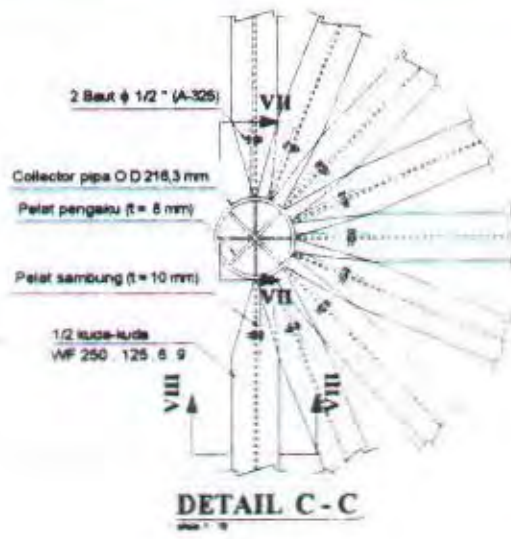
10

[View all elements](#)

EDUNG STIKOM

PANGAI NEE LAMHAK SNE LAMHAK

26/01/2000 05 11



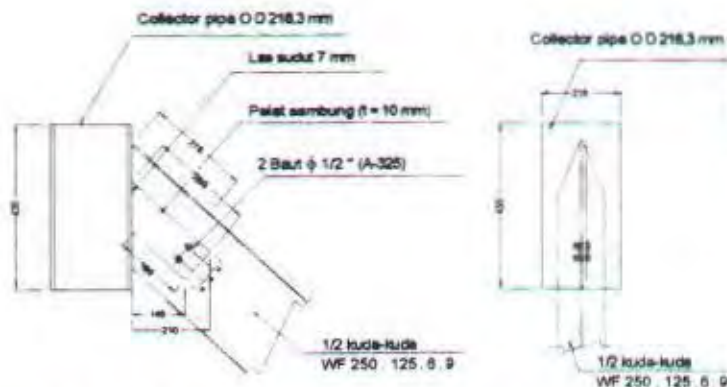
JURUSAN TEKNIK SIPIL.

INSTITUT TEKNOLOGI SEPULUH NOPEMBER
SURABAYA

JUDUL TUGAS AKHIR

**MODIFIKASI
PERENCANAAN GEDUNG
KAMPUS STIKOM
SURABAYA DENGAN
DAKTILITAS PENUH**

KEY PLAN

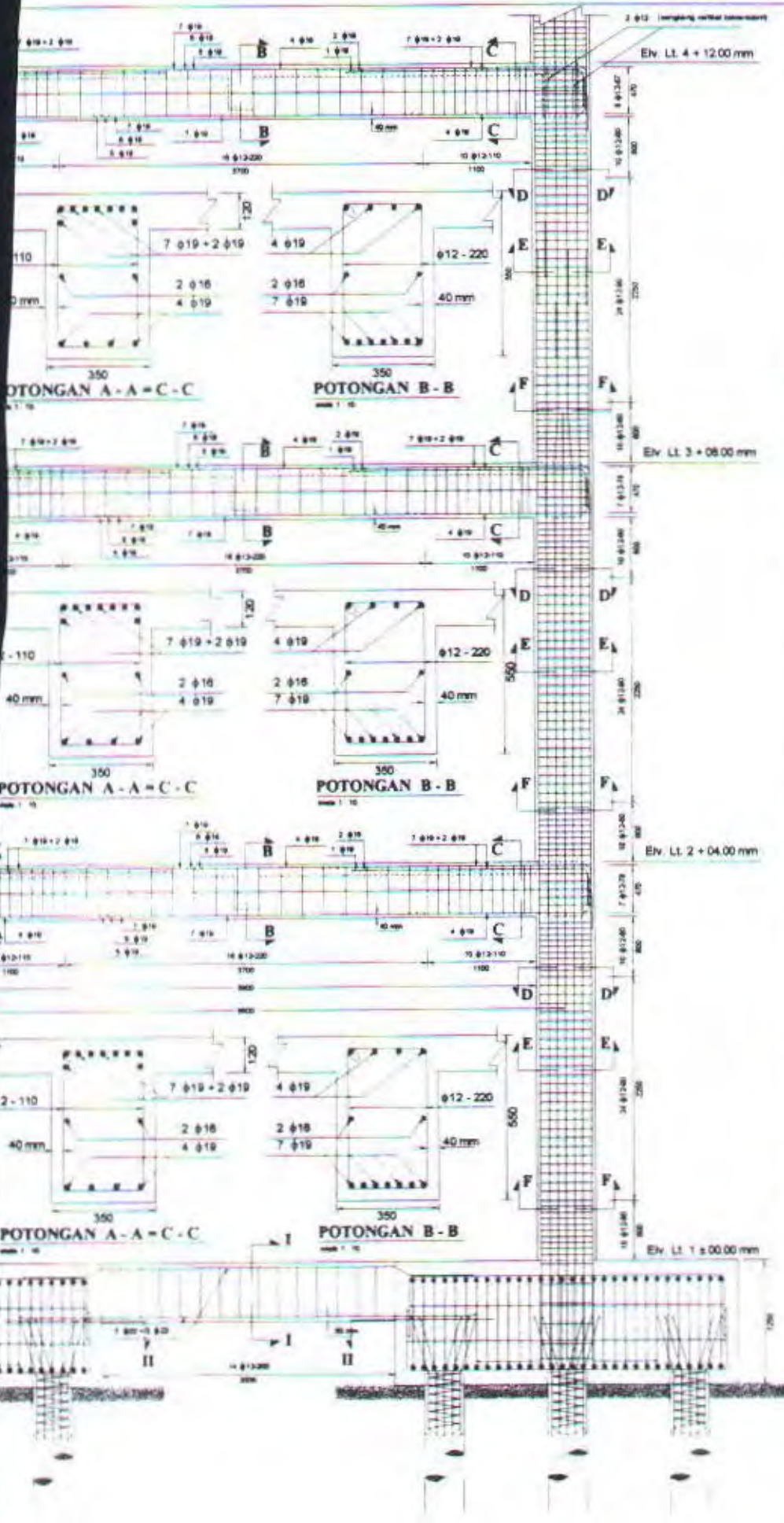


POTONGAN VIII - VIII



DOKSEN PEMBIMBING	TTD
Ir. Kurniawati Supripto, MS.	
NIP. 130120203	
DIGAMBAR Oleh	TTD
Hery Endanto Budi S.	
NIM. 319610923	
NAMA GAMBAR	SKALA
1. Detail A - A	1 : 10
2. Detail B - B	1 : 10
3. Detail C - C	1 : 10
4. Detail D - D	1 : 10
5. Potongan detail step	1 : 10

TANGGAL NO GAMBAR JML GAMBAR



JURUSAN TEKNIK SIPIL

INSTITUT TEKNOLOGI SEPULUH NOPEMBER
SURABAYA

JUDUL TUGAS AKHIR

MODIFIKASI PERENCANAAN GEDUNG KAMPUS STIKOM SURABAYA DENGAN DAKTILITAS PENUH

KEY PLAN

DOSEN PEMBIMBING

TTD

Ir. Kurnian Suprapto, MS.
NIP. 130320203

DIGAMBAR OLEH

TTD

Hery Endano Budi S.
NIM. 3196109231

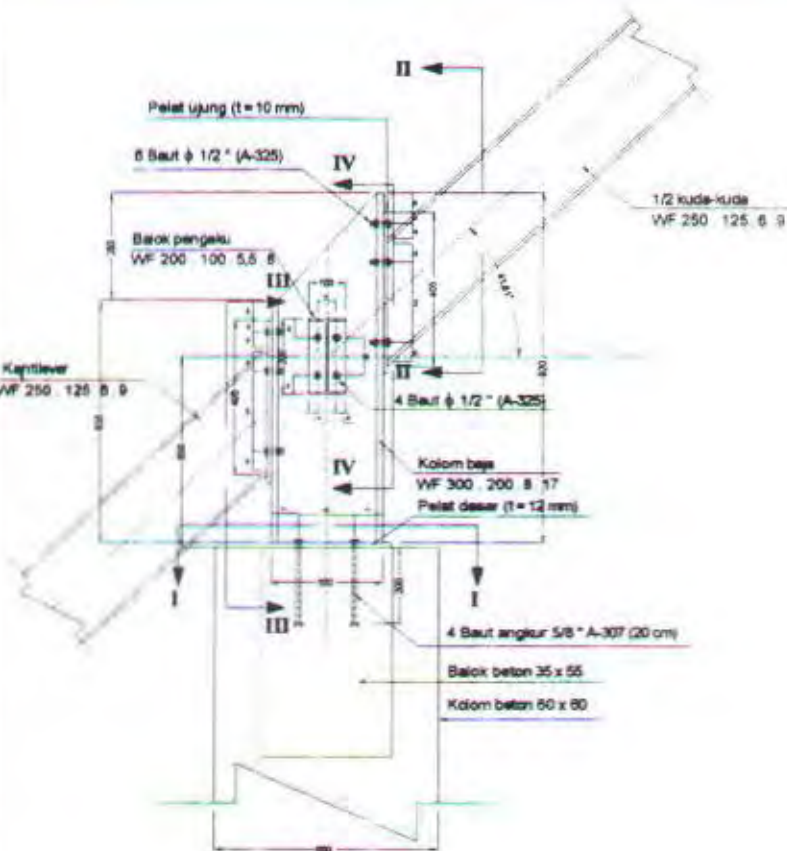
NAMA GAMBAR

SKALA

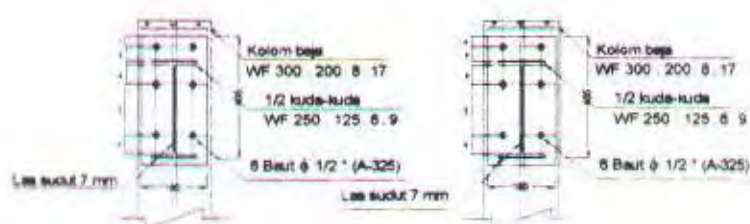
- | | |
|---|--------|
| 1. Detail penulangan struktur utama gedung STIKOM | 1 : 10 |
| 2. Detail potongan balok | 1 : 10 |
| 3. Detail potongan kolom | 1 : 10 |

TANGGAL NO. GAMBAR JML GAMBAR

26/01/2000 07 11

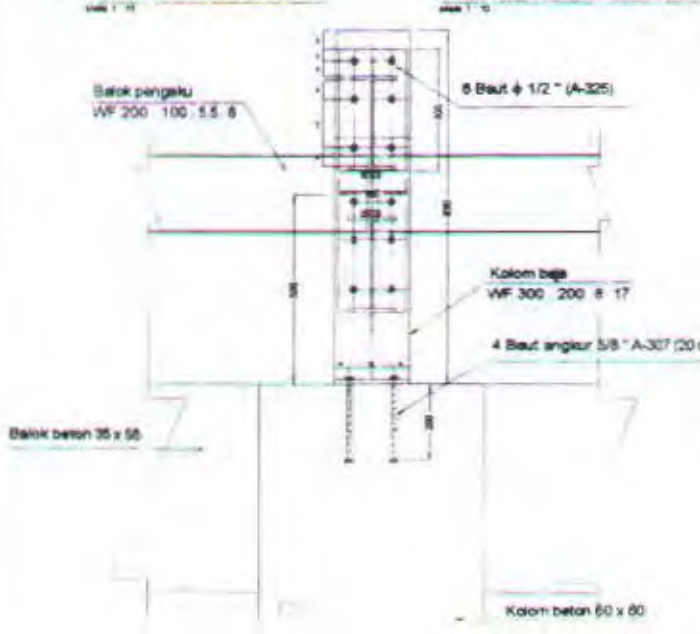


DETAIL A - A

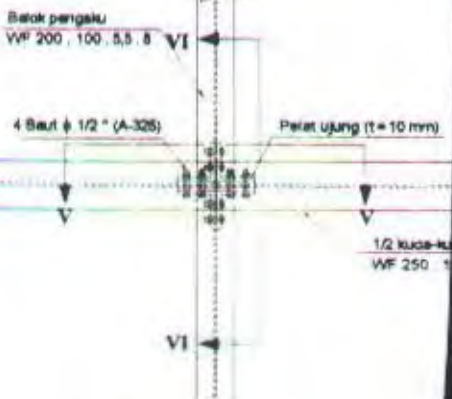


POTONGAN II - II

POTONGAN III - III



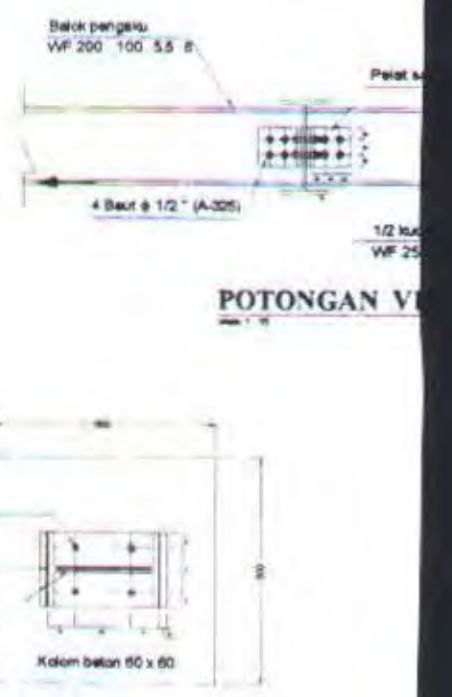
POTONGAN IV - IV



DETAIL B - B



POTONGAN V

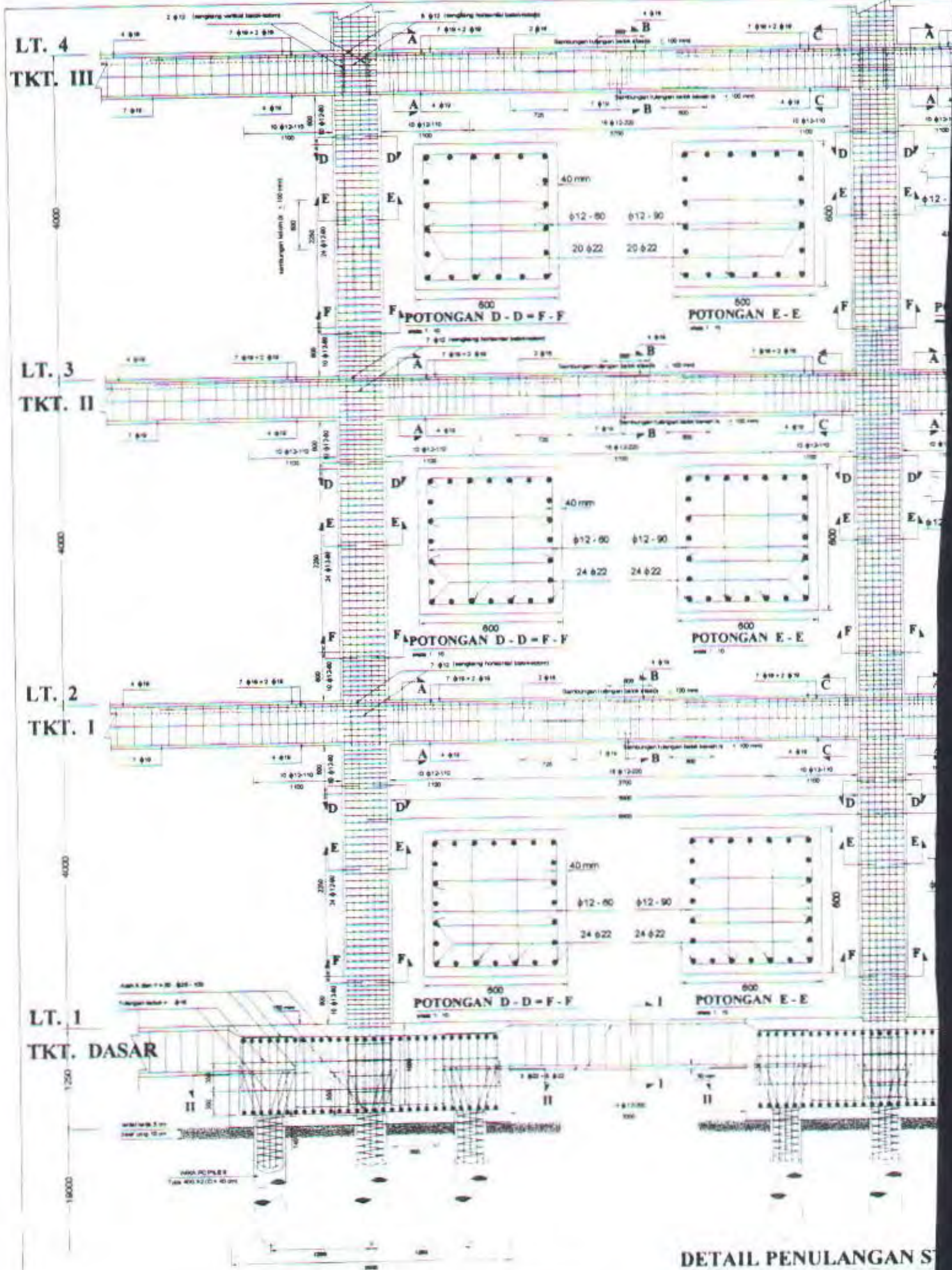


POTONGAN VI - VI

POTONGAN I - I

DETAIL PENULANGAN S

halo 1 - 10





JURUSAN TEKNIK SIPIL

INSTITUT TEKNOLOGI SEPULUH NOPEMBER
SURABAYA

JUDUL TUGAS AKHIR

MODIFIKASI PERENCANAAN GEDUNG KAMPUS STIKOM SURABAYA DENGAN DAKTILITAS PENUH

KEY PLAN

SAMBUNGAN DETAIL PENULANGAN STRUKTUR UTAMA

atau 1:30

DOSEN PEMBIMBING

TTD

Ir. Kardian Suprapto, M.S.
NIP. 130320203

DIGAMBAR Oleh

TTD

Hery Endarno Budi S.
NIM. 3196109231

NAMA GAMBAR

SKALA

- | | |
|--|--------|
| 1. Detail penulangan struktur
utama gedung STIKOM | 1 : 30 |
| 2. Detail posongan balok | 1 : 10 |
| 3. Detail potongan kolom | 1 : 10 |

TANGGAL NO. GAMBAR JML. GAMBAR

26/01/2000 08 11





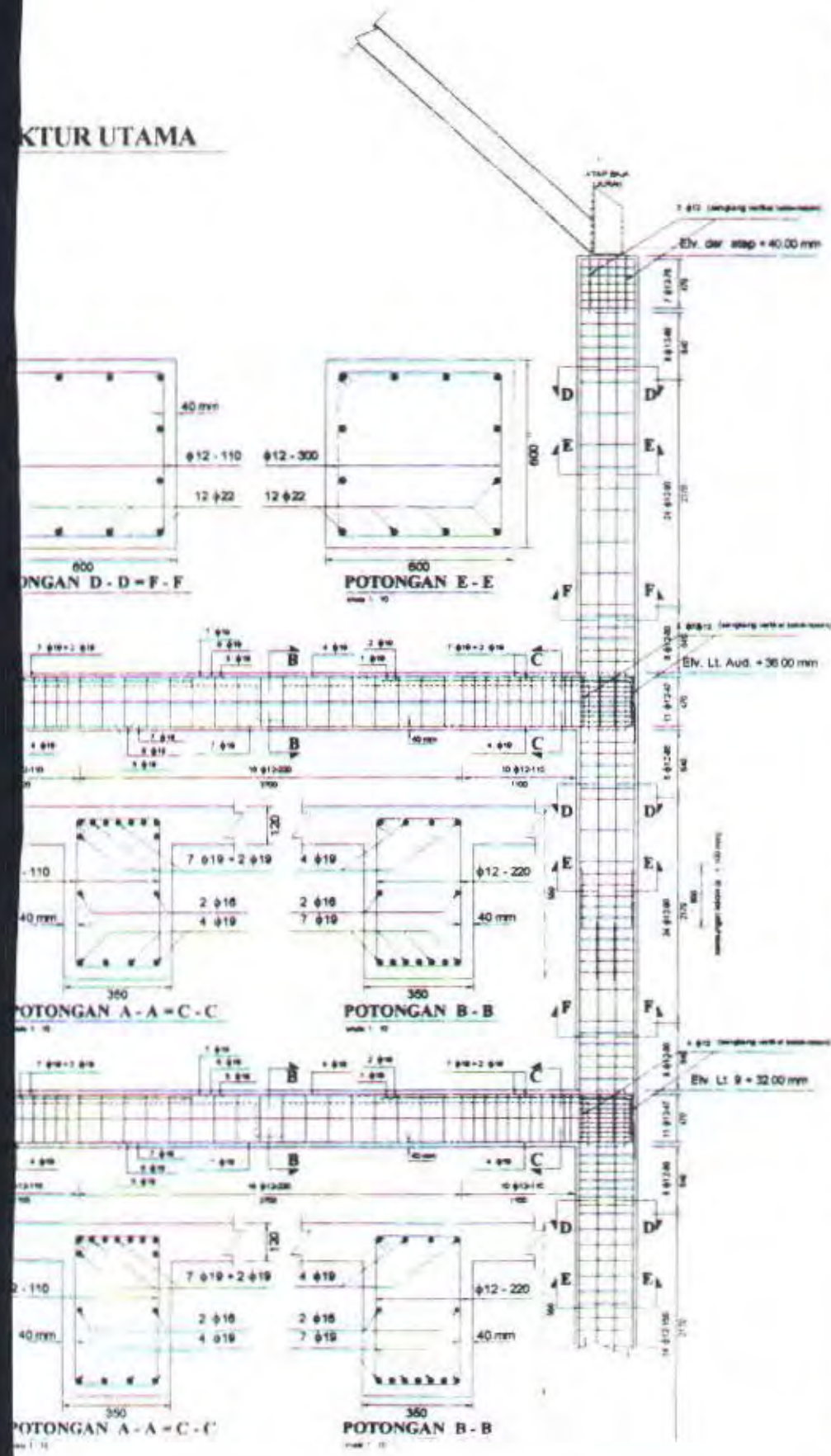
JURUSAN TEKNIK SIPIL

INSTITUT TEKNOLOGI SEPULUH NOPEMBER
SURABAYA

JUDUL TUGAS AKHIR

MODIFIKASI
PERENCANAAN GEDUNG
KAMPUS STIKOM
SURABAYA DENGAN
DAKTILITAS PENUH

KEY PLAN



Ir. Kurniawan Suprapto, MS
NIP. 130320203

Herry Endang Budi S.

NBM.31961(923)

NAMA PAMERAN

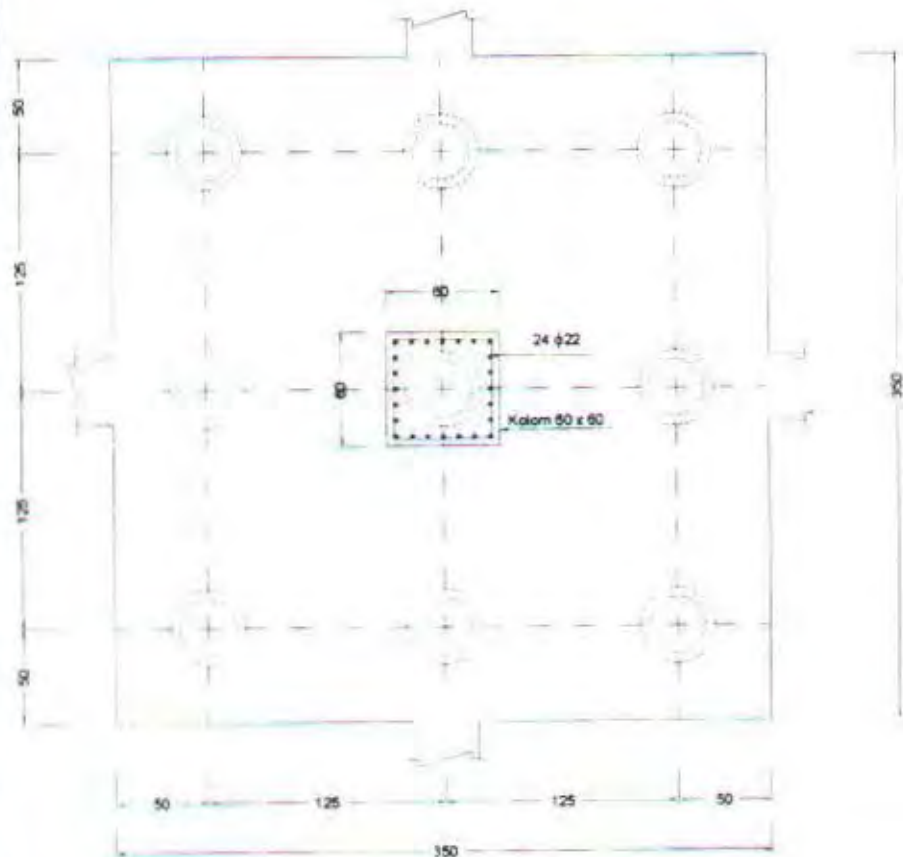
Detail penilaian struktur

utama gedung STIKOM

2. Detail perongan baloi

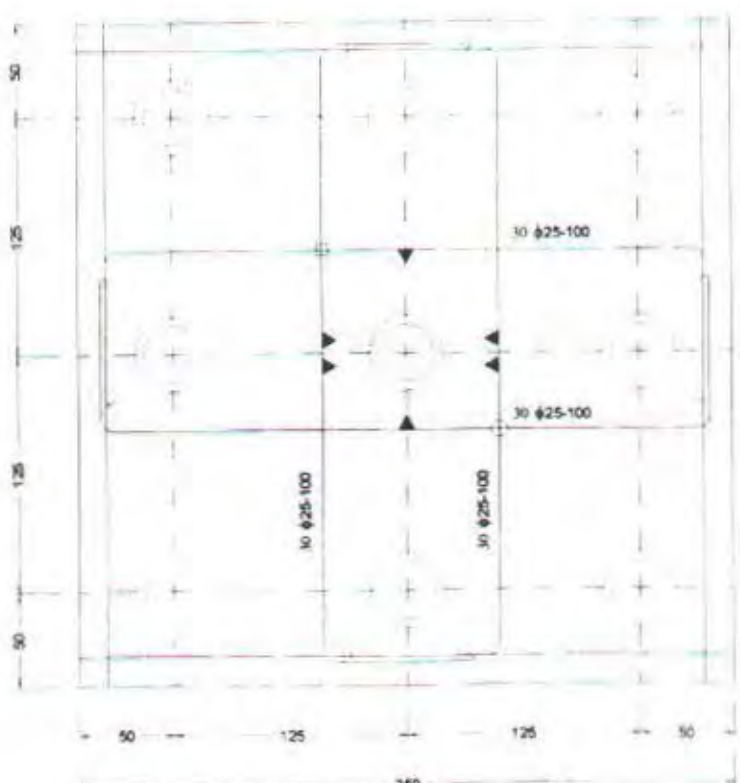
• Detail posongan kolumn | 10

26/01/2000 09 11



DETAIL B

POTONGAN I-I



POTONGAN II-II

JURUSAN TEKNIK SIPIL

INSTITUT TEKNOLOGI SEPULUH NOVEMBER
SURABAYA

JUDUL TUGAS AKHIR

**MODIFIKASI
PERENCANAAN GEDUNG
KAMPUS STIKOM
SURABAYA DENGAN
DAKTILITAS PENUH**

KEY PLAN

DOSEN PENIMBING

TTD

Ir. Kurniawati Suprapto, MS.
NIP. 130120203

DIGAMBAR OLEH

TTD

Hery Endano Budi S.
NIM. 3196109211

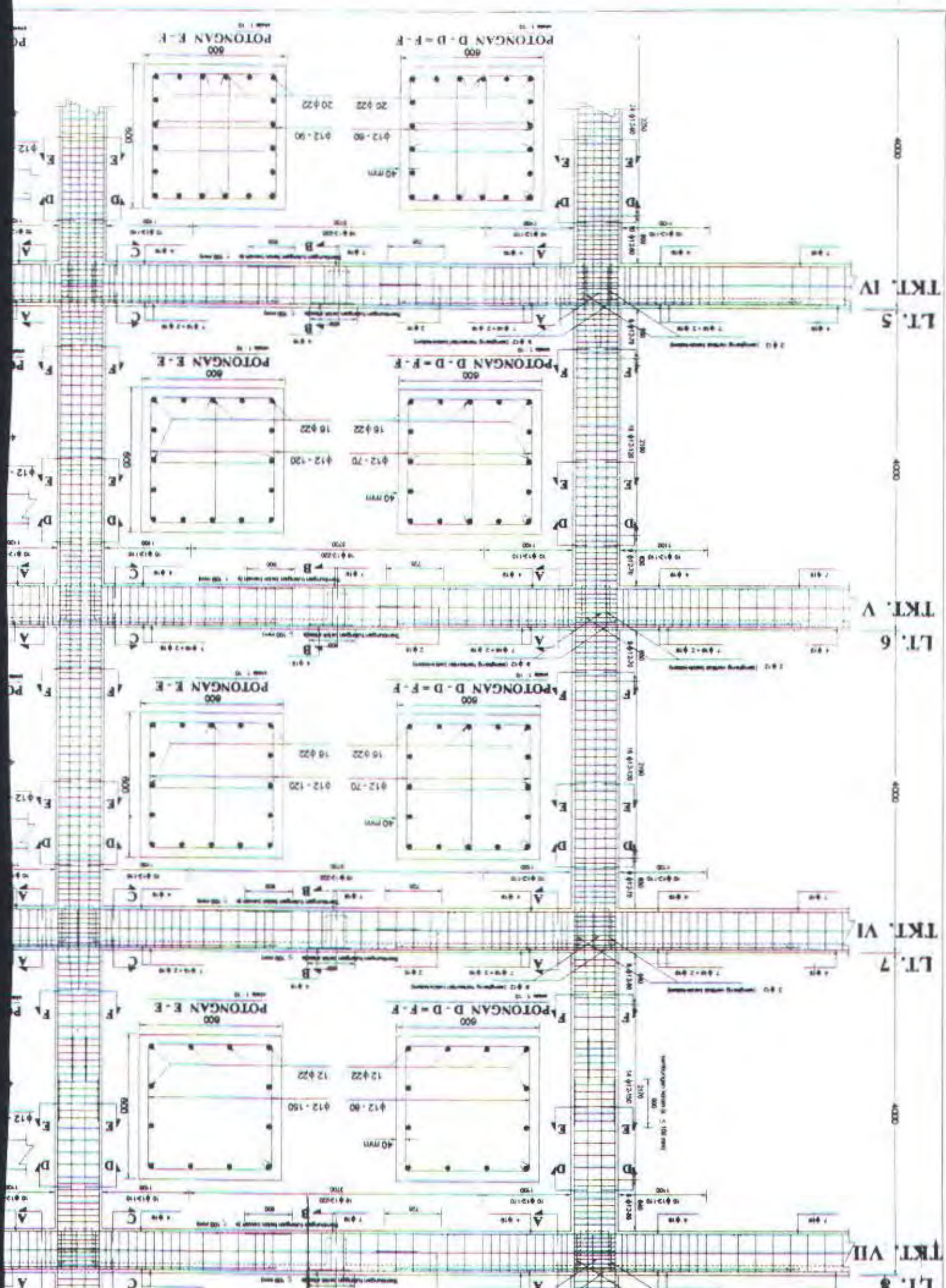
NAMA GAMBAR

SKALA

1. Rencana denah pondasi	1 : 100
2. Detail potongan A	1 : 30
3. Detail B	1 : 20
4. Potongan I-I	1 : 10
5. Potongan II-II	1 : 20

TANGGAL NO. GAMBAR IMI. GAMBAR

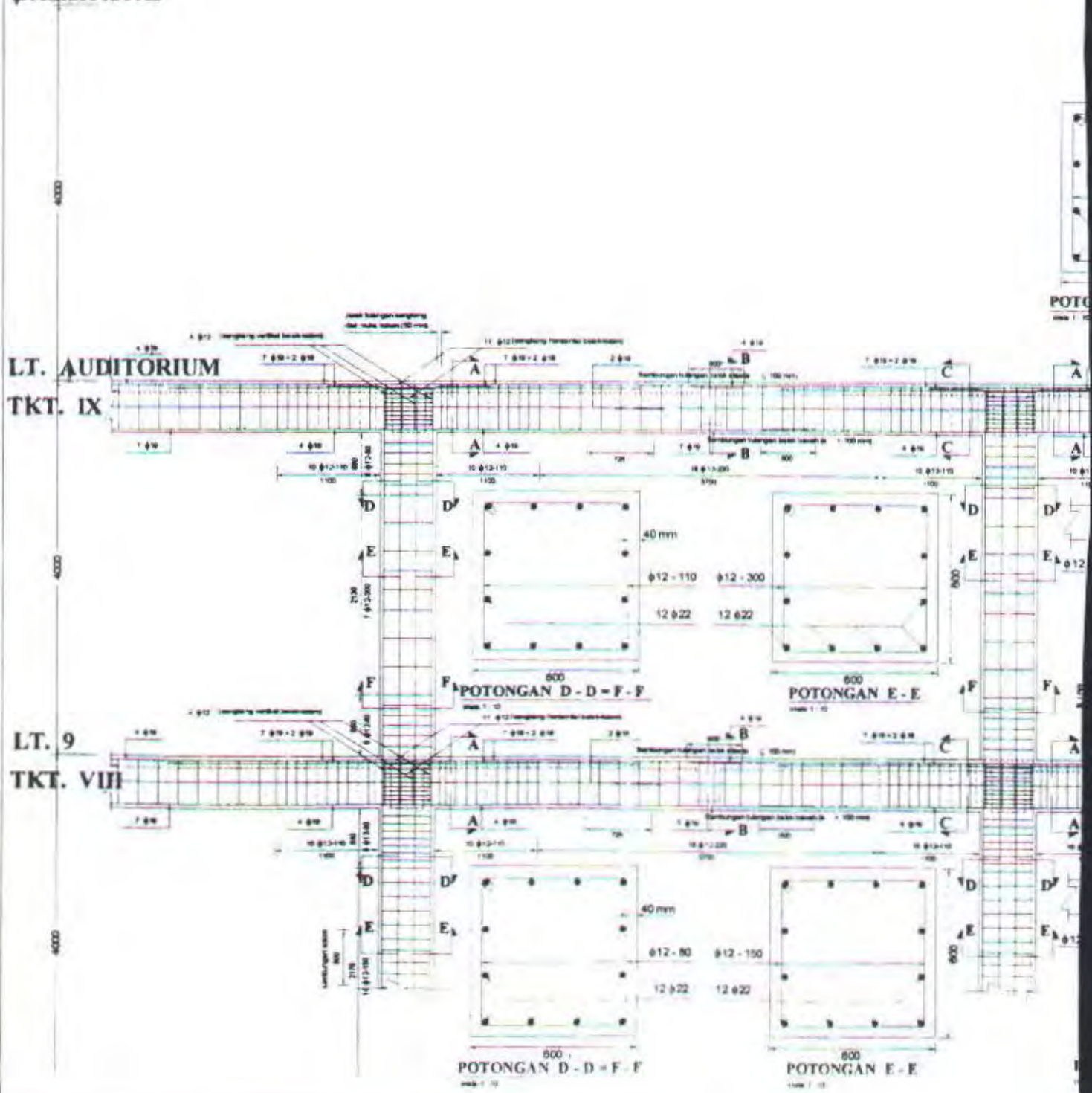
26/01/2000 10 11



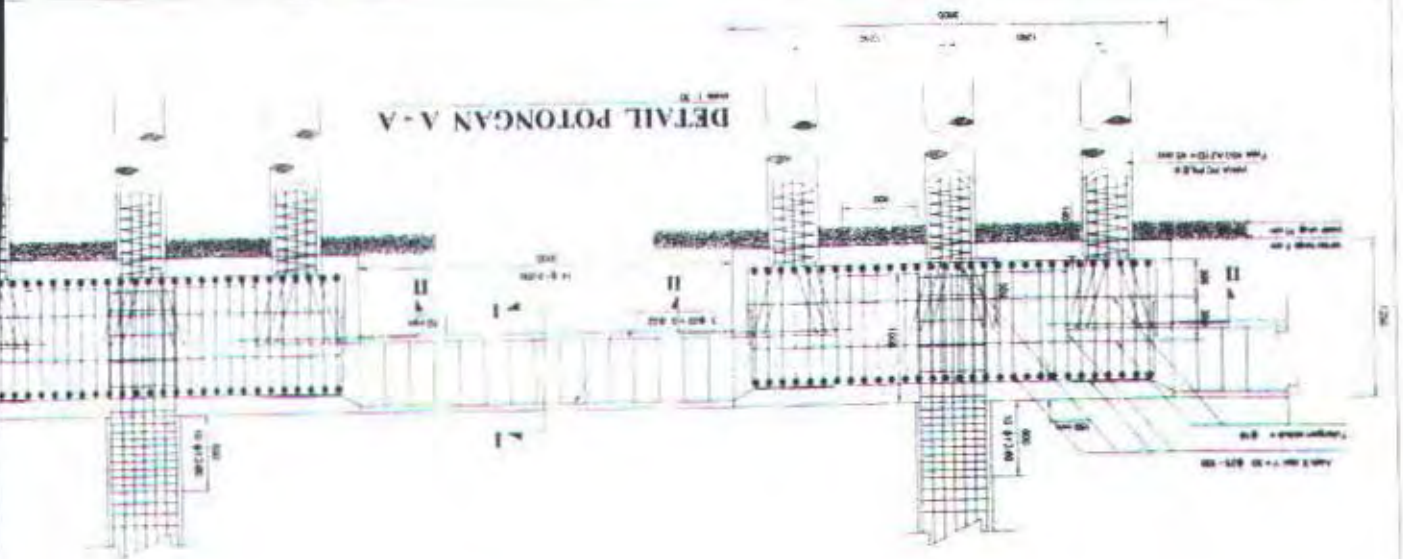
SAMBUNGAN DETAIL PENULANGAN STRU

Skills 30

DASAR ATAP

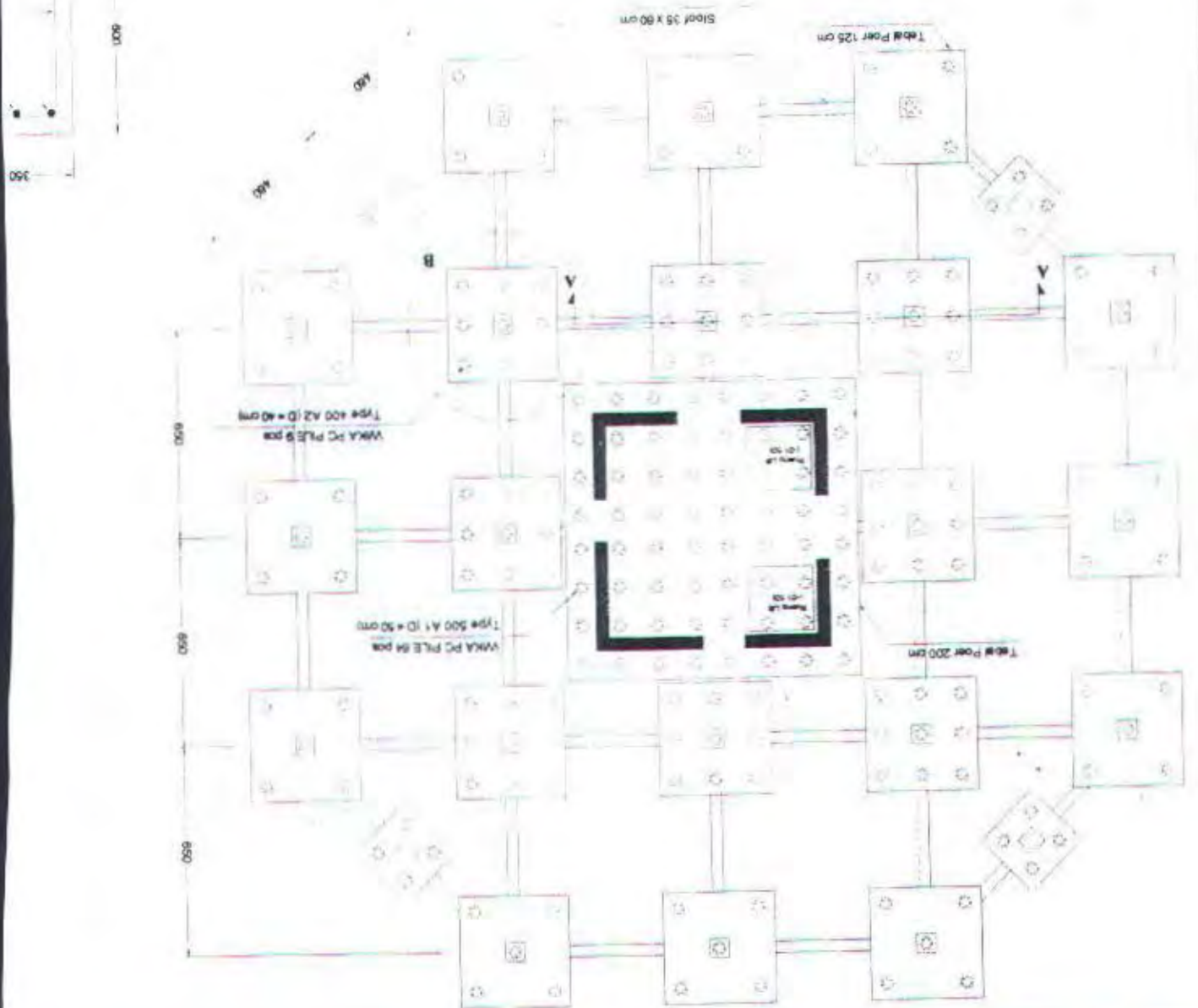


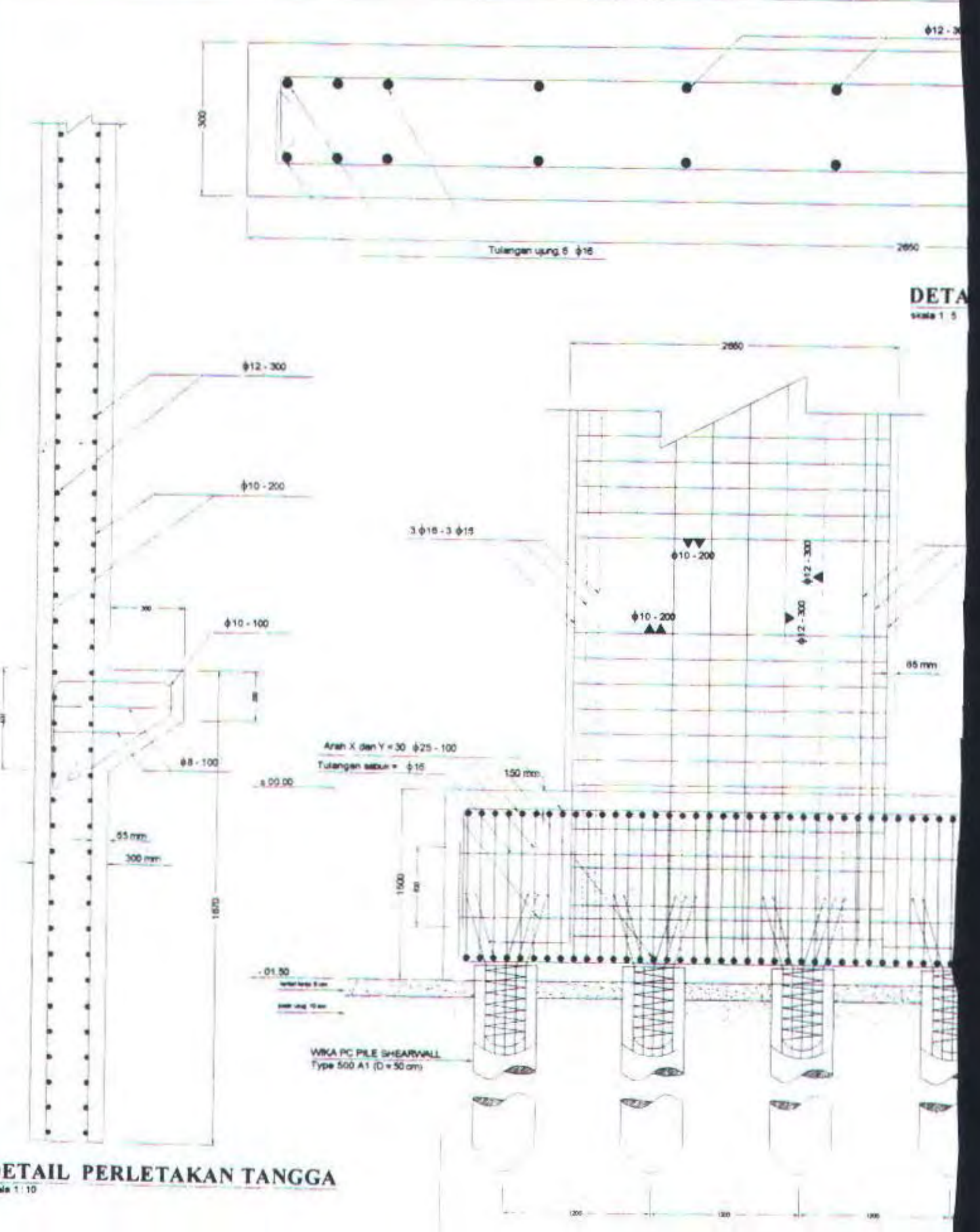
DETALI PTONGAN A-A



POTONG

RENCANA DENAH PONDASI



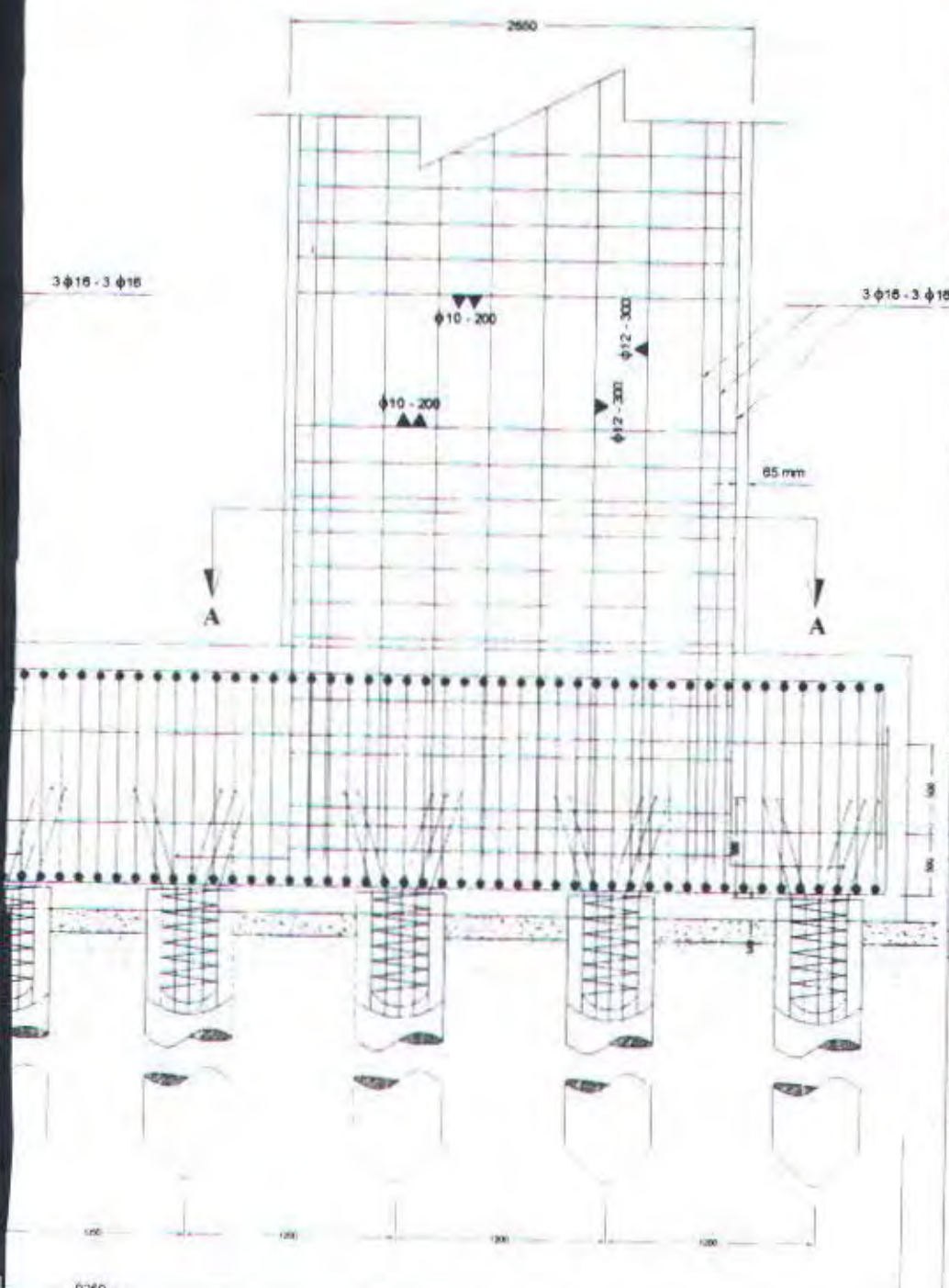


DETAIL PERLETAKAN TANGGA

DETAIL PENULANG



IL POTONGAN A - A



AN SHEARWALL DAN POER



JURUSAN TEKNIK SIPIL
INSTITUT TEKNOLOGI SEPULUH NOPEMBER
SURABAYA

JUDUL TUGAS AKHIR

MODIFIKASI PERENCANAAN GEDUNG KAMPUS STIKOM SURABAYA DENGAN DAKTILITAS PENUH

KEY PLAN

DOSEN PEMBIMBING

Ir. Kurnian Suprapto, M.S.
NIP. 130321023

DIGAMBAR Oleh

Hery Endarto Budi S.
NTM. 3196109231

NAMA GAMBAR

TTD

TTD

TTD

- | NAMA GAMBAR | SKALA |
|---|--------|
| 1. Detail penulangan shearwall dan poer | 1 : 20 |
| 2. Detail potongan A - A | 1 : 5 |
| 3. Detail perlakuan tingga | 1 : 10 |

TANGGAL NO. GAMBAR JML. GAMBAR

26/01/2000 11 11